

Agosto 2018, Vol. 25, N° 2, ISSN 1316-6832



Revista INGENIERÍA UC

Órgano de Divulgación
Científica y Tecnológica de la Facultad de Ingeniería
de la Universidad de Carabobo

Disponible en:
Revista Ingeniería UC
servicio.bc.uc.edu.ve/ingenieria/revista

VALENCIA - VENEZUELA

ISSN 1316–6832
Depósito legal pp 92.0200

**Revista
Ingeniería UC**

Revista indexada en:
REVENCYT (Venezuela); Actualidad Iberoamericana (CIT-Chile);
IET/INSPEC (Unitec Kingdom UK); DRJI (The Directory of Research Journal Indexing);
LATINDEX-Catálogo (México); REDALYC (México); Periódica (México)
Emerging Sources Citation Index, Thomson Reuters.

**Órgano de Divulgación Científica y Tecnológica
Facultad de Ingeniería, Universidad de Carabobo
Valencia-Venezuela**

Editor - Jefe

Prof.^a Lisbeth Manganiello, PhD Dirección de Investigación y Producción Intelectual, Facultad de Ingeniería, Universidad de Carabobo, Venezuela

Editores

Prof. Cristóbal Vega, PhD Instituto de Matemática y Cálculo Aplicado - IMYCA, Facultad de Ingeniería, Universidad de Carabobo, Venezuela

Prof. Jesús J. Jiménez Grimán, MSc Instituto de Matemática y Cálculo Aplicado - IMYCA, Facultad de Ingeniería, Universidad de Carabobo, Venezuela

Editores Honorarios

Prof. Edilberto Guevara, PhD Facultad de Ingeniería, Universidad de Carabobo, Venezuela

Prof. Francisco Arteaga, PhD Facultad de Ingeniería, Universidad de Carabobo, Venezuela

Editores Asociados

Prof.^a Belén Paricaguán, PhD, Dirección de Estudios Básicos, Facultad de Ingeniería, Universidad de Carabobo, Venezuela

Prof. Francisco Soto, MSc, Escuela de Ingeniería Civil, Facultad de Ingeniería, Universidad de Carabobo, Venezuela

Prof. Angelina Correia, PhD, Escuela de Ingeniería Química, Facultad de Ingeniería, Universidad de Carabobo, Venezuela

Junta Editorial

Dr Adeldo Ortiz Conde
Universidad Simón Bolívar, Venezuela
Dra. Maura Vázquez de Ramírez
Universidad Central de Venezuela, Venezuela
Dr. Guillermo Ramírez
Universidad Central de Venezuela, Venezuela
Dr. Antonino Caralli
Universidad de Carabobo, Venezuela
Dr. Pablo Baricelli
Universidad de Carabobo, Venezuela
Dr. Johnny Bullon
Universidad de los Andes, Venezuela
Dr. Sergio Mora
Universidad de Santiago de Chile, Chile
Dr. Herbert J. Sira R.
Centro de Investigación y de Estudios Avanzados del Instituto Politécnico Nacional, México

Dr. Enrique Barbien
University of Houston, Estados Unidos
Dr. Ángel Rios Castro
Universidad de Castilla La Mancha, España
Dr. Merlin Rosales
Universidad del Zulia, Venezuela
Dr. José A. Díaz
Universidad de Carabobo, Venezuela
Dr. Carlos Martínez
Universidad de Carabobo, Venezuela
Dr. Roberto Callarotti
Instituto Venezolano de Investigaciones Científicas, Venezuela
Dr. Teodoro García
Universidad de Carabobo, Venezuela

Revista indexada en:
REVENCYT (Venezuela); Actualidad Iberoamericana (CIT–Chile);
IET/INSPEC (Unitec Kingdom UK); DRJI (The Directory of Research Journal Indexing)
LATIDEX–Catálogo (México); REDALYC (México); Periódica (México)
Emerging Sources Citation Index, Thomson Reuters.

**Órgano de Divulgación Científica y Tecnológica
Facultad de Ingeniería, Universidad de Carabobo
Valencia–Venezuela**

Comité Técnico*

Dr. Eliecer Colina, Universidad de Los Andes, Venezuela
Dr. César O. Seijas Fossi, Universidad de Carabobo, Venezuela
Dr. Francisco Garcia Sanchez, Universidad Simón Bolívar, Venezuela
Dr. Fernando Mora, Universidad Simón Bolívar, Venezuela
Dr. Gian Franco Passariello, Universidad Simón Bolívar, Venezuela
Dr. Enrique Cázares Rivera, Instituto Tecnológico y de Estudios Superiores de Monterrey, México
Dr. Giovanni De Mercato, Universidad Simón Bolívar, Venezuela
Dra. Yádira Martínez, Universidad de Carabobo, Venezuela
Dr. Luis Vallés, Universidad de Carabobo, Venezuela
Ing. Luis Llave, Universidad de Carabobo, Venezuela
Dr. Alfredo Varela, Universidad de Carabobo, Venezuela
Ing. Johel Rodríguez, MSc, Universitat Politècnica de València, España
Dr. Sergio Pérez, Universidad de Carabobo, Venezuela
Dra. Celeste Fernandez, Universidad de Carabobo, Venezuela
Dr. Antonio Bonsjak, Universidad de Carabobo, Venezuela
Ing. José R. Pacheco, Universidad de Carabobo, Venezuela
Dra. Susana Salinas de Romero, Universidad del Zulia, Venezuela
Dr. Cristóbal E. Vega González, Universidad de Carabobo, Venezuela
Ing. Donato Romanello, MSc, Universidad de Carabobo, Venezuela
Ing. Teddy Rojas, MSc, Universidad de Carabobo, Venezuela
Dra. Thalia San Antonio, Universidad de Carabobo, Venezuela
Ing. Carlos Jiménez, MSc, Universidad de Carabobo, Venezuela
Dra. Nereida Sanchez, Universidad de Carabobo, Venezuela
Dr. Luis Melián, Universidad de Carabobo, Venezuela
Ing. Lucia Martino, MSc, Universidad de Carabobo, Venezuela
Ing. Antonio Millán, MSc, Universidad de Carabobo, Venezuela
Ing. Ricardo Villegas, MSc, Universidad de Carabobo, Venezuela
Ing. Jesús Jiménez, MSc, Universidad de Carabobo, Venezuela

Ing. Paulino Del Pino, MSc, Universidad de Carabobo, Venezuela
Ing. Wilmer Sanz, MSc, Universidad de Carabobo, Venezuela
Ing. Carlos Lameda, MSc, Universidad Nacional Experimental Politécnica Antonio José de Sucre, Venezuela
Ing. Carlos Hernández, MSc, Universidad de Carabobo, Venezuela
Ing. Alfonso Alfonsi, Universidad de Oriente
Ing. Enrique Flores, MSc, Universidad de Carabobo, Venezuela
Ing. Ángel Villegas, Universidad de Carabobo, Venezuela
Dra. Damelys Zabala, Universidad de Carabobo, Venezuela
Dr. Demetrio Rey Lago, Universidad de Carabobo, Venezuela
Ing. Jennifer Aparicio, Universidad de Carabobo, Venezuela
Dr. Alfonso Zozaya, Universidad de Carabobo, Venezuela
Dra. Lilly Marciano, Universidad de Carabobo, Venezuela
Dr. José A. Díaz, Universidad de Carabobo, Venezuela
Ing. César Martínez, Universidad de Carabobo, Venezuela
Dr. Guillermo Montilla, Universidad de Carabobo, Venezuela
Ing. Alejandro Centeno, Msc, Universidad de Carabobo, Venezuela
Dra. Laura Sáenz, Universidad de Carabobo, Venezuela
Ing. Enrique Flores, MSc, Universidad de Carabobo, Venezuela
Lic. Atilio Morillo, MSc, Universidad de Carabobo, Venezuela
Ing. Franklin Camejo, Universidad de Carabobo, Venezuela
Ing Sergio Villazana, MSc, Universidad de Carabobo, Venezuela
Ing. Vanesa Altomare, Universidad de Carabobo, Venezuela
Lic. Reina Windevoxhel, MSc, Universidad de Carabobo, Venezuela
Dra. Sandra Cabello, Universidad de Carabobo, Venezuela
Ing. Enrique Pérez, Universidad de Carabobo, Venezuela
Ing. Julio Pineda, Universidad de Carabobo, Venezuela
Ing. Maria Teresa Cruz, MSc, Universidad de Carabobo, Venezuela
*Lista parcial

Frecuencia de publicación

Revista INGENIERÍA UC se publica un volumen anual en tres números: abril, agosto y diciembre

Información de Contacto

<http://servicio.bc.uc.edu.ve/ingenieria/revista/>
<http://revista.ing.uc.edu.ve/> Correo–e: revistaing@uc.edu.ve

Diseño y Diagramación: **Revista Ingeniería UC**, Dirección de Investigación – IMYCA (C. Vega) – CATS (J. Jiménez) en L^AT_EX,
Facultad de Ingeniería, Valencia, Venezuela
Web master: Ing. Francisco Ponte, Biblioteca Central,
Universidad de Carabobo, Valencia, Venezuela

ISSN 1316–6832



Revista Ingeniería UC

ORGANO DE DIVULGACIÓN CIENTÍFICA Y TECNOLÓGICA

FACULTAD DE INGENIERÍA

UNIVERSIDAD DE CARABOBO

Valencia – Venezuela

Contenido General, (*General content*)

Volumen 25 Número 2	117
Editorial volumen 25 número 2	118
<i>José Luís Nazar y Lisbeth Manganiello</i>	
1 Review on asphaltene films at air – water and oil – water interfaces	120
Revisión sobre películas de asfaltenos en las interfases aire – agua y aceite – agua	
<i>Yasmín Tatá, Franklin Salazar – Rodríguez, Ana M. Forgiarini, José G. Delgado-Linares y Johnny Bullón</i>	
2 Ultra wideband antennas for communications systems on microwave frequency bands: A review	134
Antenas de banda ultra ancha para sistemas de comunicaciones en las bandas de microondas: Una revisión	
<i>Contreras, A. y Urdaneta, M.</i>	
3 Operation variables evaluation of vertical evaporators via a computational tool	149
Evaluación de las variables de operación de evaporadores verticales por medio de una herramienta computacional	
<i>J. Yaguaratty, V. Hurtado, A. Bolívar y Á. D. Almarza</i>	
4 Implementation of Monte Carlo algorithm in parallel for modeling the propagation of light in adult human skin	158
Implementación de un Algoritmo Monte Carlo en paralelo para el modelado de la propagación de la luz en piel humana adulta	
<i>Muñoz, A. y López, G.</i>	
5 Synthetic analysis of the debate on the integrated management of water resources in Peru	166
Análisis resumido del debate sobre la gestión integral de los recursos hídricos en el Perú	
<i>Edilberto Guevara–Pérez</i>	
6 Mechanical behavior of mixtures of polylactic acid (PLA) with polystyrene (PS)	184
Comportamiento mecánico de mezclas de ácido poliláctico (PLA) con poliestireno (PS)	

Jhonny Medina, Patricia Cedeño, Ricardo Heras, Juan Carlos Hernández y Carlos Zapata

7 Evaluation of resistance to corrosion by pitting of stainless steel duplex SAF 2304 194

Evaluación de la resistencia a la corrosión por picadura del acero inoxidable dúplex SAF 2304

Laura Sáenz, Jesús García y Omar Guzmán

8 Extraction optimal conditions evaluation in regenerative steam power plants by a computational tool 204

Evaluación de las condiciones óptimas de extracción en plantas de potencia a vapor regenerativas por medio de una herramienta computacional

V. Hurtado, A. Bolívar y Á. D. Almarza

9 Spectral analysis of electromagnetic torque in fault detection of eccentricity of three-phase induction motors by means of canonical discriminant 213

Análisis espectral de torque electromagnético en la detección de fallas de excentricidad de motores de inducción trifásicos mediante el discriminante canónico

Ledy Guerra, Francis Barboza, Rubén Terán, Irahis Rodríguez y Eva Monagas

10 Proposal for a matrix of minimum distances between AM broadcast stations for Venezuela based on the propagation curves ITU-R P.368 221

Propuesta de una matriz de distancias mínimas entre estaciones AM para Venezuela basada en las curvas de propagación UIT-R P.368

Fabián Robledo

11 Physical Cell ID for LTE Network: recommendations for planification 237

Identificador físico de celda para redes LTE: recomendaciones para la planificación y asignación

Romer Valor, Yofrank Torres y Ahmad Osman

12 Hydrolytic degradation and biodegradation of binary mixes of polylactic acid (PLA) with plastic residues 248

Degradación hidrolítica y biodegradación de mezclas binarias de ácido poliláctico (PLA) con residuos plásticos

Jhonny Medina, Yenifer Roche, Omar Maldonado, Juan Carlos Hernández, Carlos Zapata

13 Catalysts sulphide Fe-Mo supported in Zn-hydroxyapatites and its application in thiophene hydrodesulfurization reaction 259

Catalizadores sulfurados Fe-Mo soportados en Zn-hidroxiapatitas y su aplicación en la reacción de hidrodesulfuración de tiofeno

Carlos Felipe Linares, Edith Figueredo y Freddy Ocanto

14 Development of virtual instrumentation applied to telecommunications laboratories using the Red Pitaya board 266

Desarrollo de instrumentación virtual aplicada a laboratorios de telecomunicaciones usando la tarjeta Red Pitaya

Giusseppe Perretti, Robert Fernández, Carlos Mejías y Carlos Aponte

15 Nevus classification by calculating the fractal dimension and the harmonic analysis of the contour extracted from multispectral images 276

Clasificación de nevus mediante el cálculo de la dimensión fractal y el análisis armónico del contorno extraído de imágenes multiespectrales

Alvaro Ascencio, José Zapata y Ahmad Osman

16 A liposoluble colorant from Annatto seeds (Bixa Orellana L.) as an input for food industry 291

Un colorante liposoluble de semillas de Onoto (Bixa Orellana L.) como insumo para la industria alimentaria

José Camacaro, José Gómez, Milagros Jiménez, Cristóbal Vega y Lisbeth Manganiello

17 Evaluation of water availability in the Cabanillas river basin of the Peruvian Altiplano under regionalized climatic scenarios 307

Evaluación de la disponibilidad hídrica en la cuenca del río Cabanillas del Altiplano peruano bajo escenarios climáticos regionalizados

Pilares H., I. A., Montalvo, N., Mejía M., A., Guevara P. E., Fano M., G., Alfaro A., R.

Erratum 320

Fe de errata 321

Índice de materias 322

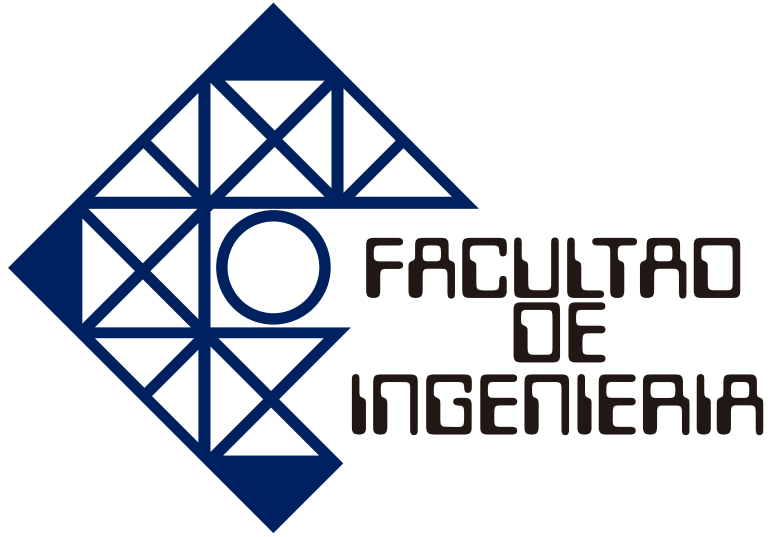
Subjects index 324

Índice de autores (Author index) 326

Apéndices 1

A. Línea editorial 2

B. Editorial line	3
C. Normas para la presentación de artículos	4
D. Authors Information	7
E. Carta de compromiso	9
F. Compromise letter	10
G. Índices de Revista Ingeniería UC	11



Volumen 25 Número 2

Editorial

La Revista Ingeniería UC en su edición de su número dos (2) correspondiente al periodo de mayo a agosto del año 2018 de su volumen 25, muestra su capacidad de mantenerse al día y dando investigaciones de altísima calidad dentro y fuera del país, mediante una política de auto gestión basado en donaciones para hacer posible su edición y montaje en los tiempos previsto en los cuales debe salir cada número de la Revista en línea. De esta manera cumplimos con todos los autores que nos confían sus productos de investigación y con la puntualidad que se espera de la Revista por parte de todos los índices internacionales y nacionales donde se encuentra indexada nuestra Revista Ingeniería UC. Tenemos una trayectoria de 25 años y una gran responsabilidad sobre nuestros hombros con todos aquellos que han trabajado arduamente para hacer de la Revista una ventana de nuestra Ilustre Universidad de Carabobo y por ende de la Facultad de Ingeniería a toda la comunidad científica Nacional e Internacional.

Abrimos la presente edición con dos revisiones del estado del arte aportadas por Bullón y su grupo del Laboratorio de formulación, interfases, reología y procesos - FIRP de la Universidad de los Andes - ULA y otra presentada por Contreras y Urdaneta de la Facultad de Ingeniería de la Universidad del Zulia – Luz; en la primera se realiza una revisión sobre la formación de películas monomoleculares de sustancias tensoactivas (surfactantes) en las interfases aire-agua y aceite – agua mediante el empleo de la técnica de la bandeja de langmuir. La segunda revisión presenta un extenso estudio de las características técnicas y estructurales de las antenas de banda ultra ancha (UWB) para sistemas de comunicaciones en las bandas de microondas.

Yaguaratty y colaboradores desarrollaron un modelo matemático para evaluar las variables de operación de evaporadores verticales por medio de una herramienta computacional. Muñoz y López en su investigación presentan un modelo simplificado de la piel humana adulta como un medio turbio de tres capas para estudiar el comportamiento de la absorbancia en este tejido mediante una simulación basada en el método de Monte Carlo e implementando un algoritmo paralelo. Guevara-Pérez expone en su trabajo un análisis resumido sobre la gestión integral de los recursos hídricos en el Perú.

Medina y colaboradores estudiaron el comportamiento mecánico de mezclas de ácido poliláctico (PLA) con poliestireno (PS) las cuales son de vital importancia para el desarrollo de nuevos productos que sean amigables con el ambiente. Sáenz, García y Guzmán focalizan su investigación en evaluar el comportamiento de un acero inoxidable dúplex SAF 2304 frente a la corrosión por picadura en un medio clorado. Hurtado y su grupo desarrollaron una herramienta computacional a fin de determinar las condiciones óptimas de extracción en ciclos regenerativos a partir de cálculos térmicos asociados a cada uno de los elementos del sistema. Guerra y co-trabajadores emplearon el análisis espectral de torque electromagnético con la finalidad de determinar fallas de excentricidad en motores de inducción trifásicos mediante el discriminante canónico.

Robledo nos presenta en su trabajo un análisis de la normativa técnica de la radiodifusión sonora AM vigente en Venezuela y además aporta una propuesta de matriz de distancias mínimas entre estaciones transmisoras AM para el país. Valor y su equipo enfatizan la importancia de la planificación del parámetro “Physical Cell ID” (PCI), pues constituye un paso muy importante en el despliegue de toda la red LTE (tecnológica móvil de alta capacidad). Otro aporte del grupo de Medina y trabajadores fue la degradación hidrolítica y biodegradación de mezclas de ácido poliláctico (PLA) con residuos plásticos de interés en el entorno medioambiental. Linares, Figueredo y Ocanto nos exponen sus estudios de catalizadores sulfurados de Fe-Mo soportados en Zn-hidroxiapatitas y su aplicación en la reacción de hidrodesulfuración

de tiofeno.

Dos tesis premiadas de la Escuela de Ingeniería de Telecomunicaciones de nuestra Facultad de Ingeniería de nuestra ilustre Universidad de Carabobo forman parte de esta edición Perretti y Fernández nos exponen su investigación sobre el desarrollo de una instrumentación virtual aplicada a los laboratorios de telecomunicaciones usando Red Pitaya. Ascensio y Zapata también son reconocidos con su trabajo Clasificación de Nevus mediante el cálculo de la dimensión fractal y el análisis armónico del contorno extraído de imágenes multiexpectrales para la detección temprana de melanomas en piel, aportes muy valiosos en el campo de la medicina. Felicitaciones a estos nuevos profesionales y a los profesores que guiaron sus trabajos.

Finalmente, ya para finalizar la exposición de las diferentes investigaciones que conforman este numero 2 de nuestra Revista, Camacaro y colaboradores en su trabajo nos plantean la obtención de un colorante liposoluble para la industria de alimentos a partir de la Bixa Orellana L. comúnmente conocido como Onoto. Y cerramos con Pilares y co-investigadores donde nos presentan sus estudios sobre la disponibilidad hídrica en la cuenca del rio Cabanillas del Altiplano Peruano bajo diferentes escenarios climáticos regionales.

Nos despedimos deseando como es costumbre en nosotros invitando muy cordialmente a publicar en nuestra Revista Ingeniería UC a todos aquellos investigadores nacionales e internacionales interesados en confiarnos sus productos científicos en las diferentes áreas de la ingeniería, ciencias afines

Profesor *José Luís Nazar*
Decano de la Facultad de Ingeniería

Profesora *Lisbeth Manganiello*, PhD
Editora – Jefe

Review on asphaltene films at air – water and oil – water interfaces

Yasmín Tatá, Franklin Salazar – Rodríguez, Ana M. Forgiarini, José G. Delgado-Linares y Johnny Bullón*

Laboratorio de Formulación, Interfases, Reología y Procesos (FIRP), Universidad de los Andes, Mérida 5101, Venezuela

Abstract.- The formation of mono-molecular films (monolayers) of surfactants, at air – water and oil – water interfaces, is possible by using the Langmuir trough technique. This technique is very important in the oil industry, because it allows the study of characteristics and behavior of films formed by asphaltenes, resins and other interfacially active components of crude oil, also it is a tool for determining the influence of physico-chemical variables (temperature, pH, initial surface concentration, type of solvent and addition of chemicals) on films. The information obtained on molecular interactions at interfaces, molecular orientation and rigidity of films, help to understand the role played by surfactant compounds of crude oil in the stability of the water-in-oil emulsions (W/O) generated during the operations of petroleum production and transportation. The analysis of the effect of solvent aromaticity and addition of demulsifiers and alcohols on the rigidity of the films contributes to the development of new methods to break up crude oil emulsions or prevent their formation.

Keywords: Langmuir films; asphaltenes; petroleum; surfactants; demulsifiers.

Revisión sobre películas de asfaltenos en las interfases aire – agua y aceite – agua

Resumen.- La formación de películas mono-moleculares de sustancias tensoactivas (surfactantes) en las interfases aire – agua y aceite – agua es posible mediante el empleo de la técnica de la Bandeja de Langmuir. Su uso es muy importante en la industria petrolera, debido a que permite el estudio de las características y del comportamiento de las películas formadas por asfaltenos, resinas y otros componentes interfacialmente activos del crudo y determinar la influencia que tiene sobre las películas la modificación de variables como la temperatura, el pH, la concentración superficial inicial, el tipo de disolvente y la adición de otras sustancias químicas. La información obtenida sobre las interacciones moleculares en las interfases, la orientación de las moléculas y la rigidez de las películas, ayudan a comprender el papel que desempeñan los compuestos tensoactivos del crudo en la estabilidad de las emulsiones de agua en aceite (W/O), generadas durante su extracción y transporte, las cuales constituyen uno de los principales problemas de esta industria. El análisis del efecto de la aromaticidad de los disolventes y la adición de demulsificantes y alcoholes sobre la rigidez de las películas, contribuye al desarrollo de métodos para romper las emulsiones o prevenir su formación.

Palabras claves: películas de Langmuir; asfaltenos; petróleo; surfactantes; demulsificantes.

Recibido: abril 2018

Aceptado: junio 2018

1. Introducción

Las dos propiedades más importantes en la ciencia de los surfactantes o tensoactivos (sustancias con doble afinidad, polar – apolar) son la adsorción en las interfaces y la asociación de las moléculas entre sí, ambas promovidas por la necesidad de llevar al mínimo su energía

libre. La adsorción de surfactantes en la interfase disminuye la tensión interfacial y favorece procesos como la emulsificación, la recuperación de crudo y la generación de espumas. La asociación de moléculas depende de la estructura del surfactante y de la interacción que existe entre ellas mismas y con el medio solvente que las contiene, favoreciendo la formación de estructuras ordenadas tanto en el seno del solvente como en las interfaces, como es el caso de la formación de micelas, hemimicelas, monocapas, bicapas y cristales líquidos.

* Autor para correspondencia:

Correo-e: jbullon@ula.ve (Johnny Bullón)

La estructuración interfacial de las moléculas de

surfactantes genera películas de espesor y rigidez variable que constituyen un factor fundamental en la estabilidad de dispersiones de uso común doméstico e industrial [1, 2]. Estas películas pueden tener el espesor de una (monocapa) o varias moléculas de surfactante.

El tipo de película que puede formar un surfactante en una interfase agua – aire (superficie) dependerá de la solubilidad de los tensoactivos en la fase acuosa. Así, si la solubilidad es elevada o muy baja, formará una película de Gibbs o una película de Langmuir respectivamente. Cualquiera sea el caso, el conocimiento de las propiedades fisicoquímicas de la película permite el desarrollo de nuevos materiales (tales como: recubrimientos, sensores químicos y biológicos, etc.) así como de estrategias de control para situaciones indeseables en muchas ramas de la práctica ingenieril.

Venezuela, por ser un país que cuenta con cuenta con cerca del 90 % de las reservas de crudo extrapesados del mundo [3], debe hacer serios esfuerzos en orientar la investigación básica y aplicada hacia el aprovechamiento integral de tan vastos recursos energéticos. En este sentido, la fracción del petróleo conocida como *asfaltenos* es la responsable de formar películas en la interfase agua – aceite y estabilizar las emulsiones indeseables de agua – en – petróleo que se forman en las diferentes etapas de la producción petrolera. Así mismo, se ha demostrado que los asfaltenos tienen un rol fundamental en la estabilización de espumas en sistemas petroleros [4, 5, 6, 7, 8]. Por lo tanto, los métodos de control de espumas y de emulsiones principalmente involucran la desestabilización de la película asfáltica interfacial a través de la variación de parámetros físicos (calentamiento, dilución, aplicación de campos eléctricos, centrifugación, etc.) y de la adición de sustancias químicas (fundamentalmente formulaciones surfactantes) en las etapas tempranas del tratamiento de petróleo una vez que deja el pozo productor [4, 9].

El efecto que sobre la interfase agua – crudo tiene cada uno de estos métodos puede estudiarse a través de varias técnicas experimentales. La Bandeja de Langmuir es uno de los dispositivos experimentales de mayor uso en los estudios de sistemas petroleros,

debido a la valiosa información que arroja sobre la rigidez de la película de surfactantes en las interfaces aire – agua y aceite – agua.

El presente artículo constituye una revisión de la literatura de los aspectos fisicoquímicos más relevantes de las películas interfaciales de asfaltenos y otras fracciones petroleras y su relación con la estabilidad de emulsiones de agua en aceite (W/O), típicas en los procesos de extracción y transporte de crudo.

2. Películas mono – moleculares (monocapas)

Cuando una pequeña cantidad de una sustancia orgánica, no volátil y prácticamente insoluble en un líquido (conocido como líquido soporte), se coloca sobre su superficie, se pueden observar los siguientes comportamientos: a) la sustancia puede permanecer como una gota compacta, dejando el resto de la superficie del líquido limpio; o b) puede extenderse sobre la superficie del agua y ésta se cubre con una capa cuyo espesor es igual a la longitud de una molécula de soluto (monocapa). La formación de una monocapa insoluble o película mono–molecular, depende de un delicado balance de fuerzas intermoleculares atractivas y repulsivas y está determinada por las fuerzas de interacción entre la sustancia y el líquido soporte [10, 11].

Generalmente, las monocapas insolubles son preparadas depositando sustancias anfífilas orgánicas (sean o no surfactantes), de muy baja solubilidad en la fase que ofrece soporte, de tipo RX, siendo R una cadena hidrocarbonada y X un grupo polar, sobre una superficie acuosa. Dado que el agua es el líquido más usado como soporte en el estudio de monocapas de compuestos orgánicos, se restringe esta revisión a tales situaciones, a menos que expresamente se indique otra cosa.

Cuando existe una atracción débil entre las moléculas de la sustancia orgánica y las moléculas de agua, la película no se formará o su estabilidad será muy baja. Si, por el contrario, hay interacciones entre los grupos polares de la sustancia y las moléculas de agua, a través de enlaces de hidrógeno, y fuerzas laterales de Van der Waals entre las cadenas carbonadas, se formará la película. Las interacciones intermoleculares entre

la sustancia orgánica y el líquido soporte, lo mismo que la temperatura, son factores de primer orden en la formación de películas superficiales, que determinan la distribución de las moléculas a nivel de la interfase. Así, se forma una monocapa estable cuando el trabajo de adhesión entre la sustancia y el agua (W_A) es mayor que el trabajo de cohesión (W_C) de las moléculas de la sustancia entre si [10, 11].

Como medida del poder de extensión de una sustancia se emplea el parámetro de extensión, el cual corresponde a la diferencia entre el trabajo de adhesión y el trabajo de cohesión [12].

$$S = W_A - W_C \quad (1)$$

El parámetro de extensión se puede expresar en términos de cantidades medibles [12].

$$S = \gamma_2 - \gamma_1 - \gamma_{12} \quad (2)$$

donde, S : parámetro de extensión, γ_1 : tensión superficial del líquido que se esparce (líquido 1), γ_2 : tensión superficial del líquido soporte (líquido 2) y γ_{12} : tensión interfacial entre los líquidos 1 y 2.

Si el coeficiente de extensión es mayor que cero ($S > 0$), un líquido se puede extender sobre la superficie del otro formando una película, cuando es menor que cero ($S < 0$) el líquido que sobrenada simplemente formará gotas [12, 13].

Materiales de diferente naturaleza han sido identificados como formadores de películas insolubles, tal es el caso de surfactantes, polímeros y petróleo y sus fracciones; los cuales se disuelven en un solvente orgánico volátil e insoluble en agua (cloroformo, hexano o tolueno) y se depositan sobre la superficie de un líquido con una tensión superficial relativamente alta (como el agua). Al evaporarse el solvente se forma una película, que modifica significativamente las propiedades físicas de la región interfacial [10, 14].

En general, para que se forme una monocapa insoluble en la interfase aire – agua, las cadenas hidrocarbonadas de las sustancias utilizadas deben tener 10 o más carbonos [1]. Si la cadena es más corta, pero el anfífilo es insoluble en agua, pueden formarse micelas en la fase acuosa. Por el contrario,

si la longitud de la cadena es demasiado larga, el anfífilo tiende a cristalizar en la superficie del agua. Determinar la longitud óptima de la cadena del hidrocarburo no es tarea fácil, ya que la capacidad de formación de una película también depende de la parte polar del anfífilo [14].

2.1. Presión superficial

Uno de los parámetros más usados para estudiar las propiedades estructurales de películas de anfífilos en interfases líquido – gas es la presión superficial (π), definida como la diferencia entre la tensión superficial del líquido soporte puro (γ_0) y la del líquido con una película adsorbida (γ), así:

$$\pi = \gamma_0 - \gamma \quad (3)$$

En el caso de películas depositadas en interfases líquido – líquido, las tensiones indicadas en la ecuación 3, serán interfaciales.

Tal y como está definida en la ecuación 3, la presión superficial representa una especie de presión de expansión ejercida por la película y que se opone a la tensión superficial (de contracción) del líquido puro (ver Figura 1) [15].

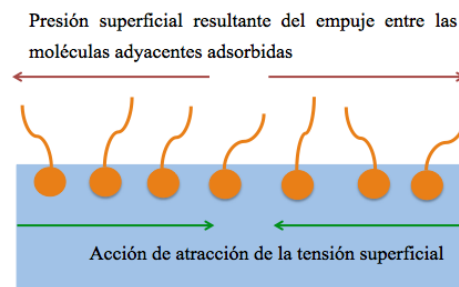


Figura 1: La presión superficial visualizada como opuesta a la acción de la tensión superficial.

2.2. Construcción de las isothermas presión superficial versus área. Bandeja de Langmuir

Uno de los dispositivos empleados para estudiar el comportamiento de las películas o monocapas en interfases aire – agua y agua – aceite es la Bandeja de Langmuir (denominada así en honor a Irving Langmuir, pionero en el estudio de la química de

superficies), cuyo principio de acción es la medida de la presión superficial del sistema en estudio a medida que se modifica el área ocupada por las moléculas de la película en la interfase. Cuando en una sustancia volátil e insoluble en agua se disuelve un anfífilo y se coloca sobre una superficie de agua, la solución se propaga rápidamente para cubrir el área disponible y al evaporarse el disolvente, se forma una película (monocapa o no). Monitoreando la presión superficial de la superficie formada por el aire, la película de anfífilo y el líquido soporte, a medida que se reduce el área superficial (interfacial) de la película, a una velocidad de compresión y temperatura constante, es posible construir una Isoterma de Langmuir. El estudio de tales isotermas permite el análisis de las propiedades estructurales y características de las películas superficiales (interfaciales) y proporciona información útil acerca del tamaño, la forma, la disposición molecular y las interacciones entre ellas y el líquido soporte [10, 14, 16].

El área superficial del líquido soporte en la Bandeja de Langmuir es variable y depende de la capacidad volumétrica del dispositivo. Normalmente, las bandejas comerciales constan de dos barreras móviles que se mueven simétricamente sobre la superficie del líquido soporte y que permiten la compresión y descompresión de la película formada en la interfase agua – aire (o agua – aceite, si es el caso), modificando en consecuencia el área ocupada por las moléculas en la película (ver Figura 2). Por su parte, la tensión superficial del sistema (y en consecuencia su presión superficial) se determina mediante el método de la placa de Wilhelmy [10].

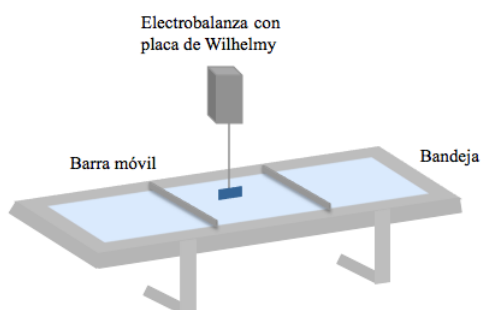


Figura 2: Esquema de la bandeja de Langmuir.

2.3. Estados de las monocapas

Las moléculas de anfífilos que forman una monocapa en la interfase líquido – gas, experimentan una serie de interacciones entre los distintos grupos de átomos que las integran, a saber, interacciones atractivas entre los grupos alquilo y entre los grupos polares y el líquido soporte (que como ya se dijo es por lo general agua) e interacciones repulsivas entre las cabezas polares de las moléculas en la monocapa. La atracción alquílica corresponde a las fuerzas de Van der Waals y por lo tanto se incrementa con la longitud de la cadena carbonada o con la reducción de la distancia intermolecular [17].

Cuando se reduce el área superficial, el empaquetamiento molecular cambia y en consecuencia la magnitud de las interacciones mencionadas, así, la variación de la presión superficial (π) en función del área molecular (A) configura una curva (isoterma) similar a la isoterma presión versus volumen típica de una sustancia pura. Se puede entonces hacer una analogía entre los diferentes arreglos moleculares en la monocapa de anfífilo y los estados físicos de la materia. Tal y como se muestra en la Figura 3, los estados (o fases) de las películas mono – moleculares se agrupan en: películas gaseosas, películas líquidas (expandidas y condensadas) y películas sólidas.

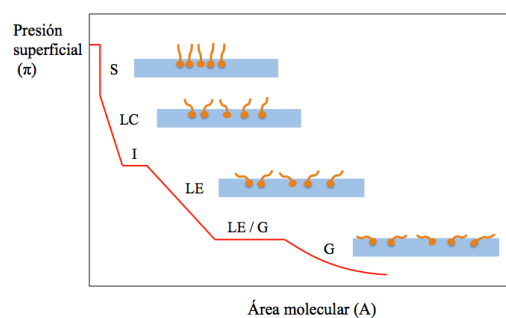


Figura 3: Isoterma de Langmuir de una sustancia anfífila, indicando los diferentes estados físicos.

En la fase gaseosa (G), las moléculas se encuentran bastante separadas unas de otras y se mueven de manera prácticamente independiente, su interacción mutua es casi nula. Esta región de la isoterma, que se encuentra a áreas superficiales

relativamente elevadas, puede modelarse con una relación matemática similar a la Ley del Gas Ideal:

$$\pi A = kT \quad (4)$$

donde k es la constante de Boltzmann y T la temperatura.

Por su parte, las fases o estados líquidos aparecen a menores áreas moleculares. El ordenamiento de las moléculas a nivel de superficie y las interacciones mutuas se hacen evidentes, las cadenas alquílicas comienzan a alinearse verticalmente y en dirección perpendicular a la superficie. El aumento progresivo de π , indica que el anfífilo incrementa su actividad superficial a medida que se reduce el área. Como es de esperarse, el líquido expandido (LE) se ubica a mayores áreas moleculares que el líquido condensado (LC), lo que da cuenta del mayor empaquetamiento de esta última fase y en consecuencia su menor compresibilidad.

Si se disminuye aún más el área molecular, aparece la fase sólida (S), en la cual la variación de la presión es muy marcada (casi una línea vertical en la curva π versus A), indicando un alto grado de empaquetamiento molecular y en consecuencia alta rigidez de la película. La orientación de las moléculas es prácticamente perpendicular a la superficie y la compresibilidad de la película es casi nula. Si en esta fase se extrapola la curva π versus A hasta intersectar el eje de las abscisas, se obtiene un área molecular muy cercana al área transversal de una sola molécula de la sustancia bajo estudio. Una futura reducción del área más allá del estado sólido, puede ocasionar una disminución brusca de π , indicando el colapso o ruptura de la película [1] [15, 17].

Tal y como se muestra en la Figura 3, pueden ocurrir fases o estado transicionales (LE/G, I) que marcan el cambio en la estructuración molecular a medida que las interacciones intermoleculares dominantes se van modificando.

Cabe resaltar que isoterma como la mostrada en la Figura 3 son típicas de ácidos carboxílicos de cadena larga, en las que se aprecia claramente los diferentes estados de la película superficial. No obstante, las isotermas de sistemas complejos (tal es el caso de las fracciones petroleras) normalmente no muestran todos los estados e

incluso la diferenciación entre los estados presentes no es clara; esto ocurre en sistemas con una amplia distribución de pesos moleculares, como la fracción *asfaltenos* del petróleo [18].

2.4. Compresibilidad de la Monocapa

Es un parámetro de suma importancia que se relaciona con la variación de la actividad superficial (interfacial) del anfífilo en la monocapa en función del cambio de área superficial (interfacial), de tal manera que para ciertas aplicaciones se toma la compresibilidad (C^S) como una medida de la “rigidez” de la monocapa [19]. Matemáticamente se tiene [11]:

$$C^S = \frac{-1}{A} \left(\frac{\partial A}{\partial \pi} \right) \quad (5)$$

Generalmente, la pendiente de la isoterma $\left(\frac{\partial A}{\partial \pi} \right)$ se toma en la región o estado cuya compresibilidad se desea analizar y el área molecular (A) constituye el área que se lee en el corte con el eje de las abscisas de la extrapolación de la región considerada para $\pi = 0$. En las isotermas de las películas de Langmuir de asfaltenos y otras fracciones petroleras, se toma como referencia la compresibilidad del estado de líquido condensado [20].

3. Asfaltenos

La fracción *asfaltenos* es la más pesada y polar del petróleo, cuya definición operacional se basa en su solubilidad. Los asfaltenos son insolubles en hidrocarburos no polares, tales como el *n*-heptano y el *n*-pentano, y solubles en hidrocarburos aromáticos como el tolueno, benceno y la piridina [21, 22, 23]. La estabilización de dispersiones multifásicas por parte de los asfaltenos responde a la formación de una película interfacial de alta resistencia mecánica que envuelve los fragmentos de fase dispersa (gotas o burbujas) y que retarda la coalescencia (emulsiones) y el colapso (espumas) de tales dispersiones [5, 24]. Por tal motivo, el estudio de las películas asfálticas es de vital importancia en el conocimiento de los factores que afectan la estabilidad de las dispersiones petroleras

y en consecuencia en el diseño de estrategias para su mitigación y tratamiento; la técnica de la Bandeja de Langmuir constituye una herramienta de gran valía que aporta información sobre la naturaleza y compresibilidad de las películas de asfaltenos y otras fracciones de petróleo en interfaces aire – agua y agua – aceite.

4. Isotermas presión superficial versus área de películas de asfaltenos

4.1. Isotermas en la Interface Aire – Agua

Al comprimir la película de asfaltenos en la interfase aire – agua, se aprecian las fases: gas (I), líquido expandido (II) y líquido condensado (III) y una especie de plegamiento (IV), como se muestra en la Figura 4 [25, 26].

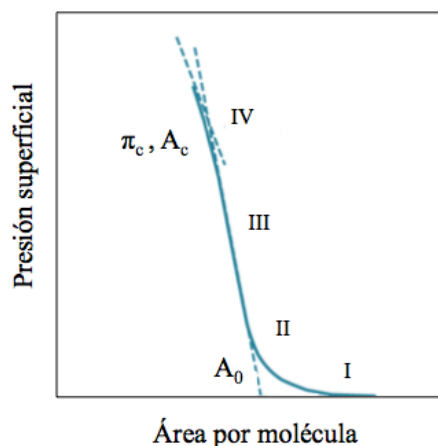


Figura 4: Isoterma presión superficial versus área molecular de asfaltenos del crudo Ayacucho de la Faja Petrolífera del Orinoco (modificado de la referencia [26]).

A muy baja compresión el área por molécula es grande y la película de asfaltenos se comporta como una fase gaseosa de dos dimensiones, donde las moléculas están muy separadas y presentan interacciones insignificantes unas con otras, estando orientadas al azar en la interfase. En esta etapa la energía libre y la tensión superficial de la fase acuosa (soporte) permanece sin alterar, por lo que no hay variación en la presión superficial de la película [18, 20, 27]. Cuando se comprime la

película, se reduce el área por molécula y éstas se acercan más y comienzan a interactuar unas con otras, creando una fase líquida expandida. La película tiene una compresibilidad baja y se presenta un aumento de la presión superficial y un cambio en la pendiente de la curva de la isoterma $\pi - A$, que se debe posiblemente a las interacciones entre las partes rígidas de los hidrocarburos aromáticos de los asfaltenos, los grupos polares están probablemente muy lejos para que interactúen. Las moléculas de asfaltenos se encuentran en la interfase con el anillo policíclico en posición casi paralela a la superficie del agua y a medida que aumenta la compresión sus cadenas laterales de alquilo se ubican verticalmente sobre la superficie del agua [18, 27, 28].

Al incrementar la compresión, las moléculas de asfaltenos se empaquetan estrechamente y sus cadenas laterales alifáticas se orientan ordenadamente y paralelamente unas respecto a las otras, conduciendo a una fase líquida condensada. Cuando el área por molécula se reduce más, hasta un valor de área crítica, la película de asfaltenos comienza a plegarse hacia arriba y probablemente se origina una nueva fase tridimensional a un valor crítico de presión superficial, en este punto la isoterma $\pi - A$ tiene un cambio sutil de pendiente y la presión superficial aumenta lentamente. Por encima de la presión superficial crítica (π_c) no se observa la fuerte reducción de la presión superficial debida al colapso abrupto de la película. Esto se ha observado en las monocapas de anfífilos típicos y sugiere que las moléculas de asfaltenos están enredadas, formando una película elástica en la interfase. Sin embargo, se forman betas de color marrón cerca de los bordes interiores de las dos barreras de compresión, cuya aparición es una indicación del colapso de la película y de que algunas moléculas de asfaltenos pasan a formar una fase tridimensional [18, 20, 25, 26, 28, 29]. En las isotermas no se observan transiciones de fases, debido a que los asfaltenos están compuestos por una mezcla de especies de distintos pesos moleculares, cada una con diferentes zonas de transición [18, 20, 25, 26, 29, 30].

En la interfase aire – agua, la forma de las isotermas de las películas de los asfaltenos y

sus fracciones de alto y bajo peso molecular son similares, con pendientes casi idénticas en la región de líquido condensado. A mayor peso molecular de los asfaltenos, los valores de la presión superficial crítica y el área molecular se incrementa y la película es más expandida [18]. La película de asfaltenos en la interfase aceite – agua, se comporta de manera diferente que en la interfase aire – agua. Parece que el heptol (usado como fase aceite) con una fracción alta de tolueno, proporciona un entorno más favorable, para que los asfaltenos se vuelvan más flexibles y compresibles. Los estados de las películas son mucho más difíciles de identificar en la interfase agua – heptol, lo que sugiere que la monocapa es más fluida. Cuando la presión interfacial es inferior a la crítica, la isoterma obtenida en la interfase agua – heptol es más expandida que en la interfase aire – agua y el valor de la presión interfacial crítica aumenta al incrementar la fracción de heptano en el heptol [29, 31]. Los experimentos de dilución o lavado de una película de asfaltenos en una interfase agua – aceite permiten estudiar el grado de adsorción de las moléculas en la interfase. La película de asfaltenos permanece en la interfase y los asfaltenos no migran de la película a la fase oleosa o acuosa, por lo tanto, se adsorben irreversiblemente en la interfase, lo cual se debe a que las partes hidrofílicas de los asfaltenos se unen con moléculas de agua, formando una interfase estructurada que es insoluble en cualquiera de las fases; al parecer la composición química de los asfaltenos en la interfase cambia a través de la unión o reacción con el agua. Además, las interacciones laterales que incluyen fuerzas de Van der Waals entre las moléculas de asfalto son responsables de la estabilización de los agregados y son importantes para mantener la película irreversiblemente adsorbida en la interfase. La naturaleza irreversible de la película de asfaltenos en la interfase puede ser responsable de la estabilización de las emulsiones W/O [32, 30, 33, 34].

Al realizar ciclos de compresión – expansión sucesivos a las películas de asfaltenos, las isotermas obtenidas son muy diferentes y se evidencian cambios irreversibles en las películas, lo que indica

un alto grado de histéresis. Durante la primera compresión de la película, se forman estructuras asociadas o agregados y cuando se descomprime la película, las moléculas de asfalto en la interfase no se relajan de nuevo a su estado original, lo que demuestra que la película de asfaltenos es rígida. El grado de histéresis aumenta con la presión superficial y con el número de ciclos de compresión – expansión [18, 20, 28, 35].

Los asfaltenos pueden agruparse en dos fracciones estructuralmente semejantes, pero que tienen diferencias en la solubilidad. La fracción A1 es poco soluble en compuestos aromáticos y la fracción A2 presenta alta solubilidad en los mismos. La fracción A1 es más pequeña, esto se debe a que en la molécula los núcleos policíclicos están unidos por anillos que le restan movilidad y flexibilidad, en la molécula de A2 están enlazados por cadenas alifáticas flexibles, ocupando más espacio. En base a la solubilidad de ambas fracciones y la del asfalto, se ha propuesto un modelo hipotético de un coloide formado por las fracciones de asfaltenos, donde la médula está ocupada por A1 y la periferia por A2, rodeando a A1 y permitiendo la estabilidad y dispersión [36, 37, 38, 39]. En la Figura 5, se muestra una estructura propuesta para las moléculas de asfaltenos.

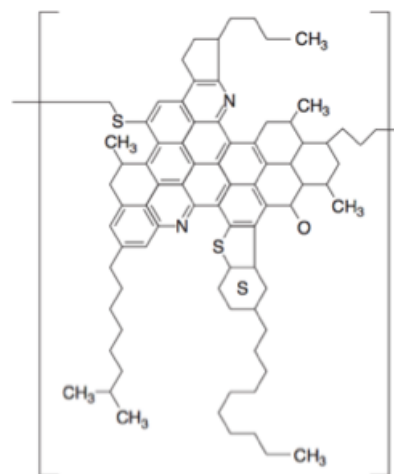


Figura 5: Estructura propuesta para las moléculas de asfaltenos (tomada de la referencia [40]).

En la Figura 6, se presentan los modelos moleculares para las fracciones A1 y A2 de los

asfaltenos.

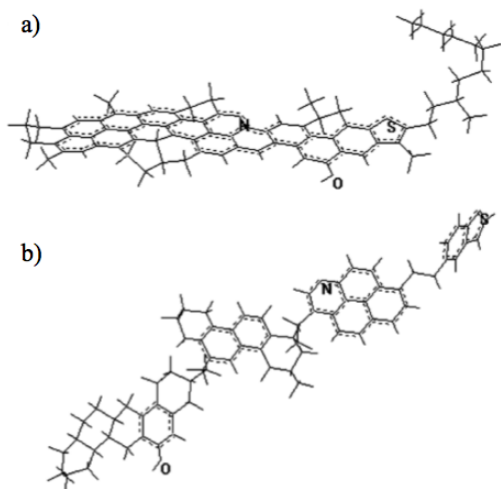


Figura 6: Modelos moleculares para las fracciones de asfaltenos a) fracción A1, b) fracción A2 (Tomada de la referencia [37]).

En estudios efectuados a las fracciones A1 y A2 del asfalteno del crudo Ayacucho de la Faja Petrolífera del Orinoco (compuesto por 60 % de A1 y 40 % de A2 antes de su fraccionamiento), se encontró que la película de A1 es mucho menos compresible que la del asfalteno y A2, esto demuestra que el asfalteno se comporta de manera semejante que A2, la cual solapa el comportamiento de A1 [39]. En la Figura ??, se muestran de manera esquemática las isotermas para el asfalteno y las fracciones A1 y A2.

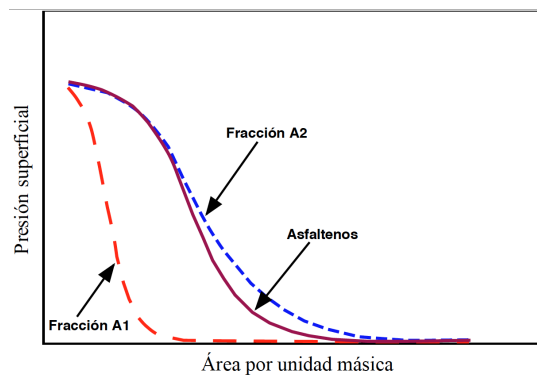


Figura 7: Isotermas presión superficial versus área de las fracciones A1 y A2 de los asfaltenos.

4.2. Influencia de distintos parámetros sobre las isotermas presión superficial versus área de películas de asfaltenos

4.2.1. Naturaleza y aromaticidad del disolvente

Las isotermas presión superficial – área y la espectroscopia UV – visible de películas de asfaltenos en la interfase aire – agua usando diferentes disolventes, indican que los nanoagregados se esparcen sobre la superficie del agua y la compresión de la película conduce a la formación de agregados más grandes, cuyo tamaño depende del solvente utilizado. La similitud de estos agregados en diferentes disolventes sugiere que su formación es una propiedad intrínseca de los asfaltenos y está probablemente relacionada con su estructura molecular [35, 41]. Igualmente, el estudio mediante microscopía de fuerza atómica de las películas de Langmuir – Blodgett formadas al transferir las películas interfaciales sobre un sustrato sólido, revelan la existencia de nanoagregados sobre la superficie del agua que coexisten con grandes agregados formados durante la compresión [33, 35]. La formación de estructuras de asociación con un área reducida por molécula, es la razón por la cual el área molecular de los asfaltenos no corresponde al tamaño esperado [27, 28]. El tamaño de los agregados de asfaltenos es mayor cuando disminuye la aromaticidad del disolvente. Empleando tolueno se obtiene una mejor dispersión por la presencia de los grupos polares en el disolvente aromático, que actúan como aceptores débiles de enlaces de hidrógeno, lo que facilita la disolución de los asfaltenos, las moléculas permanecen como monómeros y no forman agregados y se requiere una menor cantidad de asfaltenos para formar la película [27, 42, 43]. La actividad interfacial de una molécula de asfalteno está inversamente relacionada con la solubilidad. Los asfaltenos cercanos a su punto de precipitación se adsorben más fuertemente en una interfase que los asfaltenos completamente solubles y por lo tanto, son más difíciles de desplazar de una interfase y más propensos a estabilizar una emulsión, ya que forman una red de agregados reticulados. La capacidad de los asfaltenos de estabilizar las emulsiones W/O, se puede reducir pero no eliminar al modificar la naturaleza del

disolvente [42, 43, 44]. Los experimentos de la Bandeja de Langmuir han revelado que la naturaleza y la aromaticidad del medio crudo es un factor primordial en el estado y la rigidez de las películas de asfaltenos. Con el incremento de la aromaticidad del disolvente, se reduce la actividad interfacial de los asfaltenos. Así, tanto la presión superficial que puede alcanzarse como la rigidez de la película disminuyen y se hacen más compresibles y el área por molécula aumenta [32, 45]. Los estudios realizados en la interfase aire – agua a las películas de asfaltenos del crudo Ayacucho de la Faja Petrolífera del Orinoco, empleando distintos disolventes, mostraron que la compresibilidad de las películas y el área por molécula son mayores al utilizar tolueno como solvente que al emplear benceno y ciclohexano. Las películas formadas con ciclohexano son más rígidas, ya que la solubilidad de los asfaltenos es relativamente baja y se forman agregados de mayor tamaño. Las películas de asfaltenos se hacen más flexibles a medida que disminuye el contenido de heptano en el heptol [45]. En la Figura 8, se representa el comportamiento esperado para las isoterms de los asfaltenos al incrementar la aromaticidad del disolvente.

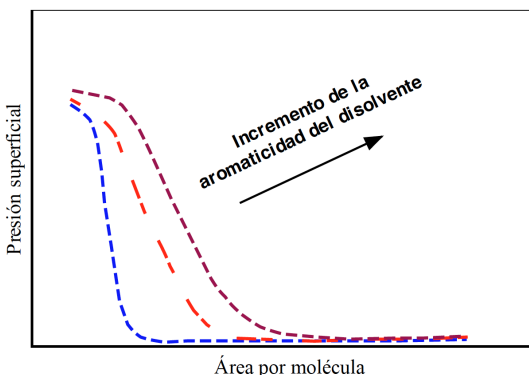


Figura 8: Isoterms presión superficial versus área molecular de los asfaltenos, variando la naturaleza del solvente.

4.2.2. Concentración superficial inicial

Las isoterms $\pi - A$ presentan el mismo comportamiento independientemente de la cantidad colocada de asfaltenos sobre la fase soporte para formar las películas. Sin embargo, a medida que la

cantidad de material se incrementa, las isoterms se desplazan hacia menores áreas específicas y la presión superficial aumenta para un área dada, lo que indica la presencia de más moléculas tensoactivas en la interfase. El estudio de las películas de asfaltenos formadas en la interfase agua – aceite, ha permitido demostrar que una vez que la interfase está completamente cubierta, el material sobrante permanece en la fase oleosa, ya que si se separa y analiza esta fase, se evidencia que hay actividad interfacial debido a la presencia de moléculas de asfaltenos que no migraron a la interfase, por lo tanto, el aumento de la concentración no conduce a un cambio en la hidrofobicidad, la morfología y el espesor de la película [18, 20, 27, 33].

4.2.3. Temperatura

En las monocapas de moléculas anfífilas típicas, el aumento de la temperatura ocasiona una expansión de la isoterma correspondiente, esto es debido a la mayor movilidad de las cadenas de alquilo con la temperatura, lo que produce una reducción de las fuerzas atractivas de Van der Waals. A presiones superficiales bajas, las isoterms de las películas de asfaltenos parecen regirse por este efecto, ya que se obtiene la tendencia esperada de mayores valores de área molecular a medida que se incrementa la temperatura. Cuando la película se comprime a presiones superficiales elevadas, a medida que aumenta la temperatura, las isoterms son desplazadas hacia valores de menores áreas específicas; a temperaturas altas, las cadenas hidrófobas de las moléculas de asfaltenos presentan una mayor flexibilidad, permitiendo de este modo una disposición intermolecular más densamente empaquetada que reduciría el área molecular correspondiente, y las películas son más compresibles [18, 20, 28].

4.2.4. pH de la Fase Soporte

El pH influye sobre la ionización de los grupos polares, lo cual podría causar la condensación de la película debido a la formación de sales. Sin embargo, las variaciones del pH de la fase soporte acuosa no afectan a las isoterms de las películas de asfaltenos, lo que sugiere que las interacciones

de los anillos poli – aromáticos y de las cadenas laterales alquilo dominan a las interacciones de los grupos ionizados de la parte hidrofílica de las moléculas y pueden ser las responsables del empaquetamiento de las películas [18, 20].

4.2.5. Adición de surfactantes. Aplicación en la deshidratación de crudo

Las propiedades de las películas de asfaltenos pueden alterarse con la adición de demulsificantes químicos, que son a su vez surfactantes hidrofílicos. El estudio de las isothermas de Langmuir de mezclas de asfaltenos con diferentes surfactantes, aporta información acerca de la estructura de las películas interfaciales y su estabilidad en procesos de importancia industrial como la demulsificación [25, 26, 46].

Las isothermas presentan las zonas correspondientes a las fases gas, líquido expandido, líquido condensado y cuando el área molecular es pequeña se produce el plegamiento de la película, similar a lo que ocurre en las isothermas de los asfaltenos. No se observan zonas de transición de fases, ni colapsos abruptos. Por encima de la presión superficial crítica, las películas siguen siendo compresibles y la presión superficial aumenta levemente, lo que sugiere que son elásticas. La presión superficial crítica de la película depende de la composición de la mezcla [25, 26, 29].

Con la adición de demulsificante a los asfaltenos en las interfases agua – aire y agua – aceite, se obtienen valores más altos de área crítica y de área molecular, la película se vuelve menos rígida y la compresibilidad aumenta. La compresibilidad de la película puede alterarse como consecuencia de la modificación del tamaño de los agregados y la formación de agregados mixtos, causada por interacciones de tipo Van der Waals y ácido – base entre los grupos funcionales presentes en los asfaltenos y el surfactante. La presencia del surfactante en la película de asfaltenos, genera una estructura menos compacta, con algunas regiones sin película asfáltica y se originan películas menos rígidas, disminuyendo así su capacidad de estabilizar emulsiones de agua en crudo, lo que favorece la demulsificación [25, 26, 29, 46, 47].

La disminución de la rigidez de la película también puede deberse a que los aditivos químicos restringen la formación de una película de asfaltenos en la interfase, debido a una adsorción más extensa de los surfactantes en comparación con los asfaltenos o a que dispersan a los asfaltenos en la fase oleosa. Esta variación en la rigidez de la película se observa con la adición de algunos demulsificantes de alto peso molecular y de resinas. La tasa de relajación aumenta significativamente con el incremento del peso molecular, lo que resulta en un drenaje más rápido de la película inter – gota y en consecuencia la velocidad de la coalescencia de las gotas de agua aumenta. Se ha demostrado que los demulsificantes altamente hidrófilos son menos adecuados para desestabilizar las emulsiones W/O, debido a una cinética de relajación más lenta [46, 47].

La Figura 9, muestra las isothermas para películas formadas por mezclas de ácido esteárico (ACES) y asfaltenos del crudo Ayacucho de la Faja Petrolífera del Orinoco en diferentes relaciones molares (Asfaltenos : ACES). Todas las películas de las mezclas exhiben mayor compresibilidad que las sustancias individualmente [25, 26]. En este caso, a pesar de que el ácido no es un surfactante, es un anfífilo cuyas interacciones con los asfaltenos en la interfase aire – agua arrojan una información importante y en cierto modo análoga a lo que ocurre en mezclas asfaltenos – demulsificante.

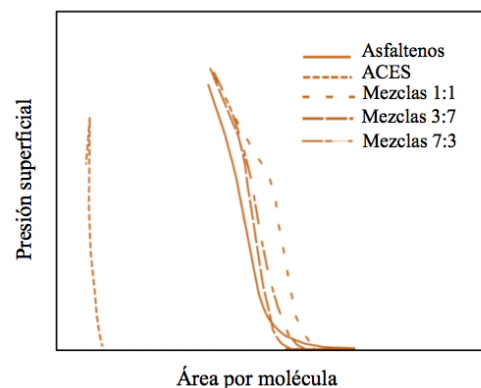


Figura 9: Isothermas presión superficial versus área molecular de la mezcla asfaltenos - ACES (ácido esteárico) en la interfase aire - agua (modificado de la referencia [26]).

La compresibilidad de la película está influenciada por la proporción empleada de la mezcla de asfaltenos y surfactante y la naturaleza del surfactante. En algunos casos cuando se utiliza un alto contenido de surfactante, se generan películas menos compresibles que las formadas por los asfaltenos puros, el área crítica y el área molecular son menores y la presión superficial crítica es mayor, por lo tanto, las películas son más rígidas. En consecuencia, el demulsificante debe emplearse en el petróleo sólo en determinadas concentraciones, ya que su sobredosisificación puede ocasionar un efecto indeseado, disminuyendo su compresibilidad y causando un aumento de la estabilidad de las emulsiones [25, 26, 29, 45]. La adsorción del demulsificante en la interfase crudo – agua y la disminución de la tensión interfacial es una condición necesaria, pero no suficiente para que sea eficiente. La eficiencia de un demulsificante depende de la influencia que tiene sobre la rigidez y estabilidad de la película interfacial, así como de su capacidad para difundirse rápidamente a través del fluido para llegar a la interfase en las emulsiones W/O y lograr alcanzar su concentración efectiva, lo cual constituye una etapa crítica del proceso de deshidratación de crudo [46, 47].

4.2.6. Adición de alcohol

La presencia de moléculas de alcohol (2-propanol) en la película, debilita las interacciones entre las moléculas de asfaltenos y ocasiona un rearrreglo de las moléculas en la interfase, formándose agregados más grandes y una película interfacial menos rígida, lo que contribuye a desestabilizar las emulsiones W/O [30].

4.2.7. Isotermas presión superficial versus área de películas de otras fracciones de petróleo

Las resinas presentan un grado de asociación menor que el de los asfaltenos, debido a que sus interacciones moleculares son más débiles y la aromaticidad del disolvente solo produce pequeños cambios en sus estructuras de asociación. Las moléculas se empaquetan en áreas muy pequeñas y las películas formadas en la interfase aire – agua, son mucho más compresibles a altas presiones superficiales que las películas de

asfaltenos. A medida que se incrementa la presión superficial, las moléculas de resinas interactúan más entre ellas y puede ocurrir la formación de una multicapa [32, 20, 46, 33]. Las resinas no pueden estabilizar las emulsiones W/O porque las películas formadas no son suficientemente rígidas para evitar la coalescencia. Sin embargo, conocer las interacciones de los asfaltenos con las resinas es crucial para entender la estabilidad y rigidez de las películas interfaciales. La presencia de resinas reduce la adsorción de los asfaltenos y aumenta la compresibilidad de la película, lo que resulta en una menor rigidez [27, 33, 46].

Las moléculas de maltenos (mezcla de las fracciones Saturados, Aromáticos y Resinas) se empaquetan en áreas muy pequeñas sin alcanzar un estado condensado. Sus películas presentan la más alta compresibilidad (menor rigidez), el área por molécula más pequeña y forman multicapas al incrementar la presión superficial. Los maltenos muestran poca histéresis, posiblemente porque éstos tienen la más alta flexibilidad y sus películas después de la expansión pueden prácticamente recuperar su estado inicial [32, 20].

Las películas interfaciales del bitumen y los asfaltenos tienen características semejantes, lo que indica que en la interfase están presentes moléculas de naturaleza similar. La isoterma de una película de bitumen exhibe una presión superficial para un área de bandeja dada más alta que las películas de asfaltenos, este comportamiento se debe a la existencia de moléculas interfacialmente activas adicionales como las resinas. Las películas de bitumen se hacen más compresibles a medida que aumenta la aromaticidad del disolvente, presentan una gran histéresis y tienen un área por molécula intermedia entre los maltenos y los asfaltenos, debido a que la presencia de los maltenos probablemente impide la formación de grandes agregados de asfaltenos. El bitumen desasfaltado no genera películas interfaciales rígidas que formen emulsiones W/O estables [32, 20, 33].

5. Consideraciones Finales

La estabilidad de las dispersiones multifásicas (emulsiones y espumas) que se encuentran

en diversos procesos industriales depende de la formación y características de películas de tensoactivos en diferentes interfases. En la industria petrolera, buena parte de los problemas asociados a la producción y transformación de hidrocarburos involucran interfases líquido – líquido y líquido – gas generadas de manera natural o como producto de la aplicación de tecnologías y métodos de extracción.

La Bandeja de Langmuir es una técnica experimental que permite determinar las características de las películas formadas por los asfaltenos, las resinas y demás sustancias interfacialmente activas del crudo en diferentes interfases. Así mismo, es una herramienta para analizar el efecto de distintas variables sobre la rigidez de tales películas, lo que a su vez contribuye a establecer la función de estos compuestos en la persistencia de las emulsiones de agua en aceite (W/O), y así encontrar soluciones para evitar su formación o para inducir su ruptura a través de métodos físicos y químicos, reduciendo los costos de producción y refinación del petróleo.

6. Referencias

- [1] Raj Rajagopalan and Paul C Hiemenz. *Principles of colloid and surface chemistry*. Marcel Dekker, 1997.
- [2] Regine Klitzing and Hans-Joachim Müller. Film stability control. *Current Opinion in Colloid & Interface Science*, 7(1-2):42–49, 2002.
- [3] A. Saniere. Definitions and specificities. In Huc Alain-Yves, editor, *Heavy Crude Oils From Geology to Upgrading and Overview*, chapter 2. Editions Technip, 2011.
- [4] V. H. Smith. Crude oil emulsions. In Howard B. Bradley, editor, *Petroleum Engineering Handbook*, chapter 19. Society of Petroleum Engineers, 1992.
- [5] Spiecker M. Kilpatrick P. Asphaltene emulsions. In J. Sjoblom, editor, *Encyclopedic Handbook of Emulsion Technology*, chapter 30. Marcel Dekker, 2001.
- [6] H. W. Yarranton, D. M. Sztukowski, and P. Urrutia. Effect of interfacial rheology on model emulsion coalescence: I interfacial rheology. *Journal of Colloid and Interface Science*, 310(1):246–252, 2007.
- [7] H. W. Yarranton, P. Urrutia, and D. M. Sztukowski. Effect of interfacial rheology on model emulsion coalescence: II emulsion coalescence. *Journal of Colloid and Interface Science*, 310(1):253–259, 2007.
- [8] D Langevin, S Poteau, I Hénaut, and JF Argillier. Crude oil emulsion properties and their application to heavy oil transportation. *Oil & Gas Science and Technology*, 59(5):511–521, 2004.
- [9] Sunil Lalchand Kokal. Crude oil emulsions: A state-of-the-art review. *SPE Production & facilities*, 20(01):5–13, 2005.
- [10] K. S. Birdi. *Lipid and Biopolymer Monolayers at Liquid Interfaces*. Springer Science + Business Media, 1989.
- [11] G. L. Gaines. *Insoluble Monolayers at Liquid-Gas Interfaces*. Interscience Publishers, 1966.
- [12] P. Becher. *Emulsiones, teoría y práctica*. Blume, 1^{ra} edition, 1972.
- [13] Gennes P. G. De, F. Brochard-Wyart, and D. Quere. *Capillarity and Wetting Phenomena: Drops, Bubbles, Pearls, Waves*. Springer, 2004.
- [14] KSV INSTRUMENTS LTD., Helsinki, Finland. *Langmuir and Langmuir-Blodgett Films. WHAT and HOW?* Application Note #107.
- [15] Drew Myers. *Surfaces, interfaces, and colloids*. Wiley-VCH, 2^{da} edition, 1999.
- [16] Patrycja Dynarowicz-Łątka, Anantharaman Dhana-balan, and Osvaldo N Oliveira Jr. Modern physicochemical research on langmuir monolayers. *Advances in Colloid and Interface Science*, 91(2):221–293, 2001.
- [17] K. S. Birdi. *Surface and colloid chemistry. Principles and applications*. CRC press, 2010.
- [18] Li Yan Zhang, Steven Lawrence, Zhenghe Xu, and Jacob H Masliyah. Studies of athabasca asphaltene langmuir films at air–water interface. *Journal of Colloid and Interface Science*, 264(1):128–140, 2003.
- [19] Marit-Helen Ese. Compressibilities and excess surface areas of mixed asphaltene/resin monolayers. influence of demulsifiers. *Journal of dispersion science and technology*, 20(7):1849–1859, 1999.
- [20] M. Elena Díaz, Francisco J. Montes, and Miguel A. Galán. Langmuir films of bitumen and its fractions extracted from oil shales (Puertollano, Spain). *Energy & Fuels*, 21(6):3455–3461, 2007.
- [21] Robert B. Long. *The Concept of Asphaltenes*, chapter 2, pages 17–27. 1981.
- [22] J. G. Speight. Petroleum asphaltenes. part 1: Asphaltenes, resins and the structure of petroleum: Pipeline transportation of heavy oils. *Oil & Gas Science and Technology*, 59(5):467–477, 2004.
- [23] J. Speight. *The Chemistry and Technology of Petroleum*. CRC Press, 2010.
- [24] Imtiaz Adil and Brij B. Maini. Role of asphaltenes in foamy oil flow. *Journal of Canadian Petroleum Technology*, 46(4):18–23, 2007.
- [25] A. Rangel. Estudio de las películas de asfaltenos en la interfase aire – agua. Efecto de la adición de moléculas tensoactivas. Trabajo Especial de Grado, Escuela de Ingeniería Química, Universidad de los Andes, Mérida, Venezuela, 2009.
- [26] J. Delgado, Juan C. Pereirac, Andreina Rangela, Franklin Salazara, Mairis Guevaraa, Ana Forgiarinia, and Johnny Bullóna. Efecto de la adición de moléculas anfífilas sobre las propiedades de la película de

- asfaltenos en la interfase aire-agua. *Revista Ingenieria UC*, 19(2):16–24, 2012.
- [27] M-H Ese, X Yang, and J Sjöblom. Film forming properties of asphaltenes and resins. a comparative langmuir–blodgett study of crude oils from north sea, european continent and venezuela. *Colloid and Polymer Science*, 276(9):800–809, 1998.
- [28] M. D. Lobato, J. M. Pedrosa, A. R. Hortal, B. Martinez-Haya, R. Lebron-Aguilar, and S. Lago. Characterization and langmuir film properties of asphaltenes extracted from Arabian light crude oil. *Colloids and Surfaces A: Physicochemical and Engineering Aspects*, 298(1-2):72–79, 2007.
- [29] Li Yan Zhang, Zhenghe Xu, and Jacob H Masliyah. Langmuir and Langmuir- Blodgett films of mixed asphaltene and a demulsifier. *Langmuir*, 19(23):9730–9741, 2003.
- [30] Li Yan Zhang, Robert Lopetinsky, Zhenghe Xu, and Jacob H Masliyah. Asphaltene monolayers at a toluene/water interface. *Energy & Fuels*, 4(19):1330–1336, 2005.
- [31] Jianjun Liu, Liyan Zhang, Zhenghe Xu, and Jacob Masliyah. Colloidal interactions between asphaltene surfaces in aqueous solutions. *Langmuir*, 22(4):1485–1492, 2006.
- [32] Alla Solovyev, Li Yan Zhang, Zhenghe Xu, and Jacob H. Masliyah. Langmuir films of bitumen at oil/water interfaces. *Energy & Fuels*, 20(4):1572–1578, 2006.
- [33] M. Sharath Chandra, Zhenghe Xu, and Jacob H. Masliyah. Interfacial films adsorbed from bitumen in toluene solution at a toluene- water interface: A Langmuir and Langmuir- Blodgett film approach. *Energy & Fuels*, 22(3):1784–1791, 2008.
- [34] Li Yan Zhang, Patrick Breen, Zhenghe Xu, and Jacob H. Masliyah. Asphaltene films at a toluene/water interface. *Energy & Fuels*, 21(1):274–285, 2007.
- [35] J. Orbulescu, O. C. Mullins, and R. M. Leblanc. Surface chemistry and spectroscopy of UG8 asphaltene langmuir film, part 2. *Langmuir*, 26(19):15265–15271, 2010.
- [36] Luis B. Gutiérrez, María A. Ranaudo, Bernardo Méndez, and Sócrates Acevedo. Fractionation of asphaltene by complex formation with p-nitrophenol. a method for structural studies and stability of asphaltene colloids. *Energy & Fuels*, 15(3):624–628, 2001.
- [37] Sócrates Acevedo, Optalí Escobar, Lorenzo Echevarria, Luis B. Gutiérrez, and Bernardo Méndez. Structural analysis of soluble and insoluble fractions of asphaltenes isolated using the PNP method. Relation between asphaltene structure and solubility. *Energy & Fuels*, 18(2):305–311, 2004.
- [38] Sócrates Acevedo, Alexandra Castro, Edgardo Vásquez, Francia Marcano, and María A. Ranaudo. Investigation of physical chemistry properties of asphaltenes using solubility parameters of asphaltenes and their fractions a1 and a2. *Energy & Fuels*, 24(11):5921–5933, 2010.
- [39] E. Mozes. Estudio de las películas de las fracciones A1 y A2 de asfaltenos en la interfase aire-agua. Trabajo Especial de Grado, Escuela de Ingeniería Química, Universidad de los Andes, Mérida, Venezuela, 2011.
- [40] James G. Speight. *Asphaltenes in Crude Oil and Bitumen: Structure and Dispersion*, chapter 8, pages 377–401. American Chemical Society, 1996.
- [41] Jhony Orbulescu, Oliver C. Mullins, and Roger M. Leblanc. Surface chemistry and spectroscopy of UG8 asphaltene Langmuir film, part 1. *Langmuir*, 26(19):15257–15264, 2010.
- [42] Joseph D. McLean and Peter K. Kilpatrick. Effects of asphaltene aggregation in model heptane–toluene mixtures on stability of water-in-oil emulsions. *Journal of Colloid and Interface Science*, 196(1):23–34, 1997.
- [43] Joseph D McLean and Peter K Kilpatrick. Effects of asphaltene solvency on stability of water-in-crude-oil emulsions. *Journal of Colloid and Interface Science*, 189(2):242–253, 1997.
- [44] Harvey W. Yarranton, Hisham Hussein, and Jacob H. Masliyah. Water-in-hydrocarbon emulsions stabilized by asphaltenes at low concentrations. *Journal of Colloid and Interface Science*, 228(1):52–63, 2000.
- [45] M. Dagert. Efecto de la adición de moléculas tensioactivas y de la naturaleza del solvente sobre interfases aire-agua estabilizadas por asfaltenos. Trabajo Especial de Grado, Escuela de Ingeniería Química, Universidad de los Andes, Mérida, Venezuela, 2012.
- [46] Marit-Helen Ese, Laurence Galet, Daniele Clause, and Johan Sjöblom. Properties of langmuir surface and interfacial films built up by asphaltenes and resins: influence of chemical demulsifiers. *Journal of Colloid and Interface Science*, 220(2):293–301, 1999.
- [47] Y. Tatá. Ruptura química de emulsiones W/O estabilizadas por asfaltenos. Trabajo Especial de Grado, Escuela de Ingeniería Química, Universidad de los Andes, Mérida, Venezuela, 2012.

Breve reseña de los autores

Yasmin Tatá: Ingeniero Químico. Profesor Instructor de la Escuela de Ingeniería Química de la Universidad de Los Andes. Investigadora adscrita al Laboratorio FIRP-ULA. yasmint@ula.ve

Franklin Salazar: Ingeniero Químico, MSc, estudiante del Doctorado en Ciencias Aplicadas de la Facultad de Ingeniería ULA. Profesor Agregado de la Escuela de Ingeniería Química de la Universidad de Los Andes, Investigador adscrito al Laboratorio FIRP. ULA. fsalazar@ula.ve

Ana Forgiarini: Ing. Químico. Doctorado. Profesora Titular de la Escuela Básica de Ingeniería, Universidad de Los Andes. Directora Adjunta del Lab FIRP-ULA. anafor@ula.ve

José Gregorio Delgado Linares. Ingeniero Químico, Doctorado en Ciencias Aplicadas. Profesor Asociado de la Escuela de Ingeniería Química de la Universidad de Los Andes. Investigador adscrito al Laboratorio FIRP-ULA. Profesor invitado en el Centro de Hidratos de gas, Escuela de Minas, Colorado. Estados Unidos. josedel@ula.ve

Johnny Bullón: Ingeniero Químico, Doctorado en Procesos de Separación, Profesor Titular de la Escuela de Ingeniería Química de la Universidad de Los Andes. Director del Laboratorio FIRP-ULA. jbullon@ula.ve

Laboratorio de Formulación, Interfases, Reología y Procesos (Lab FIRP-ULA), es un laboratorio de investigación y desarrollo de la Escuela de Ingeniería Química de la Universidad de Los Andes. Fundado por el Prof. Jean Louis Salager en 1978. Entre sus líneas de investigación están el estudio de los surfactantes y aplicaciones, micro, macro y nanoemulsiones, sistemas dispersos en general, deshidratación de crudo, transporte emulsionado, recuperación mejorada de petróleo, ligninas y derivados, nuevos surfactantes, procesos de separación mediante membranas. www.firp.ula.ve

Ultra wideband antennas for communications systems on microwave frequency bands: A review

Andry Contreras* y Maryory Urdaneta

Departamento de Circuitos y Comunicaciones, Facultad de Ingeniería, Universidad del Zulia, Maracaibo, Venezuela

Abstract.- The purpose of this work is to characterize ultra wideband (UWB) antennas for communications systems on the microwave frequency bands, according to their technical and structural parameters. A documental review of more than one hundred articles of UWB antennas for this band was carried out. Regarding the characterization of UWB antennas, the results showed these have a good performance on a frequency range different to the conventional band. The PRMA and the feed method of microstrip line with a FR4–epoxy substrate have been the most used between the planar UWB antennas. The radiation pattern can be modified using different techniques that change the shape of the antenna. Vivaldi antennas showed the biggest mean value of gain while PSMA have the smallest mean value. Additionally, there is an important deviation in the maximum gain obtained. In conclusion, there are not criteria to select between the UWB antenna configurations. Future researches could be conducted to set up these criteria, and optimize UWB antennas with different methods to obtain an omnidirectional radiation pattern in the monopolar antennas and decrease the gain variance.

Keywords: ultra wideband antennas; antennas characterization; microwave bands.

Antenas de banda ultra ancha para sistemas de comunicaciones en las bandas de microondas: Una revisión

Resumen.- En este artículo se presenta una revisión de las características técnicas y estructurales de las antenas de banda ultra ancha (UWB) para sistemas de comunicaciones en las bandas de microondas. Se revisaron más de cien artículos en los últimos diez años acerca de antenas UWB para las bandas antes mencionadas. Entre los resultados se obtuvo que las antenas UWB presentaron un buen desempeño en un rango de frecuencia distinto a su banda convencional. Existe una variedad de configuraciones de antenas UWB planares, entre las que destacan la PRMA y la alimentación con línea de microcinta con sustrato FR4–epoxy como las más utilizadas. El patrón de radiación se puede modificar aplicando distintas técnicas que cambien la estructura de la antena. Las antenas Vivaldi presentaron el mayor valor promedio de ganancia mientras que las PSMA tienen el menor valor promedio. Adicionalmente, existe una variación considerable en la ganancia máxima obtenida. Se concluyó que no existen criterios para seleccionar entre las configuraciones de antenas UWB. Por consiguiente, las perspectivas futuras estarán orientadas a establecer dichos criterios y optimizar las antenas UWB con distintos métodos para obtener un patrón de radiación omnidireccional en las antenas monopolares y disminuir la varianza de la ganancia.

Palabras claves: antenas de banda ultra ancha; caracterización de antenas; banda de microondas.

Recibido: abril 2018

Aceptado: junio 2018

1. Introducción

El desarrollo de las telecomunicaciones ha sido vertiginoso en las últimas décadas, debido al diseño de una serie de sistemas con el fin de intercambiar información para la comunicación,

el control de procesos, monitoreo de fenómenos físicos, entre otros [1, 2, 3]. Además, este desarrollo está acompañado por el aumento en la cantidad de abonados o usuarios de estos sistemas [4, 5].

Actualmente, los sistemas de comunicaciones ofrecen más servicios y requieren mayores tasas de transmisión para el intercambio de información, como por ejemplo la telefonía móvil. Dicho intercambio debe ser lo más rápido posible, disponer de una conexión en tiempo real y brindar las mejores prestaciones de los servicios de la tecnología determinada [6].

*Autor para correspondencia: Andry Contreras acontreras@fing.luz.edu.ve

Dentro los sistemas de mayor crecimiento, destacan los que emplean una transmisión inalámbrica o por el espacio libre [5], los cuales presentan un conjunto de retos para poder establecer una conexión, tales como, volumen de tráfico, costos, energía, diseño de elementos pasivos, interferencia mutua entre sistemas de comunicaciones o componentes de éste, entre otros. Estos retos deben tomarse en cuenta al momento del diseño del sistema [6, 7, 8].

Los sistemas de transmisión inalámbricos tienen un componente crucial que determina su rendimiento. Dicho componente es la antena, que es un dispositivo transductor que adecúa las señales de información al medio de propagación [9]. Actualmente, existen varios tipos de antenas y su utilización depende del rango de frecuencia de operación, tamaños, patrón de radiación, adaptabilidad a la aplicación, entre otros requerimientos [10, 11, 12].

Entre esa variedad de antenas, una que se adapta a los requerimientos de los sistemas de comunicación actuales es la antena de banda ultra ancha (Ultra WideBand, UWB), ya que con ella se obtienen altas velocidades de transmisión y gran capacidad del canal, además consumen poca potencia y presentan bajo costo [13, 14]. Sin embargo, presenta algunos inconvenientes que radican en el riesgo de interferencia con los otros servicios de radio enlaces debido a que UWB opera en un rango amplio del espectro electromagnético, desde 3,1GHz a 10,6GHz[15].

Para el diseño de las antenas UWB se emplea principalmente la estructura de microcinta puesto que tiene un alto grado de adaptabilidad con los tipos de antenas que operan en el rango de frecuencia de microondas [16] como es el caso de las UWB. Con la utilización de microcinta se puede obtener tamaños más pequeños, bajos costos, alto rendimiento, fácil instalación y se integra con la placa de circuitos impresos (Printed Circuit Board, PCB) [17, 18, 19].

No obstante, los diseños realizados en microcinta presentan retos que radican en el comportamiento de sus componentes en el rango de la frecuencia de microondas. Dichos componentes deben modelarse como elementos distribuidos, no concentrados,

debido a que sus tamaños son similares a la longitud de onda de operación. Además, pueden presentarse fenómenos físicos como la resonancia y efectos de acoplamiento entre componentes [18, 19].

Una manera de resolver el inconveniente en el diseño es utilizar técnicas computacionales para resolver las ecuaciones de Maxwell, las cuales explican el fenómeno de la propagación en las antenas [20, 21]. Entre los métodos computacionales numéricos para el diseño de los componentes del sistema están: el Método de Elementos Finitos (Finite Element Method, FEM); el Método de los Momentos (Method Of Moments, MoM); y el Método de Diferencias Finitas en el Dominio del Tiempo (Finite-Difference Time-Domain method, FDTD) [22, 23].

Junto con el empleo de métodos computacionales numéricos para el diseño, se presentan métodos de optimización que permiten mejorar la respuesta o el comportamiento de las antenas diseñadas para ajustarse mejor a los requerimientos específicos de los sistemas [21]. Existen una gran variedad de métodos de optimización que son empleados en las distintas configuraciones de las antenas UWB para realizar su diseño.

Con las antenas UWB es posible rechazar bandas de frecuencias dentro del rango de operación, para así evitar interferencia con otros sistemas de comunicaciones que operen en este rango de frecuencia. Para ello, se emplean bandas marcadas (band notched) mediante la implementación de varias técnicas que modifican al elemento radiante del parche o al plano de referencia. Éstas presentan inconvenientes al momento de su diseño para obtener una alta eficiencia del rechazo de banda debido a la dificultad de control de su ancho de banda en un espacio limitado [24].

En este orden de ideas, el objetivo del presente artículo es caracterizar las antenas UWB para sistemas de comunicaciones en las bandas de microondas, en función de sus parámetros técnicos y estructurales, lo cual permitirá identificar aspectos relevantes en el empleo de las distintas configuraciones de antenas y sugerir temas para investigaciones futuras que contribuyan con el desarrollo de esta área. Para ello, se realiza una revisión documental de artículos de investigación

originales, trabajos presentados en conferencias y simposios, entre otros.

El artículo está organizado de la manera siguiente: En la Sección 2 se especifican los parámetros estructurales, tales como las configuraciones de las antenas, las modificaciones de las estructuras convencionales y los métodos de optimización empleados en el diseño para mejorar el desempeño de las antenas. En la Sección 3 se caracterizan los parámetros técnicos como los métodos de alimentación, el ancho de banda, el patrón de radiación y la ganancia en las configuraciones de antenas UWB. En la Sección 4 se finaliza con las conclusiones de la caracterización y los planteamientos de trabajos futuros en esta área de investigación.

2. Antenas de banda ultra ancha

La banda ultra ancha fue establecida por la Comisión Federal de Comunicaciones de los Estados Unidos (Federal Communications Commission, FCC), en la cual se especificó tres tipos de sistemas UWB: radar para vehículos, sistemas de comunicaciones UWB y sistemas de imágenes, cuyo rango de frecuencia abarca desde 3,1 a 10,6 GHz [15], [23]. Una antena es considerada UWB cuando cumple con dos condiciones. La primera, es que el ancho de banda fraccional (FB) entre puntos a -10 dB es mayor o igual que el 20 %, valor que se calcula mediante la Ecuación (1), donde f_H es la frecuencia mayor y f_L la frecuencia menor a -10 dB. La segunda, es que el ancho de banda absoluto (B) (Ecuación (2)) es mayor o igual que 500MHz, independientemente de la frecuencia central [14], [25].

$$FB = \frac{f_H - f_L}{(f_H + f_L)/2} 100\% \geq 20\%, \quad (1)$$

$$B = f_H - f_L \geq 500MHz. \quad (2)$$

2.1. Configuraciones de las antenas de banda ultra ancha

En esta revisión, se caracterizan las antenas de banda ultra ancha diseñadas en los últimos años para aplicaciones en sistemas de comunicaciones de la banda de microondas. En las configuraciones

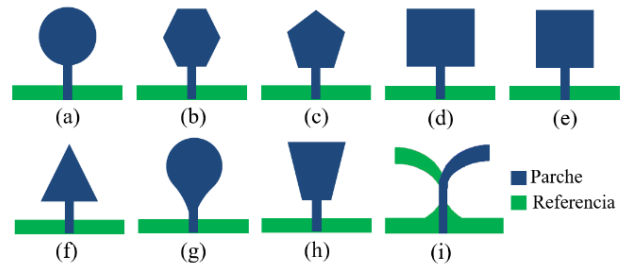


Figura 1: Configuraciones base de antenas de banda ultra ancha

de las antenas se emplean la técnica de circuitos impresos, es decir, antenas planares. Esto es debido a las ventajas que ofrece dicha técnica, las cuales fueron descritas en el apartado anterior. Entre las configuraciones planares destacan: (ver Figura 1)

- (a) Antena monopolo con círculo impreso (Printed Circular Monopole Antenna, PCMA),
- (b) Antena monopolo con hexágono impreso (Printed Hexagonal Monopole Antenna, PHMA),
- (c) Antena monopolo con pentágono impreso (Printed Pentagonal Monopole Antenna, PPMA),
- (d) Antena monopolo con rectángulo impreso (Printed Rectangular Monopole Antenna, PRMA),
- (e) Antena monopolo con cuadrado impreso (Printed Square Monopole Antenna, PSMA),
- (f) Antena monopolo con triángulo impreso (Printed Triangle Monopole Antenna, PTMA),
- (g) Antena monopolo con cono impreso (Printed Tapered Monopole Antenna, PTaMA),
- (h) Antena monopolo con trapecio impreso (Printed Trapezoidal Monopole Antenna, PTrMA),
- (i) Antena Vivaldi.

En la Figura 2 se aprecia la cantidad de antenas diseñadas en función de su configuración, la tendencia en el diseño de las antenas ha sido la PRMA [19], [27]–[63], la PCMA [42, 43], [62]–[85], PSMA [86]–[97], la Vivaldi [98]–[106], la PTMA [107]–[110], la PHMA [110, 112, 113], la

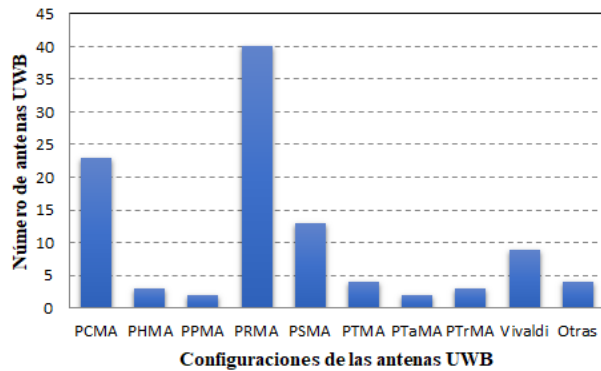


Figura 2: Número de antenas UWB diseñadas en función de su configuración

PTrMA [114, 115, 116], la PTaMA [117, 118], la PPMA [119, 120] y Otras [121]–[124], de manera descendente. Cabe destacar que la configuración denominada como Otras, agrupa la antena de lazo con estructura de Alford [121], ranurada cónica lineal [122], log-periódica [123] y ramal [124].

La configuración más utilizada es la PRMA, con una cantidad de casi el doble con respecto a la segunda más usada (PCMA). Cabe destacar que, no se evidenció ningún criterio de selección entre las configuraciones por parte de los autores. De esta manera, se observa que existe un campo abierto para establecer criterios de selección y caracterizar el rendimiento del resto de configuraciones de antenas planares empleadas en diversos servicios de comunicaciones.

La mayor parte de las configuraciones motivo de revisión se han diseñado en antenas simples. Sin embargo, también se han empleado agrupaciones en arreglos de 1×2 o 1×4 antenas en las configuraciones PRMA [37] y Vivaldi [101, 102, 105]. Adicionalmente, se ha usado la tecnología de múltiples entradas y múltiples salidas (MIMO) en las antenas PRMA [27, 31, 32], [38]–[41], [45, 47, 49, 52, 53, 54, 56, 57, 60, 63], PCMA [65, 70, 71, 73, 83], PSMA [87] y ramal [124]. El propósito de emplear los arreglos de antenas es modificar el patrón de radiación o aumentar la ganancia; en cambio el uso de la tecnología MIMO es para transmitir a mayores tasas de información y cubrir mayores distancias.

Las antenas planares están constituida por un material conductor y otro dieléctrico. El primero es generalmente de cobre, en cambio el segundo puede variar dependiendo del valor de permitividad eléctrica requerida por el diseñador de la antena. Para el sustrato, se han empleado el compuesto de FR4-epoxy en la mayoría de las antenas UWB diseñadas, debido a su alto valor de permitividad eléctrica que permite una mayor reducción de las dimensiones de la antena. También destacan, sustratos basados en teflón o PTFE (PoliTetraFluoroEtileno), que puede estar reforzado con fibra de vidrio y en algunos casos con cerámico orgánico, todo ello para disminuir las pérdidas en el dieléctrico. Cabe destacar el diseño de una antena de banda ultra ancha novedosa, en la cual se empleó poliéster punzado para el sustrato y acero inoxidable para el conductor, materiales flexibles para su uso en textiles [108].

2.2. Modificaciones en la estructura de las antenas de banda ultra ancha

La estructura de las configuraciones motivo de la revisión está constituida por las distintas formas del parche radiante y del plano de referencia, su modificación depende del propósito que se requiera. Para ello, se aplican técnicas para mejorar diversos parámetros del desempeño de la antena de banda ultra ancha. Entre las técnicas empleadas en la modificación en la estructura de las antenas UWB destacan: usar ranuras en los planos (Figura 3 a), elementos parásitos (Figura 3 b), estructura fractal (Figura 4 a), superficie reflectora (Figura 4 b), resonadores (Figura 5 a), diodos PIN (Figura 5 b) y arreglos de antenas (Figura 6). Las técnicas que modifican la estructura de la antena se realizan para distintos propósitos. En la Tabla 1 se registran las finalidades de las modificaciones en las antenas y las técnicas empleadas. Para mejorar el acoplamiento de impedancia se agregan elementos parásitos en el plano de referencia con formas de T, Y, π , entre otras. Adicionalmente, se puede eliminar material conductor en el parche radiante o en el plano de referencia con diversas formas de ranuras, y aplicar estructuras fractales en el parche resonante. Al mejorar este parámetro, se consigue una máxima transferencia de potencia,

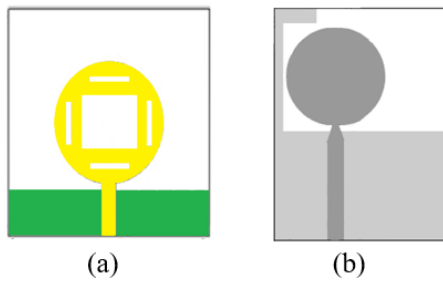


Figura 3: a) Antena UWB con ranuras en los planos [81] y b) de elementos parásitos [85]

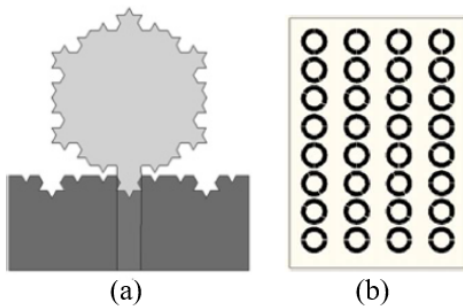


Figura 4: a) Antena UWB con estructura fractales [112] y b) con superficie reflectora [75]

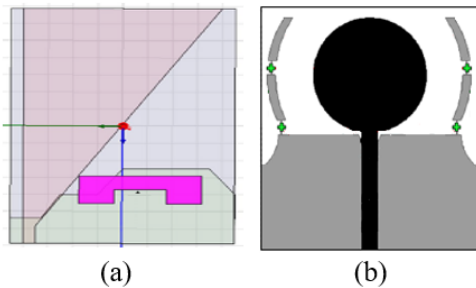


Figura 5: a) Antena UWB con resonadores [109] y b) con diodo PIN [76]

por ende se disminuyen las pérdidas de retorno en el rango de frecuencia de resonancia.

Las modificaciones que permiten un ajuste de la ganancia de la antena se realizan para obtener un mayor valor de ganancia o para mantener lo más uniforme posible dicho valor en el rango de frecuencia de diseño. En el primer caso, se logra mediante la agrupación en arreglos, la colocación de superficies reflectoras y el uso de

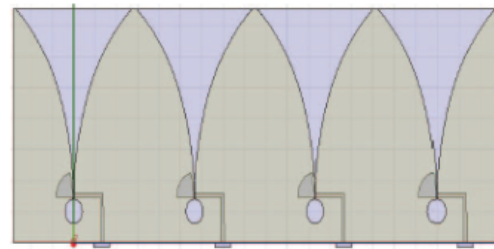


Figura 6: Arreglo de antenas UWB [102]

Tabla 1: Finalidad de la modificación en la estructura de las antenas UWB

Finalidad	Técnica	Referencia
Mejora del acoplamiento de impedancias	Ranura en los planos	[28], [30], [31], [33], [39], [41], [50], [57], [67], [89], [91], [94], [103], [115], [120]
	Elementos parásitos	[31], [45], [91]
	Estructura fractal	[66]
Ajuste de la ganancia	Ranura en los planos	[33], [37], [88], [89], [105]
	Superficie reflectora	[51], [69], [75]
	Arreglo de antenas	[37], [102]
Cambio del patrón de radiación	Elementos parásitos	[76]
	Superficie reflectora	[42]
	Uso de diodos PIN	[76]
	Arreglo de antenas	[37]
Reduce el tamaño de la antena	Ranuras en los planos	[31], [32], [34], [37], [61], [88], [97], [115], [120]
	Elementos parásitos	[31], [32], [34]
	Estructura fractal	[123]
Adapta las bandas resonantes	Ranuras en los planos	[19], [29], [33], [36], [38], [43], [46], [47], [54], [55], [57]–[60], [64], [65], [73], [77], [78], [80], [81], [90], [92], [93], [95], [96], [100], [108], [111], [113], [117], [118]
	Elementos parásitos	[35], [38], [41], [47], [53], [62], [77], [79], [93], [96], [106], [109], [110]
	Estructura fractal	[72], [112]
	Agregar resonadores	[56], [93], [109], [110]

ranuras en los planos de la antena, obteniendo un incremento máximo de 6 dB, 5,5 dB y 5 dB respectivamente [37, 51, 69, 75, 103, 105]. Mientras que en el segundo caso, se utilizan ranuras rectangulares en el parche resonante con una variación de ganancia entre 1,28 dB y 3 dB [33, 37, 88, 89].

Cuando se requiere modificar el patrón de radiación de omnidireccional a direccional, se

emplea la técnica de los elementos parásitos en el plano de referencia, junto con diodos PIN que son controlados para seleccionar la zona de radiación de la antena dependiendo de su activación [76]; además, se utiliza una superficie reflectora ubicada detrás del plano de referencia [42] y agrupaciones de antenas cuyo patrón es omnidireccional[37]. Para la reducción del tamaño de la antena, adicional al tipo de material del sustrato, principalmente se usan ranuras y elementos parásitos con varias formas geométricas en ambos planos de antena, y en algunos casos estas ranuras están ordenadas bajo un comportamiento fractal. El porcentaje de reducción del tamaño registrado en las antenas UWB diseñadas comprende desde 18 % hasta 60 %, con la finalidad de obtener una antena compacta y portátil.

En cuanto a la adaptación de las bandas resonantes, abarca desde la eliminación con bandas marcadas hasta la inclusión de bandas resonantes para incrementar el ancho de banda de la antena UWB. Para ello, se emplean ranuras y elementos parásitos en forma de C [29, 43, 54, 60, 95], T [19, 41, 56, 57, 73, 79, 113, 124], U [27, 36, 37, 41, 55, 80, 88, 89] entre otras, colocadas en los planos. Las ranuras pueden ordenarse en estructuras fractales en el parche radiante y en el plano de referencia. Adicionalmente, en la antena se usa la técnica de agregar resonadores cercanos o dentro del parche resonante, para eliminar bandas resonantes mediante la degradación del desempeño de la antena en la banda marcada, es decir, que el elemento se comporta como un filtro rechaza banda. En el diseño de Rajeshkumar y Raghavan [114], se utilizó un diodo PIN en el resonador para controlar la habilitación de la banda marcada.

Las antenas UWB diseñadas con bandas marcadas rechazan, en su mayoría, un sistema. Aunque en algunos diseños, rechazan dos [47, 55, 56, 59, 90, 93, 96, 106], tres [29, 60, 113] o cuatro [64] sistemas de comunicaciones. En la Figura 7 se aprecia como el sistema WLAN a 5GHz (IEEE 802.11a) representa el servicio con mayor cantidad consideraciones como una banda marcada, seguida por el servicio de WiMAX (IEEE 802.16), la Banda X de subida y bajada utilizada

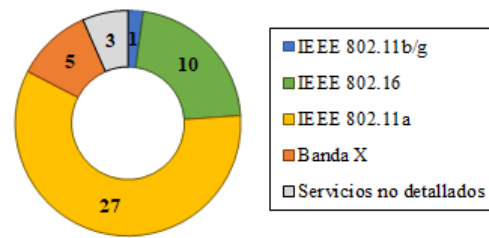


Figura 7: Cantidad de antenas UWB con bandas marcadas en función del servicio que rechaza

para aplicaciones de comunicaciones satelitales, y otros servicios como el WLAN a 2,4GHz (IEEE 802.11b/g). Esto indica que actualmente existen servicios en los que se han utilizado poco las antenas UWB con bandas marcadas, por lo cual es necesario caracterizar estas antenas en dichos servicios.

2.3. Métodos de optimización empleados en las antenas de banda ultra ancha

Solo en el 17,48 % de antenas UWB revisadas se aplicaron métodos de optimización en su diseño, para obtener un mejor rendimiento. Los métodos empleados en los últimos años para la optimización de antenas son: el algoritmo genético (Genetic Algorithm, GA) [78, 86, 88, 89, 112], el enjambre de partículas (Particle Swarm Optimization, PSO) [46, 58, 95, 121], la optimización basada en sustituto (Surrogate-Based Optimization, SBO) [31, 32, 43, 45, 85, 115] y el diseño factorial fraccional (Fractional Factorial Design, FFD) [33, 36, 95]. Estos métodos se han empleado ya que no se cuenta con un modelo matemático que defina el parámetro a optimizar de la antena UWB, y para reducir los tiempos de respuesta óptima en comparaciones con métodos tradicionales o basados en gradiente.

El método FFD es un método probabilístico, basado en el análisis de varianza que tienen los datos simulados de algún parámetro de interés a optimizar, para así determinar la solución óptima. Por otra parte, los métodos GA, PSO y SBO son del tipo heurístico, y se fundamentan en la experiencia de los individuos, partículas o modelos sustitutos respectivamente, para resolver un problema de diseño. Los métodos heurísticos

presentan variantes en su procedimiento debido a su naturaleza, estas variantes buscan disminuir el costo computacional y mejorar criterios de convergencias.

Las variantes del método GA usadas en el proceso de optimización de antenas son la evolución diferencial (Differential Evolution, DE) que presenta una buena robustez y una rápida convergencia [78, 86], y el algoritmo evolutivo de Pareto (Strength Pareto Evolutionary Algorithm 2, SPEA2) que incorpora una técnica de estimación de densidad de vecinos para guiar la búsqueda de manera eficiente [88, 89]. A su vez el método SBO presenta una variante, la cual se denomina optimización basada en característica (Feature-Based Optimization, FBO), el cual tiene una convergencia más rápida mediante la reformulación del problema original en función de sus características de respuesta [85].

Con respecto a los métodos PSO, se emplearon la Optimización de Enjambre de Partículas con Aprendizaje Integral Adaptativo (Adaptive Comprehensive Learning Particle Swarm Optimization, A-CLPSO) que equilibra el rendimiento de los modelos para la mejor partícula para los problemas multi-objetivos [58], el BPSO o PSO binario en donde se discretiza el espacio de solución y la partícula para que el método sea más rápido ya que decide entre los bits lógicos binarios [95], y la Optimización por enjambre de partículas con un despacho de vecindad (PSO with a Neighborhood-Redispach, NR-PSO) que aplica una estrategia de búsqueda global para evitar convergencias prematuras de la solución del problema [46].

La función objetivo depende predominante del valor simulado de la pérdida de retorno [31, 32, 43, 45, 58, 58, 85, 86, 89, 95, 115, 121], la cual es utilizada para ajustar el ancho de banda de la antena. Otras funciones dependen de la ganancia [33, 36, 88], la relación de onda estacionaria [36, 46], el factor de fidelidad [33], la pérdida de error de fase [122] y el tamaño de la antena [31, 32, 45, 115].

La optimización se ha realizado con uno o múltiples objetivos; mientras mayor sea el número de objetivos mayor es el procesamiento computacional. Sin embargo, se ha demostrado que

necesario utilizar funciones multi-objetivos para lograr un diseño idóneo, dado que al optimizar funciones mono-objetivo, se cumple el criterio del diseño, pero el dispositivo pudiera interferir con otro sistema o presentar inconvenientes en su desempeño.

Las variables del espacio de solución son discretas o continuas, dependiendo si el proceso es para una optimización topológica o de forma, respectivamente. Dichas variables son las dimensiones del parche radiante, de las ranuras y de los elementos parásitos en el parche resonante y en el plano de referencia.

3. Parámetros técnicos de las antenas de banda ultra ancha

En esta sección se analizan los parámetros técnicos de las antenas de banda ultra ancha, tales como el método de alimentación, el ancho de banda, el patrón de radiación y los valores de ganancia máxima obtenidas en las antenas planares motivo de revisión, con la finalidad de caracterizar el desempeño de las antenas.

3.1. Método de alimentación

Para las antenas planares se pueden usar distintos tipos de alimentadores: la línea de microcinta, la guía de onda coplanar (coplanar waveguide, CPW), la sonda coaxial y acople por proximidad. El método de línea de microcinta (Figura 8 (a)) presenta una mejor adaptación a la fabricación de circuitos impresos que el resto de métodos. El método CPW (Figura 8 (b)) proporciona mayor ancho de banda que la línea de microcinta [84] y baja pérdida en altas frecuencias [66], pero su valor de permitividad eléctrica efectiva es menor que con la línea de microcinta, tomando en cuenta un mismo material de sustrato. Cuando se usa la sonda coaxial (Figura 8 (c)), la fabricación de la antena es más costosa y se pueden radiar ondas electromagnéticas en direcciones no deseadas. De igual manera ocurre con el método de acople por proximidad (Figura 8 (d)), su fabricación no es fácil ni económica en comparación con el resto de métodos, pero elimina radiación no deseada.

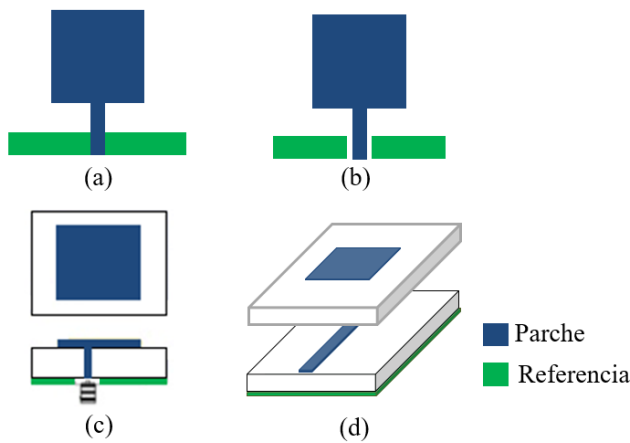


Figura 8: Antena PSMA con distintos tipos de alimentador

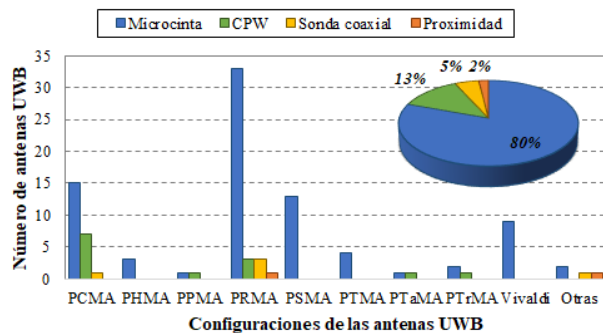


Figura 9: Número de antenas UWB diseñadas según su tipo de alimentador

La Figura 9 muestra como el alimentador del tipo de línea de microcinta fue utilizado en un 80% con respecto al resto y fue empleada en todas las configuraciones de antenas UWB [19], [27]–[33], [35]–[43], [45, 47, 48, 50, 51, 52], [54]–[58], [60, 61, 63], [67, 70, 71], [73]–[76], [78, 79, 80], [82, 83], [85]–[88], [90]–[100], [102]–[115], [118, 119, 122, 124]. El método CPW fue usado en un 13%, en las configuraciones PCMA, PPMA, PRMA, PTaMA y PTrMA [34, 46, 59, 64, 66, 72, 77, 81, 84, 116, 117, 120]; la sonda coaxial se aplicó en 5% en las configuraciones PCMA, PRMA y Otras [44, 53, 62, 65, 121]; mientras que el acople de proximidad un 2% en PRMA y Otras [42, 123]. La línea de microcinta ha sido la más usada porque las antenas son de fácil fabricación y permite mantener un valor de

permitividad eléctrica eficiente alto, lo cual reduce el tamaño de la antena, a pesar de su moderado valor de pérdida.

3.2. Ancho de banda

Los sistemas de banda ultra ancha abarcan desde 3,10 a 10,6 GHz, es decir, un ancho de banda igual a 7,5GHz. Sin embargo, en la Figura 10 se observa que las antenas UWB revisadas, en su mayoría no se limitan a este rango ya que dependen del ancho de banda de los servicios que se deseen captar, dando la posibilidad de agrupar dos o más sistemas de comunicaciones. La variación del ancho de banda para las configuraciones PCMA, PHMA, PPMA, PRMA, PSMA, PTMA, PTaMA, PTrMA, Vivaldi y Otras está entre 2,9–13,0 GHz, 3,2–14,7 GHz, 7,5–10,5 GHz, 2,0–14,9 GHz, 1,0–18,7 GHz, 6,0–9,0 GHz, 7,5–9,9 GHz, 3,1–7,5 GHz, 2,4–16,0 GHz, 2,0–19,0 GHz respectivamente.

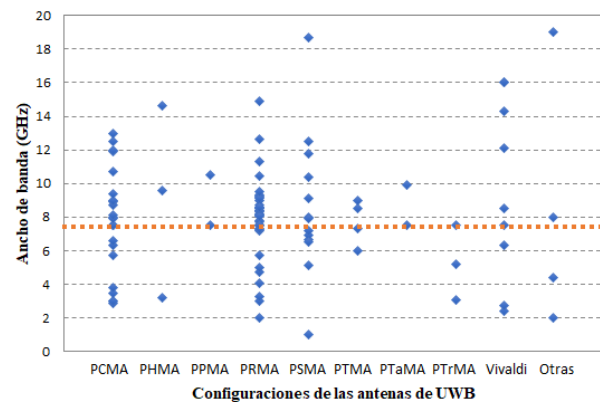


Figura 10: Ancho de banda de las configuraciones de antena UWB

Las antenas UWB diseñadas abarcan más servicios que las aplicaciones típicas, es decir, sistemas de comunicaciones UWB, radares para vehículos y sistemas de imágenes. La lista de servicios distintos a los típicos está registrada en la Tabla 2, en la cual se mencionan en función de la configuración de las antenas. Dichos servicios son los sistemas de comunicaciones móviles (CDMA, UMTS, PCS, GSM y LTE), redes inteligentes, redes inalámbricas para internet (WPAN, WBAN, WLAN y WiMAX), sistemas de posicionamiento global (GPS), sistemas satelitales y aplicaciones

Tabla 2: Rango de frecuencia y aplicaciones de las configuraciones de antenas UWB

Configuración	Rango (GHz)	Servicios distintos a los UWB	Referencias
PCMA	1,50-20,00	Redes inteligentes, satelitales, WiMAX, WLAN (2,4GHz), WPAN y WBAN	[42, 43], [64]–[85]
PHMA	1,80-19,41	Satelitales y WiMAX	[111, 112, 113]
PPMA	1,50-12,00	GSM y WiMAX	[119, 120]
PRMA	0,84-18,00	CDMA, WPAN, WBAN, WLAN (2,4/5GHz), WiMAX y satelitales	[19]–[63]
PSMA	2,26-22,50	WLAN (2,4GHz) y WPAN	[86]–[97]
PTMA	1,40-11,60	GPS, WLAN (2,4GHz), UMTS y PCS	[107]–[110]
PTaMA	2,20-12,10	–	[117, 118]
PTrMA	1,96-10,60	WLAN (2,4/5GHz) y WiMAX	[114, 115, 116]
Vivaldi	1,10-20,00	Satelitales y aplicaciones militares	[98]–[106]
Otras	1,76-25,00	LTE, WiMAX, WLAN (2,4/5GHz) y satelitales	[121]–[124]

militares. Las configuraciones PCMA y PRMA tienen mayores cantidades de servicios cubiertos.

Adicionalmente, en la Tabla 2 está el rango de frecuencia para las configuraciones de antenas UWB, el cual abarca parte de la banda de frecuencia UHF y las bandas de microondas desde la L hasta la K. De esta manera, dichas antenas operan en un rango mayor al establecido para los sistemas UWB, en todas sus configuraciones.

3.3. Patrón de radiación

La radiación de las antenas en función de las diversas direcciones en el espacio puede ser omnidireccional o direccional. En la primera, se presenta simetría de revolución en torno al eje, mientras que en la segunda, las antenas son capaces de concentrar la mayor parte de la energía radiada de manera localizada. En algunos casos, el patrón de radiación omnidireccional no presenta un comportamiento simétrico en todas las direcciones, dando origen al patrón cuasi-omnidireccional o cercano al omnidireccional. De

las antenas UWB que son motivo de la revisión, un 50 % son omnidireccionales [19, 28, 30, 33, 34], [42, 43, 46, 48, 50], [55, 59], [61], [72, 77, 79], [82, 90], [93, 94, 96, 97], [109], [113, 114, 117, 118, 120, 121]; un 33 % son cuasi-omnidireccionales [27, 35], [37, 38, 39], [41, 44, 47, 49], [52, 53, 56, 57, 58, 60], [63]–[68], [70], [73]–[76], [78, 80, 81, 83, 84, 84, 88, 91, 92], [107, 108, 110, 112, 116, 119], [123, 124], y un 17 % son direccionales [37, 42, 51, 69, 76, 98, 99, 100], [102]–[116], [111, 122], tal como se observa en la Figura 11.

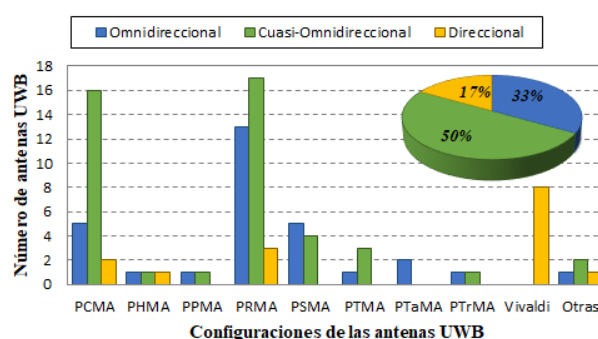


Figura 11: Número de antenas UWB diseñadas según su patrón de radiación

Las configuraciones que presentan un patrón completo o cercano al omnidireccional son la PCMA, PHMA, PPMA, PRMA, PSMA, PTMA, PTaMA, PTrMA y Otras. En los casos de cuasi-omnidireccionales, se debe mejorar el comportamiento mediante el empleo de métodos de optimización para adecuar las modificaciones de la estructura de la antena y evitar esas distorsiones en el patrón de radiación. Con respecto a la radiación direccional, se presenta en configuraciones como Vivaldi, PCMA, PHMA, PRMA y Otras. Galvan *et al* [23] establece que las antenas Vivaldi en frecuencias menores a 5 GHz tienen un patrón cuasi-omnidireccional. Sin embargo, se ha logrado un patrón direccional en dichas frecuencias [98]–[106]. En el resto de los casos con patrón direccional, esto se consigue agregando superficies reflectoras, elementos parásitos y diodos PIN, o agrupando en arreglos de antenas para transformar el patrón de omnidireccional a direccional.

3.4. Ganancia

La ganancia es una relación entre la concentración de la potencia en las zonas indicadas en el diagrama de radiación y la densidad de potencia de una antena isotrópica. La Figura 12 muestra los valores de ganancia máxima para cada configuración de antena UWB revisada. En dicha figura se detecta que la configuración con mayor valor de ganancia máxima es la Vivaldi, que presentan un patrón de radiación direccional con una mayor concentración de potencia. Además, las antenas Vivaldi diseñadas superaron su valor típico de 10 dBi. Para el resto de configuraciones, su valor de ganancia se mantiene en niveles similares.

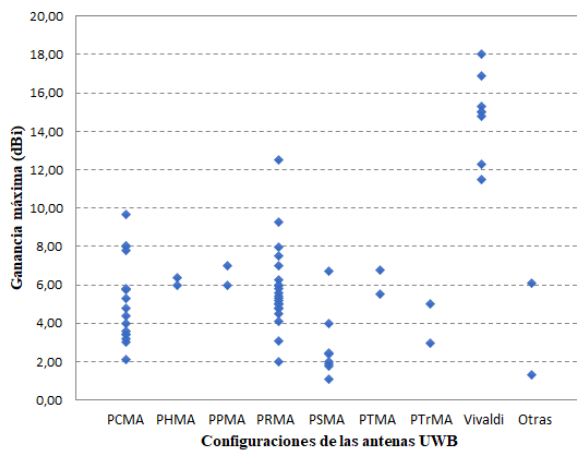


Figura 12: Ganancia máxima de las configuraciones de antena UWB

Los rangos de ganancia máxima y valores promedios para las configuraciones de antena UWB se registran en la Tabla 3, en donde se observa que la configuración PSMA presenta menor valor promedio de ganancia máxima obtenida con respecto al resto de antenas UWB. Por consiguiente, se pueden diseñar antenas PSMA para mejorar su desempeño en términos de la ganancia que ofrecen. Adicionalmente, se aprecia un amplio rango de valores para las antenas UWB PRMA, en las cuales se pueden aplicar métodos de optimización para uniformizar su ganancia máxima.

Tabla 3: Valores de ganancia máxima para las configuraciones de antenas UWB

Configuración	Ganancia máxima (dBi)		Referencias
	Rango	Promedio	
PCMA	2,10-9,70	5,31	[64, 65, 67, 68, 69], [71]–[81], [83]
PHMA	5,98-6,40	6,19	[112, 113]
PPMA	6,00-6,98	6,49	[119, 120]
PRMA	2,00-12,50	5,76	[30, 33, 35, 37, 38, 39, 41, 42, 46, 48, 49, 51, 52, 53], [55]–[63]
PSMA	1,10-6,70	2,79	[88, 89, 90, 92, 93, 94, 96, 97]
PTMA	5,50-6,80	6,15	[107, 108]
PTrMA	2,98-5,00	3,99	[114, 116]
Vivaldi	11,50-18,00	14,85	[98, 99, 100], [103]–[106]
Otras	1,30-6,07	3,69	[121, 124]

4. Conclusiones y perspectivas futuras

Con respecto a las configuraciones de las antenas UWB planares, la PRMA ha sido la más empleada con su estructura convencional o modificada. Las modificaciones se realizan aplicando una o varias técnicas para algún objetivo en específico, como mejorar el acoplamiento de impedancias, ajustar la ganancia, cambiar el patrón de radiación, entre otros. Dentro de las técnicas, se destacaron el uso de ranuras y elementos parásitos en los planos de la antena para diferentes fines, y el empleo de diodos PIN para controlar el comportamiento de las antenas.

En la revisión se tomaron en cuenta diferentes configuraciones de antenas planares UWB, las cuales han sido usadas en rangos de frecuencias similares, es decir, para las mismas aplicaciones. En todas ellas no se detectó ningún criterio de selección entre configuraciones. Por consiguiente, las perspectivas futuras estarán orientadas en establecer dichos criterios mediante la comparación del desempeño de las configuraciones para cada aplicación. Así mismo, optimizar las antenas UWB del tipo monopares con distintos métodos para evitar que el patrón de radiación sea cuasi-omnidireccional. Adicionalmente, optimizar cada una de las configuraciones de antenas para disminuir la variación de la ganancia, y aumentar el valor de la ganancia en las antenas del tipo PSMA.

Entre otras perspectivas se plantean, la clasifi-

cación del rendimiento de cada configuración de las antenas UWB y los métodos de alimentación en los distintos servicios de comunicaciones inalámbricas. Además, diseñar mayor cantidad de antenas UWB que abarquen más sistemas de comunicaciones en la banda UHF y evaluar el desempeño de las bandas marcadas en servicios que aún no han sido tan explorados, por ejemplo WLAN 2,4GHz, radares, LTE, GPS, entre otros.

5. Referencias

- [1] M Schwartz. *Mobile wireless communications*. Cambridge University press, New York, 1st edition, 2005.
- [2] M. Matin. *Ultra Wideband Communications: Novel Trends - Antennas and Propagation*. InTech, Rijeka, 1st edition, 2011.
- [3] X. Huang, Y. Chen, and S. Ao. *Advances in communication systems and electrical engineering*. Springer, New York, 1st edition, 2008.
- [4] Q Bi, G I Zysman, and H Menkes. Wireless Mobile Communications at the Start of the 21st Century. *IEEE Communication Magazine*, 39(1):110–116, 2001.
- [5] B. Sanou. ICT Facts & Figures. The world in 2015. *International Telecommunication Union*, pages 1–6, 2015.
- [6] H. Kim. *Wireless communications systems design*. John Wiley & Sons ltd, Chichester, 1st edition, 2015.
- [7] S. Chen and J. Zhao. The requirements, challenges, and technologies for 5G of terrestrial mobile telecommunication. *IEEE Communications Magazine*, 52(5):36–43, 2014.
- [8] Y. Rahmat-Samii and A. Densmore. Technology trends and challenges of antennas for satellite communication systems. *IEEE Transactions on Antennas and Propagation*, 63(4):1191–1204, 2015.
- [9] D. Fang. *Antenna theory and microstrip antennas*. CRC Press, Florida, 1st edition, 2010.
- [10] K. Fujimoto. Artech house, Norwood, 3rd edition, 2008.
- [11] J. Volakis. *Antenna engineering handbook*. McGraw-Hill, 4th edition, 2007.
- [12] D. Straw. The ARRL Antenna Book. *Arrl*, XXXIII(2):81–87, 2012.
- [13] I. Minin. *Microwave and Millimeter Wave Technologies: Modern UWB antennas and equipment*. InTech, Vukovar, 1st edition, 2010.
- [14] S. Jones. The Evolution of Modern UWB Technology: Initiation of UWB Regulatory Framework. 2005.
- [15] R. Chase. UWB: Fostering innovation through a balanced regulatory framework. *Federal Communication Commission (FCC)*, 2006.
- [16] V. Mathur and M. Gupta. Comparison of performance characteristics of rectangular, square and hexagonal microstrip patch antennas. pages 1–6, Noida, 2014.
- [17] A. Ahmed, M. Islam, R. Azim, M. Ismail, and M. Mansor. Microstrip antenna design for femtocell coverage optimization. *International Journal of Antennas and Propagation*, 2014:1–8, 2014.
- [18] Nasimuddin. *Microstrip antennas*. InTech, Rijeka, 1st edition, 2011.
- [19] W. Mazhar, M. Tarar, F. Tahir, S. Ullah, and F. Bhatti. Compact Microstrip Patch Antenna for Ultra-wideband Applications. pages 1100–1104, Stockholm, 2013.
- [20] R. Sorrentino and G. Bianchi. *Microwave and RF engineering*. John Wiley & Sons ltd, Chichester, 1st edition, 2010.
- [21] R E Zich, M Mussetta, F Grimaccia, R Albi, A Carbonara, P D Antuono, T Guffanti, and E Zucchelli. Comparison of different optimization techniques in antenna design – Part I. pages 7–8, Chicago, 2012.
- [22] U. Ozkaya and L. Seyfi. Dimension optimization of microstrip patch antenna in X/Ku Band via artificial neural network. *Procedia - Social and Behavioral Sciences*, 195:2520–2526, 2015.
- [23] G. Galvan, M. Peyrot, and H. Jardon. *Ultra Wideband Antennas*. CRC Press, Florida, 1st edition, 2016.
- [24] M. Matin. *Wireless Sensor Networks - Technology and protocols*. InTech, Rijeki, 1st edition, 2012.
- [25] R. Ghavami, L. Michale, and R. Kohno. *Ultra Wideband Signals and Systems in Communication Engineering*. John Wiley & Sons ltd, Chichester, 2nd edition, 2007.
- [26] Qualcomm. The Evolution of Mobile Technologies: 1G - 4G LTE. *Federal Communication Commission (FCC)*, pages 1–41, 2014.
- [27] O. Aghzout, A. Naghar, O. El Mrabet, O. Chakkor, N. Raissouni, F. Falcone, and M. Essaïdi. A Mutual Coupling Study of a novel antenna system design for UWB-MIMO applications. pages 1–7, Algeciras, 2011.
- [28] F. Ahmed, N. Hasan, and M. Chowdhury. A compact low-profile ultra wideband antenna for biomedical applications. pages 87–90, Bangladesh, 2017.
- [29] P. Bakariya, S. Dwari, and M. Sarkar. Triple band notch UWB printed monopole antenna with enhanced bandwidth. *International Journal of Electronics and Communications*, 69(1):26–30, 2015.
- [30] A. Barreto, J. Morales, and I. Hernández. Análisis y diseño de un monopolo impreso para UWB. *Revista de ingeniería electrónica, automática y comunicaciones*, 35(1):16–32, 2014.
- [31] A. Bekasiewicz and S. Koziel. Rapid multi-objective optimization of a MIMO antenna for UWB applications. pages 10–11, Loughborough, 2014.
- [32] A. Bekasiewicz, S. Koziel, and T. Dhaene.

- Optimization-driven design of compact UWB MIMO antenna. pages 2–5, Davos, 2016.
- [33] Y. Chen and Y. Chiu. Application of Multiobjective Topology Optimization to Miniature Ultrawideband Antennas with Enhanced Pulse Preservation. *IEEE Antennas and Wireless Propagation Letters*, 15(1):842–845, 2015.
- [34] A. Gautam, S. Yadav, and B. Kanaujia. A CPW Fed Compact UWB Microstrip Antenna. *IEEE Antennas and Wireless Propagation Letters*, 12:151–154, 2013.
- [35] W. Chen and K. Ku. Bandwidth enhancement of open slot antenna for UWB applications. *Microwave and Optical Technology Letters*, 50:438–439, 2008.
- [36] Y. Chen. Optimization of sharp band-notched Ultra Wideband antennas using multi-objective fractional factorial design. *Microwave and Optical Technology Letters*, 58(2):355–359, 2016.
- [37] B. Kasi and C. Chakrabarty. Ultra-Wideband antenna array design for target detection. *Progress In Electromagnetics Research C*, 25:67–79, 2012.
- [38] M. Khan, A. Capobianco, S. Asif, A. Iftikhar, B. Ijaz, and B. Braaten. Compact 4×4 UWB-MIMO antenna with WLAN band rejected operation. *Electronics Letters*, 51(14):1048–1050, 2015.
- [39] M. Khan, A. Capobianco, S. Asif, A. Iftikhar, B. Braaten, B. Ijaz, and M. Shafique. A small footprint ultra-wideband multiple-input multiple-output antenna. pages 662–666, Dekalb, 2015.
- [40] M. Khan, A. Capobianco, S. Asif, A. Iftikhar, and B. Braaten. A 4 Element Compact Ultra-Wideband MIMO Antenna Array. pages 2305–2306, Vancouver, 2015.
- [41] M. Khan, A. Capobianco, A. Naqvi, M. Shafique, B. Ijaz, and B. Braaten. Compact planar UWB MIMO antenna with on-demand WLAN rejection. *Electronics Letters*, 51(13):963–964, 2015.
- [42] M. Klemm, I. Kovacs, G. Pedersen, and G. Troster. Comparison of directional and omni-directional UWB antennas for wireless body area network applications. pages 3–6, Dubrovnik, 2005.
- [43] S. Koziel, A. Bekasiewicz, S. Ulaganathan, and T. Dhaene. Fast design optimization of UWB antenna with WLAN band-notch. pages 1–5, Loughborough, 2015.
- [44] P. Kumar and J. Masa. Dual polarized microstrip patch antennas for ultra-wideband applications. *Microwave and Optical Technology Letters*, 56(9):2174–2179, 2014.
- [45] S. Koziel and A. Bekasiewicz. Low-cost multi-objective optimization and experimental validation of UWB MIMO antenna. *International Journal for Computer-Aided Engineering and Software*, 33(4), 2016.
- [46] Y. Li, W. Shao, L. You, and B. Wang. An Improved PSO Algorithm and Its Application to UWB Antenna Design. *IEEE Antennas and Wireless Propagation Letters*, 12(3):1236–1239, 2013.
- [47] J. Li, D. Wu, Y. Wu, and G. Zhang. Dual band-notched UWB MIMO antenna. pages 25–26, Kuta, 2016.
- [48] K. Lim, M. Nagalingam, and C. Tan. Design and Construction of Microstrip Uwb Antenna With Time Domain Analysis. *Progress In Electromagnetics Research M*, 3:153–164, 2008.
- [49] N. Malekpour and M. Honarvar. Design of High-Isolation Compact MIMO Antenna for UWB Application. *Progress In Electromagnetics Research C*, 62:119–129, 2016.
- [50] L. Ping. Equivalent circuit model of octagonal ultra wideband (UWB) antenna. *Journal of Engineering Science and Technology*, 12(2):439–450, 2017.
- [51] Y. Ranga, L. Matekovits, A. Weily, and K. Esselle. A constant gain ultra-wideband antenna with a multi-layer frequency selective surface. *Progress In Electromagnetics Research Letters*, 38:119–125, 2013.
- [52] J. Ren, D. Mi, and Y. Yin. Compact Ultrawideband MIMO Antenna with WLAN / UWB Bands Coverage. *Progress In Electromagnetics Research C*, 50:121–129, 2014.
- [53] H. Ryu and J. Woo. Design of Ultra-wideband MIMO Antenna for Mobile Handset Applications. pages 968–971, Moscow, 2012.
- [54] G. Srivastava, S. Dwari, and B. Kanaujia. A Compact 4×4 Ultrawideband (UWB) Band Notched MIMO Antenna. pages 198–200, Bangalore, 2014.
- [55] Z. Tang, X. Wu, Z. Xi, and S. Hu. Novel compact dual-band-notched ultra-wideband printed antenna with a parasitic circular ring strip. *International Journal of Microwave and Wireless Technologies*, 9(2):357–363, 2017.
- [56] Z. Wani and D. Kumar. Dual-band-notched antenna for UWB MIMO applications. *International Journal of Microwave and Wireless Technologies*, 9(2):381–386, 2017.
- [57] Z. Wani and D. Vishwakarma. An ultrawideband antenna for portable MIMO terminals. *Microwave and Optical Technology Letters*, 58(1):51–56, 2016.
- [58] H. Wu, J. Geng, R. Jin, J. Qiu, W. Liu, J. Chen, and S. Liu. An improved comprehensive learning particle swarm optimization and its application to the semiautomatic design of antennas. *IEEE Transactions on Antennas and Propagation*, 57(10):3018–3028, 2009.
- [59] A. Yadav, D. Sethi, and R. Khanna. Slot loaded UWB antenna: Dual band notched characteristics. *International Journal of Electronics and Communications*, 70(3):331–335, 2014.
- [60] Z. Yang, H. Yang, J. Hong, and Y. Li. A miniaturized triple band-notched MIMO antenna for UWB application. *Microwave and Optical Technology Letters*, 58(3):642–647, 2016.
- [61] H. Yu’Nan, M. Tao, Z. Hongxin, Z. Kexin, D. Lin, and

- Z. Pengfei. Novel ladder patch monopole antenna for UWB application. *Journal of China Universities of Posts and Telecommunications*, 22(6):61–65, 2015.
- [62] Y. Zehforoosh, C. Ghobadi, and J. Nourinia. Antenna Design for Ultra Wideband Application Using a New Multilayer Structure. *PIERS Online*, 2(6):544–549, 2006.
- [63] B. Kasi, G. Manickam, and C. Chakrabarty. Compact UWB Antenna Design for MIMO Applications. *Research Journal of Applied Sciences, Engineering and Technology*, 6(22):4225–4230, 2013.
- [64] S. Rehman and M. Alkanhal. Design and system characterization of Ultra-Wideband Antennas with Multiple Band-Rejection. *IEEE Access*, 5:17988–17996, 2017.
- [65] D. Sipal, M. Abegaonkar, and S. Koul. Compact band-notched UWB antenna for MIMO applications in portable wireless devices. *Microwave and Optical Technology Letters*, 58(6):1390–1394, 2016.
- [66] R. Kumar and P. Chaubey. Design of coplanar waveguide-feed pentagonal-cut ultra-wide bandwidth fractal antenna and its backscattering. *IET Microwaves, Antennas & Propagation*, 6(13):1407–1414, 2012.
- [67] H. Schantz. Bottom fed planar elliptical UWB antennas. pages 219–223, Reston, 2003.
- [68] C. Liang, L. Li, and H. Zhai. Study of CPW-fed circular disc monopole antenna for ultra wideband applications. *IEE Proceedings - Microwaves, Antennas and Propagation*, 152(6):520–526, 2005.
- [69] S. Patil, R. Gupta, and S. Kharche. Gain improvement of lower UWB monopole antenna using FSS layer. pages 2–6, Navi Mumbai, 2017.
- [70] G. Chavka. Ultrawideband planar antennas and antenna arrays. pages 9–14, Sevastopol, 2012.
- [71] A. Najam, Y. Duroc, and S. Tedjini. Design of MIMO Antennas for Ultra-Wideband Communications. pages 1–8, Avignon, 2009.
- [72] R. Kumar, P. Chaubey, and I. Srikant. On the design of UWB circular fractal antenna with notched-band characteristics using W-shape slot. *Journal of Microwaves, Optoelectronics and Electromagnetic Applications*, 11(2):230–241, 2012.
- [73] K. Prasanna and S. Behera. Compact two-port UWB MIMO antenna system with high isolation using a fork-shaped structure. pages 726–729, Melmaruvathur, 2013.
- [74] S. De and P. Sarkar. A high gain ultra-wideband monopole antenna. *International Journal of Electronics and Communications*, 69(8):1113–1117, 2015.
- [75] G. Sen, A. Banerjee, M. Kumar, and S. Das. An ultra-wideband monopole antenna with a gain enhanced performance using a novel split-ring meta-surface reflector. *Microwave and Optical Technology Letters*, 59(6):1296–1300, 2017.
- [76] T. Aboufoul, C. Parini, X. Chen, and A. Aloatmainy. Pattern-Reconfigurable Planar Circular Ultra-Wideband Monopole Antenna. 61(10):4973 – 4980, 2013.
- [77] S. Nikolaou and M. Abbasi. Design and development of a compact UWB monopole antenna with easily-controllable return loss. *IEEE Transactions on Antennas and Propagation*, 65(4):2063–2067, 2017.
- [78] H. Liu, C. Yin, and W. Gao. Optimization and design of wideband antenna based on Q factor. *International Journal of Antennas and Propagation*, 2015:1–9, 2015.
- [79] P. Sharma, K. Vyas, and R. Yadav. Design and analysis of miniaturized UWB antenna with tunable notched band. *International Journal of Microwave and Wireless Technologies*, 9(3):691–696, 2016.
- [80] C. Sim, W. Chung, and C. Lee. A circular-disc monopole antenna with band-rejection function for ultrawideband application. *Microwave and Optical Technology Letters*, 51(6):1607–1613, 2009.
- [81] S. Rathore, R. Paulus, A. Jaiswal, and A. Agrawal. Ultra-wideband Antenna for WLAN , WiMAX and LTE Applications. *International Journal of Computer Applications*, 121(7):27–30, 2015.
- [82] J. Wang, X. Sun, and K. Okada. UWB circular monopole omnidirectional antenna with a slot for radiation pattern improvement. pages 478–482, Singapore, 2007.
- [83] M. Jusoh, M. Jamlos, M. Kamarudin, and F. Malek. A MIMO antenna design challenges for UWB applications. *Progress In Electromagnetics Research Letters*, 36:357–371, 2012.
- [84] M. Mahdavi, Z. Atlasbaf, and K. Forooghi. A very compact CPW-fed ultra-wideband circular monopole antenna. *Microwave and Optical Technology Letters*, 54(7):1665–1668, 2012.
- [85] S. Koziel and A. Bekasiewicz. Fast design optimization of UWB antennas using response features. pages 4–7, Kraków, 2016.
- [86] S. Shabnam, S. Manna, U. Sharma, and P. Mukherjee. Optimization of Ultra Wide-Band printed monopole square antenna using differential evolution algorithm. pages 81–89, New Delhi, 2015.
- [87] Y. Li, W. Li, C. Liu, and T. Jiang. Two UWB-MIMO antennas with high isolation using sleeve coupled stepped impedance resonators. pages 21–22, Singapore, 2012.
- [88] Y. Chen. Application of multi-objective fractional factorial design for ultra-wideband antennas with uniform gain and high fidelity. *IET Microwaves, Antennas & Propagation*, 9(15):1667–1672, 2015.
- [89] Y. Chiu and Y. Chen. Multi-objective optimization for UWB antennas in impedance matching, gain, and fidelity factor. pages 1940–1941, Vancouver, 2015.
- [90] P. Dhakar, R. Raj, D. Kumar, I. Sharma, and R. Sharma. A Small Square UWB Antenna with

- Dual Rejection Bands for WiMAX and WLAN Applications. pages 4–9, Mathura, 2015.
- [91] K. Halili, M. Ojaroudi, and N. Ojaroudi. Ultrawideband monopole antenna for use in a circular cylindrical microwave imaging system. *Microwave and Optical Technology Letters*, 54(9):2202–2205, 2012.
- [92] M. Rostamzadeh, S. Mohamadi, J. Nourinia, Ch Ghobadi, and M. Ojaroudi. Square monopole antenna for UWB applications with novel rod-shaped parasitic structures and novel V-shaped slots in the ground plane. *IEEE Antennas and Wireless Propagation Letters*, 11:446–449, 2012.
- [93] T. Singh, H. Choudhary, D. Avasthi, and V. Gahlaut. Design & parametric analysis of band reject ultra wideband (UWB) antenna using step impedance resonator. *Cogent engineering*, 4(1):1–16, 2017.
- [94] R. Azim, M. Islam, and N. Misran. Compact planar antenna for UWB applications. *International Journal of electrical, computer, energetic, electronic and communication engineering*, 4(7):1987–1990, 2010.
- [95] Y. Chen, W. Chou, and S. Chen. Applications of Optimization Techniques to Designs of Ultra-Wideband Planar Monopole Antennas. pages 714–716, Kaohsiung, 2012.
- [96] W. Jiang and W. Che. A novel UWB antenna with dual notched bands for WiMAX and WLAN applications. *IEEE Antennas and Wireless Propagation Letters*, 11:293–296, 2012.
- [97] T. Hong, K. Oh, H. Lee, H. Nam, T. Yun, D. Lee, H. Hwang, and J. Lee. Novel broadband rectenna using printed monopole antenna and harmonic-suppressed stub filter. *Microwave and Optical Technology Letters*, 52(5):1194–1197, 2010.
- [98] Y. Jia, Y. Liu, S. Gong, T. Hong, and D. Yu. Printed UWB end-fire vivaldi antenna with low RCS. *Progress In Electromagnetics Research Letters*, 37:11–20, 2013.
- [99] Y. Wang, G. Wang, Z. Yu, J. Liang, and X. Gao. Ultra-wideband E-plane monopulse antenna using Vivaldi antenna. *IEEE Transactions on Antennas and Propagation*, 62(10):4961–4969, 2014.
- [100] R. Natarajan, J. George, M. Kanagasabai, and A. Shrivastav. A Compact Antipodal Vivaldi Antenna for UWB Applications. *IEEE Antennas and Wireless Propagation Letters*, 14:1557–1560, 2015.
- [101] R. Arono and A. Munir. Compact antipodal Vivaldi printed antenna for ultra wideband application. pages 2–5, Manado, 2015.
- [102] A. Buzdar, A. Buzdar, H. Tila, L. Sun, M. Khan, U. Khan, and W. Feroz. Low cost Vivaldi array antenna for mobile through wall sensing platforms. pages 9–12, Shanghai, 2016.
- [103] J. Wu, Z. Zhao, Z. Nie, and Q. Liu. A printed UWB vivaldi antenna using stepped connection structure between slotline and tapered patches. *IEEE Antennas and Wireless Propagation Letters*, 13:698–701, 2014.
- [104] A. Arezoomand, R. Sadeghzadeh, and M. Naser-Moghadasi. Investigation and improvement of the phase-center characteristics of vivaldi’s antenna for UWB applications. *Microwave and Optical Technology Letters*, 58(6):1275–1281, 2016.
- [105] N. Chakrabarti, S. Kalra, S. Saxena, and M. Tripathy. Ultra-Wideband Antenna For A Ground Penetrating Radar. pages 4–9, Hyderabad, 2016.
- [106] D. Yang, S. Liu, M. Chen, and Y. Wen. A Compact Vivaldi Antenna with Triple Band-notched characteristics. pages 216–219, Shanghai, 2015.
- [107] M. Mahmud, T. Alam, and M. Islam. A triangular coupled-resonator antenna for ultra-wideband applications. *Applied Physics A: Materials Science and Processing*, 123(1):2–5, 2017.
- [108] M. Karimiyan-Mohammadabadi, M. A. Dorostkar, F. Shokuohi, M. Shanbeh, and A. Torkan. Ultra-wideband textile antenna with circular polarization for GPS applications and wireless body area networks. *Journal of Industrial Textiles*, 46(8):1684–1697, 2017.
- [109] A. Singh, K. Rathore, P. Sharma, and R. Raj. Dual band notched small square monopole UWB antenna with enhanced bandwidth. pages 64–68, Bhopal, 2014.
- [110] H. Choi, K. Choi, and H. Hwang. Band-reject UWB antenna based on two-pole band-stop filter. *Microwave and Optical Technology Letters*, 58(2):406–409, 2015.
- [111] S. Oudayacoumar and M. Amudhan. A Compact Hexagonal Structured Dual Band MIMO Antenna for Fixed WiMAX Application. *International Journal of Engineering Research & Technology (IJERT)*, 2(8):1813–1820, 2013.
- [112] S. Tripathi, S. Yadav, and A. Mohan. Hexagonal fractal ultra-wideband antenna using Koch geometry with bandwidth enhancement. *IET Microwaves, Antennas & Propagation*, 8(15):1445–1450, 2014.
- [113] M. Sharma, Y. Awasthi, H. Singh, R. Kumar, and S. Kumari. Compact printed high rejection triple band-notch UWB antenna with multiple wireless applications. *Engineering Science and Technology, an International Journal*, 19(3):1626–1634, 2016.
- [114] V. Rajeshkumar and S. Raghavan. A compact metamaterial inspired triple band antenna for reconfigurable WLAN/WiMAX applications. *International Journal of Electronics and Communications*, 69(1):274–280, 2014.
- [115] S. Koziel and A. Bekasiewicz. Multi-objective optimization of expensive electromagnetic simulation models. *Applied Soft Computing Journal*, 47:332–342, 2016.
- [116] S. Lee, J. Park, and J. Lee. A novel CPW-FED ultra-wideband antenna design. *Microwave and Optical Technology Letters*, 44(5):393–396, 2005.
- [117] T. Peter, T. Rahman, S. Cheung, R. Nilavalan, H. Abutarboush, and A. Vilches. A novel transparent UWB antenna for photovoltaic solar panel integration and RF energy harvesting. *IEEE Transactions on*

- Antennas and Propagation*, 62(4):1844–1853, 2014.
- [118] S. Radiom, M. Baghaei-Nejad, H. Aliakbarian, L. Zheng, G. Vandenbosch, and G. Gielen. Miniaturization of UWB antennas and its influence on antenna-transceiver performance in impulse-UWB communication. *Wireless Personal Communications*, 71(4):2913–2935, 2013.
- [119] K. Ray and S. Thakur. Ultra wide band vertex truncated printed pentagon monopole antenna. *Microwave and Optical Technology Letters*, 56(10):2228–2234, 2014.
- [120] M. Lin, D., Tang, I., Tsou. A compact UWB antenna with CPW-fed. *Microwave and Optical Technology Letters*, 49(3):564–567, 2007.
- [121] C. Yu, T. Xu, and C. Liu. Design of a Novel UWB Omnidirectional Antenna Using Particle Swarm Optimization. *International Journal of Antennas and Propagation*, 2015:1–8, 2015.
- [122] N. Tokan. Optimization of the UWB feed antenna position in reflector applications. *International Journal of Antennas and Propagation*, 2014:1–7, 2014.
- [123] A. Amini, H. Oraizi, and M. Chaychi. Miniaturized UWB Log-Periodic Square Fractal Antenna. *IEEE Antennas and Wireless Propagation Letters*, 14:1322–1325, 2015.
- [124] A. Toktas and A. Akdagli. Wideband MIMO antenna with enhanced isolation for LTE, WiMAX and WLAN mobile handsets. *Electronics Letters*, 50(10):723–724, 2014.

propagación y antenas, bioelectromagnetismo, y sistemas de comunicaciones.

En el Laboratorio de Comunicaciones de la Escuela de Ingeniería Eléctrica de la Universidad del Zulia se realizan trabajos de investigación en las áreas de propagación y antenas, diseño de circuitos de microondas, electromagnetismo aplicado, simulación de fenómenos electromagnéticos, sistemas de comunicaciones, caracterización de materiales y bioelectromagnetismo.

Breve Reseña de los Autores

Andry Contreras recibió el grado de Ingeniero Electricista en 2009, el grado de MS en Ciencias Aplicadas. Área: Física en 2012 y cursa el Doctorado en Ingeniería, todos estos en la Universidad del Zulia. Profesor asociado e investigador de la Facultad de Ingeniería de la Universidad del Zulia. Sus áreas de investigación incluyen: propagación y antenas, electromagnetismo aplicado, simulación de fenómenos electromagnéticos y sistemas de comunicaciones.

Maryory Urdaneta recibió el grado de Ingeniero Electricista en 2003, el grado de MS en Matemáticas Aplicada en 2007, ambos en la Universidad del Zulia. MS en Ingeniería Eléctrica en 2012 y PhD en Ingeniería Eléctrica en 2015, en University of Central Florida. Profesora titular e investigadora de la Facultad de Ingeniería de la Universidad del Zulia. Sus áreas de investigación incluyen:

Operation variables evaluation of vertical evaporators via a computational tool

Jesús Yaguaratty^a, Vanessa Hurtado^a, Alejandro Bolívar^b y Ángel D. Almarza^{*b}

^a*Departamento de Térmica y Energética, Escuela de Ingeniería Mecánica, Facultad de Ingeniería, Universidad de Carabobo, Valencia, Venezuela.*

^b*Departamento de Computación, Dirección de Estudios Básicos, Facultad de Ingeniería, Universidad de Carabobo, Valencia, Venezuela.*

Abstract.- The vertical evaporators of long tubes are equipment widely used at industrial level. The thermal processes that take place in this type of systems, involve heat transfer phenomena regulating the phase change of the fluids and consequently the use of mathematical models of complexity and empirical nature that merit analysis and automation, in addition to the estimation of the corresponding properties. In that sense, the respective mathematical modeling was developed, for whose resolution are required two nested iterative processes, giving rise to a coding algorithm coded in Java programming language, taking into consideration the design of a graphical user interface by means of which are obtained the characteristic parameters of the process. Finally, the validation of the computational tool was carried out, based on experimental data from vertical evaporators.

Keywords: vertical evaporators; computational tool; operation variables; heat transfer.

Evaluación de las variables de operación de evaporadores verticales por medio de una herramienta computacional

Resumen.- Los evaporadores verticales de tubos largos, son equipos ampliamente utilizados a nivel industrial. Los procesos térmicos que tienen lugar en éste tipo de sistemas, involucran fenómenos de transferencia de calor que comportan el cambio de fase de los fluidos y en consecuencia el uso de modelos matemáticos de complejidad y de naturaleza empírica que ameritan análisis y automatización, además de la estimación de las propiedades correspondientes. En ese sentido, se desarrolló el modelado matemático respectivo, para cuya resolución se requieren dos procesos iterativos anidados, dando lugar a un algoritmo de cálculo codificado en el lenguaje de programación Java, tomando en consideración el diseño de una interfaz gráfica de usuario por medio de la cual se obtienen los parámetros característicos del proceso. Por último, se realizó la validación de la herramienta computacional, en base a datos experimentales de evaporadores verticales.

Palabras claves: evaporadores verticales; herramienta computacional; variables de operación; transferencia de calor.

Recibido: marzo 2018

Aceptado: mayo 2018

1. Introducción

El proceso de evaporación es una de las principales operaciones unitarias, cuya implementación tiene un amplio espectro de aplicaciones en la industria química, alimenticia, entre otras, siendo los evaporadores verticales de tubos largos uno de los más empleados, típicamente asociados al manejo

de líquidos limpios, líquidos que forman espumas y líquidos corrosivos, evidenciándose entre sus ventajas, la gran superficie de calentamiento y el buen tiempo de residencia [1]. En tal sentido, el estudio de dichos procesos ha sido enfocado desde diversas aristas con la intención de comprender a fondo el fenómeno y emplear estrategias de simulación, tal como lo muestran en sus trabajos, Macías y Segovia [2] y Muñoz [3] respectivamente, lo cuales han tenido su origen en algoritmos que hacen referencia a procesos similares, pero que, en su mayoría no estiman el coeficiente global de transferencia de calor enfrentando cálculos que requieren estimación de diversas propiedades y

*Autor para correspondencia: Ángel D. Almarza
adalmarza@gmail.com

coeficientes, los cuales dependen de las variables de operación, la solución de modelos a través de procesos iterativos con suposición de valores iniciales, además de la selección y uso de correlaciones empíricas específicas que toman en cuenta el cambio de fase tanto por dentro de los tubos del intercambiador como por la carcasa. Paralelamente, Parrales y otros [4], abordan el estudio de intercambiadores de calor helicoidales en posición vertical operando con fluidos bifásicos por medio del cálculo de redes neuronales artificiales, que implican un proceso automatizado con algunos de los parámetros característicos del fenómeno, la validación realizada compara el flujo de calor experimental con el simulado en un evaporador vertical de doble tubo helicoidal en estado estacionario con agua como fluido de trabajo, adicionalmente se contrasta el flujo de calor, tanto experimental como simulado de un prototipo innovador de generador de vapor helicoidal con diseño a gran escala. Desde otro enfoque, Xue y otros [5], han abordado el análisis de evaporadores multiefecto desde la gestión energética, estudiando las variables clave de proceso y su relación con los consumos de vapor. De cualquier forma, el análisis de las variables involucradas en la operación de éste tipo de equipos desde la perspectiva de su diseño, así como el estudio del funcionamiento, en los términos del uso de la energía, conlleva la aplicación de una serie de correlaciones de orden empírico y estimación de propiedades, sobre los cuales resulta pertinente el desarrollo de una herramienta computacional, que permita concretar de forma rápida y eficiente, el modelado del citado proceso, permitiéndole al usuario en principio, la comprensión del mismo a través de un entorno que facilite un acercamiento a la realidad, lo cual se vincula a un aprendizaje activo generando un acercamiento de forma comprensiva al fenómeno en estudio [6], disponiendo al mismo tiempo de un reporte con la información relacionada al comportamiento de las variables en cuestión.

2. Desarrollo de la investigación

La investigación realizada se llevó a cabo a través de las siguientes fases:

2.1. *Primera fase: Identificación de las variables asociadas al proceso de intercambio térmico en un evaporador vertical*

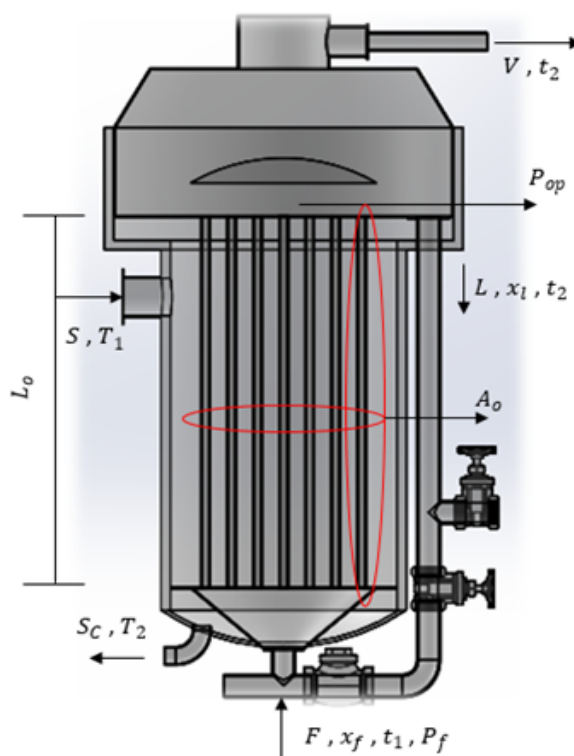


Figura 1: Variables de operación de un evaporador vertical de tubos largos

En principio, el análisis del proceso que ocurre en un evaporador vertical de tubos largos pasa por la determinación e identificación de las variables involucradas. En tal sentido, y de acuerdo al diagrama presentado en la Figura 1, intervienen en el mismo: los flujos de los fluidos que intercambian calor, las temperaturas de entrada y salida al equipo de cada uno de los fluidos, las presiones de trabajo, si existe un cambio de concentración producto del proceso se debe tomar en cuenta dicho valor. Así mismo, se establece como parámetros de diseño, el área de transferencia requerida, que se vinculan con las características de los tubos (longitud, diámetro interno y externo, el número de ellos y su arreglo).

La variables representadas en la Figura 1 son
 F : Flujo de alimentación que entra al evaporador [kg/s],

L : Flujo de líquido concentrado que sale del evaporador [kg/s],

S : Vapor de agua que entra a la cámara de calefacción [kg/s],

S_c : Vapor de agua condensado que sale de la cámara de calefacción [kg/s],

V : Vapor de la solución que sale del evaporador [kg/s],

t_1 : Temperatura de entrada del fluido frío al evaporador [°C],

t_2 : Temperatura de salida del fluido frío al evaporador [°C],

T_1 : Temperatura de entrada del fluido caliente al evaporador [°C],

T_2 : Temperatura de salida del fluido caliente al evaporador [°C],

P_f : Presión de flujo de alimentación que entra al evaporador [kPa],

P_{op} : Presión de operación [kPa],

L_o : Longitud de los tubos [m],

A_o : Área de transferencia de calor [m^2],

P_v : Presión de vapor de calentamiento [kPa],

x_f : Concentración inicial de la solución [mg/L],

x_l : Concentración final de la solución [mg/L].

2.2. Segunda fase: Determinación y desarrollo de los modelos matemáticos relacionados con el caso de estudio.

Tomando en consideración las características del sistema en estudio, esto es, evaporadores verticales de tubos largos, operando en condiciones estacionarias y con la intención de estructurar el modelado del mismo, se aplica en primer lugar el balance de materia según la Ecuación (1)

$$F + S = L + V + S_c, \quad (1)$$

donde, el vapor de agua que entra a la cámara de calefacción sale como vapor de agua condensado ($S = S_c$). Por lo tanto, la Ecuación (1) queda expresada de acuerdo con la Ecuación (2)

$$F = L + V. \quad (2)$$

El balance global para un evaporador de simple efecto expresado en la Ecuación (2), también puede

considerar el balance de soluto, tomando como base las concentraciones de entrada y de salida de la solución que se evapora, según la Ecuación (3)

$$F \cdot x_f = L \cdot x_l + V \cdot y_v. \quad (3)$$

Así, considerando un proceso de evaporación eficiente, se asume que no habrá arrastre alguno de soluto en el vapor ($y_v = 0$), y entonces la Ecuación (3) queda expresado en la Ecuación (4)

$$F \cdot x_f = L \cdot x_l. \quad (4)$$

Por otro lado, considerando despreciables las pérdidas de calor al entorno, por convección y radiación, esto es, el calor que entrega el fluido que circula por la carcasa lo recibe el que circula por los tubos, el balance de energía de energía se expresa a partir de la Ecuación (5),

$$F \cdot h_f + S \cdot h_s = L \cdot h_l + V \cdot h_v + S_c \cdot h_{sc}. \quad (5)$$

donde:

h_f : Entalpía específica de la alimentación [kJ/kg],

h_s : Entalpía específica del vapor de agua que entra a la cámara de calefacción [kJ/kg],

h_l : Entalpía específica del líquido concentrado [kJ/kg],

h_v : Entalpía específica del vapor de la solución [kJ/kg],

h_{sc} : Entalpía específica de vapor de agua que sale de la cámara de calefacción [kJ/kg].

Paralelamente, la velocidad de transferencia de calor se determina a partir de la Ecuación (6)

$$\dot{Q} = U_o \cdot A_o \cdot \Delta T_{ml}, \quad (6)$$

siendo:

U_o : Coeficiente global de transferencia de calor referido al área externa [$W/m^2 \cdot K$],

ΔT_{ml} : Diferencia de temperatura media logarítmica [adim].

La estimación del coeficiente global de transferencia de calor (U_o), depende de los coeficientes convectivos, tanto interno (h_i) como externo (h_o), los cuales de manera intrínseca involucran fluidos con cambio de fase para ambos casos.

Para evaluar el coeficiente convectivo dentro de los tubos (h_i), se emplea la correlación de Shah,

la cual se aplica para ebullición por nucleación, ebullición convectiva y ebullición estratificada [7]; modelo que permite una predicción del coeficiente con desviaciones aceptables respecto a las que podrían efectuarse con otros correlaciones empíricas [8], siendo fácilmente programable para cálculos computarizados. Su aplicación implica, el cálculo de cuatro parámetros adimensionales, Ψ , C_o , B_o , F_{rl} , de los cuales el último (número de Froude) se estima sólo en el caso en el que los tubos estén dispuestos horizontalmente.

Así, el parámetro Ψ relaciona el coeficiente convectivo dentro de los tubos, con el coeficiente convectivo de la fase líquida, expresado a partir de la Ecuación (7)

$$\Psi = \frac{h_i}{h_p}, \quad (7)$$

donde:

h_p : Coeficiente del fluido en fase líquida [$W/m^2 \cdot K$].

El cual se calcula a través de la Ecuación (8)

$$h_p = 0,023 \left[\frac{G(1-x)d_i}{\mu_l} \right]^{0,8} P_r^{0,4} \frac{k_l}{d_i}, \quad (8)$$

donde:

G : Velocidad másica [$kg/m^2 \cdot s$],

x : Calidad de vapor (puede tomarse un promedio entre la calidad de entrada y la calidad a la salida del vapor),

P_r : Número de Prandtl,

μ_l : Viscosidad del fluido en fase líquida [$kg/m \cdot s$],

k_l : Conductividad térmica del fluido en fase líquida [$W/m \cdot K$].

Para la determinación de Ψ , se requiere el cálculo de los siguientes parámetros adimensionales:

El número de convección (C_o) se determina con la Ecuación (9)

$$C_o = \left[\frac{1}{x} - 1 \right]^{0,8} \left[\frac{\rho_v}{\rho_l} \right]^{0,5}, \quad (9)$$

donde:

ρ_v : Densidad de vapor [kg/m^3],

ρ_l : Densidad del fluido en fase líquida [kg/m^3].

Para el número de ebullición B_o , se obtiene con la Ecuación (10)

$$B_o = \frac{q''}{G \cdot \lambda_{vap}}, \quad (10)$$

donde:

q'' : Flujo de calor local [$kJ/m^2 \cdot s$],

λ_{vap} : Calor de vaporización o condensación [kJ/kg].

$$q'' = U_{ref} (\dot{T}_c - T_{sat}),$$

para

U_{ref} : Estimado del coeficiente global de transferencia de calor [$W/m^2 \cdot K$],

\dot{T}_c : Promedio de temperatura para el fluido caliente [K],

T_{sat} : Temperatura de saturación del fluido que se evapora [K].

$$\dot{T}_c = \frac{T_{c1} + T_{c2}}{2},$$

con

T_{c1} : Temperatura del fluido caliente a la entrada del evaporador [K],

T_{c2} : Temperatura del fluido caliente a la salida del evaporador [K].

En el caso de tubos dispuestos verticalmente, no es necesaria la estimación del número de Froude (F_{rl}), ya que para cualquier valor se define el parámetro N_s del modelo, según la Ecuación (11)

$$N_s = C_o, \quad (11)$$

En tal sentido el parámetro Ψ depende del valor de N_s ; de este modo

1. Para $N_s > 1$, se calculan dos valores de Ψ , Ψ_{ec} y Ψ_{en} .

$$\Psi_{ec} = \frac{1,8}{N_s^{0,8}},$$

$$\Psi_{en} = 230B_o^{0,5} \text{ cuando } B_o > 0,3 \times 10^{-4},$$

$$\Psi_{en} = 1 + 46B_o^{0,5} \text{ cuando } B_o < 0,3 \times 10^{-4}.$$

Se escoge el valor más alto (Ψ_{ec} o Ψ_{en}) y con este valor se despeja h_i de la Ecuación (7).

2. Para $0,1 < N_s \leq 1$ se calculan dos valores de Ψ , Ψ_{ec} y Ψ_{ee} .

$$\Psi_{ec} = \frac{1,8}{N_s^{0,8}},$$

$$\Psi_{ee} = FB_o^{0,5} \exp(2,74N_s^{-0,1}), \quad (12)$$

Se escoge el valor más alto (Ψ_{ec} o Ψ_{ee}) y con este valor se despeja h_i de la Ecuación (7).

3. Para $N_s \leq 0,1$ se calculan dos valores de Ψ , Ψ_{ec} y Ψ_{ee} .

$$\Psi_{ec} = \frac{1,8}{N_s^{0,8}},$$

$$\Psi_{ee} = FB_o^{0,5} \exp(2,74N_s^{-0,15}), \quad (13)$$

Se escoge el valor más alto (Ψ_{ec} o Ψ_{ee}) y con este valor se despeja h_i de la Ecuación (7)

En las Ecuaciones (12) y (13) se utiliza un parámetro F , que es una constante que depende de B_o

Para $B_o \geq 11 \times 10^{-4}$, $F = 14,7$.

Para $B_o < 11 \times 10^{-4}$, $F = 15,43$.

El coeficiente h_o (coeficiente de película para fluido transitando por la parte externa de los tubos) puede estimarse en la entrada, o en la salida del intercambiador, mediante la correlación de Kern, expresada en la Ecuación (14).

$$h_o = 0,728 \left[\frac{\rho_l^2 g \lambda_{vap} k_l^3}{\mu_l \Delta T_p d_o} \right]^{\frac{1}{4}} \frac{1}{N^{1/6}}, \quad (14)$$

donde:

N : Estimado del número de tubos por fila [*adim*],
 d_o : Diámetro externo de los tubos [*m*].

ΔT_p : Diferencia entre la temperatura de saturación y la temperatura de superficie del tubo [*K*].

El coeficiente global de transferencia de calor se calcula a través de las resistencias térmicas asociadas al proceso convectivo que ocurre tanto dentro como por fuera de los tubos, así como a la conducción en la pared de cada uno de ellos, tomando también en cuenta las resistencias térmicas de ensuciamiento. Así, refiriéndose al área externa se expresa en la Ecuación (15).

$$U_0 = \frac{1}{\frac{d_o}{d_i h_i} + \frac{d_o R_{si}}{d_i} + \frac{d_o \ln(d_o/d_i)}{2k} + R_{so} + \frac{1}{h_o}}, \quad (15)$$

donde:

d_i : Diámetro interno de los tubos [*m*],

h_i : Coeficiente convectivo por dentro de los tubos [$W/m^2 \cdot K$],

h_o : Coeficiente de película por fuera de los tubos [$W/m^2 \cdot K$],

R_{so} : Coeficiente de ensuciamiento por fuera de los tubos [$m^2 \cdot K/W$],

R_{si} : Coeficiente de ensuciamiento por dentro de los tubos [$m^2 \cdot K/W$].

$$\Delta T_p = \Delta T [1 - U [R(des)]]],$$

con

$$R(des) = R_{so} + \frac{d_o}{d_i} \left(R_{si} + \frac{1}{h_i} \right) + \frac{d_o \ln(d_o/d_i)}{2k},$$

donde:

ΔT : Diferencia de temperatura entre el fluido caliente y el fluido frío [*K*],

k : Conductividad térmica del material de los tubos [$W/m \cdot K$].

Tomando en consideración que, debido al cambio de fase, el coeficiente global de transferencia de calor varía apreciablemente a través del intercambiador, se toma como criterio el uso de un coeficiente promedio entre la entrada y la salida del equipo, expresado en la Ecuación (16)

$$U_0 = \frac{U_e + U_s}{2}. \quad (16)$$

2.3. **Tercera fase: Propuesta de solución simultánea de modelos, tanto dentro como por fuera de los tubos.**

A partir del modelado matemático previamente analizado, se estructuró una secuencia de cálculo iterativa, que implica el uso de valores iniciales para el coeficiente global de transferencia de calor y para el ΔT_p como se muestra en la Figura 2.

La secuencia de cálculo es el punto de partida para la construcción de un algoritmo, que además incluye la determinación de las propiedades pertinentes para llevar a cabo la estimación de las diferentes variables.

2.4. **Cuarta fase: Herramienta propuesta**

La herramienta que se propone incluye una estructura de programación orientada a objetos desarrollada en lenguaje de programación Java, permitiendo el diseño y desarrollo de las diferentes ventanas que se disponen en la aplicación, logrando además asegurar la portabilidad del producto obtenido para diferentes sistemas operativos. Se incluyen elementos para la validación de entrada de

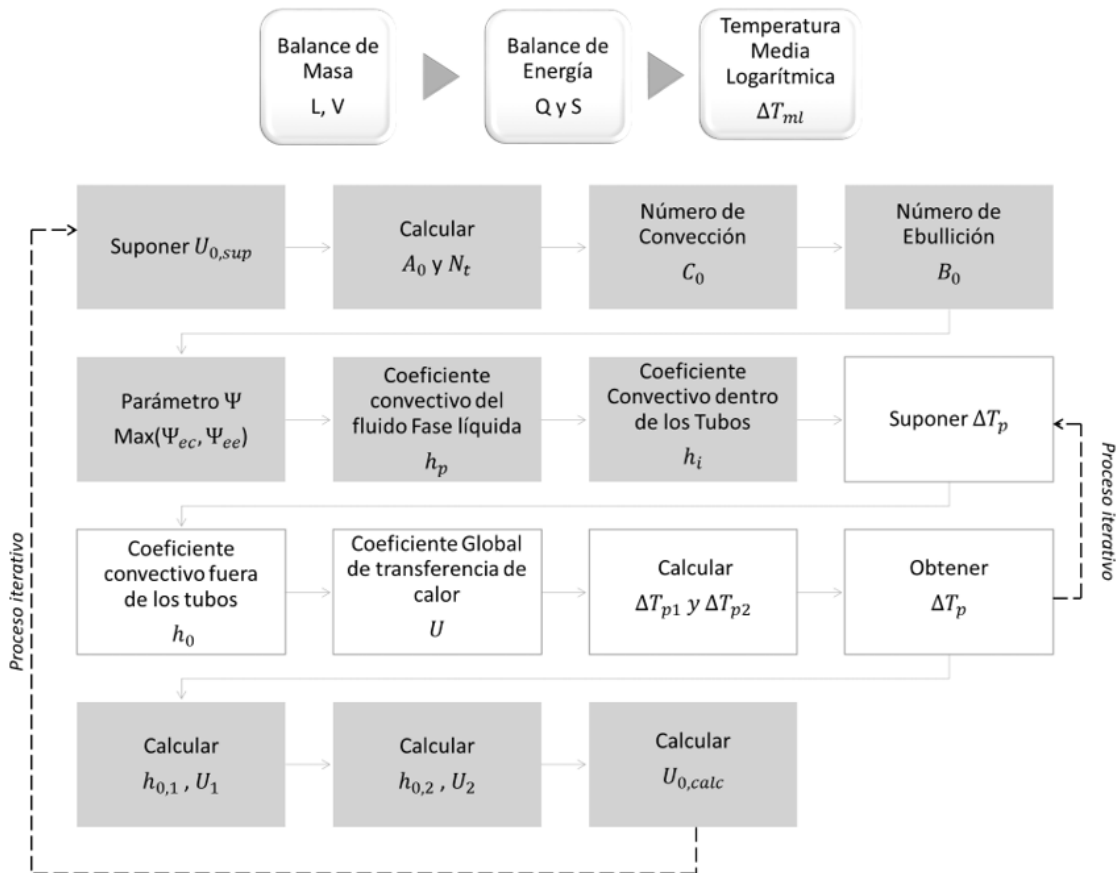


Figura 2: Secuencia de cálculo asociada al modelado matemático del proceso.

datos, verificando que se especifiquen los campos requeridos, así como las posibles unidades de las magnitudes asociadas.

De igual forma, se incluyen aspectos didácticos, como por ejemplo el perfil de temperaturas, que se implementa a través de un gradiente constituido por una combinación de tres colores, mantienen una relación proporcional con la longitud total de los tubos para mostrar de manera intuitiva la posición en el intercambiador donde se alcanza el cambio de fase; adicionalmente se contempla la posibilidad de generar un reporte, a través de un proceso de interacción entre la aplicación y una hoja de cálculo para la organización de los resultados generados.

2.5. *Quinta fase: Validación de la herramienta computacional*

La validación de la herramienta desarrollada se efectúa por medio del uso de datos experimentales

disponibles [9], atendiendo también a las características y dimensiones de un equipo real.

3. **Discusión de resultados.**

De acuerdo a las fases descritas, se desarrolló una herramienta que articula los cálculos pertinentes para describir las variables del proceso, teniendo en cuenta una interfaz gráfica de usuario, en donde, en principio es posible introducir los datos de entrada, a través de dos ventanas, la primera en la Figura 3, está asociada a las características del equipo, específicamente de los tubos, en lo relativo al material, el diámetro, la longitud y el tipo de arreglo. La segunda ventana en la Figura 4, corresponde a las condiciones de operación del sistema.

Es de hacer notar, que la herramienta cuenta con mecanismos de validación de entrada de datos tanto por señal audible como visual. Asegurando así,

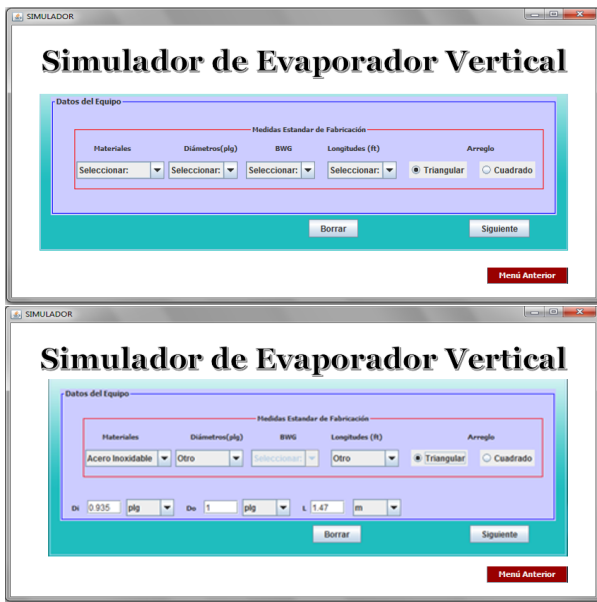


Figura 3: Ventana correspondiente a las características del equipo

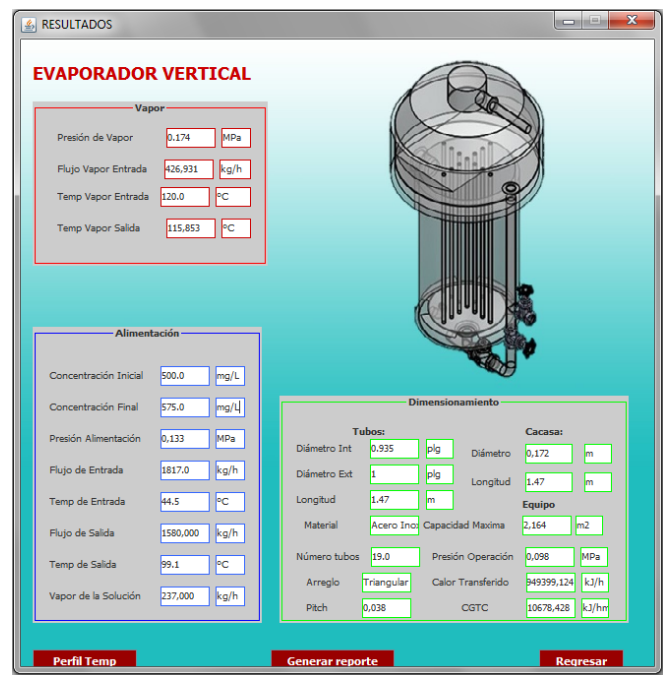


Figura 5: Ventana correspondiente a los resultados del proceso

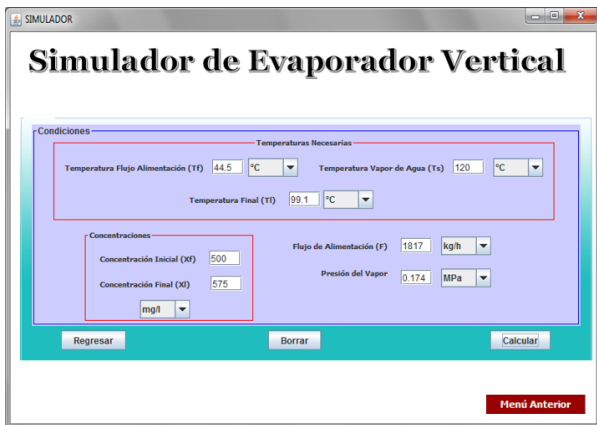


Figura 4: Ventana correspondiente a las condiciones de operación del sistema



Figura 6: Perfil de temperatura del fluido que circula por el interior de los tubos

que se dispone de todos los requerimientos para la realización de cálculos respectivos.

Una vez suministrada la información, la herramienta muestra una ventana que concentra los resultados de implementar el modelado matemático del proceso, de acuerdo con la Figura 5. Así mismo, es posible visualizar el perfil de temperatura del fluido a lo largo de los tubos, indicando en azul las temperaturas más bajas y en rojo las más altas como se refleja en la Figura 6.

La Figura 7 muestra el reporte de resultados que

genera la herramienta en una hoja de cálculo, la cual es de fácil manejo para el usuario final.

Los datos empleados para la validación están en las Tablas 1 y 2 respectivamente, la primera contiene las características de los tubos del evaporador vertical y la segunda, las condiciones de operación del equipo. Los datos suministrados, corresponden a un evaporador vertical de tubos largos que opera con agua potable y cuya finalidad

UNIVERSIDAD DE CARABOBO
FACULTAD DE INGENIERIA
ESCUELA DE INGENIERIA MECANICA
DPTO DE TERMICA Y ENERGETICA

PROYECTO: EVAPORADOR VERTICAL DE TUBOS LARGOS

Elaborado por: _____

Fluido de Alimentación (Frío)		
Flujo de Entrada		
Temp de Entrada		
Presión de Entrada		
Flujo de Salida		
Temp de Salida		
Concentración Inicial		
Concentración Final		
Vapor de la Solución		

Fluido Caliente		
Presión de Vapor		
Flujo de Vapor Entrada		
Temp de Vapor Entrada		
Temp de Vapor Salida		

Dimensionamiento de Equipo			
Tubos:		Carcasa:	
Diámetro Interno		Diámetro	
Diámetro Externo		Longitud	
Longitud		Presión Ope	
Pitch		Cap max.	
Número		Calor transf.	
Materia		CGTC	
Arreglo			

Observaciones: _____

Fecha de Emisión	Revisado Por:	Aprobado por:	Fecha Aprobación:
------------------	---------------	---------------	-------------------

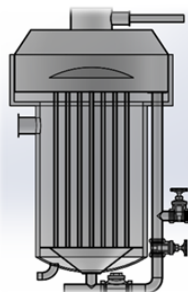


Figura 7: Reporte de Resultados

Tabla 1: Características de los tubos

Material: Acero Inoxidable		
Arreglo: Triangular		
Medida	Valor	Unidad
Diámetro Interno (di)	0,935	pulg
Diámetro Externo (do)	1	pulg
Longitud (L)	1,47	m
Numero de tubos	19	-

Tabla 2: Condiciones de Operación para el proceso de validación

Condición	Valor	Unidad
Flujo de Alimentación (F)	1817	kg/h
Presión del Vapor de calentamiento (Pv)	0,174	MPa
Temperatura Flujo Alimentación (Tf)	44.5	°C
Temperatura Vapor de Calentamiento (Ts)	120	°C
Temperatura Final (Tl)	99.1	°C
Concentración Inicial (xf)	500	mg/L
Concentración Final (xl)	575	mg/L

es la producción de vapor de agua, el medio de calentamiento a su vez es vapor de agua.

Tabla 3: Resultados de las iteraciones de cálculo

Iteraciones	U (W/ m ² · K)	Nro tubos	Error
1	2277,24044	37	-
2	2685,42540	25	408,18495
3	2861,65375	21	176,22835
4	2919,91844	20	58,26469
5	2958,56678	19	38,64834
6	2964,97186	19	6,40509
7	2966,02365	19	1,05178
8	2966,19610	19	0,17245
9	2966,22437	19	0,02827
10	2966,22900	19	0,00463
11	2966,22976	19	0,00076
12	2966,22989	19	0,00012
13	2966,22991	19	0,00002

En tal sentido, la Tabla 3 contiene los resultados de los cálculos, en cuanto al comportamiento de los valores del coeficiente global de transferencia de calor en el proceso iterativo y en consecuencia del número de tubos resultante, tomando como criterio de convergencia un error absoluto de 1×10^{-4} , entre dos iteraciones consecutivas. Los resultados finales mostrados, son consistentes con los valores reportados en la bibliografía para este tipo de sistemas, que oscilan típicamente entre 2280 y 3400 W/m²·K [10].

La Tabla 4 muestra los resultados del modelaje realizado de un equipo existente, en donde los valores arrojados por el simulador reproducen el comportamiento real del equipo [9]. Las variables que pueden ser ajustadas para lograr la simulación son las de salida del evaporador como, por ejemplo: la temperatura de salida del líquido o la concentración de sales. Es importante destacar que, los cambios realizados a la temperatura de salida tienen asociados cambios en el coeficiente global de transferencia de calor porque están íntimamente relacionados, como se puede observar en las correlaciones del algoritmo de cálculo del modelo.

4. Conclusiones

La correlación de Shah (Coeficiente de convección por dentro de los tubos) y la correlación de Kern (Coeficiente de película por fuera de los tubos) permitieron la obtención de valores confiables del Coeficiente Global de Transferencia

Tabla 4: Comparación de datos reales con los resultados del simulador

Parámetros	Unidad	Resultados		
		Real	Simulados	Error (%)
Coefficiente global de Transferencia de calor	W/m ² ·K	10020,638	10678,428	6,56
Área de Transferencia de calor	m ²	2,2287	2,0914	6,16
Número de tubos	–	19	19	0,00

de Calor en Evaporadores Verticales de tubos largos, obteniendo valores dentro de los rangos encontrados en la bibliografía, para este tipo de equipo.

La complejidad de los cálculos de transferencia de calor, que se basa en ecuaciones con las variables claves, como temperaturas, no explicitas, hace necesario llevar a cabo procesos iterativos que puedan generar los resultados de una forma rápida y sencilla, lo cual se implementa a través del modelo desarrollado.

Los módulos de cálculo elaborados fueron codificados bajo el lenguaje de programación Java, mediante el uso de clases y módulos, que facilitan el proceso de creación del simulador. El programa desarrollado permite la introducción sencilla de datos con diferentes unidades en: temperatura, presión y dimensiones. Además, presenta mensajes de error cuando existe la ausencia de datos o están fuera del rango permitido por la herramienta.

Como resultado de la capacidad que posee la herramienta, el usuario puede cambiar los datos de entrada y de salida, manteniendo los mismos parámetros de diseño, pudiendo así realizar diferentes corridas para un mismo equipo, cambiando solo las variables operacionales y pudiendo comparar los resultados obtenidos. Esto favorece a la toma de decisiones del usuario para satisfacer a la necesidad del proceso de transferencia de calor.

5. Referencias

[1] José M. Cueli G. Ingeniería de procesos de planta de producción de 150 t/día de nitrato amónico poroso prilado a partir de nitrato amónico técnico. Trabajo de fin de carrera, Escuela Técnica Superior de Ingeniería, Universidad de Sevilla, Sevilla, España, 2017.

- [2] G. Macias y I. Segovia. Desarrollo de un simulador para el diseño y evaluación de evaporadores de simple efecto. Trabajo especial de grado, Facultad de Ingeniería Química, Universidad de Guayaquil, Ecuador, 2017.
- [3] A. Mu noz. Aplicación informática para el diseño y operación de evaporadores de múltiple efecto en industria. Trabajo de fin de carrera, Escuela Técnica Superior de Ingeniería, Universidad de Sevilla, Sevilla, España, 2016.
- [4] A. Parrales, D. Colorado, Díaz-Gómez J.A., A. Hui-cochea, A. Álvarez, and J.A. Hernández. New void fraction equations for two-phase flow in helical heat exchangers using artificial neural networks. *Applied Thermal Engineering*, 130:149–160, 2018.
- [5] J. Xue, Q. Cui, J. Ming, Y. Bai, and L. y Li. Analysis of thermal properties on backward feed multieffect distillation dealing with high-salinity wastewater. *Journal of Nanotechnology*, 2015:1–7, 2015.
- [6] J. Sadhwani, J. Santana y N. Melián. La simulación como método de aprendizaje en el diseño de sistemas térmicos empleados en la desalación de agua de mar. In *III Jornadas Iberoamericanas de Innovación Educativa en el ámbito de las TIC*, Las Palmas de Gran Canaria, España, noviembre 2016.
- [7] M.M. Shah. Chart correlation for saturated boiling heat transfer: Equations and further study. *ASHRAE Transactions; Conference: Semi-annual meeting of the American Society of Heating, Refrigerating, and Air Conditioning Engineers*, 88, Jan 1982.
- [8] Z. Zhanru, F. Xiande, and Dingkun L. Evaluation of correlations of flow boiling heat transfer of r22 in horizontal channels. *The Scientific World Journal*, 2013:1–14, 2013.
- [9] J. León y J. Aguinaco. Desarrollo de un software de simulación para el sistema evaporador-condensador del laboratorio de ingeniería química de la universidad de carabobo. Trabajo especial de grado, Escuela de Ingeniería Química, Facultad de Ingeniería, Universidad de Carabobo, Valencia, Venezuela, 2007.
- [10] J. Welty, C. Wicks, R. Wilson, and G. Rorrer. *Fundamentals of Momentum, Heat and Mass Transfer*. John Wiley & Sons, USA, 2007.

Implementation of Monte Carlo algorithm in parallel for modeling the propagation of light in adult human skin

A. Muñoz* y G. López

Centro de Investigaciones Médicas y Biotecnológicas, Universidad de Carabobo, Avenida Salvador Allende, Naguanagua, Carabobo.

Abstract.- A simplified adult skin model that proposed it as a three layer turbid medium is presented for studying the Absorbance of skin as a function of melanin, bilirubin and hemoglobin concentration. The model was tested in a simulation based on the Monte Carlo method with the implementation of an algorithm in python3 for running the simulation in parallel with the libraries subprocess and multiprocessing. With data from 100 initial files, the simulation was run sequentially and in parallel. For four processors, the speedup was 3,71 and the efficiency 0,93. It was confirmed that melanin plays an important role as a Chromophore, losing information from the dermis and hypodermis for Melanosom volumen fraction above 0.033. It was also found that for bilirubin concentrations above 0.02 g/l, there are changes in the shape of the diffuse reflectance curve in the 450 - 500 nm range. The blood vessel density and the hemoglobin concentration were found to affect the Absorbance of the skin in the same way and both affect it in the 400 - 600 nm range mainly.

Keywords: Monte Carlo; parallel; absorbance; diffuse reflectance.

Implementación de un Algoritmo Monte Carlo en paralelo para el modelado de la propagación de la luz en piel humana adulta

Resumen.- Se presenta un modelo simplificado de la piel humana adulta como un medio turbio de tres capas para estudiar el comportamiento de la Absorbancia en este tejido debido a la variación de bilirrubina, hemoglobina y melanina mediante una simulación basada en el método de Monte Carlo e implementando un algoritmo en paralelo en el lenguaje de programación python3 para la ejecución del mismo con las librerías subprocess y multiprocessing. Se probó el algoritmo en paralelo tomando 100 archivos iniciales y ejecutándolos de manera secuencial y en paralelo. La implementación consiguió una mejora en el rendimiento de 3,71 y eficiencia de 0,93 para cuatro procesadores. Se confirmó que la melanina es uno de los Cromóforos más influyentes en la absorción de la piel, perdiéndose información óptica de la región inferior a la epidermis para una fracción de volumen de melanosomas mayor a 0,033. Se observó que para concentraciones de bilirrubina mayor a 0,02 g/l hay cambios en la concavidad de la reflexión difusa entre 450 y 500 nm. Se determinó que la densidad de vasos sanguíneos y la concentración de hemoglobina tienen efectos similares en la Absorbancia y ambas afectan predominantemente en el espectro entre 400 y 600 nm.

Palabras claves: Monte Carlo; paralelo; absorbancia; reflexión difusa.

Recibido: diciembre 2017

Aceptado: abril 2018

1. Introducción

El transporte de energía en un medio a través de luz está descrito por la Ecuación de Transferencia Radiativa. Esta es una ecuación integro-diferencial cuya solución analítica no es trivial. En su lugar

existe la alternativa de utilizar métodos numéricos para simular el comportamiento de la luz en un medio turbio. Uno de los métodos de elección para la simulación del transporte de fotones es el método de Monte Carlo [1].

El método de Monte Carlo surgió durante el periodo de posterior a la Segunda Guerra Mundial, finalizando la década de los 40. Luego de la creación de la EINAC, acrónimo de *Electronic Numerical Integrator And Computer* (Computador e Integrador Numérico Electrónico), Stanislaw Ulam, quien había sido parte de la Facultad de

* Autor para correspondencia:

Correo-e: aamunoz@gmail.com (A. Muñoz)

Matemáticas de la Universidad de California, tuvo la visión aprovechar la capacidad de computo de la EINAC para utilizar técnicas estadísticas [2]. John Von Neumann, intrigado por las ideas de Ulam, penso en un acercamiento estadístico al problema de la difusión de neutrones en material de fisión, donde los efectos de absorción, esparcimiento, fisión y escape están regidos por el azar. Este problema describe la esencia del método. Hay muchas definiciones para el método MC, pero la que se elige es que: Un método de Monte Carlo (MC) se puede definir como un método numérico en el que se utilizan deliberadamente números aleatorios en un calculo que tiene la estructura de un proceso estocástico[3, p 2], un proceso cuya evolución este definida por una serie de eventos aleatorios. El resultado se obtiene normalmente realizando una serie de repeticiones del calculo y al final obteniendo un promedio de los resultados. El promedio, según la Ley de Números Grandes, se acercara más al valor esperado a medida que se hagan mayor numero de repeticiones. Esto también produce simulaciones más largas, por lo que se fija usualmente un error aceptable y solo se realizan las repeticiones necesarias. Para solventar el problema del tiempo también se utiliza en ocasiones programación en paralelo, donde se divide el trabajo de computo en varios núcleos de un mismo procesador.

El método MC (Monte Carlo) se ha popularizado y su uso se ha expandido a diversas áreas como la óptica y la física médica. En particular en el área de física médica uno de los métodos de diagnostico alternativo no invasivo existente para enfermedades de la piel, la espectrofotometría de reflexión difusa, mide la respuesta óptica espectral de este tejido con el fin de extraer datos de las curvas de reflexión difusa de la misma. La piel puede ser modelada como un medio turbio de múltiples capas: la epidermis formada principalmente por keratinocitos que contienen melanosomas y estos a su vez contienen melanina, el pigmento y cromóforo predominante de la piel, para proteger sus núcleos celulares; la dermis que contiene fibras de colágeno que le dan fortaleza y elasticidad a la piel, además de contener vasos sanguíneos, donde la hemoglobina de los hematocritos y la bilirrubina,

un compuesto amarillento que surge del proceso normal de descomposición de la hemoglobina que en altos niveles puede indicar problemas hepáticos, son dos cromóforos importantes; y la capa de tejido subcutaneo o hipodermis, constituida principalmente por grasa.

En este trabajo presenta un modelo simplificado de la piel, para estudiar el efecto de la hemoglobina, la bilirrubina y la melanina en la Absorbancia de la piel adulta y se evalua la efectividad de una implementación de la programación en paralelo en este tipo de simulaciones para aumentar la eficiencia del mismo.

2. Metodología

2.1. Un modelo simplificado de la piel

El modelo de la piel utilizado presenta como un medio de tres capas planas e infinitas horizontalmente: la epidermis, dermis y tejido subcutáneo o hipodermis, tomando como medio superior aire.

La respuesta base del tejido de epidermis y la dermis, sin melanina ni sangre, puede ser aproximada de la data de Iyad Saidi [4] (se logra la expresión utilizando una esfera de integración y tomando en cuenta la contribución extra de ambos pigmentos en las muestras), como

$$\mu_{a,base} = (7,84 \times 10^8) (\lambda^{-3,255}),$$

donde λ es la longitud de onda. La data de Saidi viene de muestras in vitro de piel neonatal en el rango entre 450 - 700 nm.

El principal agente absorbente de la epidermis es la melanina que se asume esta dispuesta de manera uniforme en el volumen de la capa y para englobar el resto de la contribución del tejido se tiene $\mu_{a,base}$. La absorción de esta capa

$$\mu_{a,epi}(\lambda) = f_{me} \mu_{a,me}(\lambda) + (1 - f_{me}) \mu_{a,base}, \quad (1)$$

donde f_{me} es la fracción volumen de los melanosomas que contienen melanina en la epidermis, los valores de esta fueron tomados de datos publicados [5] y $\mu_{a,me}(\lambda)$ es el coeficiente de absorción espectral de los melanosomas, cuya

expresión, de acuerdo con data experimental publicada [6], se puede aproximar como

$$\mu_{a,me}(\lambda) = 6,6 \times 10^{11} \lambda^{-3,33} . \quad (2)$$

En el caso de la dermis se toman en cuenta dos cromóforos importantes: la hemoglobina y la bilirrubina. En la sangre hay dos tipos de hemoglobina: oxigenada y desoxigenada. Cada una tiene respuestas espectrales diferentes. Los coeficientes de absorción de los cromóforos se pueden despejar de la Ley de Beer-Lambert, suponiendo estos como pigmentos disueltos en un medio con una determinada concentración

$$\begin{aligned} \mu_{a,bi}(\lambda) &= \ln(10) \frac{C_{bi}}{P_{bi}} \varepsilon_{bi}(\lambda) \\ \mu_{a,heox}(\lambda) &= \ln(10) \frac{C_{heox}}{P_{heox}} \varepsilon_{heox}(\lambda) \\ \mu_{a,hedesox}(\lambda) &= \ln(10) \frac{C_{hedesox}}{P_{hedesox}} \varepsilon_{hedesox}(\lambda) \end{aligned}$$

donde P peso molar [g/mol], C es la concentración en [g/l] y ε el coeficiente de extinción molar [$\text{cm}^{-1}/(\text{mol/l})$]. Cada una de estas expresiones debe ser escalada por un factor f similar al de la ecuación (2) y los coeficientes de extinción molar $\varepsilon(\lambda)$ fueron tomados de la data experimental (ver sec 2.a de [5]). Por parte de la hemoglobina el balance de la hemoglobina oxigenada y desoxigenada esta dado por la oxigenación en sangre S y

$$\begin{aligned} \mu_{a,he}(\lambda) &= S\mu_{a,heox}(\lambda) \\ &+ (1 - S)\mu_{a,hedesox}(\lambda) . \quad (3) \end{aligned}$$

Así el coeficiente de absorción de la dermis para una unidad de volumen sera la suma de la contribución de los constituyentes que absorben luz que en este caso serían la hemoglobina y la bilirrubina con datos de la fracción de volumen de los vasos sanguíneos según datos publicados [7].

El esparcimiento en la piel es causado principalmente por la keratina y el colágeno en terminos de la contribución del esparcimiento según Mie y según Rayleigh [8]. La expresión del factor de anisotropía g fue tomada de propiedades ópticas publicadas para la epidermis y la dermis [9].

Por último la hipodermis o capa subcutanea se considera principalmente esparidora. El coeficiente de absorción y el factor de anisotropía se toman de datos experimentales como 600 nm^{-1} y 0,8, respectivamente y ambos constantes en el espectro [10].

2.2. Monte Carlo en multiples capas

El programa Monte Carlo en multiples capas o MCML por sus siglas en ingles (*Monte Carlo Multi-layered*), es un programa escrito en el lenguaje ANSI C para el modelado de transporte de fotones en un medio de múltiples capas, donde las propiedades ópticas (μ_s, μ_a, g y n) y el grosor de cada capa (d) son conocidos [1]. El código describe un haz de fotones de una única longitud de onda e infinitesimalmente delgado que incide perpendicularmente en el medio. El simulador lanza un paquete de fotones con intensidad uno, de manera perpendicular a la superficie del medio. Calcula el camino libre medio antes de que ocurra una interacción, determina el resultado de las interacciones de absorción, esparcimiento y en caso de un cambio de capa refracción de manera aleatoria, hasta que el fotón sale del medio o pierde suficiente intensidad para ser desechado. Luego se sigue con el siguiente fotón hasta que se lancen el número de fotones previamente establecido. Para más detalles del programa ver [1].

Los parámetros simulados son la absorbancia, transmitancia, reflectancia difusa y especular. El MCML guarda el escape de fotones en la parte superior como $R_d(r, \alpha)$ e inferior como $T(r, \alpha)$, donde r es el radio y α el ángulo con respecto a la normal del medio. El programa toma un archivo de entrada en el que se pueden indicar múltiples simulaciones independientes en un mismo archivo de entrada, generando incluso archivos de salida separados para cada simulación, por lo que puede generar data para un estudio espectral con un solo archivo.

Indiferentemente de si se indican datos para múltiples simulaciones en un archivo o estos se separan en archivos distintos, el simulador ejecuta un solo **set** a la vez, comprendiendo como **set** los datos necesarios para realizar una simulación (μ_s, μ_a, g, n y d para cada capa). Se ejecuta una

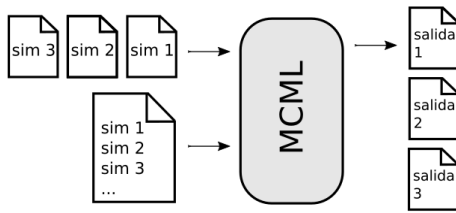


Figura 1: Ilustración de la manera en la que se ejecuta el MCML de manera secuencial.

simulación a la vez, se guardan los resultados en un archivo de salida y se repite para cada archivo (ver Figura 1), con la variación de que el usuario debe ser quien ejecute el simulador para cada archivo en caso de suministrar los sets de datos en archivos de entrada separados. Nótese además que para una sola instancia de parámetros del modelo, habrán tantos **sets** como longitudes de onda λ .

2.3. El MCML en paralelo

Se decidió que el punto en el que se realiza el calculo en paralelo sera en la ejecución de cada set de datos en lugar de en cada fotón. Para la implementación en el MCML se modifíco la salida de datos en consola que no se consideraron necesarias, pero la simulación en si no se modifíco. En su lugar se escribió un programa en el lenguaje python3, de nombre pyMCML, para facilitar y automatizar la generación de archivos iniciales, ejecución del simulador y realización de gráficas. En el pyMCML se utilizan dos librerías para ejecutar el programa en paralelo subprocess y multiprocessing.

La librería subprocess brinda una serie de funciones que permiten ordenar la ejecución de un programa (como por ejemplo el MCML). Por otro lado, multiprocessing permite dividir la ejecución de distintas funciones entre varios núcleos de la maquina. Combinando estas dos funcionalidades se puede ejecutar cualquier programa en paralelo.

La implementación amerita la creación de una función que llamaremos $sim(A)$, donde A son los datos necesarios para la ejecución del programa que se desea ejecutar en paralelo. En este caso A es la ruta de un archivo de entrada y sim , utilizara subprocess para que se ejecute el MCML con este archivo. Luego el número completo de archivos

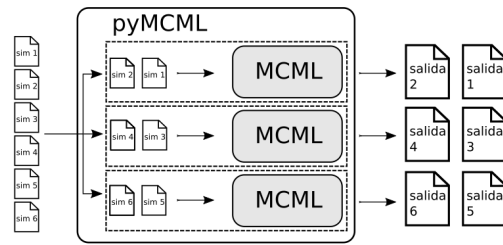


Figura 2: Ilustración elemental de la manera en la que se ejecuta el MCML en paralelo al utilizar pyMCML.

iniciales $N = km$ (k es el número de longitudes de onda y m el número de variaciones de parámetros en el modelo) se divide equitativamente entre el número de *procesos* independientes que se desean ejecutar n , quedando n grupos de archivos de entrada G con N/n elementos. En caso de que N no sea divisible entre n , número restante de archivos se distribuye entre los grupos y el número de elementos no es igual en cada grupo. Luego, con multiprocessing se definen n *procesos* para que cada uno ejecute a sim sobre cada A de uno de los grupos G . En la Figura 2 se observa una ilustración del proceso. De esta forma solo se deben preparar los archivos iniciales de manera conveniente para ser utilizados en este algoritmo, colocando un **set** en cada archivo inicial.

Se ejecutaran 100 archivos iniciales con **sets** diferentes de manera secuencial y en paralelo y se evaluara la mejora en el rendimiento

$$S(n) = T(1)/T(n),$$

donde n es el número de procesadores utilizados y T el tiempo para ese número de procesadores; y la eficiencia

$$E(n) = S(n)/n.$$

2.4. Simulaciones

Las simulaciones fueron realizadas con una computadora con procesador Intel® Core™i5-3570K de 4 núcleos de 3,40 GHz de 64 bits y 4 Gb de RAM con Ubuntu 16.06. Todas las simulaciones fueron realizadas con 100000 fotones, en el rango de 400 – 700nm, con una resolución de 4nm para un total de 76 longitudes

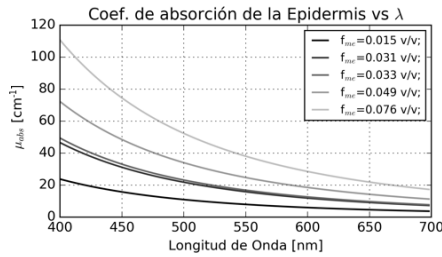
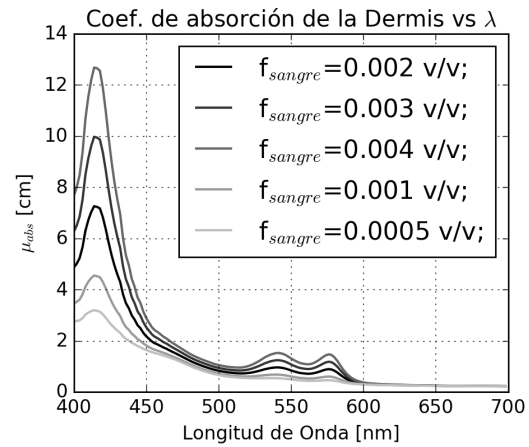


Figura 3: Coeficiente de absorción de la Epidermis para diferentes concentraciones de melanosomas en la piel.

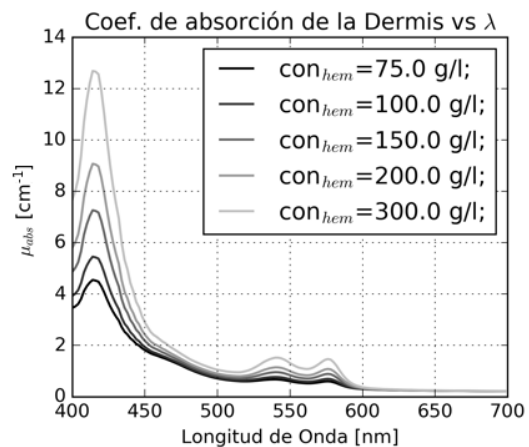
de onda y con valores de control a menos que se indique lo contrario de $f_{sng} = 0,002$, $f_{me} = 0,033$ (Fototipo III[5]), $C_{bi} = 0,01$ g/l y $C_{he} = 150$ g/l. En la primera simulación se evaluó el efecto de la melanina variando la fracción de melanosomas para todos los Fototipos según Narea [5] $f_{me} = \{0,015; 0,031; 0,033; 0,049; 0,076\}$. Para la segunda simulación se probó el efecto de la bilirrubina, variando $C_{bi} = \{0,003; 0,01; 0,02; 0,03; 0,04\}$ g/l. Para la tercera y cuarta se evalúan los efectos de la hemoglobina, primero variando el volumen de los vasos sanguíneos $f_{sng} = \{0,0005; 0,001; 0,002; 0,003; 0,004\}$ y luego de la concentración en sangre $C_{he} = \{75, 100, 150, 200, 300\}$ g/l. Con cinco valores por parámetro en cada simulación se generaron 380 archivos iniciales para cada una.

3. Resultados

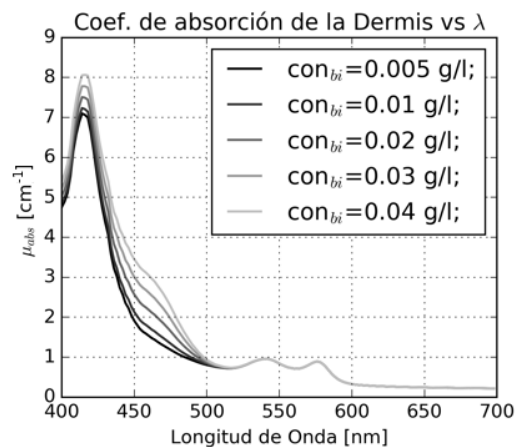
Al ejecutar los archivos de manera secuencial y en paralelo se observó que los tiempos de computo no son constantes a lo largo del espectro, tomando más tiempo en las longitudes donde la absorción es más débil y por lo tanto con reflexión más fuerte. En estas longitudes de onda los fotones tienen más interacciones débiles con el medio, lo que les permite eventualmente salir de este luego de esparcimientos múltiples, por lo que el tiempo de computo se relaciona con la cantidad de interacciones calculadas antes de pasar al fotón siguiente. En cuanto a la eficiencia, con 10^7 fotones, en el método secuencial el tiempo de ejecución promedio por fotón fue de $197 \mu s$ /fotón con una eficiencia de η y para el cálculo en paralelo el



(a) f_{sng}



(b) C_{he}



(c) C_{bi}

Figura 4: Coeficiente de absorción de la Dermis para variaciones de (a) f_{sng} , (b) C_{he} y (c) C_{bi} .

promedio fue de $53 \mu s$ /fotón utilizando los cuatro núcleos de la computadora. Con el algoritmo en paralelo hubo una mejoría de $S(4) = 3,71$ en el

rendimiento y se tuvo una eficiencia de $E(4) = 0,93$.

Se muestra el coeficiente de absorción de la epidermis de la primera simulación en la Figura 3. La forma exponencial de la curva es consecuencia del modelo utilizado y de la ecuación (2). La absorción varía proporcionalmente junto con la concentración de melanosomas como consecuencia de ecuación (1).

En la Figura 4 se presentan los coeficientes de absorción de la dermis para la segunda, tercera y cuarta simulación. El aumento en la absorción en la región de 400 a 600 nm observado en las Figuras 4a y 4b es similar y equivalente según las ecuación (3). En la Figura 4c hay un cambio de concavidad entre los 450 y 500 nm a partir de $C_{bi} = 0,02$ g/l es cual se considera la máxima concentración saludable, además del aumento proporcional de la absorción. Antes de los 450 nm el cambio no es tan pronunciado como en la variación de hemoglobina. Se denota también que la escala de la absorción por la melanina es mayor que la de otros cromóforos.

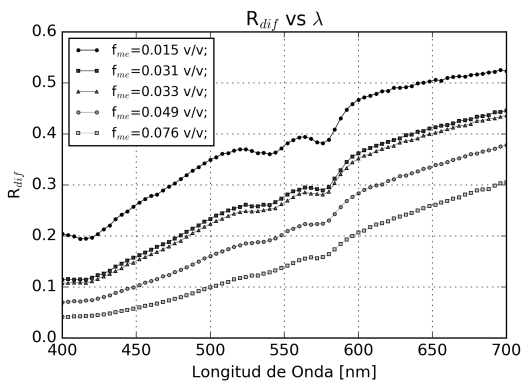


Figura 5: Refletancia difusa de piel simulada para varios f_{me} .

En la Figuras 5, 6, 7 y 8 se presentan las gráficas de reflectancia difusa obtenidas de las simulación. En la Figura 5 se ve que la fracción de melanosomas y produce una reflexión difusa más lineal, perdiendo los valles presentes entre 500 y 600 nm producto de la absorción de la dermis. Para los $f_m = 0,049$ y $0,076$ no se observa el primer valle entre 400 y 450 nm que se observa en las demás. La intensidad de la luz reflejada es aproximadamente la mitad para los valores mayores a La melanina

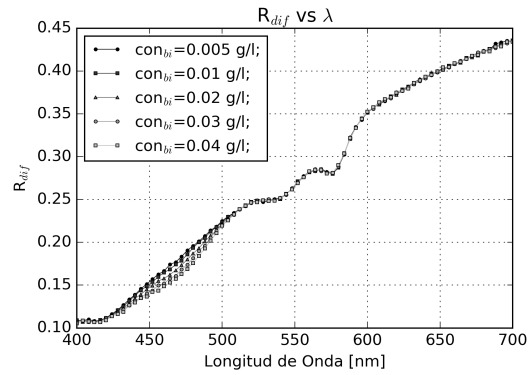


Figura 6: Refletancia difusa de piel simulada para varios C_{bi} .

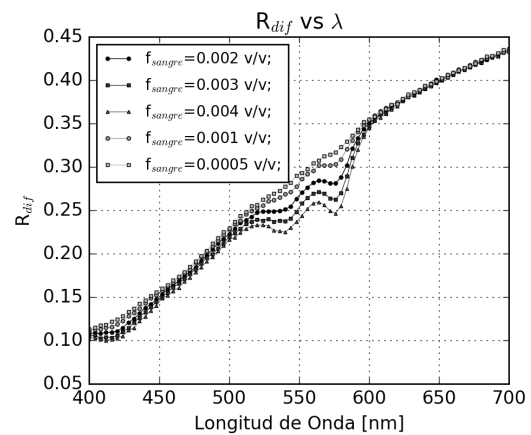


Figura 7: Refletancia difusa de piel simulada para varios f_{sngr} .

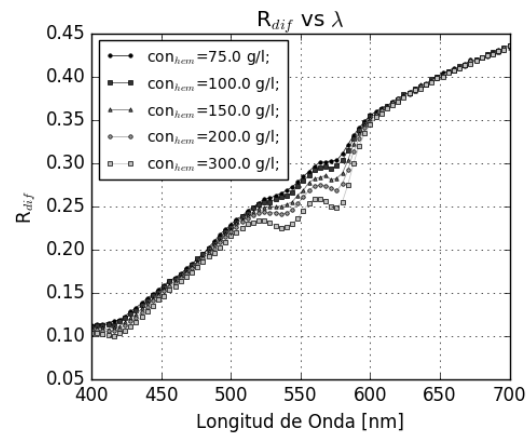


Figura 8: Refletancia difusa de piel simulada para varios C_{he} .

absorbe la mayor parte de la luz incidente en todo el espectro, impidiendo que esta llegue la dermis.

En la Figura 6 en la región de 400 - 500 nm la

curva de reflectancia cambia una tendencia lineal para una concentración normal de bilirrubina, por una concavidad que aumenta con la concentración. La variación se limita a la misma zona donde se produce el cambio de concavidad en la Figura 4c.

En las Figura 7 y 8 se observa que la variación de f_{sng} y C_{he} respectivamente. Ambas tienen comportamientos parecidos entre si, al igual que los cambios en $\mu_{a,dermis}$. Se esperaría mayor absorción y menor reflexión al aumentar la C_{he} , ya que al aumentar f_{sng} , disminuye la contribución del tejido base. Esto no se aprecia en los resultados obtenidos. El cambio más prominente está entre los 500 y 600 nm. Por debajo de 500 nm, a pesar del incremento en el coeficiente de absorción, no se ve un cambio pronunciado. Esta también es la zona de mayor absorción de la epidermis y por lo que se pierde información de la dermis aún para un $f_{me} = 0,033$ que es el equivalente a un Fototipo III. A pesar de esto se logra apreciar el valle entre 400 y 450 nm correspondiente al pico de absorción de la dermis.

4. Conclusiones

Con una mejoría en el rendimiento de $S(4) = 3,71$ y $E(4) = 0,93$ con cuatro núcleos de procesamiento, se desea seguir evaluando el alcance esta implementación del simulador en paralelo. Entre los desafíos que se presentan, se encuentra la porción del programa que no se puede paralelizar. Según la Ley de Amdahl para calcular $S_{Am}(n, p)$ de acuerdo al número de núcleos y la porción paralelizable, con un programa donde se pueda paralelizar una fracción 0,98 (98 %) del código, se obtendría $S_{Am}(4, 0,98) = 3,77$ y $E_{Am}(4, 0,98) = 0,94$. Estando en el mismo orden que los resultados, tomando 98 % como referencia y duplicando el número de núcleos se obtendría $E_{Am}(8, 0,98) = 0,88$, $E_{Am}(16, 0,98) = 0,77$ y $E_{Am}(n, 0,98) < 0,5$ para $n > 51$. Esta tendencia asintótica no incluye las limitaciones del hardware en por ejemplo: El acceso de memoria debido a la arquitectura del procesador. Por ello, al aumentar el número de núcleos, estos valores presentarían el tope superior aproximado de la eficiencia que se espera obtener. Aunque aún con una escalabilidad

menor a la predicha por Amdahl, el método de implementación puede ser aceptable para otros tipos de simulación que tengan un esquema de entrada y salida de datos similar al del MCML por la facilidad de su implementación. Se planea buscar un sistema con más procesadores para evaluar la escalabilidad del algoritmo y las limitaciones que pueda tener python.

En cuanto al modelo, se puede acotar que la melanina es un compuesto altamente absorbente que absorbe la mayor parte de la luz, como se referencia en la literatura. Para concentraciones $f_{me} > 0,033$ se reduce la cantidad de luz difusa reflejada a tal grado que empieza a perder información óptica de la dermis. Este efecto debe tomarse en cuenta al realizar cualquier medición en sujetos de piel obscura. Para la bilirrubina hay cambios significativos en la tendencia de la reflexión difusa en la zona de 450 – 500 nm para $C_{bi} > 0,02$ g/l, que se considera el tope para el funcionamiento normal del cuerpo, donde la región pasa de tener una tendencia lineal a ser concava.

Al comparar los efectos del aumento de la fracción de volumen de vasos sanguíneos y de la concentración de hemoglobina en sangre, se determinó que bajo este modelo el tejido base, limpio de pigmentos, no afecta de manera importante la absorción de la piel, por lo que se considera que se puede despreciar. El aumento de hemoglobina reduce la reflexión en la zona entre 400 y 600 nm.

5. Referencias

- [1] Lihong Wang, Steven L. Jacques, and Liqiong Zheng. MCML—Monte Carlo modeling of light transport in multi-layered tissues. *Computer Methods and Programs in Biomedicine*, 47(2):131–146, jul 1995.
- [2] N. Metropolis. The beginning of the Monte Carlo method. *Los Alamos Science*, (5):125–130, 1987.
- [3] Malvin H. Kalos and Paula A. Whitlock. *Monte Carlo Methods Volume 1: Basics*. John Wiley & Sons, Inc., 1986.
- [4] Iyad Salam Saidi. *Transcutaneous optical measurement of hyperbilirubinemia in neonates*. PhD thesis, Rice University, USA, 1992.
- [5] F. Narea, S. Vivas, and A. Muñoz. Retrieving the absorption coefficient of epidermis in human skin. *Optica Pura y Aplicada*, 48(3):207–214, sep 2015.

- [6] Steven L. Jacques and Daniel J. McAuliffe. The melanosome: Threshold temperature for explosive vaporization and internal absorption coefficient during pulsed laser irradiation. *Photochemistry and Photobiology*, 53(6):769–775, jun 1991.
- [7] J.A. Delgado Atencio, S.L. Jacques, and S. Vázquez y Montiel. Monte Carlo Modeling of Light Propagation in Neonatal Skin. In Charles J. Mode, editor, *Applications of Monte Carlo Methods in Biology, Medicine and Other Fields of Science*, chapter 17, pages 297–314. InTech, feb 2011.
- [8] Steven L. Jacques. Optical properties of biological tissues: a review. *Physics in Medicine and Biology*, 58(11):R37–R61, may 2013.
- [9] M.J.C. Van Gemert, S.L. Jacques, H.J.C.M. Sterenborg, and W.M. Star. Skin optics. *IEEE Transactions on Biomedical Engineering*, 36(12):1146–1154, 1989.
- [10] Tsumura Norimichi, Kawabuchi Miki, Haneishi Hideaki, and Miyake Yoichi. Mapping pigmentation in human skin by multivisible-spectral imaging by inverse optical scattering technique. *Journal of Imaging Science and Technology*, 45(5):444–450, sep 2001.

Synthetic analysis of the debate on the integrated management of water resources in Peru

Edilberto Guevara–Pérez*

Vocal of the National Tribunal of Water. National Water Authority, Peru
Visiting Professor, PDRH-UNALM, Peru
Emeritus Professor of Civil Engineering, Carabobo University, Venezuela

Abstract.- Water management has always been at the center of human development attention. All civilizations of the world have had their establishment, growth, peak moments and many times its decline, related to water resources and their management. In Peru, the actual management of water resources confronts different realities in its three main geographical zones: the coast, the highlands and the Amazon. In the present work, the concepts, the series of legal devices that deal with the use and management of water resources, the institutionalization in relation to water and its evolution in Peru, are described in a succinct and concrete way, in the framework of Integrated Water Resources Management (IWRM).

Keywords: water management; integrated management of water resources; water management in Peru; water management tools

Análisis resumido del debate sobre la gestión integral de los recursos hídricos en el Perú

Resumen.- La gestión del agua siempre ha estado en el centro de la atención del desarrollo humano. Todas las civilizaciones del mundo han tenido su establecimiento, crecimiento, florecimiento y muchas veces su declive, relacionado con los recursos hídricos y su gestión. En Perú, la gestión actual de los recursos hídricos enfrenta diferentes realidades en sus tres principales zonas geográficas: la costa, el altiplano y el Amazonas. En el presente trabajo se analizan en forma sucinta, los conceptos, la serie de dispositivos legales que se ocupan del uso y manejo de los recursos hídricos, la institucionalización en relación con el agua y su evolución en el Perú en el marco de la Gestión Integrada del Agua (GIRH).

Palabras claves: gestión del agua; manejo integrado de recursos hídricos; gestión del agua en Perú; herramientas de gestión del agua.

Recibido: junio 2017

Aceptado: julio 2017

1. Problem statement

Water management has always been at the center of human development attention. All civilizations of the world, fortunately diverse and complex, have had their establishment, growth, peak moments and many times its decline, related to water resources and their management in relation to climate, watersheds and human needs [1].

Over time, intervention modalities in river basins have been different for the treatment of water

resources. The oldest ones have referred to the management of water resources, from navigation and water supply, to flood protection, water quality control, the fight against erosion and the production of energy. This was followed by the interventions that led environmental management, a recent approach that emphasizes environmental conservation and resources. However, the lack of an integrating and interdisciplinary conceptual framework that guides the management of water is deepening inter and intergenerational rivalries, affecting the sustainability of the resource, even in surplus areas in terms of water. Sectoral approaches used as a conceptual framework for the management and administration of water resources have dominated and continue to prevail. This leads

*Autor para correspondencia: Edilberto Guevara eguevara@lamolina.edu.pe

to an uncoordinated and fragmented management and development where the use of the resource is inefficient. The institutions in charge of the management of the resource have acted in general isolated from the users, without connection with the different intervening parties and in competition for this finite resource [2].

Water is a fundamental resource for sustainable development, but in many cases it is not taken into account when it is desired to find effective and lasting solutions to problems related to water resources. In this context, a new form of governance and management paradigm emerges, which is within the concept of Integrated Water Resources Management (IWRM), which has been defined by the Global Water Partnership (GWP) as “a process that promotes the coordinated management and development of water, land and related resources, in order to maximize the resulting social and economic well-being in an equitable manner, without compromising the sustainability of ecosystems” [3, 4, 5, 6, 7, 8, 9].

IWRM challenges conventional and sectoral management systems, with an emphasis on holistic approaches, which promote decision making between different sectors and levels. It also recognizes that “top-down management” focused on supply with little interest in the demand of beneficiaries, as well as the emphasis on technical aspects and conventional sectoral approaches have imposed and impose high economic, social and ecological costs on the society and the environment. It is generally known that the way in which water is managed today is not sustainable from the environmental point of view, nor is it financially and socially.

IWRM is defined as a process of change which aims to transform existing water management, which is why it does not have a starting point as well as one of completion. The global economy and society are dynamic as well as the environment, which is why the different systems that are based on IWRM must be able to respond to changes and be able to adapt to new conditions and/or economic, social, environmental and of human values.

The IWRM is not an end in itself, but a means to achieve 3 strategic objectives

1. Efficiency to achieve greater coverage of the demand for water resources.
2. Equity in the water resource disposition among the different socioeconomic groups.
3. Environmental sustainability, to protect water resources and related ecosystems.

The Dublin principles as a guide: the general principles, approaches and relevant guidelines of the IWRM are numerous and each of them has its appropriate area of application. Of these principles, those of Dublin are particularly useful. They have been carefully formulated through a consultation process of the GWP.

The Dublin principles contributed significantly to the recommendations of Agenda 21, Chapter 18, on freshwater resources, adopted in 1992 at the United Nations Conference on Environment and Development (UNCED), held in Rio de Janeiro, Brazil. Since then, these principles, referred to as the Dublin-Rio principles, have found universal support through the international community as the guiding principles of IWRM. More recently they have been re-declared and developed in 1998 at the major international water conferences in Harare and Paris and by the Commission for Sustainable Development (SDC) at the “Rio + 5” meeting in 1998. The four principles of Dublin are [2, 7, 9, 10, 11]

1. Fresh water is a vulnerable and finite resource, essential to sustain life, development and the environment.
2. The development and management of water should be based on a participatory approach, involving users, planners and policy makers at all levels.
3. Women play a central role in the provision, management and protection of water.
4. Water has an economic value in all its competitive uses and should be recognized as an economic good.

In Peru, the management of water resources confronts different realities in its three main geographical zones: the coast, the highlands and the Amazon. The coast more developed and densely populated but dry, has large hydraulic

infrastructures and a viable institutional framework for IWRM. The mountain range, with abundant water resources, has little infrastructure, a large part of its population is poor, and its institutions for water management are generally traditional in nature. The Peruvian Amazon, with the lowest density of population and infrastructure in the country, covers half of the Peruvian territory and gives birth to the Amazon River.

At present, the Government of Peru is carrying out an important transformation in the management of its water resources, previously focused on the development of irrigation in the coastal zone. The objective is an integrated management of water resources at the basin level that includes the entire country, not just the coast. Despite important advances, such as the creation of a National Water Authority (ANA), several challenges remain, such as

1. Increased water stress in the coastal region
2. Lack of institutional capacity
3. Deterioration of water quality
4. Poor efficiency, especially in the irrigation sector
5. Inadequate supply of drinking water and sanitation

2. Objective

The objective of the work is to carry out a summary analysis and present in a succinct and concrete way the concepts, the series of legal devices that deal with the use and management of water resources, the institutionalization in relation to water and its evolution in Peru in the framework of the Integrated Water Resources Management (IWRM), what has included, procedures, coordination mechanisms and the role they play in the use, exploitation and conservation of natural resources and protection of the environment.

3. Methodology

For the development of the work, a general referential research has been carried out on the background and theoretical framework of main

criteria that comprise the integrated management of water resources and more specifically on existing management tools and to be developed in the country.

4. Results

4.1. Background

Water is vital for survival, health and human dignity and is a fundamental resource for development. The world's freshwater resources are under increasing pressure and many people still lack an adequate water supply to meet their basic needs. Population growth, increased economic activity and living standards have led to an increase in competition and conflicts related to limited freshwater resources. Below are some reasons why many people argue that the world faces an imminent water crisis

1. The water resource is under increasing pressure due to population increase, economic activity and increased competition among users;
2. Water intakes have increased twice as fast as population growth and currently one third of the world's population lives in countries experiencing medium to high water stress;
3. Pollution is further increasing water scarcity, by reducing the utility of water in “downstream” places,
4. Limitations in water management, a focus on the development of new sources instead of promoting better management of existing ones and sectorial proposals of a hierarchical nature for the administration of the resource, have resulted in the development and management of water resources, lacking coordination.
5. Greater development means a greater impact on the environment.
6. Current concerns regarding climate variability and change require optimized water resource management to cope with more intense floods and droughts.

During the twentieth century, the Peruvian government has been the highest authority in the management of water resources and the main

investor in hydraulic infrastructure. Hydraulic development has traditionally focused on the construction of infrastructure such as dams and irrigation canals to cope with the growing water demand of a population and an expanding agricultural sector, especially on the coast. For example, in the 1950s and 1960s, the San Lorenzo and Tinajones dams, the largest in Peru, were built in the northern region. In the 1970s, the development of hydraulic infrastructure on the coast continued. In the zones of the highlands and the Amazon, water resources have traditionally been managed through informal associations of users, the irrigation committees, which control the rudimentary hydraulic infrastructures. The Peruvian government has had little presence in the area, as well as state or international investments.

Thus, at the beginning of the 21st century, Peru has a coastal zone with numerous hydraulic infrastructure controlled by structured and developed User Boards. In the highlands and the Amazon, with lands of scattered crops and less than one hectare, the Users' Meetings are still a process in the process of being implemented. Irrigation committees continue to be an important actor in the management of water resources [12, 13].

This way of managing has resulted in the region at the foot of the mountains and the Peruvian coast being prone to flooding and devastating mudslides, mainly due to heavy rainfall in the degraded high basins; while the south of the country is prone to drought. In addition to natural causes such as ENSO (El Niño–South Oscillation), the effects of droughts and floods have been aggravated by human intervention, including soil erosion caused by inefficient practices of cultivation and grazing, deforestation and land use practices.

El Niño hits Peru in cadences of about three to eight years and consists of strong winds and rains that cause floods and devastating mud avalanches. In 1997–1998, the costs for damages reached US\$ 2 billion. Droughts seriously affect the south coast, generating losses in agriculture as limitations in drinking water consumption.

Laws and preventive measures (related to zoning, deforestation, etc.) do not apply and there is no reliable early warning system network. As a

consequence, the negative impacts due to droughts and floods in the different regions increase, with an increasing impact on the Peruvian economy.

The impacts related to climate change in Peru include the deterioration of watersheds and the depletion of water recharge capacity, the greater probability of sudden fires and biotic changes in the levels and composition of ecosystems, which affect their water storage capacity. The effects and consequences may be different in the initial and final stages of the retreat of the glaciers and may differ depending on the location.

High mountain ecosystems, including páramos (unique wetlands in the northern Andes) and snowy terrain, are among the environments most sensitive to climate change. These ecosystems have a unique endemic flora and provide numerous goods and services of great value to the environment. Although considerable progress has been made in understanding the retreat of glaciers and its consequences, the effects of climate change can have a negative impact on the functioning of the páramos. Between 1970 and 2006, Peru and Bolivia have lost a third of their glaciers.

Data collected recently suggest that climate impacts have already altered the circulation patterns responsible for the production and movement of water vapor in the region. These shocking changes have probably contributed to the disappearance of bodies of water at high altitude

4.2. *Legal framework*

The legislation provides the basis for government intervention and action and establishes the context and framework for the action of nongovernmental entities; therefore, it is an important element for an appropriate socio-economic and social environment. Specific water laws have been stipulated in a considerable number of countries, but some still lack a water resources law.

Peru has gone through five major stages in the water legislation [2, 11, 14, 15]

1. Spanish Law since 1786
2. Water Code since 1902
3. General Water Law of the year 1968
4. Legislative Decree 653 of the year 1990

5. Water Resources Law of 2009

The Peruvian law No. 29338 (Water Resources Law) is the one that has the approach of the IWRM (Integrated Water Resources Management), the framework that regulates water resources in accordance with the following principles [16, 17]

1. Water assessment and integrated management
2. Priority of access to water
3. Participation of the population and culture
4. Legal security respect for the water of the communities
5. Principle of sustainability
6. Decentralization of public water management
7. Precautionary nature
8. Efficiency
9. Management by watersheds, and
10. Legal protection.

The law creates the National Water Resources Management System (NWRMS), whose governing body is the National Water Authority (Autoridad Nacional del Agua, ANA). It establishes the uses that can be given to water resources, rights and licenses for use, water protection, economic regimes, use planning, hydraulic infrastructure, regulations on groundwater, Amazonian waters, natural phenomena, and finally, infractions and penalties. The regulations of the law specify the Environmental Quality Standards for Water.

From 1993 to 2003, the Peruvian government approved a series of sectoral laws to regulate the use of water through different actions, such as the Law for the Promotion of Investments in the Agrarian Sector (Legislative Decree 653), Law for the Promotion of Investments in the Fishing Sector (DL 750), General Hydrocarbons Law (DL 26221), General Mining Law (DS 014-92-EM), Electricity Concessions Law (DL 25844) and General Tourism Law (Law No. 24027). In the last decade, there has been a profound change in the Peruvian institutional framework with the approval of the Decentralization Law, the Organic Law of Regional Governments and the Organic Law of Municipalities. In 2003, with the official creation of regional governments, the national government began to transfer power to the

departments, which does not include competencies in water management, only participation.

The National Strategy for the Integrated Management of Water Resources recognizes the multisectoral nature of water and implements the appropriate institutional and legal framework for integrated management of water resources.

4.3. Institutional Organization

Til 2008 the institutional framework for the management of water resources at the national level is fragmented. The Ministry of Agriculture (MINAGRI) was the main body responsible for managing water resources at the national level. Other ministries had sectoral interferences on the management of water resources: Agriculture for irrigation, Housing, Construction and Sanitation for the use of water for domestic consumption, Health for water quality, Trade and Tourism for thermal and mineral waters, Energy and Mines for hydroelectric power and the operation of mines, the Ministry of the Environment for policies on the environment, energy and water tariffs and regulation of services, and Defense for hydroclimatic information. In 2008, the Peruvian government created the National Water Authority (ANA), a body attached to MINAGRI, absorbing the Water Resources Intendancy, which was previously under the control of INRENA (National Institute of Natural Resources). The ANA is responsible for the design and implementation at national level of policies on sustainable water resources and irrigation.

Regional governments are not responsible for water management. This represents a challenge for the Integrated Management of Water Resources (IWRM) at the basin level, since the administrative limits of the regions do not necessarily coincide with those of the river basins. An additional obstacle is that regional governments are young – created in 2003– and lack the technical capacity and human resources necessary to carry out integrated water resources management.

The Technical Administration of the Irrigation District (ATDR) became the Local Water Authority (ALA); the latter is now the authority in charge of

managing water, guaranteeing rights over water and distributing water among different users.

Finally, other stakeholders that were involved in the management of water resources at the local level were: (i) four Autonomous Hydrographic Basin Authorities (Chira-Piura-Chancay-Lambayeque, Jequetepeque, Santa and Chillón-Rimac-Lurín); (ii) eight local offices of the General Directorate of Environmental Health (DIGESA) in charge of water quality; and (iii) the Water Users' Boards, were private associations, with public financing, responsible for the operation and maintenance of minor irrigation infrastructures [12].

4.4. Government Strategy

In 2004, the Peruvian government proposed a National Strategy for the Management of Water Resources, with the main objectives of

1. Institutional renovation and a defined legal framework to include: (i) a resolution of the disparities between the General Water Law and the Law of Natural Resources and transfer the operation of the irrigation systems to the Water Basin Authorities, promote participation in the decision-making processes; and (ii) institutional development strategies that formalize water and pollution rights and establish a comprehensive rate system to cover the operation and maintenance activities.
2. Integrated management of water resources, focusing both on water supply and demand, considering environmental, social and economic factors. It includes a plan to modernize Peru's existing irrigation infrastructure with the aim of raising the overall efficiency of irrigation systems from 35 % to 45 or 50 %.
3. Higher quality of water resources with an initiative to conserve water resources upstream to reduce sedimentation; creates a pollution control authority to monitor agricultural and industrial discharges, promotes water recycling and improves coastal drainage and salinity problems.
4. Disaster management and mitigation that includes consistent monitoring of the climate,

reforestation in strategic upstream areas, channeling of water and improvement of urban planning to avoid settlements in high-risk areas.

5. Water education and culture and educational programs for students from pre-school to university level on the economic, social and environmental value of water resources.
6. Information system on water resources that strengthen the networks that control the quality and quantity of water, making accurate information available to the public.

4.5. Theoretical framework

Principles of Dublin. The Integrated Management of Water Resources is a process that promotes the coordinated management and development of water, land and related resources, in order to maximize the resulting social and economic well-being in an equitable manner without compromising the sustainability of vital ecosystems. The IWRM uses the Principles adopted as guiding principles in the Conference on Water and the Environment, held in Dublin, in 1992. Those Principles are as follows [2, 10, 12]

Principle No. 1: Water is a finite and vulnerable resource, essential for the support of life, development and the environment. Given that, water is fundamental for sustaining life, its management demands a holistic approach, with an adequate balance between social and economic development and the protection of ecosystems. Effective management of water resources requires the articulation of the different uses of land and water through large catchments and / or aquifers.

Principle No. 2: The development of water resources and their management should be based on a participatory approach, involving all users, planners and policymakers at all levels. A participatory approach involves raising awareness about the importance of water among policymakers and the general public. This means that decisions must be made at the lowest appropriate level, involving extensive consultation with all users in the planning and implementation of water-related projects.

Principle No. 3: Women play a central role

in the provision, management and protection of water. The fundamental role of women as users of water and custodians of the environment has rarely been taken into account in the institutional arrangements for the development and management of water resources. Accepting and implementing this principle implies policies. Water management in global environmental policy 19 addressed to gender needs in relation to their participation at all levels in water-related programs, including decision-making.

Principle No. 4: Water has an economic value in all its uses and must be recognized as an economic good. Within this principle, it is vital to recognize in the first instance the basic right of all human beings to have access to clean and healthy waters at an accessible price. The mistakes of the past in failing to recognize the economic value of the water led to the waste and environmentally unsustainable uses of the resource. Managing water as an economic good is an important way to achieve its efficient and equitable use and to promote its protection and conservation.

Defining the Watersheds. The hydrographic basin is defined as a territorial unit in which the water that precipitates from the atmosphere is gathered and drained by a common hydrographic system that flows all the same river, lake, or sea. In this area live human beings, animals and plants, all of them related to each other. It is also defined as a physiographic unit conformed by the meeting of a system of courses of rivers of water defined by relief [18]. Peru has a territory that covers only 0.87 % of the continental surface of the planet but which accounts for almost 5 % of its freshwater. This undoubtedly constitutes an advantage in terms of the resource, but it is not when it is analyzed in terms of its spatial and temporal distribution. Indeed, the reality shows that the surface waters of Peru are distributed unevenly throughout the year and across the national geography. The relief of Peru is like a large bowl that allows any drop of water that drains its territory to do so only in three possible directions: towards the Pacific Ocean, towards the Atlantic Ocean or toward Lake Titicaca. This characteristic is the reason for

dividing the country into three large hydrographic groups or watersheds: The Pacific, the Amazon and the Titicaca; each of them with different characteristics. The summits of the western chain of the Andes are those that determine if the discharges of the waters of the rivers are made either to the Pacific Ocean or to the Atlantic Ocean. The line of summits that separates the flow direction of the waters is called the continental divide. In the south of the country, the Andes open up in the manner of two large arms that force courses to deliver their waters in the lake of Titicaca, this is called a closed basin or endorheic basin, hence the name of the basin of Titicaca [1, 10]

Surface and underground water resources. Peru has a large amount of water resources, with 106 basins and a per capita availability of 68,321 cubic meters (m^3) in 2006, well above the average for South America, 45,399 m^3 . According to FAO estimates, the long-term annual rainfall average is 1,738 (m^3). There is considerable seasonal variability in river runoff, with two thirds occurring between January and April. In addition, Peru concentrates 71 % of the tropical glaciers of the Central Andes. As already mentioned, the Andes divide Peru into three natural drainage basins: the Pacific basin with 279,689 km^2 , the Atlantic basin with 956,751 km^2 , and the Lake Titicaca basin with 48,775 km^2). Within the framework of hydrological diversity, one of the principles of the Law of Water Resources considers water management by Watersheds [12].

Storage capacity and infrastructure. In 1980, INRENA established an inventory of Peru's water storage capacity, including lakes and dams. Peru has 12,201 lakes, of which 3,896 are in the Pacific basin, 7,441 in the Atlantic basin, and 841 in the Titicaca basin and 23 in the closed Huarmicocha basin. Of the inventoried values, the INRENA established that 186 lakes are used with a total capacity of 3 km^3 and 342 lakes with a total capacity of 3.9 km^3 are without any intervention. Currently, the largest number of lakes used are in the Pacific basin, with 105 lakes and a total capacity of 1.3 km^3 , followed by the Atlantic basin with 76 lakes and a capacity of 1.6 km^3 .

Peru has 23 reservoirs with a total capacity of 1.9 km³ and has sufficient geographic conditions to build some 238 reservoirs with a total capacity of 44 km³. The Pacific basin has 21 reservoirs with a total capacity of 1.8 km³; the Atlantic basin has 2 reservoirs with a capacity of 0.06 km³. The largest reservoirs are Poechos with a capacity of 1 km³ Tinajones with 0.32 km³, San Lorenzo with 0.25 km³ and El Fraile with 0.20 km³; all in the coastal region.

4.6. Management of water resources by sector

Drinking water and sanitation. Domestic consumption in Peru represents 7 % of water extraction. The water and sanitation sector in Peru has made considerable progress over the past two decades, including increasing access to water from 30 % to 62 % between 1980 and 2004. Access to sanitation also increased from 9 % to 30 % from 1985 to 2004. Progress has also been made in the disinfection of drinking water and wastewater treatment. Despite these advances, water and sanitation services in Peru are characterized by low coverage and quality of service, as well as by the precarious financial situation of their suppliers. This, together with the lack of incentives to improve the management of the sector, has reduced investments to a minimum level, which is affecting the sustainability of the sector (see Drinking water and sanitation).

Irrigation and drainage. Approximately 80 % of the water extraction in Peru is used for irrigation; however, most of the water (65 %) is lost due to the dependence on inefficient irrigation systems.

Water quality. The gradual decrease in water quality in Peru is due to untreated discharges, especially from the illegal mining industry (small-scale mining) and environmental liabilities, but also from municipalities and agriculture. Of the 53 rivers in the coastal zone, 16 are partially contaminated with lead, manganese and iron (mainly by illegal mining) and threaten irrigation and increase the cost of drinking water supply to coastal cities. Specifically, MINAGRI considers the quality of the Moche, Santa, Mantaro, Chillón, Rimac, Tambo and Chili rivers to be alarming.

In addition, the 18 mining facilities located along the Mantaro River discharge untreated water into the main stream, threatening the water supply of the country's largest hydroelectric plant. Inefficient irrigation systems have generated problems of salinization and drainage in 300 thousand hectares of coastal valleys (with a total irrigated area of 736,000 hectares), endangering the productivity of these lands. Drainage problems also affect 150,000 ha of the Amazon region. In the altiplano and Amazon zones, excessive deforestation caused by nomadic agricultural practices is causing erosion and soil degradation. In the mountains, between 55 and 60 % of the area is affected by this problem which increases the transport of substances downstream [12].

4.7. How to implement iwrm – experiences

The proper legal and social environment. It is essential to guarantee the rights and assets of all stakeholders (individuals, organizations and companies in the public and private sector). Local or provincial policies and legislation constitute the “rules of the game” [19].

The Role of the Government. The government as a facilitator needs to create the conditions under which all the actors that have interests on particular issues can get involved and negotiate between them to reach acceptable solutions to water problems. The government as regulator and controller should play a more limited role as a service provider and concentrate more on the regulation and control of the provision of specific services Governments and water markets. All markets require the support of governments in the provision of an economic, social and legal environment, where they can carry out transactions.

Water Legislation. The legislation provides the basis for government intervention and action and establishes the context and framework for the action of nongovernmental entities; therefore, it is an important element for an appropriate socio-economic and social environment. The idea is to incorporate consultation and seek consensus with all the relevant ministerial lines and in all the ranks of the government, as well as with other

interested parties located in different places of a basin [20, 21].

Financing Structures and Allocating Funds for Investment for Water Resources Infrastructure [22, 23, 24].

- Private financing assumes the security of the investment: It is the government's responsibility to procure and facilitate the global investments necessary to develop and maintain an adequate water infrastructure.
- Growing competition for scarce resources for development assistance: The achievement of these challenges presents increasing difficulties for governments of developing countries. These problems favor the growing development of private sector financing, but this financing can only be carried out if the legislation provides security for the investment. Conditions for the performance of the private sector: While private sector companies may be more sensitive to productivity gains and consumer satisfaction, since their profits and survival in the business depend essentially on these factors, there is no guarantee that the Privatization will currently produce improvements in the desired performance. Simply converting a monopoly of the public sector into a private one does not provide any incentive for the company to operate efficiently, make the appropriate investments or respond to the demands of consumers. Thus, privatization itself can do little to improve the performance of the sector if governments are unwilling or unable to address such fundamental problems as the provision of public and meritorious goods, reduction of over-employment, restriction of inadequate political interventions and adequacy in water prices. The conditions under which the private sector will operate must be clearly explained in bids, contracts and regulatory procedures. Among these there is a clear agreement on the importance of conditions such as: the quality of the services provided, the price policy, especially the

subsidies or cross subsidies for the poor, and the varied range of decisions that must be made at the level of the public authority and those that rest only in the private company.

- Charging the total cost of water: In principle, charging for the total cost of water ensures the long-term viability of the water supply service and effectively restricts the demand for water, thereby ensuring the sustainability of the resource. These sustainability considerations require that over time, the direct and indirect beneficiaries of water use should, as far as possible, face prices that reflect the total cost of water.
- Sources of public investment: There are important water characteristics that justify the role for public investment in water-related infrastructure. For example, the control of floods and diseases that come from water are public goods, which can not be easily collected on the basis of benefit and individual use. Additionally, the large size and extremely long time horizons of some investments, combined with the risk inherent in political interference, can reduce incentives for private investment. To ensure adequate financing of the water sector, actions are needed to improve the donor-recipient dialogue on the mobilization of financial resources and their allocation to the development of water resources. The international community and governments (as well as donors and recipients) should be encouraged to maintain and increase assistance to the water resource sector, with the objective of solving specific problems. There is an added value in improving communication and cooperation between different financial groups (public, private, national, bilateral and international), introducing measures to mobilize the enormous untapped financial resources of the community and the provision of credit mechanisms that accelerate the independent efforts of individuals.

Cooperation in the International River Basins.

- Vulnerability of downstream riparian: Nearly half of the total world land rests between river basins covering parts of territories between two or more countries. Riparian downstream users are especially vulnerable since the source of the water they depend on is not in their national territory. This issue has created and still creates substantial political tensions and conflicts, throughout the world, at the regional level.
- Although there are substantive principles in international water law, such as equitable utilization and the prohibition of significant harm, there are procedural restrictions for its application on application because of the non-obligation for countries to resort to a third party to resolve the conflict, unless an agreement is reached on a solution procedure to a specific problem. The Helsinki rules, the International Law Commission and the UN Convention on the Use and Protection of Non-Navigational Waters are international instruments designed to facilitate collaboration. There are protocols developed at regional levels, such as the Protocol on Shared Water Courses Systems in the South African Development Community Region (CDSA). At the river basin level, (including shared lakes and groundwater aquifers) a large number of commissions and agreements have been established. Common to these agreements is the wide gap between rhetoric and action, not only at the political level in terms of the willingness to cooperate, but also at the practical level of establishing the appropriate data, information bases and analytical tools necessary for meaningful collaboration [19]. The Coastal States should cooperate on transboundary water resources, seeking negotiated agreements with respect to all the interests of the coastal countries, based on equitable and reasonable water uses. The international community and water-related organizations could act as catalysts and mediators to reach such negotiated agreements.

Institutional roles. Institutional development is critical for the formulation and implementation of IWRM policies and programs. Demarcations of faulty institutional responsibility among actors, inadequate coordination mechanisms, gaps or jurisdictional overlaps and failures to coordinate responsibilities, authorities and capacities for action are all major sources of difficulties in implementing IWRM. The agencies involved in the management of water resources must be considered in their varied geographical scenarios, including the political structure of the country, the unity of the resource in a basin or aquifer and the existence and capacities of community organizations [22].

Roles and Functions of Organizations at different levels.

1. Organizations at the national level: the establishment of a principal organ at the national level may be desirable for the realization of IWRM. It should at least be responsible for development and coordination policies and strategies and national planning regarding water resources. Preferably, it should be independent of the main water users and should report to a higher level government agency. National organizations can also have a role of accumulation and dissemination of information and in some conditions they can act to regulate and monitor the performance of lower level organizations [24].
2. State/provincial/regional management level: in many countries water is managed at the State/provincial/regional/level and not at the national level. Closer to the resource and service users, this level of government should consider issues such as water allocation and waste discharge permits, water collection, application of conditions and standards and permits, monitoring and evaluation of water resources, conflict resolution and general questions about land use planning. Some countries have grouped municipalities, industries and other water users into organizations with a special purpose to implement adequate measures for water management. These types of organizations may have regulatory

functions to ensure that local service providers are effectively fulfilling their tasks.

3. Elements for the success of a basin organization: depending on current conditions and priorities, basin organizations (or lakes or aquifers basin) can vary between being executive bodies with mandates for the allocation of water rights and revenue collection, to be purely advisory and advisory bodies for the current executive and administrative bodies.
4. The participation of civil society and the community: these groups should be encouraged to participate in the operational management of water resources. For example, irrigation schemes can be transferred with appropriate regulations from governments to farmers' associations, and community-based organizations can take responsibility for the operation and maintenance of local water systems. In this way, there is a greater possibility of establishing a sense of ownership, which is often a precondition for improvements and a more sustainable management of assets and resources. As previously mentioned, there is a possibility for public and private associations and private operators, including communities and NGOs, to play a role in the management of water resources. The exact role of participation of each of these actors needs to be evaluated in light of local economic, social and political circumstances.

Developing institutional capacity. Developing an institutional capacity is a means to improve performance. In the context of IWRM, capacity development is the sum of efforts to nurture, increase and utilize the capacities of people and institutions at all levels, local, national, regional and international, so that they can progress in compliance with the objective. At the basic conceptual level, developing capacity involves empowering and equipping people and organizations with the appropriate tools and sustainable resources to solve their problems, as opposed to attempts to solve problems directly from a higher level of government.

Instruments for Integrated Water Resources Management. The management tools for the IWRM are the tools and methods that allow and help decision makers to carry out rational and informed choices between alternative actions. These elections should be based on agreed policies, available resources, environmental impacts and precision of economic and social consequences. A wide range of quantitative and qualitative methods are being offered by systems analysis, operational research and modern management theories.

Evaluation of water resources: availability and demand.

1. The management of water resources requires an understanding of the nature and extent of the problem in question: How can all the relevant problems of water resources be identified? how can we ensure that we can acquire useful information that allows us to identify and address current and future problems and solutions about water resources? As a basis for water management, it is useful to carry out an assessment of water resources to acquire such information.
2. The need for a knowledge base of water resources: in many countries the available information on water resources is scarce, fragmented, outdated or otherwise inadequate for management purposes. It is not possible to evaluate the resource or elaborate a quality-quantity balance demand, without adequate access to scientific information regarding the hydrological cycle and the associated ecosystems. Thus, the development of a knowledge base of water resources is a precondition for effective water management. Take the stock of the resource and establish the natural limits of management.
3. Objective of the evaluation of water resources: the concept of evaluating water resources is interpreted to imply a holistic view of the situation of water resources and their interaction with the use of society in a country or region. The evaluation should include the availability of water in time and space, both in quality and quantity,

superficial and underground, and contrast this availability with the demands regarding the resource. In this regard, there is a clear need for measures that compare the efficiency and intensity of different uses (eg product per drop). In the initial stage, the evaluation should preferably be based, as far as possible, on existing knowledge and information to avoid any unnecessary delay in the process of implementing improvements in administration.

4. Environmental Impact Assessment (EIA): the EIA plays a central role in acquiring information on the social and environmental implications of development programs and projects including the implications for water resources, identifying the necessary measures to protect the resource and related ecosystems and then ensuring that these measures are implemented. The IWRM approach involves an assessment of the impact of sectoral development on water resources and that such assessments are also considered in the designs, and priorities of development projects. The EIA is concerned not only about the impacts on the natural environment, but also about the effects on the social environment. Therefore, the EIA touches the center of the need for a cross-sectoral integration involving project managers, water managers, decision makers and the public and provides a mechanism or tool to achieve it.

Information and communication systems.

1. The principle of the participation of stakeholders in the management of water resources requires a serious effort to raise awareness among politicians, decision makers in the water sector, professionals, interest groups and the general public. In any attempt to attract the attention and support of water management of these groups, success will depend on communication mechanisms and the quality and relevance of the information available. Communication and information systems should consider the question of opportunity costs and transactions between

alternative water uses and projects, on the one hand, and other social investments on the other.

2. The information needs for the involvement of the interested parties in order to stimulate the participation of stakeholders in the management of water resources and for the participation process to be effective, the availability of timely and relevant information for all interested parties is an essential precondition. Therefore, official reports and inventories of water sources and supplies, records and up-to-date records of water and sewage uses, water rights and their beneficiaries, with their respective water allocations, should be available to the public. In addition, the results of the standards and performance evaluations of service providers should be publicly available, as this contributes to having transparent and competitive water services.

Water allocation and conflict resolution. To efficiently and effectively allocate water among competing users, the following issues should be considered

1. When markets do not fully incorporate the value of water, other mechanisms must be used to allocate water to higher value uses and users;
2. Market mechanisms (transaction systems and / or prices over total costs through valuation) can be improved in conjunction with appropriate regulatory systems; y
3. Conflict resolution mechanisms can be used to facilitate the shared use of water among competing users, such as stakeholders upstream, downstream, in the same course.
4. Assignment by market-based instruments: normal goods and services that are traded in perfectly functioning markets are assigned to their highest use value. In the case of water, due to the intrinsic attributes of the resource and the way in which it has been historically managed, not all water values (including social and environmental values) are or can be reflected in market prices. Thus,

to complement and correct the failures in the market valuation process, measures based on total costs are needed to improve valuation processes and the corresponding markets.

5. Conflict management techniques: a wide range of conflict management techniques, which involve building consensus or preventing and resolving the conflict, are available to assist those interested in their negotiations.

4.8. Regulatory instruments

Three groups of regulatory instruments: to establish appropriate management procedures and structures, water authorities have a multitude of regulatory instruments. These fall into three large groups: direct controls, economic instruments and stimulated self regulation.

Direct control executive regulations. There is a need for handling instructions and regulations that interpret and detail water legislation. If one is dependent on appropriate laws, which contain the basic substantive principles and the authorization for the delegation of authority and the disclosure of regulations, the usefulness of the executive regulations lies in the fact that they, contrary to the laws, can be amended with notifications quickly disclosed, responding to changes in environmental, economic and social circumstances:

Standards and guidelines: these instruments have been widely applied to:

1. Control the amount of water withdrawn from natural water systems by users in defined periods of time;
2. Control the discharge of waste products in the water courses (controls can be placed on the quantity, quality, time and location of the discharges);
3. Require the contracting of specific technologies (technology standards) to both reduce water use and waste loads; and
4. Specify product standards, water supply for specific users and for goods that are potential contaminants (water efficiency standards)

Economic instruments. The use of economic instruments is increasing, but it is far from reaching its potential. Until now, most governments have mainly had direct regulation in the management of water resources. However, economic tools can offer several advantages, such as providing incentives to change behavior, increasing income to help finance the necessary investments, establishing user priorities and achieving management objectives at the lowest possible global cost for the society. The prerequisites for a successful application of most economic tools are appropriate standards, effective administrations, monitoring, application and control and compliance capabilities, institutional coordination and economic stability.

After designing the appropriate economic instruments, it is required simultaneous considerations of efficiency, environmental sustainability, equity and other social concerns, as well as a complementary regulatory and institutional framework. Some notable examples of economic instruments include water prices, tariffs and subsidies, concessions and concession structure, water markets and taxes. There is fragmented, but suggestive evidence that breeding policies can have large impacts and at least 20-30 % of the water used for domestic use and industries can be saved by applying appropriate policy instruments. Experience shows that higher water prices and pollution charges result in a “win-win” situation of water conservation and reduction of its use.

Charge for waste discharges into the water: According to the “polluter pays” principle, effluent rates may be required for discharges of waste into the water bodies; these should be established to reflect both the cost of environmental externalities and those associated with the treatment of contaminated wastewater or receiving water.

Water markets as an economic regulation are widely used in the American West area. The availability of water supply and water rights are quantified and recorded. Water rights are granted under conditions of cash and beneficial use. The transfers are supervised and monitored by regulatory institutions. These markets have been active. Other countries have implemented water markets without the requirements of beneficial and

effective use. The supervision of governments is minimal. These markets have not been active. The lesson learned is that markets that operate under adequate government regulation, under principles of beneficial and effective use, and prevention of harm to third parties and the environment, have promoted efficient and equitable water reassignment [21, 25].

Taxes: The collection of taxes on products or taxes that harm the environment can be a powerful tool to affect behavior and are especially apt where users have an alternative production or alternatives to waste disposal that are less harmful to the environment. This tool can be applied to products that involve a high consumption of water and products that contribute to water contamination. For non-point pollution problems, especially those related to the use of agrochemicals, this option has turned out to be the most useful tool, since in this case, direct control of the discharge or treatment options is not feasible. Therefore, the reduction of pollution is achieved through the lower use of agrochemicals resulting from the higher prices of products. However, any adverse effect on food production resulting from the higher prices of fertilizers and pesticides should be considered.

Encouraging self-regulation. Transparency of information not only imposes incentives on water service providers to improve their performance (tables of main standards), but also allows civil society and government agencies to judge and press for performance improvements. In recent years, the high costs of controlling and controlling regulation have stimulated the development of “self-regulatory” mechanisms, supported by appropriate performance monitoring procedures. For example, professional organizations can produce better practical guides or governments can introduce “quality” comparison schemes; such schemes are now quite common in areas of product safety and the environment and can also be useful for water sector instruments.

Technology.

1. Technological advances towards sustainability: When evaluating the range of available management tools, the role and field of technological advances should be carefully considered as a factor that can help achieve the sustainable management of water resources. There is a field of technological progress both in the refinement of technology, through the water sector itself, and in those other productive sectors that critically affect the supply and demand of water services. Traditional technologies such as harvesting with rainwater can also play a key role.
2. Research and development in technology: Technological innovation and adaptation are key components of many efforts in the water sector. At the conceptual level, forecast models and systems are being improved, particularly as a result of advances in computer technology, which allows better predictions about temporal and spatial variations in the quantity and quality of available water resources. This can help reduce uncertainty and risk in the use and management of resources. Water-saving technologies in irrigation (drip irrigation), improved and cost-effective methods for the treatment and reuse of wastewater in industries and household systems, water recharge technologies, human waste disposal systems require no or extremely small amounts of water and economic, but effective water purification systems for villages, are other examples of promising innovations which can promote the future sustainability of water resources. However, achieving such technological advances requires appropriate incentives and the willingness of the richer countries, particularly the industrialized nations, to invest in research on a long-term return.
3. Choice of technology: In addition to the promising prospects mentioned above, a warning word on the technological issue is justified. Many projects in the water sector have failed in developing countries due to discretion in the application of technologies that have served in industrialized countries but in different physical, social and economic

environments. It must be taken into account that technological choices must consider the specific conditions prevailing at the place of use. This means that the most advanced and modern technology is not necessarily the optimal decision in all cases. If the system can not be sustained due to lack of answers, lack of skilled labor or economic resources for the operation, this is not the most appropriate solution. Moreover, high-cost technologies can prevent the involvement of the community and families in water management.

4.9. *Some experiences cases [5, 6]*

In Bogor, Indonesia, as a result of a tariff increase of 200–300 % for different groups of consumers in 1990, a family with a monthly consumption of 30 m³ had to pay \$ 0.42 for one cubic meter of water (exceeding the consumption of 20 m³) instead of \$ 0.15. This produced significant reductions, such as 30 %, in the use of water for the affected groups.

In Sao Paulo, Brazil, in 1980, three industrial plants were required to pay effluent charges to the effluent treatment plant. The companies decided to economize through changes in production processes, substitution of supplies, use of more efficient equipment and the use of a mechanical washing machine instead of a washing machine by hand. In the pharmaceutical industry, the volume of effluents (and water consumption) per unit of product in 1982 was 49 % less than in 1980. In the food processing industry, water consumption and effluents decreased by 42 % per unit of product compared to 1980. The steps taken to achieve these reductions were changes in the processes of washing and recycling of effluents and modifications in the cleaning processes. In the dairy industry, the tributaries and the use of water were reduced by 62 % through improvements in the washing process and the expansion of the installation of a treatment plant.

A case of IWRM from Tamil Nadu, India: Several components of IWRM are being used in the Vaigai basin of Tamil Nadu in South India, including

- The participation of stakeholders ranging from government agencies to washerwomen.

- A decision support system that quantifies implications and transactions of alternative water allocations and policy decisions; and political and administrative support from the government and other agencies.

The problems in the Vaigai river basin, a fairly short water basin, include

- Conflicts among stakeholders due to the multiple uses of water.
- The involvement of multiple institutions in various aspects of planning (often overlapping) and watershed management.
- Conflicts upstream, downstream; and trans-sectoral conflicts that result from rapid urbanization, while the demand for traditional water remains.

International cooperation: Ten countries share the Nile basin. Nine of these ten countries have agreed to form a regional association known as the Nile Basin Initiative (NBI), built on previous cooperation efforts. Launched in February 1999, the NBI seeks to take advantage of the great potential of the Nile through the management and sustainable development of its waters for mutual benefit. The shared vision of the NBI is “to achieve sustainable socioeconomic development through equitable utilization and to benefit from the common water resources of the Nile Basin”. The NBI is governed by a council of ministers responsible for water affairs in the countries of the Nile Basin. The council is supported by the TAC (technical advice council) of the Nile and maintains its secretariat in Entebbe, Uganda.

Management of a river basin in France: In December 1964 a law divided the entire territory of France into six Water Agencies, its spatial boundaries follow hydrological divisions. Each Agency is organized as follows

- The staff prepares the program and implements it after its approval (conscience);
- A committee of about sixty representatives of all interested parties approves the program, fees, concessions and loans (the forum).

Each Agency has the following obligations

- Establish water management investment programs for five years.
- Collect payments for each m³ of water extracted from the natural water resource and for each ton of waste discharged into the natural water resource;
- Grant low-interest loans to all actors (cities, industries, etc.) who contribute to the implementation of the five-year program. Expenses and income must be in balance with the five-year program (the budget).

Localized subsidies- The Chilean experience [26]: Chile has been able to implement a well-functioning system of local subsidies on drinking water and sanitation. The success of the system depends on the joint efforts and institutional capacities of the national government, municipalities and water companies. Other countries in Latin America have tried to replicate Chile's very successful experience. However, the available funds did not match the needs of the users, nor did the institutional capacities of the government equalize the monitoring requirements for the implementation and execution of the system. For this reason, some countries such as Argentina have resorted to traditional cross-subsidies, despite the obvious disadvantages of the system. The lesson is that before suggesting so many localized or crossed subsidies, countries and financial institutions should guarantee, not only the economic and financial viability, but also that the institutional structure allows an effective implementation.

In the case of Peru, the Project "modernization of the integrated management of water resources" in selected basins -(PMGRH) was implemented. This project started in 2010 and culminated in 2015, in which the sustainability of the Watershed Councils was evaluated. Currently, the second stage of the PMGRH is on the run. In the years 1998 to 2006, the National Program for the Management of Hydrographic Basins and Soil Conservation, had a Sub-Directorate for Watershed

Management, in which the formation of the Micro-Basin Management Committees was promoted, most of them were not sustainable over time.

5. Conclusions

The Integrated Management of Water Resources is carried out at the basin level. In addition to the government, private companies and community-based organizations should be involved, facilitating the participation of women and economically disadvantaged groups, all stakeholders in the basin should be involved. The Government fulfills a role of facilitator, as regulator and controller. Legislation provides the basis for government intervention and action and establishes the context and framework for action. Downstream populations are especially vulnerable since the source of the water they depend on are not in their territory. In principle, the available water resources can be traded in a market so that the water is assigned to its highest values of use. Although theoretically more efficient, water markets can only work with appropriate institutional arrangements. Specific water laws have been stipulated in a considerable number of countries, but some still lack a water resources law. The private sector has a role to play in many countries to improve the technical and administrative capacities of public service companies and provide the necessary capital investment; however, the investment of private companies will only be carried out if the rates of return on capital are reasonable considering the perceived risk involved. In cases in which greater social concerns restrict the application of total cost in prices, in the short term it may be appropriate to base prices on the total cost of economic recovery or at the minimum on total supply costs. Implicit or explicit subsidies should be identified, with their objectives, and implemented in a transparent manner.

Restrictions and potential for sharing transboundary waters: The enabling environment equivalent to national or local legislation is the international agreement on the principles for managing and sharing transboundary waters; when capacity development is successful, the result is more

effective in individuals and institutions that are better prepared to provide products and services on a sustainable basis; the information available on water resources is scarce, fragmented, outdated or inadequate for management purposes; a key problem is how to include the value of the environment in the provision of water services, including the sustainable provision of the water resource itself. The value of the protection of the catchment area for downstream water users and the value of groundwater recharge areas has not been adequately incorporated by the planning methodologies.

Recommendations

It is necessary to involve the participation of women and economically disadvantaged groups, as well as the participation of private companies.

Integrated Management should be carried out by basin, involving all the stakeholders. The IWRM should consider the implementation of actions to protect the water resources in the upper parts of the watersheds. The IWRM should consider the implementation of actions to plant water in the upper parts of the basins. Incorporate traditional technologies for planting and harvesting water, as well as the recognition of non-traditional organizations for water management.

There is a special need to develop methodologies to assess the benefits of ecological services provided by nature; expand the scope of environmental assessment, relating the experience of economists with the analysis of hydrologists and ecologists; the valuation of the costs and benefits of the ecosystem have not been on the practical water management agenda so far; for this a multidisciplinary research is required.

Acknowledgement

The author thanks and recognize the National Water Authority (ANA) of Peru for the information provided on the country's water resources statistics and management given in internal reports, bulletins and presentations that has been used in the elaboration of this article.

Conflict of Interest: None

6. Referencias

- [1] Ediberto Guevara-Pérez. Planning of applied research in water development projects in peru. *Int. J Hydro.*, 2(3):266–276, 2018.
- [2] Edilberto Guevara. Evolución histórica de la gestión de los recursos hídricos en el Perú. *RIBAGUA – Revista Iberoamericana del Agua*, 2:i–iv, 2016.
- [3] Adolfo Toledo. *El agua entre letras, tiempo y pensamiento: Acercamiento para un diálogo acerca del agua*, volume 191. Ediciones ANA, Lima, Perú, 2011.
- [4] Technical Council Committee, editor. *Integrated Water Resources Management*, volume No. 4 of *TAC background papers*. Global Water Partnership, Stockholm, Sweden, 2000.
- [5] UN-Water. Status report on integrated water resources management and water efficiency plans for CSD 16. Report, Coordinating the UN's work on water and sanitation, UN Commission on Sustainable Development, 2008.
- [6] UN-Water. Roadmapping for advancing integrated water resources management (IWRM) processes. Report, Coordinating the UN's work on water and sanitation, UN Commission on Sustainable Development, 2007.
- [7] Damián Indij and Mario Schreider. *Gestión Integrada de los Recursos Hídricos (GIRG) y su Aprovechamiento para la Agricultura frente al Cambio Climático en la Región Andina*. GIZ GmbH–Deutsche Gesellschaft für Internationale Zusammenarbeit, Bonn, Alemania, 2011. Serie Manuales/Manual No. 1.
- [8] UN-Water. Informe mundial sobre el desarrollo de los recursos hídricos de las Naciones Unidas 2018: Soluciones basadas en la naturaleza para la gestión del agua. Informe, UNESCO, Paris, 2018.
- [9] Pedro Martínez-Santos, Maite M. Aldaya, and M. Ramón Llamas, editors. *Integrated Water Resources Management in the 21st Century. Revisiting the Paradigm*. A Balkema Book. CRC Press, Balkema. Ne, 2014.
- [10] Miguel Solanes y Frenando González-Villarreal, editors. *Los Principios de Dublín Reflejados en una Evaluación Comparativa de Ordenamientos Institucionales y Legales para una Gestión Integrada del Agua*. WWP. TAC background papers No. 3. Global Water Partnership (GWP), Brasilia, Brazil, 2001.
- [11] Edilberto Guevara Pérez. Evolución histórica de la legislación hídrica en el Perú. *Derecho Ambiental. Revista de Derecho Administrativo*, 15:319–334, 2015.
- [12] ANA–Autoridad Nacional del Agua. National water resources plan. Executive summary, ANA–MINAGRI, Lima, Perú, 2015.
- [13] Edilberto Guevara. *El hombre y su ambiente: Contaminación y conservación ambiental*. Dirección General de Medios, Universidad de Carabobo, Valencia, Venezuela, 2003.

- [14] Iván Ortiz. El tribunal nacional de resolución de controversias hídricas de la autoridad nacional del agua del Perú. *Derecho Ambiental. Revista de Derecho Administrativo*, 15:303–317, 2015.
- [15] Iván Ortiz. El tribunal nacional de resolución de controversias hídricas de la autoridad nacional del agua y los conflictos socio ambientales en el Perú. In Patricia Urteaga y Aaron Verona, editors, *Cinco años de la Ley de Recursos Hídricos en el Perú. Segundas Jornadas de Derecho de Aguas*, Lima, Perú, 2014. Departamento Academico de Derecho, CICAJ e INTE PUCP.
- [16] ANA. Compendio de Normas. Normativa, Autoridad Nacional del Agua, Lima, Perú, 2012.
- [17] Laureano Del Castillo Pinto. Ley de recursos hídricos: necesaria pero no suficiente. *Debate Agrario*, 45:91–118, 2011.
- [18] Edilberto Guevara. *Modelos de Administración aplicados al manejo de cuencas hidrográficas*. Dirección General de Medios, Universidad de Carabobo, Valencia, Venezuela, 2004.
- [19] Miguel Solanes. Decentralization of water management: The case of water users' associations. In *14th World Bank Agricultural Symposium, Agriculture in Liberalizing Economies: Changing Roles for Governments*, New York, 1993. World Bank.
- [20] Dante A. Caponera and Marcella Nanni. *Principles of Water Law and Administration*. CRC Press, Países Bajos, 2 edition, 1992.
- [21] Bonnie G Colby, K Crandall, and DB Bush. Water right transactions: Market values and price dispersion. *Water Resources Research*, 29(6):1565–1572, 1993.
- [22] NU CEPAL. Red de cooperación en la gestión integrada de los recursos hídricos para el desarrollo sustentable en América latina y el Caribe. Carta Circular de Recursos Hídricos 44, Comisión Económica para América Latina y el Caribe, 2016.
- [23] OEDCE. Stakeholder engagement for inclusive water governance. *Oecd studies on water*, The Organisation for Economic Co-operation and Development, Paris, 2015.
- [24] OEDCE. Water governance in oecd. a multilevel approach. *Oecd studies on water*, The Organisation for Economic Co-operation and Development, Paris, 2011.
- [25] Bonnie Colby-Saliba and David Bush. *Water Markets in Theory and Practice: Market Transfers, Water Values and Public Policy*. Number 12 in *Studies in Water Policy and Management*. Westview Press, New York, 1987.
- [26] MOP Chile. *Atlas del Agua, Chile 2016*. Dirección General de Aguas, Santiago.

Mechanical behavior of mixtures of polylactic acid (PLA) with polystyrene (PS)

Jhonny Medina^{*,a}, Patricia Cedeño^a, Ricardo Heras^a, Juan Carlos Hernández^a y Carlos Zapata^b

^aLaboratorio de Polímeros, Centro de Investigaciones Químicas, Facultad de Ingeniería, Universidad de Carabobo, Valencia, Venezuela.

^bLaboratorio de Polímeros, Departamento de Polímeros, Instituto Universitario de Tecnología de Valencia, Valencia, Venezuela.

Abstract.- The main objective of this research was to evaluate the mechanical behavior of mixtures of polylactic acid (PLA) with polystyrene (PS). For this, mixtures were prepared using the direct mixing technique, and different mechanical tests were carried out, such as: the flow index, hardness test, stress and impact tests. In addition, infrared spectroscopy, with the purpose of obtaining a mixture of PLA with PS, with suitable characteristics for the development of new products that are friendly to the environment. The method of direct mixing was adequate, because the values of the mechanical properties analyzed are in the intermediate range of the values of the pure polymers. The mixture 50 % PLA / 50 % PS was the one that had the lowest flow index, so it was considered as the mixture with the best mechanical behavior. The displacements of the bands in the infrared spectra indicate that there are certain interactions between the constituents of the mixtures, associated with their miscibility. The incorporation of 2,5 % of DOP to the mixture causes an antiplastification effect, which produces a material with a fluidity index of 3,24 g / 10min, a hardness (Shore A) of 93,3 adm, an impact resistance of 43,19 J / m² and a tensile strength of 2,90 MPa.

Keywords: mechanical behavior; polystyrene; polylactic acid; polymer mixtures.

Comportamiento mecánico de mezclas de ácido poliláctico (PLA) con poliestireno (PS)

Resumen.- El objetivo fundamental de esta investigación fue evaluar el comportamiento mecánico de mezclas de ácido poliláctico (PLA) con poliestireno (PS). Para esto, se prepararon mezclas mediante la técnica de mezclado directo, y se realizaron diferentes pruebas mecánicas, tales como: el índice de fluidez, ensayo de dureza, pruebas de tensión e impacto. Además, de espectroscopia infrarroja, con el propósito de obtener una mezcla de PLA con PS, con características adecuadas para el desarrollo de nuevos productos que sean amigables con el ambiente. El método de mezclado directo resultó adecuado, debido a que los valores de las propiedades mecánicas analizadas se encuentran en el rango intermedio de los valores de los polímeros puros. La mezcla 50 %PLA / 50 %PS fue la que tuvo el menor índice de fluidez, por lo que se consideró como la mezcla con mejor comportamiento mecánico. Los desplazamientos de las bandas en los espectros infrarrojos indican que existen ciertas interacciones entre los constituyentes de las mezclas, asociados a la miscibilidad de los mismos. La incorporación de 2,5 % de DOP (estabilizante térmico) a la mezcla ocasiona un efecto anti plastificación, lo que produce un material con un índice fluidez de 3,24 g/(10 min), una dureza (Shore A) de 93,3 adm, una resistencia al impacto de 43,19 J/m² y una resistencia a la tensión de 2,90M Pa.

Palabras claves: comportamiento mecánico; poliestireno; ácido poliláctico; mezclas de polímeros.

Recibido: enero 2018

Aceptado: mayo 2018

1. Introducción

En la actualidad la industria del plástico depende en gran medida de los polímeros derivados del petróleo. La baja degradabilidad de estos materiales representa un problema ambiental. Por lo que, existe la necesidad de sustituirlos por materiales biodegradables cuyo comportamiento

* Autor para correspondencia:

Correo-e: jhonnymedina@yahoo.com (Jhonny Medina)

mecánico y costos de producción sean atractivos para su procesamiento a nivel industrial. En este sentido, El ácido Poliláctico (PLA) es una alternativa para enfrentar dicha problemática, debido a que es un polímero biodegradable derivado del ácido láctico que se obtiene a partir de recursos renovables tales como el maíz, la remolacha, el trigo, entre otros. Este polímero tiene propiedades mecánicas en el mismo rango de polímeros petroquímicos a excepción de una baja elongación. Por ser biodegradable y reabsorbible el PLA tiene múltiples aplicaciones en la medicina, en la industria textil, cosméticos, en el sector de los alimentos, bebidas, entre otras [1, 2, 3].

A pesar de la biodegradabilidad del PLA, sus características mecánicas hacen de éste un polímero con ciertos inconvenientes para su procesamiento a nivel industrial. Es por eso, que debe combinarse con otros polímeros biocompatibles, con rellenos, reforzantes, plastificantes u otros aditivos para así mejorar sus propiedades mecánicas. En este sentido, se ha incrementado el interés en el estudio de mezclas de PLA con diversos polímeros. Ponce, en el año 2014, analizó la mezcla de ácido poliláctico con polipropileno (PP) [4], en tanto, que Biresaw y Carrier, en el año 2003, estudiaron las propiedades del PLA con poliestireno (PS) [5]. Los resultados obtenidos en las investigaciones señaladas sugieren que se debe profundizar en el estudio del comportamiento de mezclas poliméricas con PLA, ya que se obtuvieron mejoras favorables en las propiedades de dicho polímero. Es por ello, que en esta investigación se busca profundizar en el estudio de la mezcla polimérica de PLA con PS como alternativa para su aprovechamiento y para contribuir con el saneamiento ambiental, promoviendo un mayor consumo de polímeros biodegradables, y de esta manera, disminuir la dependencia de polímeros derivados del petróleo; ya que, estos son contaminantes y la mayoría no son reciclables, ni biodegradables [1].

Es de resaltar, que el poliestireno (PS), es un polímero termoplástico que se caracteriza por ser liviano, resistente al agua, resistente mecánicamente, y ofrece una gran dureza y rigidez. El PS es un material que no tiene peligro en su

uso cotidiano. Lo cual ha sido demostrado por su amplio uso en el mundo como material de envases y embalajes en el sector agro-alimentario. El cual, implica un contacto directo con los alimentos. Este polímero ocupa el cuarto lugar en el mundo, en cuanto a consumo se refiere.

Ahora bien, la preparación de mezclas poliméricas se orientan a la creación de nuevos productos amigable con el ambiente, como estrategia para la diversificación de la producción nacional e incidencia en la economía del país, ya que se promueve el uso de productos elaborados a partir de fuentes naturales, tal como el ácido poliláctico y no los comúnmente usados que provienen de los derivados del petróleo [6]. Entre los métodos que se emplean en la actualidad para la preparación de mezclas poliméricas, se encuentra el método de mezclado en físico debido a que los productores de la industria del plástico buscan desarrollar nuevos materiales a partir de este proceso, dado que se requiere de una menor inversión de capital [7]. Esta afirmación, se corrobora con lo señalado por otros autores, quienes señalan que el mezclado de dos o más polímeros para formar un nuevo material se establece ampliamente como un medio para obtener nuevos productos con propiedades a la medida de las necesidades del ser humano, presentándose como una forma alterna a la síntesis de copolímeros que generalmente envuelven costos elevados [8].

En este sentido, diferentes autores realizaron una investigación exploratoria para conocer las últimas tendencias y logros en el campo de la compatibilización de mezclas de polímeros de base biológicas y biodegradables. Los autores concluyeron que la modificación de estos polímeros es una manera de mejorar sus propiedades y lograr combinaciones con características adecuadas para aplicaciones específicas. Además, establecieron que la técnica de mezclado directo es un método relativamente barato y rápido para mejorar las propiedades de los plásticos. Pero, que era necesario realizar estudios para profundizar en las relaciones entre la miscibilidad, estructura y propiedades de estos materiales para poder utilizar todas las potencialidades de la mezcla preparada [6].

En virtud de lo anterior, se planteó en esta investigación la preparación de mezclas de ácido Poliláctico (PLA) con Poliestireno (PS) mediante la técnica de mezclado directo, para analizar el comportamiento mecánico de las mismas. Para esto, se realizaron diferentes pruebas mecánicas, tales como: el índice de fluidez, ensayo de dureza, pruebas de tensión e impacto. Además, de espectroscopia infrarroja, con el propósito de obtener una mezcla de PLA con PS, con características adecuadas para el desarrollo de nuevos productos que sean amigables con el ambiente.

2. Metodología

El ácido poliláctico, marca NatureWords, utilizado en esta investigación fue adquirido de un proveedor en Louisiana en los Estados Unidos de Norteamérica. En tanto que el poliestireno tipo expandido fue obtenido de las bandejas B-4 de Industrias Gran Parada, C.A. ubicada en Valencia, Venezuela. Los materiales fueron trasladados al Laboratorio de Polímeros del Centro de Investigaciones Químicas (CIQ) para su tratamiento. En este sentido, las bandejas de Poliestireno fueron cortadas en trozos de aproximadamente 4x4 cm con la ayuda de una tijera, luego se colocaron en un vaso de precipitados para disolverlas en cloroformo. El polímero disuelto se colocó en una estufa modelo Precisión Scientific a 100 °C durante 4 horas para evaporar el solvente y obtener el Poliestireno de manera compacta. Luego, se procedió a moler el Poliestireno obtenido y el ácido poliláctico, por separado, en un molino marca Condux-Werk modelo LV 15/M. Posteriormente, se tamizó cada material en un tamiz ASTM-N° 10 con una abertura de 0,0787 pulgadas, y se almacenaron en frasco de vidrio.

Se prepararon mezclas de PLA con PS mediante mezclado directo de los materiales, en las siguientes proporciones: 100/0 ($M_{100/0}$); 50/50 ($M_{50/50}$); 60/40 ($M_{60/40}$); 70/30 ($M_{70/30}$); 80/20 ($M_{80/20}$); 90/10 ($M_{90/10}$) y 0/100 ($M_{0/100}$). Para esto, los materiales se colocaron en un vaso precipitado de 100 mL, y se agitaron

vigorosamente con una varilla de vidrio. Las mezclas obtenidas fueron caracterizadas mediante el Índice de Fluidez y por Espectroscopia Infrarroja por Transformada de Fourier (FTIR), tal como se describe a continuación [1].

La determinación del índice de fluidez (MFI), se realizó en el Laboratorio de Polímeros del Instituto Universitario de Tecnología de Valencia, en un equipo CEAST MeltFlow Junior P/N 6943.000, empleando el procedimiento establecidos en la Norma ASTM D 1238-13 [9]. El equipo posee un indizador de fusión manual para hacer los cortes del material a intervalos de tiempo, los cuales son pesados en una balanza analítica para determinar el MFI. En la Tabla 1 se muestran las condiciones del equipo según el índice de fluidez que se espera obtener, de acuerdo al valor teórico de los constituyentes de la mezcla. Esta prueba, se realizó por triplicado para cada mezcla y los resultados fueron procesados mediante la técnica estadística 2.5D. La determinación del índice de fluidez (MFI), se realizó en el Laboratorio de Polímeros del Instituto Universitario de Tecnología de Valencia, en un equipo CEAST MeltFlow Junior P/N 6943.000, empleando el procedimiento establecidos en la Norma ASTM D 1238-13 [9]. El equipo posee un indizador de fusión manual para hacer los cortes del material a intervalos de tiempo, los cuales son pesados en una balanza analítica para determinar el MFI. En la Tabla 1 se muestran las condiciones del equipo según el índice de fluidez que se espera obtener, de acuerdo al valor teórico de los constituyentes de la mezcla. Esta prueba, se realizó por triplicado para cada mezcla y los resultados fueron procesados mediante la técnica estadística 2.5D.

Para la obtención de los espectros infrarroja de las mezclas preparadas se utilizó en un equipo SHIMADZU modelo FTIR-8400S del Laboratorio de Instrumentación de la Facultad de Ciencias y Tecnología (FACYT) de la Universidad de Carabobo. Para esto, se siguió el procedimiento establecido en la Norma ASTM E821 [10], y se prepararon por disolución películas delgadas de las muestras. Los resultados obtenidos en estas pruebas, fueron empleados para seleccionar la proporción de las mezclas preparadas, con la cual

Tabla 1: Condiciones del equipo según el índice de fluidez teórico.

MFI g/(10 min)	Pre g	t _c min
0,15 a 10	2,5 a 3,0	6,00
>1,0 a 3,5	3,0 a 5,0	3,00
>3,5 a 10	4,0 a 8,0	1,00
>10 a 25	4,0 a 8,0	0,50
>25 a 50	4,0 a 8,0	025

t_c: Tiempo de corte.

Pre: Peso recomendado de la muestra en el barril.

se realizó los ensayos posteriores.

Para determinar el efecto de un agente compatibilizante sobre el índice de fluidez de la mezcla seleccionada, se utilizó DOP (Ftalato de 2-etil-hexilo), en proporciones de 2,5 %, 5,0 % y 7,5 %. Esta prueba, se realizó por triplicado y los resultados fueron procesados mediante la técnica estadística 2.5D. Esto permitió, establecer la mezcla de PLA/PS/DOP que se utilizó en los ensayos de impacto, dureza y tensión, tal como se describe a continuación.

Para llevar a cabo los ensayos de impacto, dureza y tensión se preparó una lámina de la muestra en estudio. Para esto, se utilizó un equipo Carver el cual consta de una prensa de calentamiento modelo 6051000 serial 17807, en donde se colocó la muestra sólida entre placa metálica de 3mm de espesor que actúan como molde. Luego, se aplicó presión y se aumentó la temperatura hasta fundir el material. Las condiciones establecidas para la preparación de las láminas de las diferentes mezclas se muestran en la Tabla 2.

Obtenidas las láminas se procedió a cortarlas, para esto se utilizó una cortadora CEAST, siguiendo lo establecido en la Norma respectiva para la elaboración de probeta según el ensayo que se realizó. En este sentido, para la prueba de impacto se usó la Norma Técnica ASTM D 656-04, método entandar para determinar la resistencia al impacto en plásticos utilizando péndulo izod. En tanto que, para la prueba de tensión se utilizó la Norma Técnica ISO 527-2. De cada lámina se cortaron tres probetas con el troquelado y ejerciendo presión con una palanca sobre las láminas.

Para el ensayo de Impacto, las probetas obtenidas fueron sometidas a la prueba de Dureza, en un equipo Ceast modelo 6963 serial 17382, siguiendo el procedimiento establecido en la Norma ISO 13802; ISO 179-2 y la ASTM D 256. Este equipo posee una velocidad de impacto de 3,46m/s, una energía potencial de 2,75 J, un ángulo inicial de 150° y una longitud de 0,3268m.

Para el ensayo de tensión, se utilizó una máquina modelo CEAST controlado por un programa llamado NEXYGEN plus. Los parámetros establecidos para la prueba fueron: la longitud de la extensión de 100mm, la longitud, el ancho y espesor de la probeta según la Norma ISO 527-2 se establecieron en 40mm, 5mm y 3mm. Luego se colocó la probeta en el soporte y se le pulsó STAR al programa para dar inicio al ensayo. La prueba finalizó cuando la probeta se fracturó. El programa generó una gráfica de esfuerzo en función de la extensión.

El ensayo de dureza, se realizó en un Durómetro para plásticos Modelo 306L Tipo A que sigue los parámetros establecidos en la Norma ASTM D2240, el cual se basa en la penetración de un indentador específico cuando se presiona el material con el mismo. Para esto, se realizaron medidas de cada una de las probetas utilizadas tanto para en el ensayo de tensión como en la prueba de impacto, en tres puntos de cada probeta. En el caso de las probetas de impacto se colocó el indentador en el centro y en los extremos de la misma y en el caso de las probetas para tensión se colocó el indentador en la zona de fractura específicamente en los extremos y en el centro. En la Figura 1 se muestran los lugares donde se tomaron las medidas.

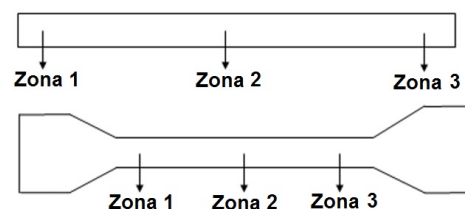


Figura 1: Zonas de las probetas donde se aplicó el ensayo de dureza.

Tabla 2: Condiciones empleadas en el proceso de elaboración de probetas de los distintos materiales.

Material	Masa (g)	Temperatura ± 3 °C	t_i $\pm 0,01$ s	\bar{t} $\pm 0,01$ s	t_f $\pm 0,01$ s	P_i ± 250 psi	\bar{P} ± 250 psi	P_f ± 250 psi
PLA	45	170,0	180,00	10,00	30,00	0	2500	3000
PS	45	170,0	45,00	10,00	20,00	0	3500	4000
PLA/PS	45	170,0	180,00	10,00	25,00	0	2000	2500
PLA/PS/DOP	45	170,0	180,00	10,00	25,00	0	2000	2500

t_i : Tiempo inicial.
 P_i : Presión inicial.

\bar{t} : Tiempo promedio.
 \bar{P} : Presión promedio.

t_f : Tiempo final.
 P_f : Presión final.

3. Resultados y discusión

El método de mezclado directo utilizado para preparar las mezclas de poliestireno (PS) con ácido poliláctico (PLA) resultó adecuado, debido a que los valores de índice de fluidez (MFI) obtenidos se encuentran en el rango intermedio de los índices de los polímeros puros. Es de resaltar, que a medida que se aumenta la proporción de ácido poliláctico en las mezclas, el índice de fluidez se incrementa, esto implica que la viscosidad disminuye, tal como se muestra en la Tabla 3. Este comportamiento fue similar al reportado por algunos autores [11].

Tabla 3: Índice de fluidez de las muestras analizadas.

Muestra	MFI $\pm 2,0$ g/(10 min)
Ácido Poliláctico	9,8
$M_{50/50}$	3,8
$M_{60/40}$	4,3
$M_{70/30}$	4,7
$M_{80/20}$	5,3
$M_{90/10}$	6,6
Poliestireno	0,5

El índice de fluidez del Ácido Poliláctico fue de $9,8 \pm 2,0$ g/(10 min). En tanto que, el del poliestireno fue de $0,5 \pm 2,0$ g/(10 min). Estos valores difieren de los reportados por diversos autores [12, 13], debido a que en las formulaciones de PLA existen muchas discrepancias en los valores de índice de fluidez [14], y que el PS utilizado fue obtenido de bandejas comerciales, por lo que los aditivos que contiene influyen en la variación

observada. En este sentido, Aranzazu y Rojas, en el año 2015, reportaron valores de índice de fluidez para el PLA entre 14,20 g/(10 min) y 24,70 g/(10 min), y de 3,55 g/(10 min) para el PS [15]. En tanto, que Álvarez, en el año 2013, señaló un valor de 114,17 g/(10 min) para el PLA [11]. Sánchez, en el año 2004, reportó un valor de 4,17 g/(10 min) para el PS [16]. Estos resultados, indican que el PLA fluye con mayor facilidad que el PS. Por lo que, este último requiere de mayor esfuerzo mecánico para fluir, lo que lo hace un material con mejores propiedades mecánicas que el PLA.

Es de hacer notar, que diversos autores han señalado que el índice de fluidez (MFI) puede ser utilizado como una herramienta de control de calidad y que además es una medida utilizada en la fabricación de polímeros, ya que es una característica fundamental de las resinas poliméricas, que depende inversamente del peso molecular, así como, también del número, clase y distribución de las ramificaciones. Es decir, es una medida del esfuerzo mecánico que requiere o no una muestra polimérica para fluir. Es por esta razón, que el índice de fluidez puede ser relacionado como un parámetro que indique las propiedades mecánicas que posea un material polimérico [17, 12, 13].

En cuanto, a la variación del MFI de las muestras preparadas a medida que se incrementa la cantidad de PLA, esto indica que la cantidad de Poliestireno aporta menos flexibilidad y menos fluidez a la mezcla, lo que implica un aumento en esfuerzo mecánico para fluir. Este comportamiento concuerda con lo reportado por algunos autores

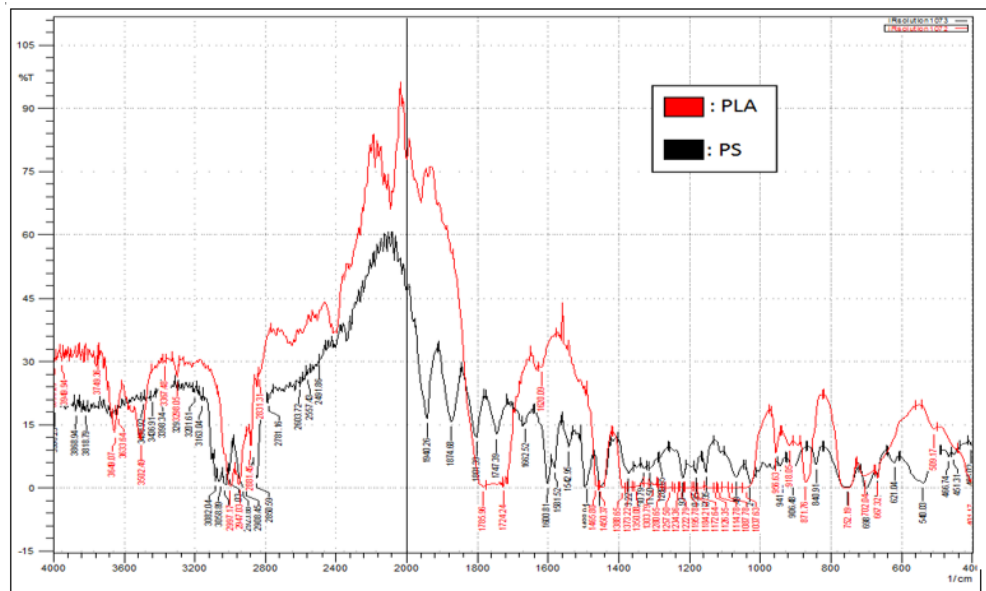


Figura 2: Espectros Infrarrojos del ácido poliláctico y el poliestireno.

[11].

En la Figura 2 se muestra el espectro infrarrojo obtenido para el ácido poliláctico y el poliestireno. Para el PLA (ácido poliláctico), se observa que entre las longitudes de onda de $1743,53$ y $1785,96 \text{ cm}^{-1}$ respectivamente, se evidencia una banda estrecha la cual corresponde a la vibración stretching del grupo carbonilo de éster. La banda larga ubicada entre 1050 y 1350 cm^{-1} respectivamente, tiene una intensidad bastante baja y es debido a la presencia característica de $-C-O-$, ya que la longitud de onda evidenciada alrededor de $1087,78$ y $1222,79 \text{ cm}^{-1}$ respectivamente, se debe a una vibración stretching simétrica $-C-O-$, mientras que alrededor de $1126,35 \text{ cm}^{-1}$ ocurre una tensión asimétrica del mismo grupo. Por otro lado, la banda ubicada alrededor de $1373,22 \text{ cm}^{-1}$ es causada por una deformación simétrica del grupo $-CH_3$ y en $1450,80 \text{ cm}^{-1}$ se genera una longitud de onda debida a una vibración bending de los grupos $-CH_3$ y $-CH$, estos mismos grupos generan una vibración stretching en $2997,17$ y $2947,03 \text{ cm}^{-1}$ respectivamente. Por su parte a una longitud de 956 cm^{-1} se genera una banda por vibración a modo de balanceo del $-CH_3$. Las bandas descritas anteriormente concuerdan las reportadas para el PLA por diversos autores [18, 19].

En cuanto, al espectro infrarrojo del poliestireno

se observa que presenta una banda larga debido a una vibración stretching entre $3028,03$ y $2908,45 \text{ cm}^{-1}$ respectivamente de los grupos $-CH_3$ y $-CH$ del grupo aromático del compuesto, mostrando banda corta en $1600,81 \text{ cm}^{-1}$ la cual es una flexión del grupo $-OH$, apreciándose $1453,23 \text{ cm}^{-1}$ otra vibración stretching debido a una flexión de los grupos $-CH_3$ y $-CH$. Por otro lado en $1218,20 \text{ cm}^{-1}$ se ha de notar una vibración stretching simétrica $-C-O$ y en $1180,36 \text{ cm}^{-1}$ una banda corta por una tensión asimétrica del grupo antes mencionado. Cada una de estas bandas corresponde a las reportadas por algunos autores [20].

En la Figura 3 se muestra los espectros infrarrojos de las mezclas preparadas. En ella, se observa que las mezclas $M_{50/50}$ y $M_{60/40}$ presentan intensidades, y longitudes de ondas similares, se evidencia en ambos casos que la banda alrededor de los 3000 cm^{-1} , la cual es causada por el estiramiento de los grupos $-CH_3$ y $-CH$, no se encuentra tan definida y es ancha. Además se aprecia claramente que a partir de 3000 cm^{-1} al aumentar la longitud de onda, la intensidad es baja respecto a los polímeros puros, alrededor de un 4% lo cual indica que si existieron interacciones entre los polímeros. A su vez las longitudes entre 1050 y 1350 cm^{-1} ocasionadas por $-C-O-$ aumentan su intensidad. Por su parte la banda característica del

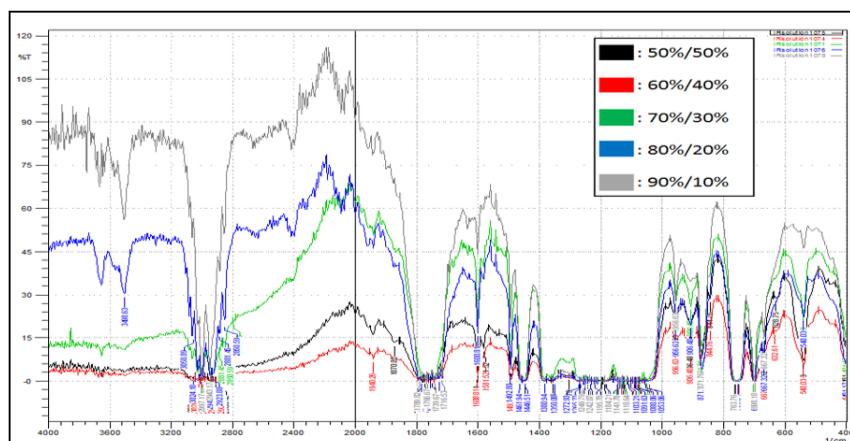


Figura 3: Espectros infrarrojos de las mezclas de ácido poliláctico y poliestireno.

grupo carbonilo del PLA se puede ver alrededor de $1770,53 \text{ cm}^{-1}$ y la del PS alrededor de $3024,18$ y $2904,60 \text{ cm}^{-1}$ respectivamente.

Por su parte, las mezclas $M_{70/30}$, $M_{80/20}$ y $M_{90/10}$ presentan características diferentes que las analizadas anteriormente, destacando que entre estas, las últimas dos muestran similitud. Se evidencia que a partir de 3000 cm^{-1} al aumentar la longitud de onda, la intensidad se incrementa, y se ubica alrededor de 60 % de intensidad. De igual manera se observa que las bandas características del PLA y del PS, desplazadas respecto a las apreciadas en los polímeros puros. Dichas variaciones ocurridas en cada una de las mezclas se deben a las interacciones entre los grupos funcionales tanto del poliestireno como del ácido poliláctico, lo cual hace notar que la mezcla tuvo cierta miscibilidad, es decir, se establecieron diversas interacciones entre los grupos funcionales de los materiales poliméricos lo cual ocasiona un desplazamiento en las bandas características de los polímeros puros. En este sentido, diversos autores señalan que en mezclas miscibles o parcialmente miscibles de polímeros pueden observarse cambios significativos en la intensidad y/o frecuencia de las bandas [21].

En virtud de los señalamientos anteriores, se establece que la mezcla $M_{50/50}$ fue la que presentó el mejor comportamiento mecánico. Por lo tanto, fue la mezcla seleccionada para continuar con los ensayos planteados en esta investigación.

En la Tabla 4 se muestran los valores de

Tabla 4: Índice de fluidez de las mezclas preparadas con DOP.

Muestra	MFI $\pm 0,08 \text{ g}/(10\text{min})$	Variación, %
$M_{50/50}$	3,85	0,00
$(M_{50/50})_{2,5}$	3,24	-15,84
$(M_{50/50})_5$	3,81	-1,04
$(M_{50/50})_{7,5}$	5,99	+55,58

índice de fluidez de la muestra preparada con 50 %PLA y 50 %PS. Así como, de las muestras con 2,50 % ($(M_{50/50})_{2,5}$), 5,00 % ($(M_{50/50})_5$) y 7,50 % ($(M_{50/50})_{7,5}$) de ftalato de di-2-etil-hexilo (DOP). En ella, se observa que la incorporación del 2,5 % de plastificante a la mezcla seleccionada ocasiona una disminución del MFI del 15,84 %. En tanto, que este valor disminuye en 1,04 % cuando se le añade 5,00 % de plastificante y aumenta en 55,58 % con 7,50 % de DOP. Estos resultados indican, que al aumentar la cantidad del plastificante se incrementa su fluidez. Esto concuerda con lo señalado por diversos autores; quienes indican que los plastificantes de bajo peso molecular se agregan principalmente para aumentar la flexibilidad, procesabilidad y elongación del polímero, lo que mejora las propiedades mecánicas al reducir su fragilidad del mismo [22, 23, 24].

Por su parte, se obtuvo que la adición de pequeñas cantidades de plastificantes generó un efecto contrario al de la plastificación. En este caso, al añadir 2,50 % del plastificante se produce

un efecto de antiplastificación, el cual se le atribuye al bloqueo de movimientos moleculares a causa de las interacciones polímero-plastificante, al ordenamiento de las cadenas y al aumento de la cristalinidad producido por el plastificante [25, 26].

Tabla 5: Propiedades mecánicas de las mezclas analizadas.

Muestra	H_{ShA}	$R_{imp} \text{ J/m}^2$	$R_{ten} \text{ MPa}$
PLA	90,8	135,64	27,67
$M_{50/50}$	92,0	69,19	7,23
$(M_{50/50})_{2,5}$	93,3	43,19	2,90
PS	94,0	22,30	3,08

H_{ShA} : Dureza Shore A.

R_{imp} : Resistencia al impacto.

R_{ten} : Resistencia a la tensión.

En la Tabla 5 se muestran los resultados obtenidos en las pruebas mecánicas realizadas a los matriles en estudio. En ella se observa, que el Poliestireno presentó la mayor dureza, con un valor de 94,0. En tanto, que el PLA mostró una dureza de 90,0. Por su parte, las mezcla $M_{50/50}$ sin plastificante de 92,0 y con plastificante de 93,3. Estos resultados, corroboran lo señalado anteriormente sobre el método de mezclado empleado en la preparación de las mezclas, el cual generó una adecuada combinación de los materiales a obtener valores de dureza en el rango intermedio de los polímeros puros. Es de resaltar, que la incorporación de DOP a la mezcla incrementó la dureza del material. Esto indica, que el material presenta buena resistencia a la penetración y al rayado, lo que evidencia que el efecto de antiplastificación ocasionado mejora las propiedades mecánicas de la mezcla [1].

El efecto de antiplastificación que se presenta a añadir pequeñas cantidades de DOP a la mezcla en estudio, se pone de manifiesto nuevamente en las pruebas de resistencia al impacto y resistencia a la tensión. En la primera prueba el PLA presentó un valor de $135,64 \text{ J/m}^2$, mientras que el PS de $22,30 \text{ J/m}^2$. Esto indica, que el PS es un material frágil y rígido en comparación con el PLA, tal como lo corroboran algunos autores [15, 16]. En cuanto a, la mezcla sin DOP el valor de resistencia

al impacto fue de $69,19 \text{ J/m}^2$, mientras que con DOP fue de $43,19 \text{ J/m}^2$. Esto indica, que la mezcla con DOP es frágil y rígida, con valores que se acercan al comportamiento obtenido con el Poliestireno [1].

En cuanto, a la resistencia a la tensión el PLA presentó un valor de 27,67 MPa, mientras que el PS de 3,08 MPa. Estos resultados, señalan el PLA es un material blando y flexible, por lo que se requiere de mayor esfuerzo para que este se rompa, en comparación al PS [27]. En cuanto a, la mezcla sin DOP el valor obtenido fue de 7,23 MPa, mientras que con DOP fue de 2,90 MPa. Esto, afirma que al agregar una proporción baja de DOP hace resistencia a la tensión disminuya debido al efecto señalado anteriormente.

4. Conclusiones

El método de mezclado directo utilizado para preparar las mezclas de poliestireno (PS) con ácido poliláctico (PLA) resultó adecuado, debido a que los valores de las propiedades mecánicas analizadas se encuentran en el rango intermedio de los valores de los polímeros puros. La mezcla 50%PLA/50%PS fue la que tuvo el menor índice de fluidez, por lo que se consideró como la mezcla con mejor comportamiento mecánico. Los desplazamientos de las bandas en los espectros infrarrojos indican que existen ciertas interacciones entre los constituyente de las mezclas, asociados a la miscibilidad de los mismos. La incorporación de 2,5% en DOP a la mezcla ocasiona un efecto antiplastificación, lo que produce un material con propiedades mecánicas adecuado para su uso.

Agradecimientos

Al FONACIT por el financiamiento recibido a través del proyecto N° 2011001269, el cual permitió sufragar parte de los costos involucrados para la realización de este trabajo. Al personal docente y técnico que labora en el Laboratorio de Polímeros del Centro de Investigaciones Químicas, en el Laboratorio de Ingeniería Química (LIQ) de la Facultad de Ingeniería, en el Laboratorio de Instrumentación de la Facultad de Ciencias y Tecnología (FACYT) de la Universidad de

Carabobo y a los que laboran en el Laboratorio de Polímeros del Instituto Universitario de Tecnología de Valencia (IUTVAL) por su apoyo en el desarrollo de esta investigación.

5. Referencias

- [1] P. Cedeño and R. Heras. Comportamiento mecánico y térmico de mezclas de ácido poliláctico (PLA) con poliestireno (PS). Trabajo Especial de Grado, Escuela de Ingeniería Química, Facultad de Ingeniería, Universidad de Carabobo, Venezuela, 2016.
- [2] Magda Elva Perales Castro. Modificación estructural del polietilén tereftalato con ácido poliláctico. síntesis de polímeros biodegradables. Tesis de Maestría, Instituto Politécnico Nacional, México, 2012.
- [3] Maribel Herryman Munilla and Gladys Blanco Carracedo. Ácido láctico y poliláctico: Situación actual y tendencias. *ICIDCA. Sobre los Derivados de la Caña de Azúcar*, XXXIX(1):49–59, 2005.
- [4] Juana Suhey Ponce Hernández. Estudio de propiedades y compatibilidad de mezclas de polipropileno (pp), ácido poliláctico (pla) y nanopartículas de óxido de silicio (SiO₂), mediante extrusión y mezclado físico. Tesis de Maestría, Instituto Politécnico Nacional, México, 2014.
- [5] Girma Biresaw and C. J. Carriere. Compatibility and mechanical properties of blends of polystyrene with biodegradable polyesters. *Composites Part A: applied science and manufacturing*, 35:313–320, 2004.
- [6] Balázs Imre and Béla Pukánszky. Compatibilization in bio-based and biodegradable polymer blends. *European Polymer Journal*, 49(6):1215–1233, 2013.
- [7] Angélica M. Grillo Nerio. Cristalización de la poli (ϵ -caprolactona) en mezclas de poli (d,l ácido láctico)/pcl degradadas en medio ácido. Trabajo Especial de Grado, Universidad Simón Bolívar, Venezuela, 2007.
- [8] Sandra Karina Mascarenas Espino. *Estudio del efecto compatibilizante del copolímero san en mezclas de PVC/ABS*. Tesis Doctoral, Instituto Politécnico Nacional, México, 2008.
- [9] ASTM D1238-13(2013), standard test method for melt flow rates of thermoplastics by extrusion plastometer, 2013.
- [10] ASTM E821-16(2016), standard practice for measurement of mechanical properties during charged-particle irradiation, 2016.
- [11] Elvira Castellanos Álvarez. Formulación de polímeros biodegradables HDPE-PLA mediante molienda mecánica y extrusión. Tesis de Maestría, Instituto Politécnico Nacional, México, 2013.
- [12] Adriana B. Guajardo, Laura E. Najar, Susana B. Prósperi, and María G. Molina. Propiedades de los plásticos reciclados. In *Congreso Interamericano de Ingeniería Sanitaria y Ambiental*, 26 (AIDIS 98), pages 1–13. APIS, 1998.
- [13] Rubén Eduardo Alarcón Salas. Estudio de la relación entre la estructura, PIAT, grado de cura y resistencia al impacto en productos monocapa de polietileno rotomoldeado. Trabajo Especial de Grado, Escuela Superior Politécnica del Litoral, Guayaquil, Ecuador, 2007.
- [14] Alfonso Reyes Quezada. Obtención de los parámetros de sellado de un empaque resellable. Tesis de Maestría, Universidad Nacional Autónoma de México, México, 2012.
- [15] A. F. Rojas and L. M. Aranzazu. Estabilidad de procesamiento de polímeros: índice de degradación en proceso. *Revista Mutis*, 5(1):37–45, 2015.
- [16] Angel López Sánchez. *Influencia del proceso de reciclado sobre las propiedades de los materiales compuestos obtenidos por inyección de poliestireno reforzado con fibras lignocelulósicas*. Tesis Doctoral, Universitat de Girona, España, 2004.
- [17] Andrés F. Rigail-Cedeño. Aplicaciones del melt flow index (MFI) en la industria de procesamiento de plásticos. *Revista Tecnológica-ESPOL*, 19(1):79–84, 2006.
- [18] Pablo Jiménez Bonilla, María Sibaja Ballesteros, and José Vega-Baudrit. Síntesis y caracterización de poli(ácido l-láctico) por policondensación directa, obtenido del fermento de desechos agroindustriales de banano (*musa acuminata* aaa variedad *cavendish* cultivar *gran naine*) en Costa Rica. *Revista Iberoamericana de Polímeros*, 13(2):52–59, 2012.
- [19] Lucila Araceli Montero Palacios. *Métodos físico-químicos de caracterización de las fibras de polilactida*. Tesis Doctoral, Universitat Politècnica de Catalunya, España, 2012.
- [20] M. D. Samper, M. I. Rico, S. Ferrandiz, and J. López. Reducción y caracterización del residuo de poliestireno expandido. In *I Simposio Iberoamericano de Ingeniería de Residuos*, Castellón, 2008.
- [21] Vittoria Balsamo, Laura M. Gouveia, Lenin Herrera, Estrella Laredo, and Bernardo Méndez. Miscibilidad en mezclas de poli (estireno-co-anhídrido maleico) y poli (ϵ -caprolactona)(SMA/PCL). *Revista Latinoamericana de Metalurgia y Materiales*, 24(1-2):17–30, 2004.
- [22] Oscar Yesid Suárez Palacios. *Producción y modelamiento de gliceril-ésteres como plastificantes para PVC*. Tesis Doctoral, Universidad Nacional de Colombia, Bogotá, Colombia, 2011.
- [23] F. Billmeyer. *Ciencia de los polímeros*. Editorial Reverté, España, 2^{da} edición, 1978.
- [24] D. Sojo. Optimización de formulaciones de PVC para aplicaciones de cables comercializadas por Gravinil S.A. Trabajo Especial de Grado, Universidad Simón Bolívar, Venezuela, 2009.
- [25] Pilar Tiemblo Magro. *Microestructura molecular y propiedades físicas del PVC: nuevas correlaciones con configuraciones locales terminales de secuencias tácticas*. Tesis Doctoral, Universidad Complutense de

Madrid, España, 1994.

- [26] Lorena Hoyos Madrigal. Caracterización térmica, mecánica y de sorción de sistemas de almidón de yuca y aceite de maíz. Tesis de Maestría, Universidad Simón Bolívar, Venezuela, 2010.
- [27] Jorge Armando Tello González. Estudio de las propiedades mecánicas de bioplástico que contiene ácido poliláctico mediante pruebas de intemperismo. Tesis de Maestría, Universidad Autónoma del Estado de México, México, 2017.

Evaluation of resistance to corrosion by pitting of stainless steel duplex SAF 2304

Laura Sáenz^{*,a}, Jesús García^b y Omar Guzmán^b

^aUniversidad de las Fuerzas Armadas ESPE Latacunga- Ecuador.

^bEscuela de Ingeniería Mecánica, Facultad de Ingeniería, Universidad de Carabobo, Venezuela.

Abstract.- It was evaluated the corrosion resistance of a duplex SAF 2304 stainless steel. Pitting corrosion tests were carried out under ASTM G48-03 at a temperature of 50 °C for 72 hours in ferric chloride at 6 % concentration and electrochemical polarization tests under ASTM G5-87 at a temperature of 22 °C for 0.5hrs in sodium chloride at 3.5 % concentration. 9 cylinders samples of stainless steel SAF 2304 duplex were used, 6 samples for the pitting corrosion test and 3 samples for the electrochemical polarization test. Weight loss analysis, macroscopy, optical microscopy and Vickers Microhardness were performed. In the electrochemical test the value of the anodic slope turned out to be very high, in the sting tests where the formation of passive films on the surfaces of the samples tested, a process of localized corrosion could be appreciated with the presence of large amount of pitting. It was observed a localized deterioration in the interphases austenite-ferrite phases, with presence of pitting. The corrosion rate presented a variation similar to that obtained for the weight loss, which demonstrated the heterogeneity of the material.

Keywords: duplex stainless steel; corrosion stress; pitting.

Evaluación de la resistencia a la corrosión por picadura del acero inoxidable dúplex SAF 2304

Resumen.- Se evaluó la resistencia a la corrosión por picadura de un acero inoxidable dúplex SAF 2304. Se realizaron ensayos de corrosión por picadura bajo la norma ASTM G48-03, a una temperatura de 50 °C, durante 72 horas en cloruro férrico al 6 % de concentración, y ensayos electroquímicos de polarización bajo la norma ASTM G5-87, a una temperatura de 22 °C, durante 0,5hrs en cloruro de sodio al 3,5 % de concentración. Se utilizaron 9 probetas de acero inoxidable dúplex SAF 2304, 6 para el ensayo de corrosión por picadura, y 3 para el ensayo electroquímico de polarización. Se realizó análisis por pérdida de peso, macroscopía, microscopía óptica y Microdureza Vickers. En el ensayo electroquímico el valor de la pendiente anódica resultó ser muy alto, en los ensayos de picadura donde se observó la formación de películas pasivas sobre las superficies de las muestras ensayadas, se pudo apreciar un proceso de corrosión localizada con presencia de gran cantidad de picaduras. Se observó un deterioro localizado en las intercaras fases austenita-ferrita, con presencia de picaduras. La velocidad de corrosión presentó una variación similar a la obtenida para la pérdida de peso, lo que demostró la heterogeneidad del material.

Palabras claves: acero inoxidable dúplex; resistencia a la corrosión; picaduras.

Recibido: marzo 2018

Aceptado: mayo 2018

1. Introducción

Los aceros inoxidables dúplex son aleaciones de uso creciente en la actualidad para industrias químicas y derivados del petróleo, así como en aplicaciones específicas de generación de energía,

plantas offshore, industria de la pulpa y el papel, etc. Las propiedades mecánicas óptimas de estas aleaciones son generadas por una estructura bifásica o dúplex constituido por una fase ferrítica y una austenítica, sus ventajas frente a otros aceros inoxidables y aceros estructurales se refieren a mejores propiedades mecánicas, y de resistencia a la corrosión [1, 2, 3].

Sin embargo, los aceros inoxidables son susceptibles, en determinadas circunstancias, a ciertas formas de ataque, de entre las cuales destaca la corrosión por picaduras. La corrosión por

* Autor para correspondencia:

Correo-e: lasaenz@espe.edu.ec (Laura Sáenz)

picaduras es una forma de ataque localizado. Es un tipo de corrosión destructivo, que puede causar la destrucción de equipos mediante perforación, con muy pequeñas pérdidas de peso [4, 5, 6, 7].

Actualmente existen ciertas variedades de aceros convencionales, que le permite al sector industrial (alimenticio o petroquímico) priorizar entre la resistencia a la corrosión o las propiedades a la resistencia mecánica, tenacidad y dureza. Una alternativa son los aceros inoxidable ferríticos y los austeníticos, que de igual forma se oxidan, pero en vez de óxido común, lo que se forma en la superficie es una tenue película de óxido de cromo muy densa que constituye una coraza contra los ataques de la corrosión. En el desarrollo de nuevas aleaciones ha surgido dentro de la familia de los aceros inoxidable los dúplex, considerados como aleaciones pioneras en las aplicaciones que demanden gran resistencia mecánica en medios corrosivos que ofrece soluciones donde los aceros al carbono y austeníticos han fallado, para este estudio se tomara en cuenta la serie 2304, que es una aleación con bajo contenido de níquel, no contiene Molibdeno y que forman una mezcla de cantidades aproximadamente iguales de austenita y ferrita [Aceros dúplex]. Una de las motivaciones del estudio fue la poca información especializada existente referente a la influencia de los cloruros y la susceptibilidad a la corrosión localizada en este tipo de aleación. El objetivo de esta investigación es evaluar el comportamiento de un acero inoxidable dúplex SAF 2304 frente a la corrosión por picadura en un medio clorurado.

2. Materiales y métodos

2.1. Material

Se utilizó un acero inoxidable dúplex SAF 2304 de composición química mostrada en la Tabla 1.

Para realizar el corte del material se utilizó una máquina de electroerosión de hilo (inyección de agua).

2.2. Ensayo de corrosión

Se realizaron dos tipos de ensayos, ensayo por picadura ASTM G48-03 [9] método A y ensayo electroquímico de polarización normalizado

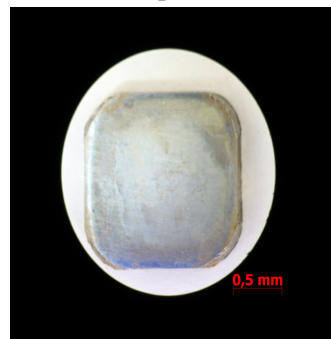
Tabla 1: Composición química del acero dúplex SAF 2304, (% peso) [8].

%C	%Si	%Mn	%P	%S
0,03	1,00	2,50	0,04	0,03
%Cr	%Ni	%Mo	%N	%Cu
23,00	4,25	0,33	0,13	0,33

ASTM G5-87 [10]. En la Figura 1 se muestran las dimensiones de las probetas utilizadas. Las muestras de acero dúplex SAF 2304, fueron divididas en dos grupos de probetas “A” y “B”, donde el primer grupo de muestras pertenecientes a las probetas tipo “A” fueron sometidas a un ensayo de corrosión por picadura a una temperatura de 50°C, durante 72hrs en cloruro férrico al 6% de concentración, y el segundo grupo de muestras pertenecientes a las probetas tipo “B” fueron sometida a un ensayo electroquímico de polarización a una temperatura de 22°C, durante 0,5 hrs en cloruro de sodio al 3,5% de concentración.



(a) Probeta A usada para el ensayo de picadura, de 20x50 mm, con espesor de 10 mm



(b) probeta B usada para el ensayo electroquímico de polarización de 14 x 14 mm con un espesor 2,5 mm [8].

Figura 1: Diagrama esquemático de las probetas del ensayo.

2.3. Evaluación de la pérdida de peso y la velocidad de corrosión para el acero expuesto a cloruro férrico al 6 %

Se utilizó una balanza analítica marca, Ohaus con capacidad de 201 g. y precisión 0,0001 g.

Para evaluar la pérdida de peso, se utilizó la ecuación (1).

$$W = W_{inicial} - W_{final} \quad (1)$$

Donde, W es la Pérdida de peso en gramos (g), $W_{inicial}$ es el peso inicial en gramos (g) y W_{final} es el peso final en gramos (g).

Para el cálculo de la velocidad de corrosión se utilizó la ecuación (2) de acuerdo a la norma ASTM G31 – 72(2004) [11] que viene expresada:

$$V_c = \frac{KW}{Adt} \quad (2)$$

Donde,

K : Constante que viene expresada en función del sistema métrico de trabajo, y cuyo valor depende de la unidad utilizada para expresar la velocidad de corrosión.

V_c : Velocidad de corrosión expresada en milipulgadas por año (mpy).

T : Tiempo de exposición en horas (h).

A : Área de la superficie de exposición en centímetros cuadrados (cm²).

W : Pérdida de peso en gramos (g).

D : Densidad del material de la muestra en gramo/cm³ (g/cm³).

$$\delta = \sqrt{\frac{(x_i - x)^2}{n}} \quad (3)$$

Donde δ es la desviación estándar, x_i es la pérdida de peso de la muestra (g), n es la cantidad de muestras y x es el promedio de la pérdida de peso.

2.4. Microscopia óptica

Las muestras fueron preparadas por las técnicas metalográficas convencionales y el reactivo de ataque utilizado fue: 15 ml HCl, 50 ml H₂O y 1 g de bisulfito de sodio. La microestructura de las muestras se determinó utilizando un microscopio óptico marca Unión modelo MC 86267.

2.5. Microdureza

Para la realización de los ensayos se utilizó un Microdurómetro marca Buehler, modelo Indentamet 110. Se utilizó una carga de 25 g. durante por 5seg., se realizaron un número de 5 indentaciones por muestra, basado en la norma ASTM E384-11 [12].

2.6. Evaluación de la resistencia a la polarización para el acero dúplex SAF 2304 expuesto a cloruro de sodio al 3,5 %.

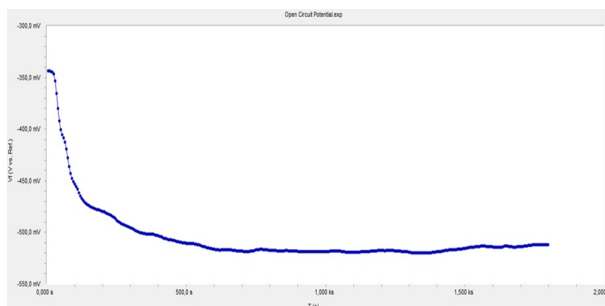
Con el propósito de obtener una medición cuantitativa de la resistencia a la polarización de las muestras ensayadas, y así poder determinar la velocidad de corrosión del material en estudio, se traza la curva de resistencia a la polarización, utilizando el método de polarización lineal, en la cual se extrapola la curva para obtener la pendiente de la resistencia a la polarización. La curva se grafica a partir del potencial de equilibrio [13] (la muestra se polariza entre ± 20 mV con respecto al potencial de equilibrio, con una velocidad de barrido de 2 mV s⁻¹), que se obtiene luego de polarizar la muestra en el medio de exposición, hasta alcanzar la estabilización del potencial. En la Figura 2 se puede observar la estabilización del potencial de la muestra al medio de exposición.

Mediante la ecuación (4) y sustituyendo el valor de alguna de las pendientes de Tafel en la ecuación (5), se obtiene el punto de intersección de ambas pendientes, que representará el valor de la corriente de corrosión.

$$p = \frac{\eta}{i_t} = R_p \quad (4)$$

Donde, p es la pendiente y está expresada en $\frac{\Omega}{\text{cm}^2}$.

$$i_{corr} = \frac{b_a b_c}{2,3R_p(b_a + b_c)} \quad (5)$$



Polarización de la muestra desde -300 mV.
 Barrido de potencial constante: 2 mVs^{-1}
 Comportamiento de la muestra: catódico
 Tiempo de estabilización: 667 s – 1800 s
 Potencial de equilibrio: -521,77 mV.

Figura 2: Potencial de equilibrio (o estabilización) de la muestra de acero dúplex SAF 2304 expuesto a cloruro de sodio al 3,5 %.

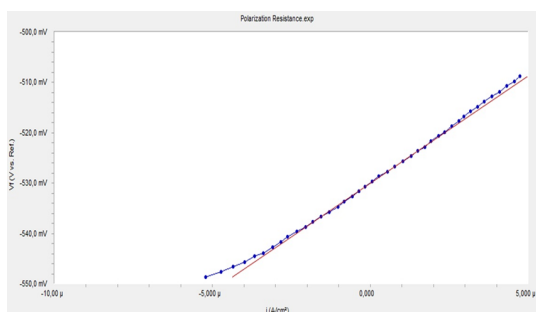


Figura 3: Curva de resistencia a la polarización del acero dúplex SAF 2304 expuesto a cloruro de sodio al 3,5 %.

Esto se realiza a través de la interfaz gráfica del software asociado al equipo utilizado para el desarrollo del ensayo. basado en los datos registrados por el procesador de cómputos del potencióstato Gamry reference 600, se grafica la curva de polarización lineal, de la cual se obtiene el valor de corriente de corrosión, donde el valor obtenido de la corriente de corrosión es igual a $i_{corr} = 60.10 \times 10^{-6} \text{ A/cm}^2$ (Figura 3).

3. Resultados y discusión

3.1. Pérdidas de peso

Las Tablas 2 y 3 presentan los pesos iniciales y finales de las muestras evaluadas, la pérdida de peso y las velocidades de corrosión obtenidas para cada uno de los ensayos realizados. También se muestran los valores de desviación estándar de la

pérdida de peso y velocidad de corrosión para cada uno de los ensayos.

Tabla 2: Pérdida de peso promedio para el acero dúplex SAF 2304, expuesto a 50 °C por 72 horas.

Muestra	Peso Inicial Winicial (g)	Peso Final Wfinal (g)	Pérdida de Peso W (g)
1	78,9912	77,5982	1,393
2	79,5047	78,0541	1,4506
3	79,3073	77,9260	1,3813
4	79,8003	78,2286	1,5717
5	79,9270	78,2600	1,6670
6	79,8748	78,4648	1,4100
Desviación Estándar de la pérdida de peso			0,1052
Pérdida de peso promedio W(g)			1,4789

En la Tabla 2 se observa que la probeta 5 es la que presenta la mayor pérdida de peso del grupo de muestras ensayadas, mientras que la probeta 3 es la que presentó menor pérdida de peso en este estudio, con un rango de 0,2857 g, esto posiblemente debido a discrepancias en la homogeneidad del material durante su proceso de solidificación y laminación. La pérdida de peso 1,4789 g y su desviación estándar de δ , es 0,1052.

3.2. Velocidad de Corrosión

Considerando que la velocidad de corrosión es una función de la pérdida de peso del material, se verifica mediante la Tabla 3 que la probeta 5 tiene la mayor velocidad de corrosión del grupo de muestras ensayadas, mientras que la probeta 3 es la que tiene menor velocidad de corrosión de todo el grupo del estudio. La velocidad de corrosión promedio del grupo de muestras es de 267,2667 mpy y su desviación estándar es de 18,9667.

En la Figura 4 se muestra la curva de comportamiento de la pérdida de peso para el acero dúplex SAF 2304, sometido a 50°C, se observa que el mayor rango de diferencia en los valores de pérdida de peso obtenidos se presenta entre las probetas 5 y 3, en donde la media entre ambos valores es de 0,2857 g. Al comparar los resultados de la velocidad de corrosión de cada una de las muestras de acero inoxidable dúplex SAF 2304, se obtuvo un resultado similar al de la pérdida de peso, en el cual el rango obtenido a partir de los valores

Tabla 3: Velocidad de corrosión promedio y desviación estándar para SAF 2304, expuesto a 50 °C.

Muestra	Velocidad de Corrosión (mpy)	Velocidad de Corrosión Promedio (mpy)	Desviación estándar
1	251,6890	267,26667	18,9667
2	262,0962		
3	249,8822		
4	283,9767		
5	301,1956		
6	254,7606		



Figura 4: Curva de pérdida de peso de las muestras de acero dúplex 2304, expuestas a 50 °C

máximo y mínimo de las muestras en estudio se presenta entre las probetas 5 y 3, y es igual a 51,3134 mpy, y en donde a partir del coeficiente de variación se determinó que la variación en el caso de la pérdida de peso es mayor al obtenido para la velocidad de corrosión, esto concluye que la dispersión en los valores de la pérdida de peso tienen una leve diferencia a los obtenidos para la velocidad de corrosión, debido que el peso se obtuvo en forma experimental y la velocidad de corrosión se calculó por la ecuación [2].

Como se pudo observar en las Figuras 4 y 5 existe una diferencia considerable entre las muestras 3 y 5 con respecto al valor promedio, esto se debe a discrepancias en las propiedades del material, posteriormente será evaluada la homogeneidad de

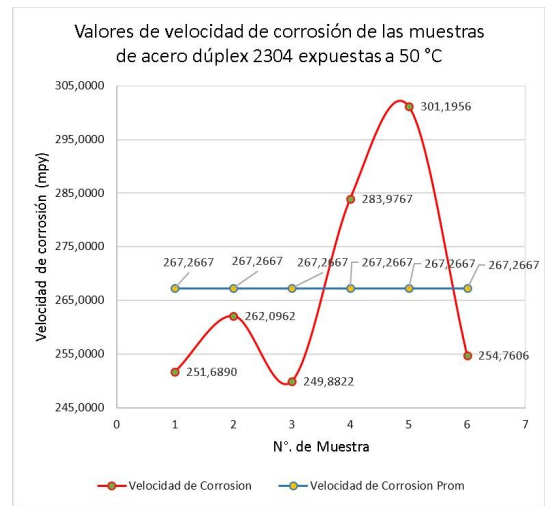


Figura 5: Curva de velocidad de corrosión de las muestras de acero dúplex 2304, expuestas a 50 °C

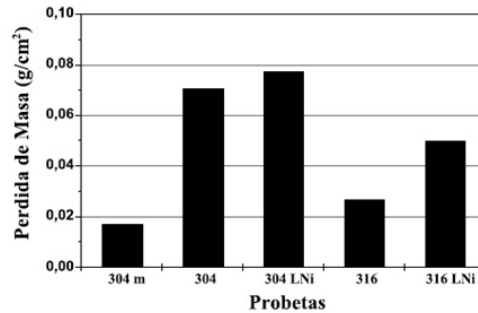


Figura 6: Pérdida de masa de un grupo de muestras de acero inoxidable sometidas a un medio corrosivo de cloruro férrico al 6,5 %, expuestas a a 50 °C

la microestructura.

Los resultados del presente estudio son comparados con la investigación realizada por Otero [1], en donde se evaluó la pérdida de masa mediante un ensayo de picadura utilizando la norma ASTM G 48-00 [9] para un grupo de muestras de acero inoxidable, de las cuales se obtuvieron los resultados mostrados en la figura 6.

Se puede observar como la relación de la velocidad de corrosión del acero inoxidable dúplex SAF 2304 con la de los otros aceros inoxidables estudiados por Otero [1], posee un resultado análogo a lo obtenido en el caso de la pérdida de peso, en donde el valor más aproximado de la velocidad de corrosión que se obtuvo para el acero inoxidable dúplex SAF 2304 lo presentaba el acero

inoxidable 316 LNi. Esto le da cierta relevancia al contenido de níquel en el acero inoxidable, para la resistencia a la picadura en medios clorurados.

Tabla 4: Comparación entre los valores pérdida de masa y velocidad de corrosión del acero inoxidable dúplex 2304 con los aceros inoxidables estudiados por Otero [1].

Material	W (g/cm ²)	V _C (mpy)
Acero inoxidable dúplex SAF 2304 (%C= 0,03 ; %Mn = 2,5)	0,0440	267,2667
Acero inoxidable 304 M (%C=0,022 ; %Mn=0,18)	0,0166	100,0766
Acero inoxidable 304 (%C= 0,049 ; %Mn=0,22)	0,0700	420,3216
Acero inoxidable 304 LNi (%C= 0,0,081 ; %Mn =10,59)	0,0775	465,3561
Acero inoxidable 316 (%C= 0,021 ; %Mn =1,28)	0,0250	150,1149
Acero inoxidable 316 LNi (%C= 0,024 ; %Mn = 8,02)	0,0500	300,2297

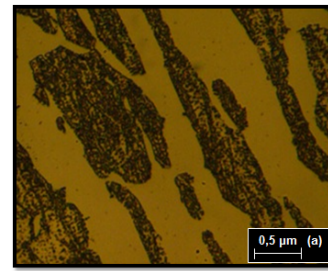
W: Pérdida de masa
V_C: Velocidad de corrosión

En la Tabla 4, se observa como el acero inoxidable 304 (a pesar de tener alto contenido de níquel) muestra una mayor pérdida de peso y una rápida velocidad de corrosión, el cual lleva analizar los demás porcentajes en peso de los aleantes presentes. En correlación a las Tablas 3 y 4, y además comparando a los materiales que tienen mayor pérdida de masa con su composición química en % de peso de los aleantes, se observa que tanto el Carbono (C) como el Manganeso (Mn) tienen altos valores para el 304 y el 304 LNi, siendo más determinante el Carbono por que el 316 LNi a pesar de tener un valor alto de contenido del Manganeso la pérdida de masa no es tan alta como la del 304 y 304 LNi.

3.3. Evaluación Microestructural

3.3.1. Muestras Condición Original

En la Figura 7a, se muestra la microestructura del material original del acero dúplex SAF 2304, formada por ferrita (zonas oscuras) y austenita (zonas claras).



(a) Condición original 400x.



(b) Sección longitudinal sometido a 50°C 400x.



(c) Sección transversal sometido a 50°C 400x.

Figura 7: Microscopia óptica acero dúplex SAF 2304.

3.3.2. Muestras de acero inoxidable dúplex 2304 sometidas a 50°C

En las Figuras 7b y 7c se puede apreciar como las muestras de acero dúplex SAF 2304 (tanto en su sección longitudinal como transversal respectivamente), presentan intercaras fases austenita-ferrita bien definidas, con una posible precipitación de los carburos de cromo.

En la Figura 7c se puede observar además un proceso de deformación plástica en donde se ve claramente una distribución grosera o basta, en la microestructura de las fases austenita-ferrita, esto posiblemente debido a un descontrol durante la solidificación y laminación del material, hecho que a su vez incide en los resultados obtenidos para la pérdida de peso y velocidad de corrosión, en

donde se evidenció la presencia de heterogeneidad en el material, lo que explica la discrepancia en estos resultados al comparar las muestras 3 y 5 del ensayo.

3.4. Análisis Macroscópico de las muestras de aceros inoxidable dúplex SAF 2304

Se realizó un estudio de las muestras utilizando imágenes tomadas con el microscopio óptico con un aumento máximo de 10X.

3.4.1. Vista Transversal

En la Figura 8a se puede apreciar la formación de una capa de óxido, la cual presentó corrosión localizada con una mayor densidad de picaduras profundas que se presentaban hacia la zona del borde de la muestra, y con una gran pérdida de material en algunas áreas del borde como se observa en la Figura 8b. En la Figura 8a además podemos observar la formación de micro-hoyuelos en gran parte de la superficie de la muestra. En la Figura 9a se puede observar la formación de una película de óxido, con picaduras causadas por la corrosión localizada (figura 9b), con agujeros de gran profundidad y una significativa pérdida de material. En la Figura 9a también se aprecia la formación de ranuras profundas a lo largo de la superficie.

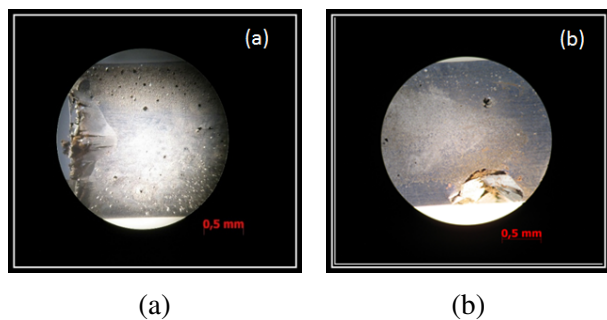


Figura 8: Imágenes macro (sección transversal) a un aumento de 10X de las muestras de acero inoxidable dúplex SAF 2304 sometido a 50°C.

3.4.2. Vista longitudinal

En la Figura 8 se pueden observar un ataque generalizado en toda la superficie, con formación de la capa de óxido y picaduras de gran profundidad

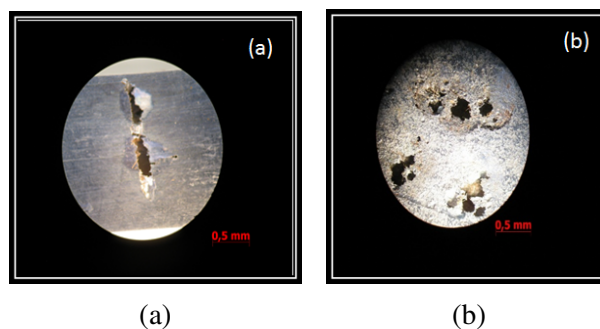


Figura 9: Imágenes (sección transversal) a un aumento de 10X de las muestras de acero inoxidable dúplex SAF 2304 sometido a 50°C.

como las que se aprecian en la Figura 10a. En la Figura 10b se observan picaduras en el borde que coinciden con una ranura en la cara transversal.

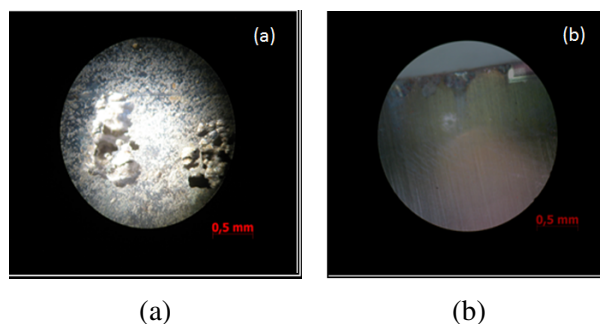


Figura 10: Imágenes (sección longitudinal) a un aumento de 10X de las muestras de acero inoxidable dúplex SAF 2304 sometido a 50°C.

3.5. Índice equivalente de resistencia a la picadura, PRE (Pitting Resistance Equivalent)

Al calcular el índice PRE, ecuación (6) para el acero inoxidable dúplex SAF 2304, el cual es igual a 24, y se comparó con los resultados obtenidos por Otero [1] para los distintos tipos de aceros inoxidables usados durante el estudio, se aprecia en la Figura 11.

$$PRE = \%Cr + 3,3(\%Mo) + 16(\%N) \quad (6)$$

Donde,

PRE = índice de corrosión por picaduras.

%Cr = porcentaje en peso de Cromo.

%Mo = porcentaje en peso de Molibdeno.

%Ni = porcentaje en peso de Nitrógeno.

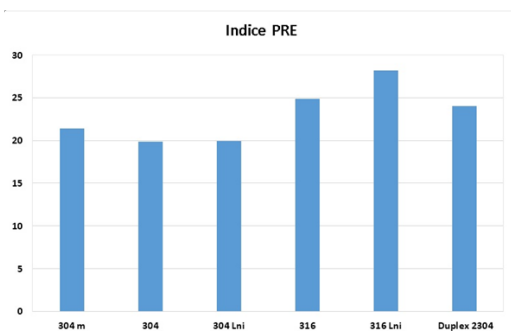


Figura 11: Comparativa del Índice equivalente de resistencia a la picadura del acero inoxidable dúplex SAF 2304, con los estudiados por Otero [1].

El índice *PRE* en este caso para el acero inoxidable dúplex SAF 2304 resulta ser similar a los aceros inoxidables 316 y 316 LNi, con valores de 24,9 y 28,156 respectivamente, esto demostró que aunque hay discrepancias en los resultados, por las significativas variaciones del contenido de molibdeno en algunos aceros (hecho que impacta de forma considerable el valor del *PRE*), se evidenció la influencia en el contenido de níquel para los aceros inoxidables en la resistencia a la corrosión por picadura en medios clorurados.

3.6. Microdureza Vickers (HV)

En la Tabla 5 se muestran los valores de microdureza Vickers para el acero dúplex SAF 2304 en su condición original y luego de ser expuesto al medio corrosivo respectivamente.

De los valores obtenidos en la Tabla 5 se puede observar que existe una disminución en la dureza del material acero inoxidable dúplex SAF 2304 para ambas fases (Ferrita y Austenita) luego de ser sometido al cloruro férrico al 6 % de concentración a 50 °C, y al comparar los valores máximos y mínimos obtenidos en los promedios de las muestras se puede observar una diferencia de hasta un 65 % para la fase Ferrita y de 70 % para la Austenita de disminución en la microdureza.

Tabla 5: Microdureza Vickers, HV con 25 g, 5 seg, para acero inoxidable Dúplex 2304.

Probeta	Microdureza Vickers promedio HV (Kg/mm ²)	
	Ferrita, α	Austenita, γ
Original	310,80	361,60
MLA	184,20	211,80
MTA	213,00	271,00
MLB	181,40	239,40
MTB	241,00	298,80

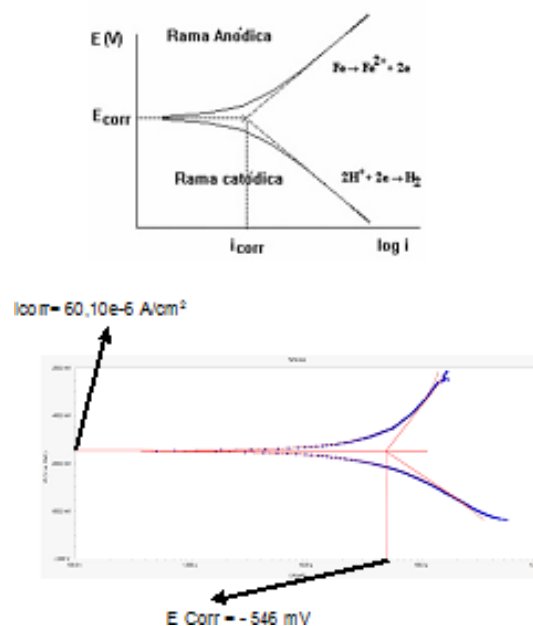


Figura 12: Curvas de Tafel anódicas y catódicas del acero dúplex SAF 2304 expuesto a cloruro de sodio al 3,5 %.

3.7. Resistencia a la polarización para el acero dúplex SAF 2304 expuesto a cloruro de sodio al 3,5 %

Aplicando el método de las pendientes de Tafel, en donde se polariza la muestra a un potencial de circuito abierto de ± 300 mV respecto al potencial de equilibrio con una velocidad de barrido de 2 mV s⁻¹. Graficando las curvas de Tafel (Figura 12) mediante la ecuación (4) y extrapolando ambas funciones (anódicas y catódicas) representándolas como una función del potencial respecto a la corriente de corrosión, es decir $\eta = f(\log i_t)$, se obtienen las pendientes de Tafel (ecuaciones (4) y (5)).

El valor de la velocidad de corrosión se pudo obtener aplicando las leyes de Faraday, en donde $V_{corr} = 27,53$ mpy.

Los datos obtenidos durante el ensayo fueron capturados mediante los electrodos que componen el experimento, los cuales son los que permitieron procesar las diferentes variaciones de voltaje y amperaje, y así obtener la interpretación de los resultados mediante el software utilizado para graficar las curvas. En la Tabla 6 podemos observar los resultados finales del ensayo.

Tabla 6: Potencial y velocidad de corrosión del acero dúplex SAF 2304 expuesto a cloruro de sodio al 3,5 %, sometido a 22 °C.

Muestra de acero dúplex SAF 2304	
E _{corr}	-546,0 mV
I _{corr}	60.10×10^{-6} A/cm ²
R _p	4.274×10^{-3} Ω cm ²
V _{corr}	27,53 mpy
b _a	1.000×10^{15} V/década
b _c	676.1×10^{-3} V/década

El valor que se obtuvo de la pendiente anódica resultó ser muy alto, lo cual pudiera sugerir un proceso de corrosión controlado por pasivación, que corresponde con los resultados obtenidos en los ensayos de picadura, donde se observó la formación de películas pasivas sobre las superficies de las muestras ensayadas, sobre todo por las caras transversales donde se pudo apreciar un proceso de corrosión localizada con presencia de una gran cantidad de picaduras y pérdida de material.

Al comparar estos valores con los obtenidos para el acero inoxidable dúplex 2304, en donde la pérdida de masa para el dúplex SAF 2304 fue de 1,4789 g x 34 cm² (es decir 0,044 g/cm²), se puede observar que presenta un valor semejante al del acero inoxidable 316 LNi, este resultado corresponde con los contenidos de níquel en ambos aceros (donde para el caso de acero inoxidable dúplex SAF 2304 es de 4,25 % y para el del acero inoxidable 316 LNi es de 6,04 %), y esto se traduce en la influencia que representa el contenido de níquel para la resistencia a la picadura de los aceros inoxidables en medios clorurados.

3.8. Análisis General

Ambos ensayos proponen diferentes comportamientos para el acero dúplex SAF 2304, en donde en el caso del ensayo de corrosión por picadura se refleja una mayor degradación el material al medio clorurado en exposición con respecto al ensayo de polarización. Como se pudo observar para el ensayo de corrosión por picadura el material presentó una pérdida de peso promedio de 1,4789 g y una elevada velocidad de corrosión promedio de 267,2667 mpy, en comparación el material alcanzó una velocidad de corrosión promedio de 27,53 mpy durante el ensayo de polarización. Esto resultados demuestran que aunque en ambos ensayos se evidenció un proceso de corrosión controlado por pasivación, en el caso del ensayo de picadura el acero dúplex 2304 presentó un mayor deterioro microestructural localizado en las intercaras fases austenita-ferrita, como lo demostraron las imágenes (Figuras 5 y 6) obtenidas en la microscopía óptica, esto debido principalmente al bajo contenido de níquel presente en este acero.

En el caso de la desviación estándar se puede observar, que en la pérdida de peso se presentó la mayor variación, esto es debido posiblemente a discrepancias en la homogeneidad del material, ocurrido durante el proceso de laminación, causando que la pérdida de peso en algunas muestras fuese significativamente mayor respecto a otras.

4. Conclusiones

El acero inoxidable dúplex SAF 2304 sometido a una temperatura de 50 °C en cloruro férrico al 6 % de concentración durante 72 horas presentó una pérdida de peso promedio de 1,4789 g.

La velocidad de corrosión promedio del grupo de muestras de acero inoxidable dúplex SAF 2304 es de 267,2667 mpy, este valor ofrece una buena resistencia a la corrosión por picadura, ya que no es tan rápida su velocidad de corrosión en comparación con los aceros inoxidables estudiados por Otero [1] y expuesto en la Tabla 4.

A través del análisis microestructural se determinó que el acero inoxidable está conformado por

microestructura bifásica compuesta de austenita y ferrita y donde se evidenció corrosión localizada y por picadura a través del análisis macroscópico.

En el caso del acero dúplex SAF 2304 la pérdida de peso es $0,044 \text{ g/cm}^2$ siendo similar a la obtenida para el acero inoxidable 316 LNi, por Otero [1] en su trabajo de investigación donde la pérdida de peso fue de $0,050 \text{ g/cm}^2$, se determina que el dúplex SAF 2304 ofrece una mejor alternativa en bajo costo manteniendo una buena resistencia a la corrosión por picadura debido a que su % en peso del Níquel que contiene es del 4% menor al del 316 LNi que es del 6,04%.

Se puede evidenciar que el contenido de Níquel influye en la resistencia a la corrosión por picadura para los aceros inoxidables expuestos a medios clorurados, sin embargo el % en peso del Níquel no es determinante, ya que otros elementos químicos como el Carbono y Manganeso provocan que esta resistencia disminuya aumentando su pérdida de masa y velocidad de corrosión.

Aunque no se puede comparar los resultados obtenidos para el cálculo de la velocidad de corrosión en el caso del ensayo de picadura con el del ensayo polarización, ambos ensayos demuestran la presencia de un proceso de corrosión controlado por pasivación, con la formación de una capa de óxido, en donde en el caso electroquímico de del ensayo de picadura se evidenció mediante la microscopía óptica el proceso de degradación microestructural localizado en las intercaras fases austenita-ferrita.

5. Referencias

- [1] E. Otero, M. V. Utrilla, A. Urena, and C. J. Munez. Influencia de la composición química en la resistencia a la corrosión por picadura de los aceros inoxidables. *Boletín de la Sociedad Española de Cerámica y Vidrio*, 43(2):190–192, 2004.
- [2] Laureano Soria Conde. *Medida de la susceptibilidad a la corrosión por picaduras de los aceros inoxidables austeníticos*. Tesis Doctoral, Universidad de Sevilla, España, 1988.
- [3] E. R. Ruiz, R. S. Stampella, and C. M. Méndez. Evaluación del ataque corrosivo localizado en aceros inoxidables de alto cromo expuestos a medios oxidantes clorurados. *Revista de Ciencia y Tecnología*, (4b):61–67, 2002.
- [4] Walter Moreira Lima. *Materiales compuestos de matriz acero inoxidable austenítico reforzado con intermetálicos: comportamiento mecánico, a corrosión y desgaste*. Tesis Doctoral, Universidad Carlos III de Madrid, España, 1999.
- [5] Laura Molina Pérez. Estudio avanzado de corrosión: Análisis del estado de corrosión de un edificio modernista de barcelona y estudio de mecanismos de protección basados en recubrimientos orgánicos. Trabajo final de carrera, Universitat Politècnica de Catalunya, España, 2011.
- [6] Consejo Superior de Investigaciones Científicas (España). *Corrosión y protección metálicas*, volume 1. Editorial CSIC-CSIC Press, 1991.
- [7] Adrián Sánchez García. Montaje y puesta a punta de un potencióstato comercial para llevar a cabo medidas de corrosión electroquímica. Trabajo Especial de Grado, Universidad Carlos III de Madrid, España, 2009.
- [8] Jesús García and Omar Guzmán. Evaluación de la resistencia a la corrosión por picadura del acero inoxidable dúplex SAF 2304. Trabajo Especial de Grado, Escuela de Mecánica, Facultad de Ingeniería, Universidad de Carabobo, Venezuela, 2015.
- [9] ASTM G48 - 03(2009), standard test methods for pitting and crevice corrosion resistance of stainless steels and related alloys by use of ferric chloride solution, 2009.
- [10] ASTM Designation: G 5 - 87, standard reference test method for making potentiostatic and potentiodynamic anodic polarization measurements, 1987.
- [11] ASTM G31-72(2004), standard practice for laboratory immersion corrosion testing of metals, 2004.
- [12] ASTM E384 - 11e1(2011), standard test method for knoop and vickers hardness of materials, 2011.
- [13] Florian Mansfeld and Martin Kendig. Technical note: Concerning the choice of scan rate in polarization measurements. *CORROSION*, 37(9):545–546, 1981.

Extraction optimal conditions evaluation in regenerative steam power plants by a computational tool

Vanessa Hurtado^a, Alejandro Bolívar^b y Ángel D. Almarza^{*b}

^a*Departamento de Térmica y Energética, Escuela de Ingeniería Mecánica, Facultad de Ingeniería, Universidad de Carabobo, Valencia, Venezuela.*

^b*Departamento de Computación, Dirección de Estudios Básicos, Facultad de Ingeniería, Universidad de Carabobo, Valencia, Venezuela.*

Abstract.- Steam power plants are widely used to supply the world's energy demand. Improvement in the efficiency of such systems has been studied from different perspectives as adjustments in cycle operation scheme, including the analysis of use of different working fluids, and materials of the equipment involved. Thus, regenerative steam power plants allow an improvement in efficiency by the reduction of the system heat demand. In this sense, a computational tool is proposed to determinate in regenerative cycles optimal extraction conditions, at first, thermal calculations associated with each of the elements of the system and estimation of thermodynamic properties required for this, in order to obtain the graphical and analytical behavior of the decrease in the heat demand of the cycle with respect to heating suffered by the water fed to the boiler, which is closely linked to the conditions of the extraction taken for the regenerator, which in turn are related with the improvement in the thermal efficiency of the cycle.

Keywords: regenerative rankine cycle; optimization; decrease in heat demand.

Evaluación de las condiciones óptimas de extracción en plantas de potencia a vapor regenerativas por medio de una herramienta computacional

Resumen.- Las centrales termoeléctricas a vapor son ampliamente utilizadas para suplir la demanda energética mundial. La mejora en la eficiencia de este tipo de sistemas ha sido estudiada desde diversas perspectivas, como lo son ajustes en el esquema de operación del ciclo, incluyendo el análisis de uso de distintos fluidos de trabajo, y de materiales de los equipos involucrados. Así, las plantas de potencia a vapor regenerativas permiten obtener una mejora en la eficiencia a partir de la disminución de la demanda de calor en el sistema. En este sentido, se propone una herramienta computacional por medio de la cual se determinan las condiciones óptimas de extracción en ciclos regenerativos, tomando como punto de partida los cálculos térmicos asociados a cada uno de los elementos del sistema y la estimación de las propiedades termodinámicas requeridas para ello, a los fines de obtener el comportamiento gráfico y analítico de la disminución de la demanda de calor del ciclo con respecto al calentamiento sufrido por el agua de alimentación a la caldera, que está estrechamente vinculado a las condiciones de la extracción tomada para el regenerador, que a su vez están relacionadas con la mejora en la eficiencia térmica del ciclo.

Palabras claves: ciclo rankine regenerativo; optimización; disminución de demanda de calor.

Recibido: abril 2018

Aceptado: junio 2018

1. Introducción

Las centrales termoeléctricas son ampliamente utilizadas y prácticamente las responsables del

80 % de la producción mundial de electricidad. Así, este tipo de plantas producen cerca del 91 % de la demanda energética de Estados Unidos y el 78 % de la de Europa [1] y se prevé un incremento del 70 % en la demanda mundial de energía eléctrica para el año 2035 [2], lo cual justifica la pertinencia de éste tipo de sistemas, sin dejar de reconocer los esfuerzos realizados en materia de energías renovables.

Dentro de este contexto, el comportamiento de

*Autor para correspondencia: Ángel D. Almarza
adalmarza@gmail.com

la eficiencia de las centrales térmicas a vapor ha sido objeto de análisis desde diversas perspectivas, encontrándose entre las opciones más comunes para mejorarlo, el uso del recalentamiento y la regeneración. Sin embargo, de acuerdo con Wang y otros [3], aún son muy complejos e incluso escasos los estudios específicos de optimización del esquema regenerativo en el ciclo Rankine.

Así, Rashidi y otros [4], evalúan para condiciones específicas, la relación ente parámetros de operación del ciclo regenerativo, como lo son la presión de condensación y la presión de los calentadores con la eficiencia térmica del mismo, a través del estudio de la primera y segunda ley en este tipo de sistemas. Por otro lado, Vianna y otros [5], han enfocado el análisis de minimización del consumo de combustible, y costos de operación y mantenimiento en plantas de potencia a vapor, desde otra perspectiva, a través de modelos de programación lineal. Paralelamente, se han llevado a cabo evaluaciones desde el punto de vista técnico y económico de la incorporación de recalentamiento y regeneración, como una forma de aumentar la eficiencia de los sistemas energéticos en contextos específicos como el sector azucarero [6].

En tal sentido, con la intención de analizar el efecto de las condiciones de operación de extracción en ciclo Rankine regenerativo y determinar de forma automática la presión óptima de operación del regenerador, que está vinculada a mejores valores de eficiencia energética, queda planteada la meta del presente trabajo. Este estudio, propone el diseño y desarrollo de una herramienta computacional, lo cual requiere el análisis de los cálculos térmicos respectivos, partiendo de un ciclo Rankine simple e incorporando las adaptaciones asociadas a la regeneración con un único calentador, tomando también en consideración, la determinación de los estados y propiedades termodinámicas correspondientes asociadas al uso de tablas y gráficos cuyo manejo puede ser engorroso [7]. Lo cual permite al usuario disponer de las curvas que muestran el comportamiento de la disminución de la demanda de calor y la mejora de la eficiencia térmica, la expresión analítica de la función que representa dicho comportamiento; así

como también, los valores tabulados que permiten obtener tales relaciones.

2. Desarrollo de la investigación

La investigación realizada consta de las siguientes fases:

2.1. Fase I: Estudio del comportamiento térmico del ciclo

La evaluación del comportamiento térmico del ciclo Rankine, entendido como el ciclo termodinámico que describe las interacciones de los componentes básicos de una central térmica a vapor [8], tiene como punto de partida la aplicación del balance de masa y energía, la segunda ley de la termodinámica interpretada desde el concepto de eficiencia y la determinación de las propiedades termodinámicas respectivas.

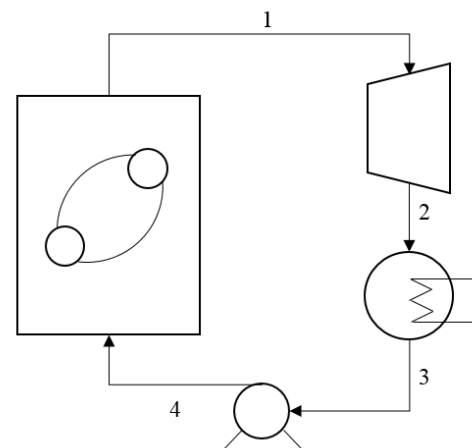


Figura 1: Ciclo Rankine Simple

En ese sentido, en un ciclo Rankine ideal simple, como el mostrado en la Figura 1, el fluido de trabajo experimenta, cuatro procesos considerados internamente reversibles, los cuales son:

1–2: Expansión adiabática y reversible del fluido de trabajo a través de la turbina, desde la presión de operación de la caldera hasta la de operación del condensador.

2–3: Transferencia de calor desde el fluido de trabajo hacia un fluido de enfriamiento a presión constante, en un condensador.

3-4: Compresión adiabática y reversible a partir de líquido saturado en la bomba.

4-1: Transferencia de calor hacia el fluido de trabajo a presión constante, en una caldera.

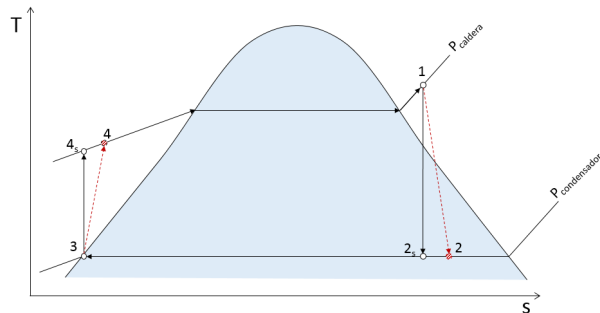


Figura 2: Diagrama T-s de un Ciclo Rankine Simple

Es de hacer notar que, son diversas las pérdidas e irreversibilidades presentes en cada uno de los procesos descritos. En tal sentido, se toman en consideración los efectos de éstas sobre el proceso de bombeo y expansión, a través de las eficiencias isoentrópicas. Parámetros que estiman la desviación existente entre el trabajo real y el isoentrópico, asociado al funcionamiento de dichos equipos, tal como queda evidenciado en las trayectorias de los procesos de la Figura 2.

Así, el parámetro que permite evaluar la utilización del calor y su transformación en energía útil, conocido como eficiencia térmica del ciclo Rankine, queda según la Ecuación (1)

$$\eta = \frac{W_{neto}}{Q_{entrada}} \quad (1)$$

donde:

W_{neto} : Trabajo neto del ciclo [kJ/kg],

$Q_{entrada}$: Calor Transferido al fluido de trabajo [kJ/kg].

La regeneración es implementada con la intención de aumentar el rendimiento térmico de las centrales térmicas a vapor, concepto que ha sido ampliamente aceptado en diversos sistemas térmicos aprovechando intercambiadores de calor de alto rendimiento, que operan con fuentes de energía a temperaturas relativamente bajas lo cual mejora la eficiencia notablemente [9]. Así, la regeneración, entendida como el precalentamiento

del agua de alimentación a la caldera [8], supone una minimización de la demanda de energía en este equipo, teniendo en cuenta una compensación por el pequeño descenso en el trabajo neto producido.

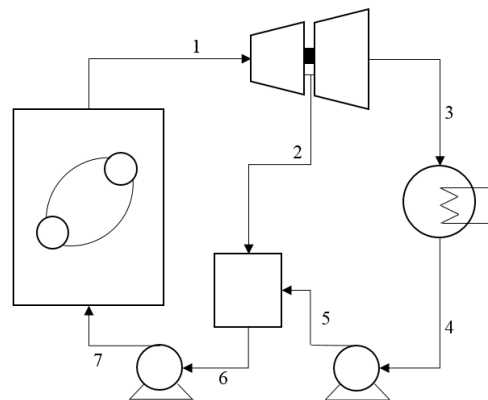


Figura 3: Ciclo Rankine regenerativo

El esquema de la Figura 3, muestra un ciclo Rankine regenerativo, que emplea un calentador de agua de alimentación abierto, donde el vapor que sale de la caldera, es sometido a una primera fase de expansión e inmediatamente después, una fracción del flujo másico total es extraída a ciertas condiciones para emplearlo como medio de calentamiento en el regenerador. El resto del fluido, una vez ha ocurrida la extracción, sufre una segunda expansión, hasta la presión de operación del condensador, de donde se obtiene líquido saturado, que es impulsado, por medio de una bomba hacia el calentador, en donde se mezcla con la extracción. La mezcla resultante, en condiciones de líquido saturado, se comprime hasta la presión de operación de la caldera. La Figura 4 muestra el comportamiento de las trayectorias de los procesos descritos.

En este sentido, las condiciones óptimas de operación de un ciclo Rankine regenerativo con una sola extracción están vinculadas con mayores valores de eficiencia térmica o interpretado de otro modo, con la mayor minimización de la demanda de energía por calor en la caldera. Para conseguir dichas condiciones, es fundamental el análisis del proceso a través del diagrama de Mollier (h-s), mostrado en la Figura 5, que permite visualizar

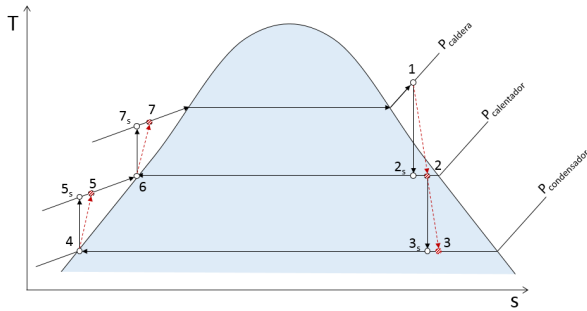


Figura 4: Diagrama T-s Ciclo Rankine regenerativo

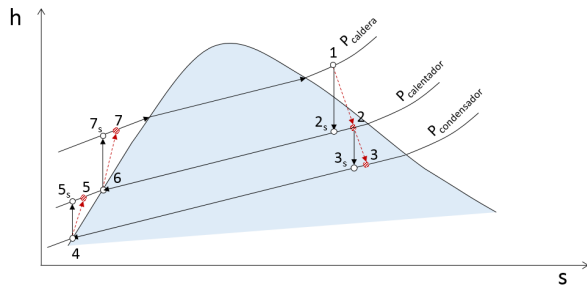


Figura 5: Diagrama h-s Ciclo Rankine regenerativo

paralelamente lo que ocurre desde la perspectiva de la primera y segunda ley de la termodinámica.

Así, el efecto que podría producir la regeneración sobre la demanda de calor, para una misma salida de trabajo neto, referida a la de un ciclo operando en forma simple entre las mismas presiones de operación de la caldera y el condensador, respectivamente; puede analizarse, por medio de la aplicación del balance de energía, según la Ecuación (2)

$$\dot{m}_{opsimple} \cdot (h_1 - h_3) = \dot{m}_{opreg} \cdot (h_1 - h_2) + (\dot{m}_{opreg} - \dot{m}_{ext}) \cdot (h_2 - h_3), \quad (2)$$

donde:

$\dot{m}_{opsimple}$: Flujo másico de operación del ciclo Rankine simple [kg/s];

\dot{m}_{mopreg} : Flujo másico de operación del ciclo Rankine regenerativo [kg/s];

\dot{m}_{moext} : Flujo másico de la extracción en el ciclo regenerativo [kg/s].

Al reordenar la Ecuación (2), da como resultado

la Ecuación (3)

$$\dot{m}_{opsimple} = \dot{m}_{opreg} \cdot \dot{m}_{ext} \left[1 - \frac{(h_1 - h_2)}{(h_1 - h_3)} \right], \quad (3)$$

por medio del balance de energía en el calentador, resulta la Ecuación (4)

$$\dot{m}_{ext} \cdot h_2 + (\dot{m}_{opreg} - \dot{m}_{ext}) \cdot h_5 = \dot{m}_{opreg} \cdot h_6, \quad (4)$$

la Ecuación (4) puede reescribirse para obtener la Ecuación (5)

$$\dot{m}_{ext} = \dot{m}_{opreg} \frac{(h_6 - h_5)}{(h_2 - h_5)}. \quad (5)$$

Al sustituir la Ecuación (5) en la Ecuación (3), resulta la expresión para la relación de flujos de operación del ciclo regenerativo y el ciclo simple, según la Ecuación (6)

$$\frac{\dot{m}_{opreg}}{\dot{m}_{opsimple}} = \frac{(h_2 - h_5)}{\left[(h_2 - h_6) + \left[(h_6 - h_5) \cdot \frac{(h_1 - h_2)}{(h_1 - h_3)} \right] \right]}. \quad (6)$$

Paralelamente, la disminución de calor de entrada al ciclo, como producto de la incorporación de la regeneración está en la Ecuación (7)

$$\begin{aligned} DDC &= \frac{Q_{simple} - Q_{reg}}{Q_{simple}} \\ &= 1 - \frac{Q_{reg}}{Q_{simple}}. \end{aligned} \quad (7)$$

donde:

DDC : Disminución de la demanda de calor [%].

Q_{simple} : Calor de entrada al Ciclo Rankine Simple [kJ].

Q_{reg} : Calor de entrada al Ciclo Rankine regenerativo [kJ].

(2) Al estimar los calores a través de balance de energía y sustituyendo en la Ecuación (7), resulta la Ecuación (8)

$$DDC = \left[1 - \frac{\dot{m}_{opreg}}{\dot{m}_{opsimple}} \cdot \frac{h_1 - h_7}{h_1 - h_a} \right] \cdot 100, \quad (8)$$

donde h_a , representa la entalpía de la corriente de entrada a la caldera, suponiendo un ciclo Rankine simple operando entre las presiones máxima y mínima del ciclo regenerativo.

Por otro lado, el cálculo del porcentaje de incremento en la eficiencia térmica del ciclo, al incorporar la regeneración, está en la Ecuación (9)

$$I\eta = \left[\frac{\eta_{reg} - \eta_{simple}}{\eta_{simple}} \right] \cdot 100, \quad (9)$$

donde

$I\eta$: Incremento en la eficiencia [%].

η_{reg} : Eficiencia Térmica del ciclo regenerativo.

Para expresar la eficiencia del ciclo regenerativo por la Ecuación (10)

$$\eta_{reg} = \frac{(h_1 - h_2) + \left[\left(1 - \left(\frac{h_6 - h_5}{h_2 - h_5} \right) \right) \cdot h_2 - h_3 \right]}{(h_1 - h_7)}. \quad (10)$$

2.2. Fase 2: Diseño de la herramienta computacional para la estimación de la determinación de la presión óptima de extracción

Una vez establecidos los modelos matemáticos correspondientes al análisis térmico del ciclo Rankine regenerativo con una sola extracción, fueron estructurados los módulos de cálculo respectivos y la organización operativa de la herramienta computacional.

Así, la Figura 6 muestra los elementos que constituyen la herramienta, especificando como requerimiento para efectuar la determinación de las condiciones óptimas de la extracción, los datos de entrada definidos por el usuario, que son: la presión de operación de la caldera, la temperatura de entrada a la turbina y la presión de operación del condensador, junto a las eficiencias isoentrópicas de la turbina. Es de hacer notar que, para los efectos del cálculo de la eficiencia térmica del ciclo, se consideró despreciable el trabajo consumido por las bombas.

Paralelamente, fueron definidos los módulos que constituyen el proceso a partir del cual son obtenidos los resultados. Siendo necesario disponer de las propiedades termodinámicas del fluido de trabajo, a los fines de incorporar la estimación de las mismas. Para luego, de forma secuencial y haciendo un barrido de la presión de operación del calentador asociado a la extracción, entre los valores de presión máxima y mínima del ciclo, efectuar la determinación de la disminución

de la demanda de calor y la eficiencia térmica del mismo.

Todo lo cual, queda plasmado en una representación gráfica que muestra el comportamiento de la disminución porcentual de calor demandado por el ciclo en relación al calentamiento sufrido por el agua de alimentación de la caldera, debido a la extracción tomada del proceso de expansión.

2.3. Fase 3: Desarrollo de la herramienta

La estructura de una herramienta computacional está caracterizada por la implementación del paradigma de programación orientada a objetos, en lenguaje Java, lo cual permite obtener un producto de software portable, desde el punto de vista de sistema operativo.

La herramienta cuenta con un apartado para la estimación de propiedades termodinámicas tanto en la región de líquido comprimido, como de saturación y de vapor sobrecalentado, según sea el caso, cada una de ellas con sus respectivas estructuras de datos para el manejo lógico de la información. En segundo lugar, están los métodos de soporte, que permiten disponer de mecanismos para realizar operaciones a través de procedimientos estándares, para predecir el comportamiento matemático de la función y la determinación de su respectiva expresión analítica, incluyendo el cálculo de los coeficientes de una regresión polinomial de orden n , la solución de un sistema de ecuaciones lineales a través del método iterativo Gauss–Seidel, y por último la determinación de las raíces de un polinomio a través del método de división sintética de Newton. Para finalizar, fueron conformadas las distintas ventanas que integran la herramienta, asumiendo mecanismos de validación de entrada de datos, y la presentación de resultados tanto de forma gráfica como tabulada y las respectivas expresiones analíticas obtenidas.

3. Presentación y discusión de resultados

Siguiendo las fases de investigación planteadas, la interfaz gráfica cuenta con una ventana inicial, de acuerdo a la Figura 7. Donde el usuario debe suministrar los datos de entrada con los cuales

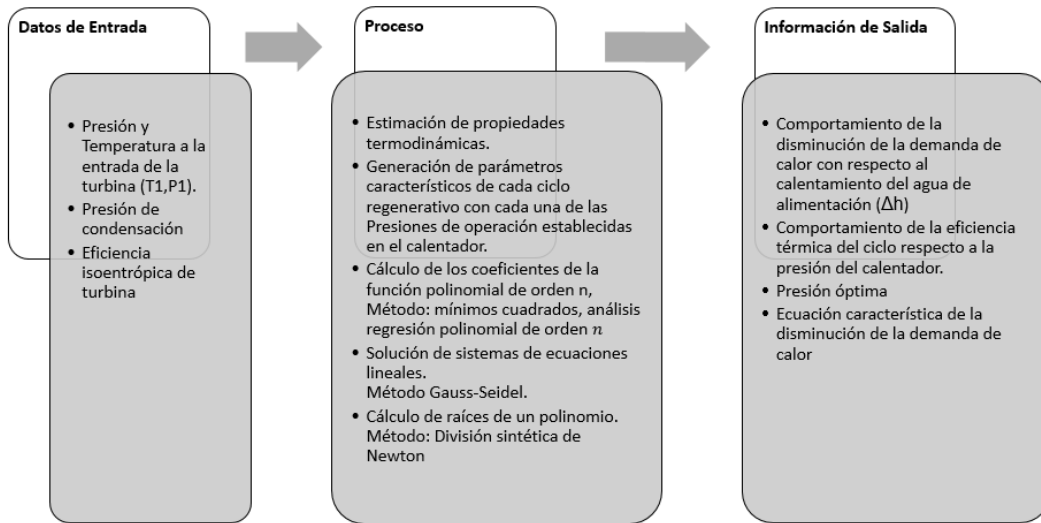


Figura 6: Elementos de diseño de la herramienta computacional

se realizan los cálculos térmicos respectivos, que dan lugar al análisis del proceso objeto de estudio y a la determinación de la presión óptima de la extracción.

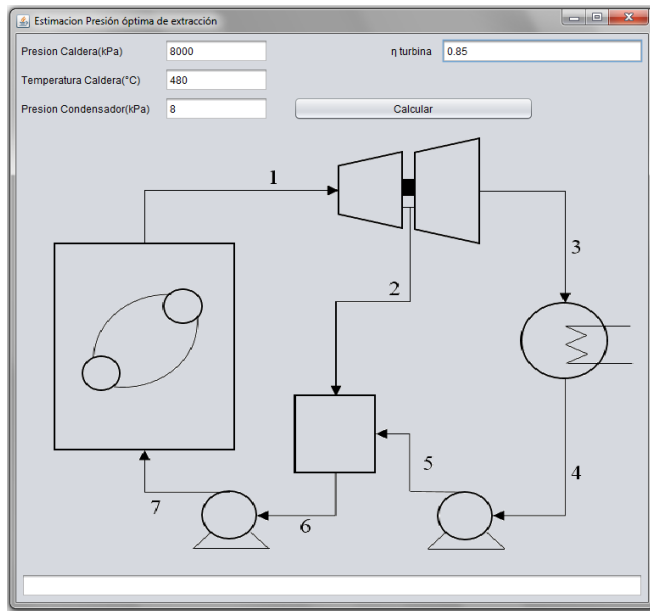


Figura 7: Ventana inicial de la herramienta

Una vez suministrada la información, y por medio del botón “Calcular”, la ventana principal del programa, referida a la Figura 8 muestra de forma gráfica el comportamiento de la

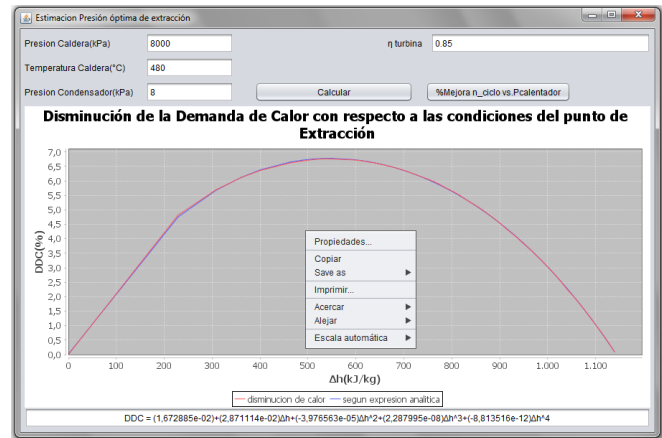


Figura 8: Ventana principal de la herramienta

disminución de la demanda de calor del ciclo con respecto al calentamiento que sufre el agua de alimentación, debido a la extracción. Dando como resultado, además, la expresión analítica de dicho comportamiento, que queda reflejada de forma gráfica en la misma figura. También, incorpora funciones para contemplar la posibilidad de guardar, imprimir, acercar o alejar y así, mejorar el análisis del gráfico resultante.

La Figura 9 muestra los resultados, en forma tabular, del cálculo de la disminución de la demanda de calor del ciclo en relación al

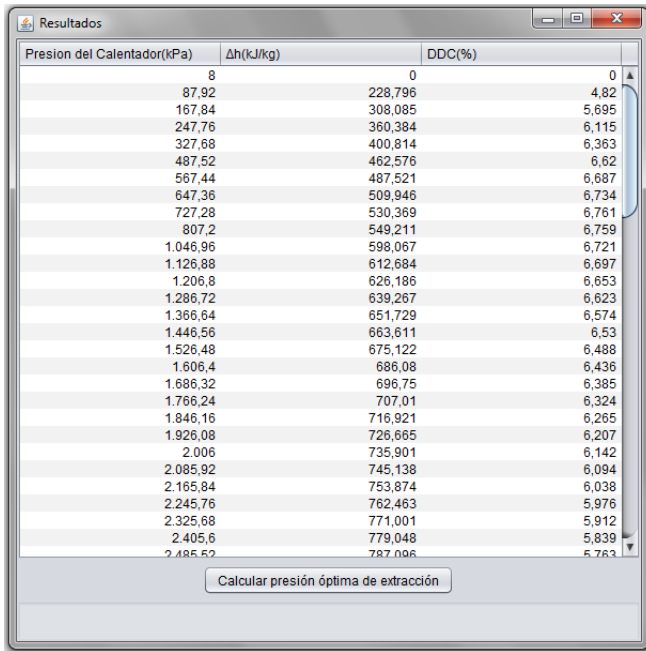


Figura 9: Estimaciones realizadas para el cálculo de la presión óptima de extracción

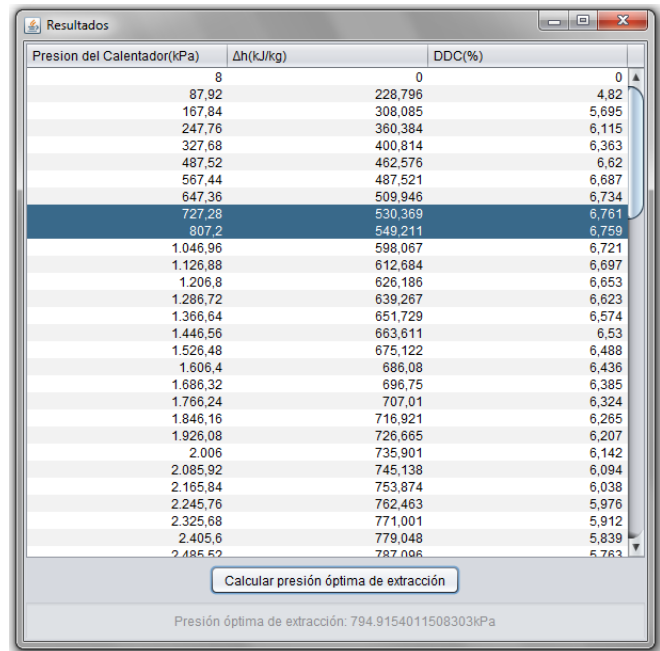


Figura 10: Cálculo de la presión óptima de extracción

calentamiento que sufre el agua de alimentación en el regenerador (calentador), proceso que está relacionado con la presión de operación de este último.

Así, la herramienta permite el cálculo de la presión óptima de operación, evidenciada en la Figura 10.

Una vez generados los resultados tabulados, se procede a estimar la expresión de la función de la disminución de la demanda de calor, a través de un análisis de regresión polinomial por el método de los mínimos cuadrados, que involucra además, de forma directa, la solución de un sistema lineal de ecuaciones y así poder establecer los coeficientes del polinomio $p(x)$ que representa la aproximación de la función, sistema resuelto a través del método iterativo de Gauss-Seidel.

Así, tomando como punto de partida el

polinomio obtenido

$$\begin{aligned}
 DDC &\cong p(\Delta h_i) \\
 &= (1,672885 \times 10^{-02}) \\
 &\quad + (2,871114 \times 10^{-02})\Delta h \\
 &\quad + (-3,976563 \times 10^{-05})\Delta h^2 \\
 &\quad + (2,287995 \times 10^{-08})\Delta h^3 \\
 &\quad + (-8,813516e \times 10^{-12})\Delta h^4
 \end{aligned}$$

y el resultado de la variable dependiente en cada caso evaluado, se calcula el error de acuerdo a la expresión representado en la Ecuación (11)

$$Error = \sqrt{\frac{\sum_{i=1}^n (p(\Delta h_i) - DDC_i)^2}{n + 1}} \quad (11)$$

Obteniéndose entonces para el caso analizado, un error de estimación de 0.00173, lo cual indica que existe un error de al menos una unidad en la tercera cifra decimal. El incremento de la eficiencia térmica del ciclo Rankine regenerativo alcanza un máximo en la presión óptima de operación, el cual queda determinado analíticamente evaluando la primera derivada de la ecuación característica y

posteriormente hallando las raíces del polinomio de tercer orden. Siendo la presión óptima de operación del regenerador 794.9154 kPa.

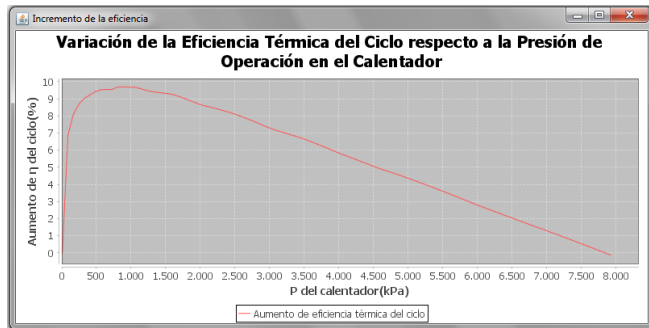


Figura 11: Variación de la eficiencia térmica del ciclo respecto a la presión de operación en el calentador

Por otro lado, la Figura 11 muestra el comportamiento del incremento de la eficiencia térmica respecto a la presión de operación del calentador, permitiendo comprobar el resultado alcanzado.

4. Conclusiones

La estimación de las condiciones óptimas de operación de la extracción en una planta de potencia a vapor regenerativa, implica el análisis y desarrollo de los cálculos térmicos de todos los procesos involucrados, estructurados a partir del primer y segundo principio de la termodinámica. Para lo cual se hace necesario, variar las condiciones de operación dentro del rango válido de presiones del proceso, definidas por las presiones máxima y mínima del ciclo que corresponde con la presión de operación de la caldera y del condensador respectivamente, resultando así un conjunto de variantes simultáneas de un ciclo Rankine regenerativo que deben ser resueltas matemáticamente, tomando en cuenta la estimación de las propiedades termodinámicas pertinentes.

La herramienta computacional desarrollada, se ha diseñado teniendo en consideración la portabilidad de la misma, y la presentación de resultados explícitos a través de los respectivos

gráficos y tablas, que permiten comprender la relación entre el calentamiento del agua de alimentación de la caldera producido en el regenerador y su vínculo con la disminución de la demanda de calor del ciclo que está asociada directamente a la presión de operación del regenerador (calentador). Así mismo, se evidencia el comportamiento de la eficiencia térmica del ciclo a través del rango de presiones del regenerador analizadas.

Paralelamente, la herramienta permite la estimación de la expresión analítica de la función que define la disminución de la demanda de calor con respecto al calentamiento ocurrido en el regenerador, siendo el error de la aproximación de la ecuación característica del orden de 0.00173, de donde se obtiene a partir de la determinación de las raíces de la primera derivada de la ecuación, el valor de la presión óptima de operación de dicho equipo.

Los elementos generados, representan el punto de partida para el análisis de situaciones que impliquen el cálculo de presiones óptimas con un número mayor de regeneradores, por medio de métodos tanto gráficos como analíticos e incluso incorporando procesos de recalentamiento.

5. Referencias

- [1] Unesco. Agua y energía, informe de las naciones unidas sobre del desarrollo de los recursos hídricos del mundo. Reporte Parte 1, División de Ciencias del Agua, Unesco, Perugia, Italia, 2014.
- [2] WEC. Consumo mundial de energía. Technical report, World Energy Council, Reino Unido, 2014.
- [3] Maojian Wang, Guilian Liu, and Chi Wai Hui. Novel shortcut optimization model for regenerative steam power plant. *Energy*, 138:529–541, 2017.
- [4] M.M. Rashidi, A. Aghagoli, and M. Ali. Thermodynamic analysis of a steam power plant with double reheat and feed water heaters. *Advances in Mechanical Engineering*, 2014:1–11, 2014.
- [5] Dalessandro Soares Vianna, Jaime Batista de Sousa Junior, Edwin Benito Mitacc Meza y Marcilene de Fátima Dianin Vianna. Modelo de programação linear inteira mista para o dimensionamento ótimo de uma termelétrica – estudo de caso: Termelétrica do complexo logístico do açu. *Revista Eletrônica Gestão & Saúde*, 5(Extra 2):986–1001, 2015.
- [6] Álvaro A. Díaz Pérez, José C. Escobar Palacio, Osvaldo J. Venturini, Arnaldo M. Martínez Reyes,

Dimas J. Rúa Orozco, Electo E. Silva Lora, and Oscar A. Almazán del Olmo. Thermodynamic and economic evaluation of reheat and regeneration alternatives in cogeneration systems of the brazilian sugarcane and alcohol sector. *Energy*, 152:247–262, 2018.

- [7] Riley M. Gourde and Ben Akih-Kumgeh. A matlab program for the determination of thermodynamic properties of steam. *International Journal of mechanical engineering Education*, 45(3), 2017.
- [8] Michael J. Mora y Howard Shapiro. *Fundamentos de Termodinámica Técnica*. Reverté, España, 2004.
- [9] Shouyuan Huang and Xianfan Xu. A regenerative concept for thermoelectric power generation. *Applied Energy*, 185:119–125, 2017.

Spectral analysis of electromagnetic torque in fault detection of eccentricity of three-phase induction motors by means of canonical discriminant

Ledy Guerra*, Francis Barboza, Rubén Terán, Irahis Rodríguez y Eva Monagas

Departamento de Potencia, Escuela de Ingeniería Eléctrica, Facultad de Ingeniería, Universidad de Carabobo. Valencia, Venezuela

Abstract.- In this paper, it performs the detection of the eccentricity failure in induction motors, through the spectral analysis of electromagnetic torque; for this, it is necessary obtain the electromagnetic torque of the induction motor in different levels of the eccentricity failure. For this purpose, experimental tests were done in a three phase induction motor to get the stator currents and the supply voltages to process in LabView software and obtain the electromagnetic torque spectra. Once those spectra were got, a logarithm was realized in MatLab to generate the canonical discriminant functions, which ones determines if the motor presents eccentricity failure or not and, in case of it presents it, it is specified if it is static or dynamic.

Keywords: static and dynamic eccentricity; canonical discriminant; spectral analysis of electromagnetic torque.

Análisis espectral de torque electromagnético en la detección de fallas de excentricidad de motores de inducción trifásicos mediante el discriminante canónico

Resumen.- En este trabajo se realiza la detección de falla de excentricidad en motores de inducción, mediante el análisis espectral de torque electromagnético; para ello es necesario obtener el torque electromagnético del motor de inducción a distintos niveles de falla de excentricidad. En este sentido, se realizaron pruebas experimentales en un motor de inducción trifásico donde se obtuvo las corrientes del estator y las tensiones de alimentación a fin de procesarlas en un software en LabView y obtener así los espectros de torque electromagnético. Una vez obtenidos estos espectros se realizó un algoritmo en MatLab para generar las funciones discriminantes canónicas con las cuales se determina si el motor presenta falla de excentricidad o no y, en caso de presentar falla de excentricidad, se especifica si es excentricidad estática o dinámica.

Palabras claves: excentricidad estática y dinámica; discriminante canónico; análisis espectral de torque electromagnético.

Recibido: febrero 2018

Aceptado: junio 2018

1. Introducción

Considerando que actualmente las industrias centran su interés en tener altas tasas de producción minimizando los costos y pérdidas que puedan presentarse en el proceso productivo y garantizando la alta calidad en los productos finales, es necesario desarrollar planes de mantenimiento que permitan cumplir con estos objetivos. En este

sentido, el desarrollo de técnicas de mantenimiento predictivo es relevante, ya que consisten en realizar el monitoreo continuo de las variables de estado a fin de establecer el momento óptimo en el cual realizar la intervención de mantenimiento. Con ello se aprovecha al máximo la vida útil de los elementos que constituyen el sistema y se evita las interrupciones no planificadas, que en algunos casos pueden causar mayores daños en el proceso y llevar a pérdidas económicas considerables.

Por otro lado se tiene que uno de los elementos que constantemente está presente en los procesos productivos es el motor de inducción de jaula de ardilla, que en algunos casos representa un elemento de vital importancia en dichos procesos y

* Autor para correspondencia:

Correo-e: ledylauraguerra@gmail.com (Ledy Guerra)

se encuentran en puntos vitales de los mismos. Por consiguiente, aplicar técnicas de mantenimiento predictivo para dicho motor cobra gran importancia en la actualidad. La mayoría de las técnicas de mantenimiento predictivo que actualmente se aplican para el motor de inducción son de carácter mecánico, entre las que se pueden mencionar el análisis de vibraciones y el ultrasonido.

Para mejorar la detección de fallas de origen eléctrico, donde la validez del análisis de vibraciones es limitado o como complemento en la detección de fallas de origen mecánico, surgen técnicas como el análisis espectral de corriente, termografía, análisis de descargas parciales, análisis estroboscópico, corriente de absorción y fuga, el análisis espectral de torque electromagnético, entre otros.

En la presente investigación se utiliza el análisis espectral de torque electromagnético para detectar una falla de asimetría rotórica, caracterizada por la modificación en el tamaño del entrehierro conocida como Excentricidad Estática y/o Dinámica, utilizando como herramienta de análisis de datos el método multivariado discriminante canónico, ya que de esta forma se considera la variabilidad que introduce el cambio en las condiciones bajo las cuales se miden las variables respectivas y a su vez clasifica la unidad experimental disminuyendo la desviación en el análisis de resultado.

2. Excentricidad en Motores de Inducción

La excentricidad es un tipo de falla de asimetría rotórica, la cual se caracteriza por la desigualdad en el entrehierro de la máquina. La presencia de ésta, incrementa los niveles de vibración tanto en dirección axial como radial, debido a las desigualdades magnéticas creadas entre rotor y estator; que de no ser corregido oportunamente pueden resultar en el movimiento excesivo del devanado del estator, provocando el aumento en la fricción, posible falla entre espiras y/o tierra, desgaste de rodamientos, desviando o aumentando la desviación del eje y por lo tanto la fricción entre el rotor y el estator (pérdidas mecánicas).

Adicionalmente, la falta de uniformidad del entrehierro trae consigo valores de reluctancia

variables, lo cual genera armónicos en el campo magnético [1, 2].

Este tipo de falla se clasifica en:

Excentricidad estática: este tipo de excentricidad se presenta cuando el centro transversal del rotor no coincide con el centro transversal del estator, sin embargo el rotor gira alrededor de su propio centro. Una de las causas de la excentricidad estática es el inapropiado montaje del rotor con respecto al centro del estator. En la Figura 1 se muestra esta anomalía.

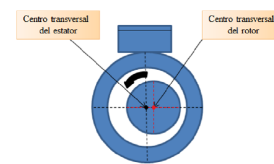


Figura 1: Excentricidad estática

Excentricidad dinámica: la excentricidad dinámica ocurre cuando el rotor gira alrededor del centro del estator mientras que el eje de rotación no coincide con el eje del rotor. Este tipo de excentricidad se presenta debido a curvatura del eje, malformación del rotor, rodamientos desgastados o desalineados, entre otros. En la figura 2 se muestra esta anomalía.

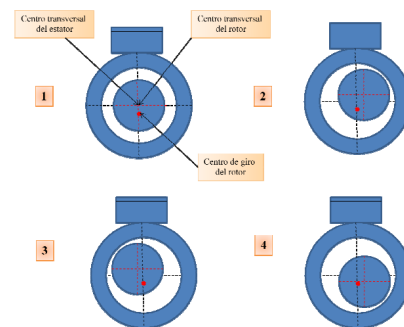


Figura 2: Excentricidad dinámica

Un motor nunca presenta un solo tipo de excentricidad: “la fabricación del motor no puede ser perfecta, por lo que siempre existen excentricidades estáticas y dinámicas residuales.

Además los procesos térmicos a los que se ve sometido el rotor pueden provocar su deformación causando, por tanto, una variación del entrehierro del motor en el tiempo y el espacio” [1]. Inclusive la existencia desde el ensamblaje de excentricidad estática, puede ocasionar la curvatura en el eje y/o desgaste en los rodamientos, dando origen a la excentricidad dinámica.

3. Torque Electromagnético en el Motor de Inducción

El torque de un motor de inducción se genera a partir de la interacción de series de armónicos estatóricos y rotóricos [3]. Algunos de estos armónicos interactúan para la generación de un par neto, el cual produce el giro de la máquina, mientras que otros lo hacen para producir pares pulsantes que simplemente producen ligeras oscilaciones en la velocidad y potencia mecánica suministradas por el motor [1].

Del mismo modo que la corriente se modifica al aparecer asimetrías rotóricas, cabe esperar que lo haga el par de la máquina [1].

La principal limitación en la utilización del torque electromagnético en la detección de anomalías en el motor de inducción es la dificultad de su medición dado que los transductores de par son relativamente costosos. Una forma sencilla de solventar tal situación consiste en el cálculo del torque electromagnético a partir de los voltajes y corrientes de la máquina. De este modo, mediante un método no invasivo es posible obtener el torque electromagnético instantáneo para luego ser utilizado con fines de diagnóstico [4].

Para obtener el par electromagnético desarrollado por el motor a partir de las tensiones y corrientes instantáneas, se hace uso de la teoría de transformación de ejes de referencia. Esta transformación convierte las magnitudes *abc* del sistema trifásico de la máquina a otro sistema de referencia *dq0*, con la ventaja fundamental que las variables que dependen del tiempo en los modelos de máquinas eléctricas: coeficientes de autoinducción e inducción mutua entre devanados (dependientes de la posición del rotor) se transforman en parámetros constantes [5].

El cambio de variable que representa una transformación de las variables trifásicas de los elementos de un circuito estacionario a un sistema de referencia arbitrario se expresa según la relación (1) [6, 7]:

$$\begin{bmatrix} f_{d_s} \\ f_{q_s} \\ f_{0_s} \end{bmatrix} = K_s \begin{bmatrix} f_{a_s} \\ f_{b_s} \\ f_{c_s} \end{bmatrix} \tag{1}$$

Donde:

$$K_s = \frac{2}{3} \begin{bmatrix} \cos(\theta) & \cos(\theta - \frac{2\pi}{3}) & \cos(\theta - \frac{2\pi}{3}) \\ \sin(\theta) & \sin(\theta - \frac{2\pi}{3}) & \sin(\theta - \frac{2\pi}{3}) \\ \frac{1}{2} & \frac{1}{2} & \frac{1}{2} \end{bmatrix}$$

$$\theta = \int_0^t \omega(\xi) d(\xi) + \theta(0)$$

f_a, *f_b* y *f_c*: son las variables asociadas a las fases a, b y c respectivamente, del sistema de referencia estacionario.

f_d, *f_q* y *f₀*: son las variables asociadas a las fases d, q y 0 respectivamente, del sistema de referencia arbitrario.

s: subíndice, asociado con el circuito estacionario (estator).

θ: es desplazamiento angular del sistema de referencia *dq0*.

ω: es velocidad angular del sistema de referencia *dq0* en rad/s.

ξ: es una variable de integración ficticia.

En la Figura 3 se muestra la relación trigonométrica entre los ejes del sistema trifásico y del sistema de referencia *dq0*.

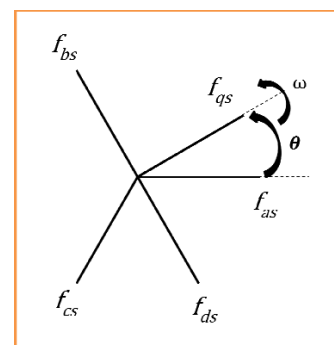


Figura 3: Relación trigonométrica entre los ejes del sistema trifásico y del sistema de referencia *dq0* [7]

No se debe confundir a f_{a_s} , f_{b_s} y f_{c_s} con fasores, ellos son cantidades instantáneas que pueden representar cualquier función del tiempo [6].

Por otra parte, es importante resaltar que al escoger adecuadamente la velocidad del sistema de referencia se puede obtener características específicas en el modelo del motor de inducción [4]. A continuación se muestran los casos más comunes:

Sistema de referencia estacionario: el sistema de referencia se encuentra fijo en el estator, por lo tanto $\omega = 0$. Planteado por primera vez por H.C. Stanley.

Transformación de Park: el sistema de referencia se encuentra fijo en el rotor ($\omega = \omega_r$). Planteada por D.S. Brereton para motores de inducción.

Sistema de referencia sincrónico: El sistema de referencia gira a la velocidad sincrónica ($\omega = \omega_e$). Planteado por primera vez por G. Kron.

Claramente, la condición del sistema eléctrico es independiente del de referencia desde donde sea observado. Sin embargo, las variables lucirán diferentes en cada sistema de referencia, excepto en el caso de la forma de onda de la potencia eléctrica instantánea que tendrá la misma forma en todos los casos [6].

Cabe destacar que las variables θ_s son independientes de ω y por lo tanto no están asociadas con un sistema de referencia en particular.

La Figura 4 muestra el modelo del motor de inducción trifásico y simétrico visto desde un sistema de referencia arbitrario (ejes $dq0$).

A partir de la Figura 4 se determinan las ecuaciones de voltaje y corriente necesarias para obtener la expresión del torque electromagnético [6].

4. Ecuación del Torque Electromagnético en el Motor de Inducción

La expresión general del torque electromagnético está dada por la ecuación (2).

$$T_e = \left(\frac{p}{2}\right) (i_{abc_s})^T \frac{\partial}{\partial \theta_r} \left(\frac{N_s}{N_r} L_{sr}\right) i'_{abc_r} \quad (2)$$

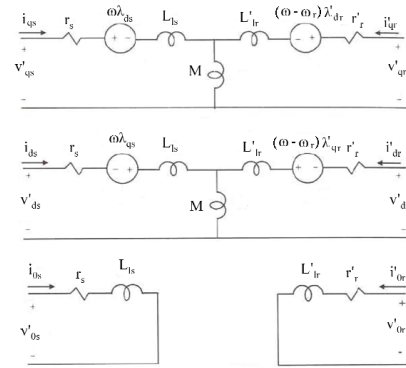


Figura 4: Modelo del motor de inducción trifásico y simétrico visto desde un sistema de referencia arbitrario [6]

Obtenida a partir de la energía del campo magnético de acoplamiento y donde:

T_e : es el torque electromagnético en Nm.

p : es el número de polos.

L_{sr} : Inductancia mutua entre el estator y el rotor en H.

N_s : es el número de espiras del estator.

N_r : es el número de espiras del rotor.

Ahora, para obtener la expresión de torque electromagnético referida al sistema de referencia $dq0$ se sustituyen las ecuaciones de transformación en la ecuación(2) para dar lugar a la ecuación (3) (en función de los flujos magnéticos y las corrientes) y la ecuación (4) (en función de los flujos magnéticos por segundo y las corrientes).

$$T_e = \left(\frac{3}{2}\right) \left(\frac{p}{2}\right) (\lambda_{ds} i_{qs} - \lambda_{qs} i_{ds}) \quad (3)$$

$$T_e = \left(\frac{3}{2}\right) \left(\frac{p}{2}\right) \frac{1}{\omega_b} (\psi'_{qr} i'_{dr} - \psi_{dr} i_{qr}) \quad (4)$$

Donde:

T_e : es el torque electromagnético en Nm.

p : es el número de polos.

λ_{ds} : son los enlaces de flujo magnético en el estator, eje d en Wb.

λ_{qs} : son los enlaces de flujo magnético en el estator, eje q Wb.

ω_b : es la velocidad angular base seleccionada para el cálculo de reactancias en rad/s.

ψ'_{qr} : es el flujo magnético por segundo de rotor referido al estator, eje q en V.

ψ'_{dr} : es el flujo magnético por segundo de rotor

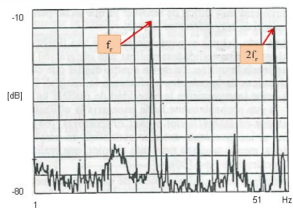
referido al estator, eje d en V.

i'_{dr} : es la corriente rotor referida al estator, eje d en A.

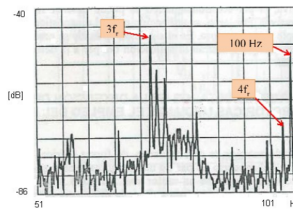
i'_{qr} : es la corriente rotor referida al estator, eje q en A.

5. Espectro de torque electromagnético en motores de inducción sin falla

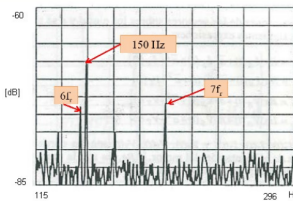
A partir de la expresión genérica del par electromagnético de un motor de inducción de p pares de polos se determinan las frecuencias de oscilación características de una máquina sin averías las cuales se resumen en: el doble de la frecuencia de alimentación, múltiplos de la velocidad de giro y combinación de los anteriores [1].



(a) Espectro de torque electromagnético entre 0 a 51Hz.



(b) Espectro de torque electromagnético entre 51 a 101Hz.



(c) Espectro de torque electromagnético entre 115 y 296Hz.

Figura 5: Espectro de torque electromagnético

Como ejemplo, en la Figura 5a, 5b y 5c, se presenta un espectro de torque electromagnético obtenido de un motor de inducción sin falla, cuya potencia es 11 kW (trabajaba a 80% de su potencia nominal) y 2 pares de polos (frecuencia de alimentación 50Hz) [1].

Las Figuras 5a, 5b y 5c corroboran que el espectro de torque electromagnético de un motor de inducción sin falla tiene como frecuencias predominantes las frecuencias antes mencionadas.

6. Criterios para la clasificación de la falla de excentricidad a través del espectro de torque electromagnético

Para discriminar fallas de excentricidad se realizaron pruebas de laboratorio en un motor de inducción trifásico cuyas características se indican en la Tabla 1.

Tabla 1: Datos del motor de inducción

Motor de inducción trifásico. Marca SIEMENS	
Tipo	1LA7 090-4YA60
Potencia (Hp/kW)	2,0/1,5
Voltaje (V)	220Y-440Y
Corriente (A)	7,0-3,5
Factor de potencia	0,8
Velocidad (rpm)	1700
Nivel de protección IP	IP55
Servicio	S1

Las pruebas realizadas se clasificaron en tres grupos, a saber: motor sin falla de excentricidad, motor con excentricidad estática y motor con excentricidad dinámica. En cada una de las condiciones establecidas anteriormente se realizó la adquisición de las tres corrientes estáticas, por medio del prototipo electrónico desarrollado en la Universidad de Carabobo [8, 9], de los tres voltajes de alimentación y de la velocidad del rotor.

La obtención de la señal de torque electromagnético consiste en la aplicación de la transformación de ejes al sistema de referencia $dq0$ a partir de las señales trifásicas en el tiempo de corrientes y tensiones adquiridas. Luego a partir de éstas se calculan los flujos correspondientes a dicho sistema de referencia, para así hacer uso de la expresión propia del torque electromagnético en función de los flujos y de las corrientes.

Una vez obtenido dicho torque se aplica la Transformada Rápida de Fourier y se obtiene el espectro en frecuencia de la señal, seguidamente dichos espectros son almacenados en archivos tipo *.txt, los cuales serán utilizados por un software desarrollado en MatLab para generar las funciones discriminantes canónicas.

El software desarrollado en Matlab basado en el método discriminante canónico como método de clasificación de la unidad experimental (motor de inducción de jaula de ardilla) a través de sus espectros de torque electromagnético contempla cuatro poblaciones de estudio, las cuales son manejadas por pareja dando como resultado análisis independientes de los casos: bajo falla sin falla de excentricidad y bajo falla excentricidad estática falla excentricidad dinámica. Por tanto, se trata de dos análisis de dos poblaciones posibles de clasificación cada uno.

Para este caso, el análisis discriminante canónico es equivalente a la evaluación de las poblaciones correspondientes junto con los espectros a ser clasificados en la función de densidad de probabilidad normal multivariada. Antes de realizar dicha evaluación, se lleva a cabo la manipulación de los datos, lo cual incluye apertura de archivos, creación de matrices de datos y reducción de variables a utilizar (método de regresión paso a paso [10, 11, 12]). Posterior a la evaluación, se realiza el proceso de clasificación de cada espectro.

El esquema básico utilizado para realizar la clasificación de cada espectro se muestra en la Figura 6.

Una vez realizada la evaluación de los datos de espectros de torque electromagnético, como se especificó anteriormente, se procede a analizar los resultados obtenidos y a cuantificar el número de clasificaciones correctas realizadas, información que fue almacenada en los archivos tipo texto dentro de las carpetas correspondientes al análisis.

7. Resultados

La adquisición de datos se realizó para los tres casos bajo estudio: sin falla, bajo falla de excentricidad estática y falla de excentricidad dinámica. En todos los casos bajo estudio, la

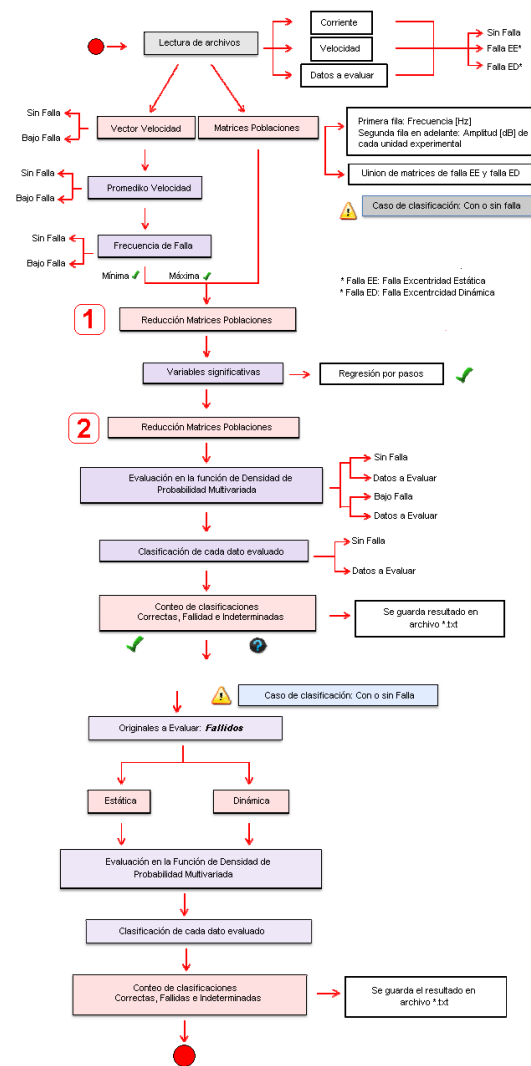


Figura 6: Esquema de clasificación

carga del motor se fijó en su valor nominal (7 A), ya que con esta condición los cambios en los espectros obtenidos presentan amplitudes mayores en comparación con otras condiciones de carga. Para cada caso, se adquirieron 2478 señales almacenadas en días diferentes (1239 señales cada día) con el fin de considerar las fluctuaciones que ocurren en el sistema. Posteriormente se seleccionaron 1200 señales en forma aleatoria para realizar el análisis estadístico. Adicionalmente se establecieron cuatro condiciones de matrices de datos distintas para generar las funciones discriminantes, tal como se muestra en la Tabla 2.

En la Figura 7 se muestra un espectro de torque electromagnético para el caso sin falla y en dicha figura se observa que los picos de mayor amplitud

Tabla 2: Condiciones establecidas para generar las funciones discriminantes

Caso	Condición
1	1000 espectros sin falla, 500 bajo falla de excentricidad estática y 500 bajo falla de excentricidad dinámica.
2	700 espectros sin falla, 350 bajo falla de excentricidad estática y 350 bajo falla de excentricidad dinámica.
3	500 espectros sin falla, 500 bajo falla de excentricidad estática y 500 bajo falla de excentricidad dinámica.
4	1200 espectros sin falla, 600 bajo falla de excentricidad estática y 600 bajo falla de excentricidad dinámica.

se presentan a la frecuencia fundamental (60Hz) y al doble de ella (120Hz).

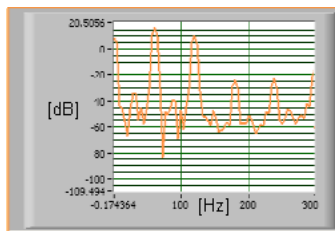


Figura 7: Espectro de torque electromagnético sin falla

Las magnitudes correspondientes a dichas frecuencias se presentan en la Tabla 3.

Tabla 3: Magnitud del espectro de torque electromagnético del motor de inducción sin falla

Frecuencia (Hz)	Magnitud (dB)
60	16
120	10

En la Figura 8 se muestra la forma de onda del torque electromagnético para el espectro de la Figura 7.

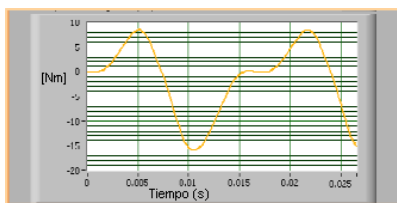


Figura 8: Forma de onda del torque electromagnético para el motor de inducción sin falla.

En la Tabla 4 se muestra el porcentaje de clasificaciones correctas obtenidas para cada condición. En este caso se realiza la clasificación sin falla–bajo falla de excentricidad.

Tabla 4: Porcentaje de clasificaciones correctas. Caso: sin falla–bajo falla de excentricidad.

Caso	Clasificaciones correctas
1	51,33 %
2	63,67 %
3	52,17 %
4	39,00 %

Como se evidencia los resultados de clasificación en la mayoría de las condiciones establecidas son superiores al 50 % obteniéndose como mayor resultado 63,67 %.

Tabla 5: Porcentaje de clasificaciones correctas. Caso: Bajo falla de excentricidad estática–Bajo falla de excentricidad dinámica.

Caso	Clasificaciones correctas
1	43,50 %
2	51,50 %
3	65,25 %
4	41,25 %

En la Tabla 5 se muestra el porcentaje de clasificaciones correctas obtenidas para cada condición. En este caso se realiza la clasificación bajo falla de excentricidad estática–bajo falla de excentricidad dinámica.

Como se evidencia el mayor resultado de clasificación que se obtuvo fue de 65,25 %.

8. Conclusiones

Mediante la realización de la presente investigación se concluye que la técnica de análisis espectral de torque electromagnético diagnostica correctamente un alto porcentaje de espectros tanto para el caso de clasificación sin falla-bajo falla (63.67 %) como para las poblaciones bajo falla de excentricidad estática–bajo falla de excentricidad dinámica (65.25 %). Dado el caso, se corrobora la utilidad de esta técnica en el diagnóstico de esta falla de excentricidad, incluso en el caso de no disponer de transductores de par, ya que

es posible calcularlo a partir de las corrientes y tensiones instantáneas de la máquina utilizando la teoría de vectores espaciales y posteriormente la Transformada Rápida de Fourier para obtener su espectro.

Adicionalmente, a partir del análisis estadístico se observó cómo el aumento en la cantidad de señales que conforman las poblaciones no garantiza que aumente el porcentaje de clasificaciones correctas así como también la incidencia de la variabilidad de las poblaciones en el proceso de clasificación.

Para contribuir con las posibilidades de discriminación de fallas de excentricidad en motores de inducción, se plantea la realización de este estudio aplicando máquinas de vector soporte como algoritmo de clasificación.

9. Referencias

- [1] Gonzalo Alonso Orcajo, Manés Fernández Cabanas, and Manuel García Melero. *Técnicas para el mantenimiento y diagnóstico de máquinas eléctricas rotativas*. Marcombo, 1998.
- [2] Abolfath Nikranjbar, M. Ebrahimi, and Alastair S. Wood. Model-based fault diagnosis of induction motor eccentricity using particle swarm optimization. *Proceedings of the Institution of Mechanical Engineers, Part C: Journal of Mechanical Engineering Science*, 223(3):607–615, 2009.
- [3] Jesús Fraile. *Máquinas eléctricas*. Pearson Educación, 2003.
- [4] E. Suárez and E. Clavijo. Diagnóstico de fallas en rodamientos utilizando el análisis espectral de torque. Trabajo Especial de Grado, Facultad de Ingeniería, Universidad de Carabobo, Venezuela, 2006.
- [5] J. Matos and V. Peraza. Aplicación de mantenimiento predictivo a una data de señales eléctricas de motores de inducción (34 HP–69 HP) en el área de trefila gruesa de la empresa vicson S.A. Trabajo Especial de Grado, Facultad de Ingeniería, Universidad de Carabobo, Venezuela, 2008.
- [6] Paul Krause, Oleg Wasynczuk, Scott D. Sudhoff, and Steven Pekarek. *Analysis of electric machinery and drive systems*, volume 75. John Wiley & Sons, 2013.
- [7] Jorge Landázuri Mera and Andrés Quintanilla Arboleda. Análisis y simulación matemática de motores usados en sistemas de bombeo electrosumergible. Trabajo Especial de Grado, Escuela Politécnica del Ejército, Ecuador, 2011.
- [8] M. Camacho and R. Ramírez. Construcción de un prototipo electrónico para la adquisición, acondicionamiento y digitalización de las señales de tensión, corriente, flujo axial de dispersión y velocidad asociadas a motores trifásicos de inducción de jaula de ardilla. Trabajo Especial de Grado, Facultad de Ingeniería, Universidad de Carabobo, Venezuela, 2009.
- [9] A. Centeno and M. Martínez. Plan de mantenimiento predictivo para las máquinas del laboratorio de máquinas eléctricas de la facultad de ingeniería de la Universidad de Carabobo a partir del análisis espectral de señales eléctricas. Trabajo Especial de Grado, Facultad de Ingeniería, Universidad de Carabobo, Venezuela, 2010.
- [10] Dallas E. Johnson. *Métodos multivariados aplicados al análisis de datos*. Number 519.5 J6. I.T.P. Latin America, 2000.
- [11] César Pérez López. Técnicas de análisis multivariante de datos. *Aplicaciones con SPSS, Madrid, Universidad Complutense de Madrid*, 2004.
- [12] L. Piña. Clasificación por variedad de pisum sativum usando métodos estadísticos y técnicas inteligentes. Trabajo Especial de Grado, Facultad de Ingeniería, Universidad de Los Andes, Venezuela, 2005.

Proposal for a matrix of minimum distances between AM broadcast stations for Venezuela based on the propagation curves ITU-R P.368

Fabián Robledo*

Departamento de Electrónica y Comunicaciones, Escuela de Ingeniería Eléctrica, Facultad de Ingeniería, Universidad de Carabobo, Naguanagua, Venezuela.

Abstract.- In this paper the technical rules of AM radio broadcasting in force in Venezuela are analyzed, and it is designed a proposed matrix with the minimum distances between AM transmitting stations in that nation, considering its various administrative classes, which serves as a reference to evaluate the compatibility between interfered/interfering stations. The matrix was developed considering the dominant mode of propagation of the surface-wave in hectometric frequencies, and the propagation curves from ITU-R Rec. P.368, relating the electrical conductivity of the terrain in the nation with the ones referred in the continental atlas of the Rec. ITU-R P.832. For the design, the current venezuelan protection ratios were considered (dB), and the matrix is proposed both for the bottom (500 kHz) as the top (1500 kHz) part of the AM band, with several conductivities. The range of values obtained for the minimum distances is between 44 km and 1850 km, depending on the classes of the stations, on the band sector in which they operate, on their frequency separation and on the conductivity. The study shows that the proposal is relevant for possible consideration in the planning of the AM broadcast network in Venezuela. It also warns about the need to review the protection ratios in the venezuelan regulations.

Keywords: AM; interference amplitude modulation; broadcasting; ground-wave; radio propagation.

Propuesta de una matriz de distancias mínimas entre estaciones AM para Venezuela basada en las curvas de propagación UIT-R P.368

Resumen.- En este artículo se analiza la normativa técnica de la radiodifusión sonora AM vigente en Venezuela, y se diseña una propuesta de matriz de distancias mínimas entre estaciones transmisoras AM para esa nación, considerando sus diversas clases administrativas, la cual sirve como referencia para evaluar la compatibilidad entre estaciones interferidas/interferentes. La matriz se elaboró considerando el modo dominante de propagación de la onda superficial en frecuencias hectométricas, y las curvas de propagación de la UIT-R de la Rec. P.368, relacionando además la conductividad eléctrica del terreno a nivel nacional con el atlas continental de la Rec. UIT-R P.832. Se consideraron para el diseño las relaciones de protección vigentes en Venezuela (dB), y la matriz se propone para la parte baja (500 kHz) y alta (1500 kHz) de la banda AM, con diversas conductividades. El rango de valores obtenido de las distancias mínimas se encuentra entre los 44 km y los 1850 km, dependiendo de las clases de las estaciones, del sector de la banda en que operen, de su separación de frecuencias y de la conductividad. El estudio demuestra que la propuesta realizada es pertinente para su posible consideración en la planificación de la red de radiodifusión AM en Venezuela. Se advierte también sobre la necesidad de revisar las relaciones de protección en la normativa venezolana.

Palabras claves: AM; interferencia; modulación de amplitud; onda de superficie; radiodifusión sonora; radiopropagación.

Recibido: enero 2018

Aceptado: junio 2018

1. Introducción

Dentro de los servicios de radiocomunicaciones que se explotan en Venezuela se encuentra el

correspondiente a la radiodifusión sonora, que emplea el método de modulación de amplitud (AM), el cual tienen por objetivo la difusión abierta y directa de mensajes de audiofrecuencia (voz y música) en la banda de frecuencias de onda media (MF o MW) por parte de las estaciones emisoras habilitadas para ello, suministrando información y entretenimiento al público en general situado en las localidades ubicadas en su área de cobertura.

* Autor para correspondencia:

Correo-e: frobledo@uc.edu.ve (Fabián Robledo)

El ente regulador que gestiona las habilitaciones de radiodifusión de los operadores en ese país es la Comisión Nacional de Telecomunicaciones (CONATEL), y el marco legal que abarca lo relativo a las emisoras AM se soporta actualmente en el Reglamento sobre la Operación de las Estaciones de Radiodifusión Sonora [1], instrumento publicado en 1993. En lo que sigue se señalará a este instrumento como “el Reglamento”. Normas adicionales aún vigentes que no coliden con el Reglamento y que corresponden a la radiodifusión sonora AM en Venezuela se encuentran en parte del anterior Reglamento de Radiocomunicaciones [2], publicado en 1984.

Una acción importante en la planificación y gestión de la red del servicio AM consiste en determinar las distancias mínimas de separación que deben existir entre las antenas transmisoras de las estaciones radioeléctricas de los operadores, cuyas potencias de operación pueden ser de hasta 100 kW en el país, a los fines de evitar la interferencia perjudicial y proteger a los operadores habilitados dentro de determinadas áreas y localidades en donde su servicio posee prioridad o protección, definida por el ente regulador, soportada usualmente por la precedencia del otorgamiento de su habilitación administrativa o antigüedad.

Sin embargo, el Reglamento y la normativa adicional vigente disponible, incluyendo los manuales, instructivos y/o guías en relación a la radiodifusión sonora publicadas por CONATEL, no establecen normas o lineamientos directos sobre las distancias mínimas (km) que deberían satisfacerse entre las antenas de las estaciones de radio AM de los diversos operadores, a los fines de obtener una interferencia admisible o para que el fenómeno no esté presente en forma apreciable.

La omisión de una matriz reglamentaria de distancias mínimas entre estaciones AM también se observa al revisar la normativa actualizada de los EE.UU., cuando se estudia la documentación pertinente de la Federal Communications Commission (FCC), que incluye a la 47 CFR Part 73 Radio and Television Broadcast Rules, Subpart A: AM Broadcast Stations [3], así como también al analizar lo establecido con alcance mundial

por la Unión Internacional de Comunicaciones (UIT), organismo que no ha publicado en sus recomendaciones o reportes (incluyendo a las recomendaciones de la serie P y de la serie BS.) una matriz al respecto que sirva como guía de planificación para el servicio AM.

Sin embargo, se determinó que en el vecino país de Colombia su ente regulador, quien es el Ministerio de Tecnologías de la Información y las Comunicaciones (MINTIC), elaboró en 2017 el Plan Técnico Nacional de Radiodifusión Sonora en Amplitud Modulada, el cual incluye una “Matriz de distancias de protección (Km)” para el servicio de AM [4], observándose allí que se definen normativamente las distancias mínimas de operación entre estaciones AM, y que se encuentran en el rango comprendido entre 54 km y 670 km para estaciones que operan en la banda entre 500 kHz y 1500 kHz, y en donde se considera la interferencia cocanal y en canales adyacentes, advirtiéndose que las distancias mínimas se corresponden con los particulares niveles de intensidad campo eléctrico (mV/m) y las clases administrativas de las estaciones (que implican ciertas potencias máximas permitidas) definidas reglamentariamente en esa nación, los cuales son diferentes a las clases establecidas en Venezuela por el Reglamento, por lo que la reutilización de esa matriz no sería viable para el caso de Venezuela.

En Venezuela, el Reglamento establece en su Artículo 4 que una estaciones AM transmiten en un canal de la banda de frecuencias de 535 kHz a 1705 kHz (ondas hectométricas), y el Artículo 72 indica que se opera con un ancho de banda necesario (de media potencia) por canal de 10 kHz (nominal) y hasta de 20 kHz siempre que no se produzca interferencia. Además en los artículos numerados del 59 al 63 del Reglamento se categorizan las estaciones AM en cuatro clases administrativas, siendo éstas: a) Estaciones de canal despejado (EDCD). b) Estaciones regionales (ER). c) Estaciones locales (EL) y d) Estaciones locales restringidas (ELR), definiéndose en cada clase la potencia de operación máxima de operación (kW) (o potencia en la antena) y la intensidad de campo eléctrico (dB μ)

Tabla 1: Categorización oficial de las estaciones de radio AM en Venezuela, potencias de operación y contornos de nivel de intensidad de campo eléctrico que limitan las zonas de servicio primaria.

Clase de la estación AM	Potencia de operación, kW			Contorno límite de la zona de servicio primaria, dBμ		Artículo del Reglamento
	Diurna		Nocturna	Diurno	Nocturno	
	Mínima	Máxima				
Canal despejado (EDCD)	50	100	50	57,5	57,5	60
Regional (ER)	10	50	10	61,9	76,3	61
Local (EL)	1	10	5	61,9	80,0	62
Local restringida (ELR)	-	10	5	> 61,9	> 80,0	63

mínima de los modos diurno y nocturno que las estaciones deben colocar en la zona de servicio primaria, la cual está limitada por el contorno protegido de la onda de superficie, que es el modo de propagación dominante para el servicio en esa banda de frecuencias. Esta categorización en clases se resume en la Tabla 1 [1].

Considerando las clases de la Tabla 1, se estima oportuno disponer en el país de una matriz de distancias mínimas entre estaciones AM que permita planificar la red de radiodifusión y estimar si existe o no factibilidad técnica para la incorporación de una estación nueva coexistiendo con las preestablecidas bajo la figura de interferencia inexistente, admisible o perjudicial, matriz que deberá estar soportada por un modelo de interferencia que considere la radiopropagación dominante del modo de onda superficial (groundwave).

En este sentido, en un trayecto de radiocomunicación terrenal con visibilidad directa, se modela en general la propagación entre el transmisor y el receptor por medio de la superposición de una onda directa y una onda reflejada en el terreno, y dependiendo de la naturaleza del suelo, de la frecuencia de operación y de la polarización de la onda, se presenta también una componente adicional a superponer debida a la onda superficial, representadas conceptualmente en un trayecto de radiopropagación entre antenas en presencia de terreno como se indica en la Figura 1. La ecuación de propagación en el caso armónico para el campo eléctrico recibido es la suma fasorial/vectorial de estas tres componentes [5]:

$$\vec{E} = \vec{E}_0 \left[1 + \widehat{R}e^{-j\delta} + (1 - \widehat{R}) \widehat{A}e^{-j\delta} \right] \quad (1)$$

donde \vec{E}_0 es el vector intensidad de campo eléctrico recibida en condiciones de espacio libre y \vec{E} es el vector intensidad de campo eléctrico recibida en condiciones aproximadas a la realidad (con reflexión y difracción). El ángulo δ (rad) de la ecuación (1) corresponde a la diferencia de fase entre las ondas directa y reflejada, definido como:

$$\delta = \left(\frac{2\pi}{\lambda} \right) l \quad (2)$$

siendo l la diferencia de recorrido (m) entre la onda reflejada y la onda directa, y λ es la longitud de onda (m). \widehat{R} en la ecuación (1) es el coeficiente de reflexión complejo en el punto de reflexión, que expresado en función de su magnitud $|\widehat{R}| = R$ y fase en retraso $arg(\widehat{R}) = -\beta$ es:

$$\widehat{R} = Re^{-j\beta} \quad (3)$$

y el parámetro adimensional \widehat{A} de la ecuación (1) es el factor de atenuación de Sommerfeld de la onda superficial, el cual depende del ángulo rasante, de la polarización, de la conductividad, de la permitividad del suelo, de la longitud de onda y de la distancia involucrada, según el modelo clásico de difracción de Bullington (validado por la UIT-R). Expresiones matemáticas para el cálculo del factor \widehat{A} son analizadas por Rábanos, Riera y Tomás [5], y por Barboza [6].

Fenomenológicamente, la onda superficial es el modo de propagación dominante en el rango de

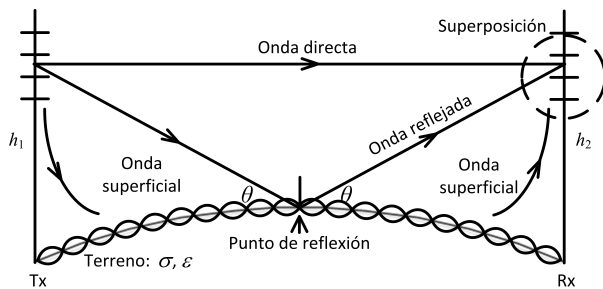


Figura 1: Modelo de superposición en el receptor de la onda directa, la onda reflejada y la onda superficial.

frecuencias que incluye la banda del servicio de AM. En ese rango de ondas hectométricas y para las alturas de antena típicas de las estaciones de radio, se tiene de la ecuación (3) que $\hat{R} \approx 1$ (válido para pequeños ángulos de incidencia en el punto de reflexión, situación típica) y de la ecuación (2) que $\delta \approx 0$ rad [6], por lo que en la ecuación (1) la onda directa y la onda reflejada prácticamente se anulan entre sí al estar en contrafase, y sólo queda como mecanismo de propagación significativo el remanente de la componente de la onda superficial, de modo que bajo este hecho la ecuación (1) se simplifica para la banda del servicio AM, resultando:

$$\vec{E} = 2\hat{A}\vec{E}_0 \quad (4)$$

En la práctica, la UIT propone estimar la intensidad de campo eléctrico \vec{E} (en magnitud) debida a la onda de superficie en forma alternativa a la ecuación (4), mediante el empleo de un juego de cartas con curvas de propagación normalizadas para frecuencias comprendidas entre 10 kHz y 30 MHz, presentes en la vigente Recomendación UIT-R P.368-9 de 2007 titulada: Curvas de propagación por onda de superficie para frecuencias comprendidas entre 10 kHz y 30 MHz [7].

Las curvas se suministran para diversos tipos de terreno (conductividad σ) y frecuencias de operación, determinándose en ellas el denominado campo eléctrico unitario E_G (dB μ) correspondiente a una potencia de operación de 1 kW y empleando una antena transmisora con polarización vertical que produce un campo característico E_C de 300 mV/m a 1 km de distancia, campo definido en la

señalada P.368-9. Ésta es una forma equivalente de especificar la ganancia de la antena, definiendo el campo característico, pues no es usual trabajar con la ganancia de antena o la potencia efectiva radiada en el argot de la radiodifusión AM en Venezuela. Las curvas de P.368-9 se pueden emplear para otra potencia de operación P_T (dBk) y un diferente campo característico E_C (mV/m), determinándose la magnitud del campo recibido E (dB μ) de la onda de superficie en esas condiciones de explotación, como señala Barboza [6]:

$$E = E_G + 20 \log_{10} \left[\frac{E_C}{300} \right] + 10 \log_{10} P_T \quad (5)$$

Por ejemplo, la FCC emplea en sus curvas de propagación AM (similares en concepto a las de la UIT) un campo característico de 346,4 mV/m en lugar de 300 mV/m [6]. Es oportuno indicar que el campo característico es función de la altura del mástil y del número y longitud de los radiales que forman el plano de tierra de la antena AM. La forma típica del campo eléctrico unitario E_G según la distancia se muestra en el ejemplo de la familia de curvas de la Figura 2, para una conductividad y permitividad dieléctrica del terreno determinadas (correspondientes al tipo de suelo, dependiendo de su grado de humedad) y diversas frecuencias de la banda de AM, considerando una potencia de 1 kW y un campo característico de 300 mV/m para una antena de referencia tipo monopolo vertical corto, como se refiere en la señalada ITU P.368-9. La línea recta en la Figura 2 corresponde a la inversa de la distancia asociada a suelo perfectamente conductor y nótese la atenuación adicional a grandes distancias debida al terreno.

La Rec. UIT-R P.368-9 suministra las curvas calibradas de onda superficial para diversos tipos de terrenos, y un rango extendido de frecuencias.

Sobre la base de los argumentos legales administrativos y teóricos expuestos, se tiene como objetivo del presente estudio el diseñar una matriz de distancias mínimas entre estaciones AM para las clases de las estaciones establecidas normativamente en Venezuela, que sirva como referencia para la planificación de la red y los estudios de factibilidad técnica de coexistencia,

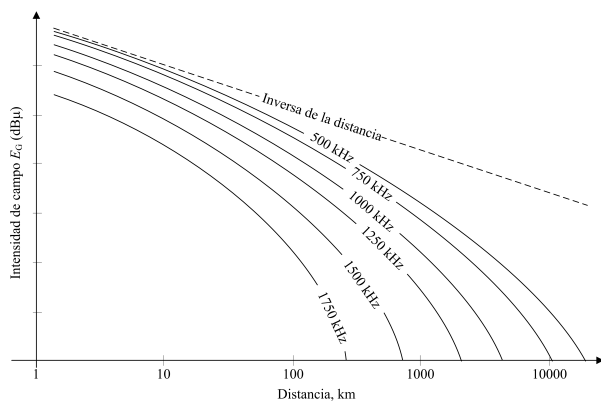


Figura 2: Ejemplo esquemático de las curvas de propagación de la onda superficial de la UIT, representando a la intensidad de campo eléctrico unitario contra la distancia, elaboradas para un determinado campo característico y una potencia de 1 kW.

elaborada empleando un método de propagación válido para el servicio primario, considerando el modelo de propagación de onda superficial señalado por la Rec. UIT-R P.368-9 con varios tipos de terreno presentes en Venezuela.

Diversos antecedentes de investigación oportunos se presentan en la sección 2, y la metodología a utilizar se describe en la sección 3. Los resultados obtenidos y su discusión se exponen en la sección 4, elaborándose las conclusiones pertinentes del estudio en la sección 5. Finalmente se señalan las referencias bibliográficas.

2. Antecedentes

En el ámbito del estudio del problema consistente en determinar adecuadamente a las distancias mínimas que deben existir entre estaciones de radiodifusión para la coexistencia sin interferencia perjudicial ni sobrealcance de la señal de radio, conviene señalar la investigación de Robledo y Castañeda [8], quienes propusieron en 2015 una matriz actualizada con las distancias mínimas requeridas entre emisoras que operan en la banda de frecuencia modulada (FM en VHF 88-108 MHz) ubicadas en Venezuela, basándose en un modelo que fue diseñado por los autores a tal efecto, soportado por las curvas de propagación de la FCC y también como alternativa por las

curvas de la UIT-R propuestas en la Rec. P. 1546, comparándose los resultados obtenidos. El análisis de esa investigación propició la transferencia conceptual del problema para adaptarlo a la banda AM (MF) en el presente estudio, considerándose las diferencias físicas de los modos dominantes de radiopropagación, consecuencia del empleo de distintas bandas de frecuencia para los servicios AM y FM, y empleando también las recomendaciones de la UIT-R adecuadas, en este caso para el servicio de modulación de amplitud.

En relación a otras investigaciones recientes de radiopropagación e interferencia en la banda AM, Torres y Oleas [9] publicaron en 2014 un estudio técnico con el diseño e implementación de una radio digital AM con cobertura en la zona centro del Ecuador, analizando el problema desde el eje de los estándares pertinentes en esa nación. En esa misma nación, en 2013 López y Villarruel [10] efectuaron el diagnóstico de la situación actual de los servicios de radio AM, FM y TV en el sur del país mediante el análisis de información del Sistema Automático de Control del Espectro Radioeléctrico (SACER) de la Superintendencia de Telecomunicaciones (SUPERTEL), planteando soluciones técnicas para las irregularidades de mayor incidencia, incluyendo interferencias entre estaciones, calidad del servicio y monitorización.

En cuanto al modelado de propagación asociado al modo dominante en AM aplicable para cobertura e interferencia, Nishioka, Inasawa, y Konishi [11] efectuaron en 2013 la comparación de las predicciones teóricas de las características de propagación por onda superficial en la banda de onda media y en terrenos mixtos tierra-mar (Métodos de Rotheram y de Millington), contra resultados medidos en Japón. Se trata de modelos computacionales emergentes más allá de lo establecido por la UIT-R y la FCC.

En un sentido similar, Apaydin y Sevgi [12] analizaron en 2013 la propagación por onda superficial en distancias cortas, como alternativa de modelado de precisión de fuente en comparación con los modelos de largo alcance. Adicionalmente, el modelado de propagación de la onda superficial fue revisado en 2011 por Apaydin, Ozgun, Kuzuoglu y Sevgi [13], quienes publicaron un

modelo computacional de propagación de dos rayos basado en la ecuación parabólica de elementos finitos, para tomar en cuenta los efectos de dispersión hacia atrás de la onda de superficie en terreno irregular y en atmósfera no homogénea, refiriendo que el modelo fue verificado y calibrado, lo que enriquece las opciones de cómputo a evaluar más allá de lo que establecen canónicamente las entidades como la FCC y la UIT-R, siendo importante señalar que la UIT-R presenta una mayor recurrencia en la actualización de sus recomendaciones en el tiempo, en comparación con la reglamentación de la FCC.

En relación a la normativa y los parámetros de las estaciones de radiodifusión sonora, Erazo [14] efectuó en 2009 el análisis de la tecnología de redes de isofrecuencia y su aplicación a la radiodifusión en las bandas de AM/FM para la optimización del espectro en la ciudad de Quito, interpretando la situación de interferencia y la normativa, comparada con la establecida por la UIT-R. Finalmente Cely, Bravo y Medina [15] realizaron en 2015, en Ecuador un estudio del comportamiento de las portadoras AM en radiodifusión, con el fin de poder obtener datos estadísticos de la utilización de los canales de transmisión licenciados por el ente regulatorio nacional de ese país, ARCOTEL.

Estos antecedentes de modelado, análisis técnico y normativo del problema de propagación e interferencia en la banda de radiodifusión AM facilitaron el diseño de la metodología para abordar el problema planteado en esta investigación.

3. Metodología

La investigación contempló inicialmente el análisis de la Recomendación UIT-R SM.337-8 de 2008, titulada: Separaciones en frecuencia y en distancia [16], donde se describen los procedimientos para calcular la separación de frecuencia y distancia entre estaciones con el objeto de obtener un nivel de interferencia de RF admisible. Allí se plantea un método de estimación de distancias mínimas que incluye consideraciones de variabilidad estadística, pero que se decidió no aplicarlo en el presente estudio debido a que

no toma en cuenta la interferencia en el aire de los campos de las estaciones en una determinada localidad (de sus enlaces tipo punto-zona), sino que asume la coexistencia de sus respectivas señales justo en el puerto de entrada de RF (o “front end”) del receptor que recibe las señales interferida e interferente (enfoque de enlace punto-punto), lo que requiere el conocimiento de las características de la antena receptora (sintonía y ganancia) y de las pérdidas de su alimentador de línea de transmisión (junto con su estado de adaptación), elementos de difícil estimación en la planificación, pues presentan amplia variabilidad según el fabricante y la tecnología de antena/receptor empleada, dificultando el análisis para una propuesta que sea válida para la red nacional a los fines de planificación general. En consecuencia, se abordó la construcción de un modelo dedicado a tal efecto, que evalúe la interferencia de en el aire (campo eléctrico) de las señales de radiodifusión a los fines de independizarse de las particularidades de la antena receptora.

Para el diseño de una matriz de distancias mínimas en AM aplicable en la nación, se consideró la interferencia en Venezuela entre dos estaciones, una preexistente o “interferida” y otra más reciente o “interferente”, coexistiendo en un determinado territorio y separadas por una distancia d (km). Cada estación pertenece a una determinada clase, lo que según la Tabla 1 define su potencia máxima de operación. Se supondrán estaciones AM operando en condiciones diurnas que impliquen potencias que proporcionen el mayor tamaño permitido del área de cobertura, lo que conlleva operar a la potencia máxima diurna.

En el modelado se estimó como marginal el efecto de las reflexiones ionosféricas, considerando sólo la propagación diurna por onda superficial, basada esta decisión en la atenuación de potencia (dB) que exige la reglamentación en la transición día/noche de los operadores (Tabla 1), para evitar el sobrealcance nocturno, y como método de normalización de las condiciones de propagación. También se asumirán patrones de radiación de antena omnidireccionales (sin arreglos multi-mástil), criterio típico en las herramientas de planificación de la red. También se despreció la

componente transhorizonte sobre tierra esférica.

El campo característico E_c requerido en la ecuación (5) depende de la altura del mástil del monopolo y puede determinarse según la curva de la Figura 3, establecida por los entes nacionales reguladores de la radio AM en EE. UU. [3], México [17] y Perú [18], empleando 120 radiales de longitud $\lambda/4$ para el plano de tierra. En Venezuela, el Reglamento en su Artículo 80, establece el rendimiento mínimo del campo característico (denominado allí como “eficiencia de radiación”) asumiendo una conductividad del suelo = 4 mS/m, y que define los valores correspondientes a E_c para diversas alturas de los mástiles, como se indica en la Tabla 2.

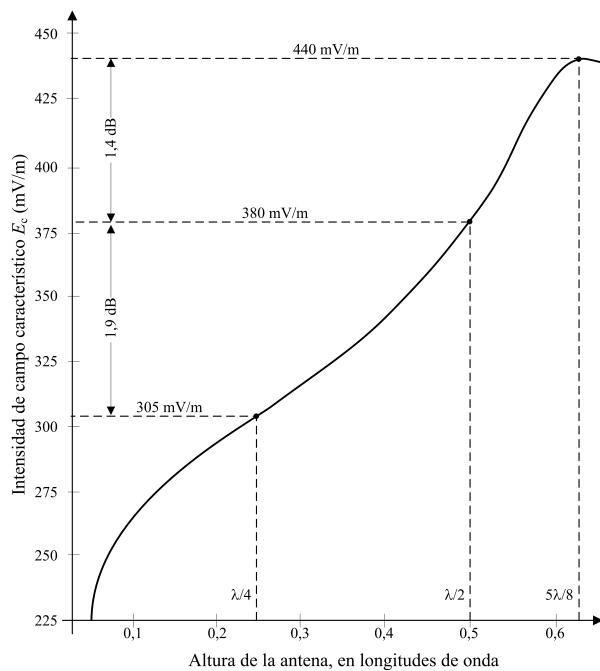


Figura 3: Intensidad de campo característico de una antena monopolo vertical para el servicio AM empleada por las administraciones en EE.UU., México y Perú.

Nótese que lo valores representativos de la altura de mástil de antena referidos en la Tabla 2 son $\lambda/4$, $\lambda/2$ y $5\lambda/8$, y en la Figura 3 se indican sus correspondientes campos característicos E_c , observándose que los valores se encuentran entre los 305 mV/m y 440 mV/m, respectivamente (para un rango de 3,2 dB).

Tabla 2: Eficiencia de radiación mínima de las antenas el servicio de radiodifusión AM en Venezuela, según el Artículo 80 del Reglamento.

f_{op} (kHz)	Longitud del mástil, unidades λ	$E_{mín}$ mV/m
< 950	1/4	270
	1/2	330
	5/8	380
960 – 1300	1/4	260
	1/2	320
> 1300	1/8	210
	1/4	250

f_{op} : Frecuencia de operación
 $E_{mín}$: Intensidad de campo mínima a 1 km

Dado que este último campo eléctrico de 440 mV/m representa el valor máximo absoluto del campo característico según las referencias de la Figura 3 y de la Tabla 2, se consideró el mismo en este estudio para su aplicación en la ecuación (5) correspondiente a los cálculos de radiopropagación de las estaciones interferida e interferente, siendo esta decisión consistente con la consideración de evitar el sobrealcance a efectos de estimar las distancias en procesos de planificación de la red y de validación de factibilidad de coexistencia (un mayor campo eléctrico ocurre más cerca de la estación que lo produce).

En relación a la conductividad del terreno σ , es necesario definir ésta para el suelo entre las estaciones que interfieren. La conductividad puede experimentar cambios asociados al tipo de suelo y su grado de humedad, y es un parámetro que afecta significativamente el factor de Sommerfeld \hat{A} de la ecuación (4), y en consecuencia al campo unitario E_G . debido a la onda superficial.

En Venezuela, se dificulta ubicar estudios publicados que suministren información de éste parámetro a escala nacional y regional para las estaciones seca y lluviosa, por lo que a efectos de estimación se consideró emplear los valores establecidos por la UIT-R en la Rec. P.832-3 [19] que consiste en un atlas mundial de conductividad del suelo, con curvas iso- σ , señalándose allí textualmente que los valores suministrados son adecuados para obtener las mejores estimaciones posibles a efectos de

planificación en radiocomunicaciones en ondas hectométricas, justamente la aplicación que se trata en la investigación.

Analizando el mapa de América del Sur del señalado ese atlas se determinó por inspección la conductividad en múltiples estados de Venezuela en ondas hectométricas, según se observa en la Tabla 3, advirtiendo que el rango de valores de σ para ese país se encuentra entre 1 mS/m y 25 mS/m, intervalo que respalda la selección de los 4 mS/m para la definición de los contornos presentados la Tabla 2 obtenidos del Reglamento (Artículo 80).

Al analizar el contenido de la mencionada Rec. UIT-R P.368-9 que contiene las curvas de propagación por onda de superficie, se observa que abarca varios tipos suelos, siendo las conductividades las siguientes: Tierra húmeda (10 mS/m), tierra (3 y 30 mS/m), tierra moderadamente seca (1 mS/m), tierra seca (0,3 mS/m), tierra muy seca (1 mS/m); entre otras, con valores de permitividad relativa (constante dieléctrica ϵ) comprendidas entre 3 y 80. Se descarta la consideración de agua de mar debido a que el Reglamento no califica como zonas de servicio a las áreas marítimas, como se refiere en su Artículo 66 [1].

Tabla 3: Conductividad eléctrica del suelo de algunos de los estados y regiones de Venezuela, para ondas hectométricas. Datos obtenidos en la carta de América del Sur del atlas mundial de UIT-R P.832-3.

Estado o región	Conductividad eléctrica, mS/m
Amazonas y parte de Bolívar.	1
Parte de Aragua, parte de Bolívar, Carabobo, Distrito Capital, parte de Lara, parte de Miranda, Nueva Esparta, parte de Mérida, Sucre, parte de Táchira, Trujillo, Yaracuy y parte de Zulia.	4
Parte de Apure, parte de Bolívar, parte de Barinas, Falcón, parte de Lara, parte de Portuguesa, y parte de Zulia.	10
Anzoátegui, Parte de Apure, parte de Barinas, Cojedes, Delta Amacuro, Guárico, parte de Miranda, Monagas y parte de Portuguesa.	25

Considerando que es necesario cruzar el rango de valores de conductividad plausibles para Venezuela referido en la Tabla 3 con el rango que ofrecen las cartas de la Rec. P.368-9, se decidió realizar los cálculos de propagación por onda superficial con dos tipos de terreno ofrecidos en la recomendación: Uno correspondiente al tipo de terreno “Tierra”, con $\sigma = 3$ mS/m y $\epsilon = 40$, y otro con el tipo de terreno “Tierra”, con $\sigma = 30$ mS/m y $\epsilon = 40$. Este espectro de valores de σ cubre la mayor parte del territorio y población nacional, y suministra resultados por exceso en los campos eléctricos, adecuados para disponer de un factor de seguridad de alcance en los resultados, necesario para la planificación de la red para el servicio de AM.

Adicionalmente, los cálculos de propagación de la propuesta se realizaron para frecuencias ubicadas en la parte inferior y superior de la banda AM, compatibles con cartas de propagación disponibles, las cuales fueron 500 kHz y 1500 kHz, situadas relativamente cerca de los límites de la banda comercial de AM en Venezuela.

Al analizar la interferencia entre un par de estaciones AM debe considerarse la relación de protección RP (indicada en dB) que compara el nivel de campo eléctrico producido en un sitio por la estación interferida E_D (dB μ) con el nivel de campo eléctrico en el mismo sitio debido a la estación interferente E_U (dB μ), especificando el criterio para una operación en condiciones de interferencia admisible, según la relación de interferencia (dB):

$$E_D - E_U \geq RP \tag{6}$$

siendo el caso crítico de interferencia admisible el que corresponde a la igualdad en la relación (6), luego del cual habría interferencia perjudicial en el sitio de evaluación. Para el servicio de AM, el Reglamento en su Artículo 71 especifica las relaciones de protección que deben satisfacer las estaciones, dependiendo de la separación de frecuencia entre las portadoras (estaciones cocanales o en canales adyacentes). Los valores administrativos de RP de ese artículo se suministran en la Tabla 4. CONATEL ratifica esos valores en su documentación publicada

vigente en relación a la radiodifusión AM. Sin embargo, en el Reglamento no se especifica el ancho de banda de audiofrecuencia el cual se asume en el orden de los 4,5 kHz debido al sistema de modulación en doble banda lateral con gran portadora y al ancho de banda de RF entre canales reglamentario de 10 kHz. Tampoco se establece allí si las relaciones de protección implican o no empleo de un sistema de compresión de audiofrecuencia, y si esta compresión de audio sería ligera o grande, cuestiones que son importantes para establecer adecuadas relaciones de protección en canales adyacentes según la Recomendación UIT-R BS.560-4 de 1997, titulada Relaciones de protección en radiofrecuencia para la radiodifusión en ondas kilométricas, hectométricas y decamétricas [20].

Tabla 4: Relaciones de protección entre estaciones AM establecidas por el Reglamento (Artículo 71) y CONATEL, según la separación de frecuencias.

Canal	Δf kHz	Relación de protección, RP	
		E_{rel}	dB
Cocanal	0	20:1	26
1 ^{er} Canal adyacente	10	1:1	0
2 ^{do} Canal adyacente	20	1:32	-30
3 ^{er} Canal adyacente	30	1:90	-39

Δf : Separación de frecuencia.
 E_{rel} : Campo eléctrico relativo.

Es oportuno comparar las relaciones de protección reglamentarias en Venezuela de la Tabla 4 con las indicadas en la mencionada Rec. UIT-R BS.560-5, la cual recomienda el aplicar determinados valores de las relaciones de protección en radiofrecuencia para la radiodifusión sonora en ondas hectométricas (Banda 6: 300 kHz – 3 MHz). Según ese documento, para emisiones cocanal la relación de protección en radiofrecuencia es de 40 dB en el caso de señales estables (onda de superficie). Sin embargo en la Nota 2 de la misma referencia se señala que en 1981 la Conferencia Administrativa Regional de Radiodifusión por ondas hectométricas (Región 2, donde se ubica Venezuela) utiliza una relación de protección

cocanal significativamente inferior, de 26 dB, para los servicios establecidos por onda de superficie, siendo este valor idéntico al indicado en la Tabla 4 para condición cocanal en Venezuela.

La recomendación BS.560-5 establece también que las relaciones de protección para los canales adyacentes para un ancho de banda de audio de 4,5 kHz y una compresión ligera de la señal de audio, serían de -6 dB para 10 kHz de separación de portadoras, y de -29 dB para 20 kHz de separación, y que en el caso de que se empleara una gran compresión de audio (típico en el servicio AM comercial) las relaciones de protección requeridas serían de -10 dB y -29 dB, respectivamente. Estos valores difieren de los que se indican en la Tabla 4. La recomendación no señala el valor de la relación de protección para 30 kHz entre portadoras. De lo anterior se estima recomendable la revisión y posible actualización de los valores reglamentarios de las relaciones de protección en Venezuela para el servicio AM. No obstante, para el estudio se consideraron las relaciones reglamentarias vigentes de la Tabla 4.

El análisis de interferencia implica validar el cumplimiento de la relación (6) para el caso crítico, y dado que la Tabla 1 establece el contorno límite de la zona de servicio primaria ($dB\mu$), se consideró el valor diurno allí indicado como el nivel de campo de la estación interferida E_D , ($dB\mu$), con lo que inmediatamente queda establecido el nivel de campo límite que puede producir la estación interferente E_U para satisfacer la RP (dB) obteniéndose:

$$E_U = E_D - RP \tag{7}$$

La selección del valor del campo diurno en lugar del nocturno de la Tabla 1 se efectuó debido a que se trata del valor mínimo de campo eléctrico, el cual maximizará la cobertura, una premisa del diseño para las distancias mínimas entre estaciones a satisfacer a los fines de planificación de la red. Se supone también que la mitigación exigida del campo nocturno en el Reglamento, con respecto al campo diurno en la Tabla 1 (lo cual implica la reducción de la potencia de emisión nocturna al anochecer) se debe a la contribución nocturna adicional del modo de propagación de

la onda ionosférica, y que la relación en dB entre esos dos niveles de campo eléctrico debiera haber sido calculada por el diseñador (el ente regulador) tomando en cuenta un alcance similar para la superposición (coherente) de la onda ionosférica más la onda superficial, de manera que la cobertura efectiva no varíe significativamente con la transición día-noche. Esto facilita que la estimación de la matriz de distancias mínimas de la presente investigación se efectúe considerando únicamente el modo diurno, sin componente de reflexión ionosférica, al ser equivalente a la suma del modo nocturno que incluye a la onda ionosférica mitigada por reducción de potencia, más la onda superficial.

Sobre la base de los argumentos expuestos y resumiendo la metodología, el modelo propuesto para la determinación de la distancia mínima entre dos estaciones AM de clases dadas se basa en el empleo de las curvas de propagación UIT-R P.368-9 señaladas en la sección 2, e implica que se calcule para la estación interferida la distancia d_1 (km) desde su sitio de transmisión hasta su contorno de servicio primario diurno E_D (dB μ), para la potencia de operación máxima de su clase, P_{TD} (dBk) y un campo característico máximo de 440 mV/m, o bien $E_C \approx 113$ dB μ . Sustituyendo estos datos en la ecuación (5) se calcula el campo eléctrico unitario de la estación interferida, E_{GD} (dB μ):

$$E_{GD} = E_D - 20 \log_{10} \left(\frac{440}{300} \right) - P_{TD} \quad (8)$$

y con el valor unitario obtenido de E_{GD} (dB μ), se entra en la curva de propagación seleccionada de la Rec. UIT-R P.368-9 correspondiente a la conductividad del terreno y a la frecuencia de operación, pudiéndose entonces determinar la distancia d_1 (km).

A continuación, y de acuerdo a la relación de protección RP (dB) exigida por la separación de frecuencia entre estaciones (Tabla 4), empleando la ecuación (7) se obtiene el nivel de campo eléctrico de la estación interferente, E_U (dB μ), correspondiente a la estación interferente justo el sitio que subtiende la distancia d_1 previamente calculada desde la estación interferida, de manera

que se cumpla exactamente la relación de protección exigida. Esto permite determinar el nivel campo unitario de la estación interferente, E_{GU} (dB μ) en ese punto, luego de lo cual, utilizando nuevamente a la ecuación (5), esta vez para la estación interferente la cual opera con su potencia P_{TU} (dBk) implicará, para su nivel de campo unitario, la relación:

$$E_{GU} = E_U - 20 \log_{10} \left(\frac{440}{300} \right) - P_{TU} \quad (9)$$

Seguidamente, con el valor unitario del campo E_{GU} de la ecuación (9), se entra en la curva de propagación seleccionada de la Rec. UIT-R P.368-9 para la conductividad del terreno y la frecuencia de operación, resultando entonces la distancia d_2 (km) medida desde el sitio de ubicación de la estación interferente hasta el punto de evaluación de la interferencia, que coincide con la ubicación del contorno subtendido por d_1 (km) desde la estación interferida, donde los campos están en una relación de interferencia dada exactamente por la RP (dB).

La estimación de d_1 y d_2 puede realizarse ya sea manualmente en las curvas o bien por medio del software GRWAVE de la ITU [7], teniendo en cuenta el requerimiento de emulador x86.

La condición crítica para establecer el límite de distancia entre estaciones AM para una interferencia admisible será la que exige que las circunferencias de los contornos de servicio centrados en las estaciones (de radio d_1 para la interferida, y de radio d_2 para la interferente) sean tangentes justo en la frontera donde se satisfacen las ecuaciones (7), (8) y (9). De esta manera la distancia mínima requerida entre las dos estaciones en estudio, denotada como d (km) será:

$$d = d_1 + d_2 \quad (10)$$

En la Figura 4 se suministra un gráfico ilustrativo que complementa la metodología diseñada en esta sección para obtener la distancia mínima d de la ecuación (10) entre un par de estaciones AM en condiciones de interferencia. Se reutiliza la metodología conceptual señalada por Robledo y Castañeda [8], pero adaptada en este caso para estaciones en la banda AM en lugar de FM. En

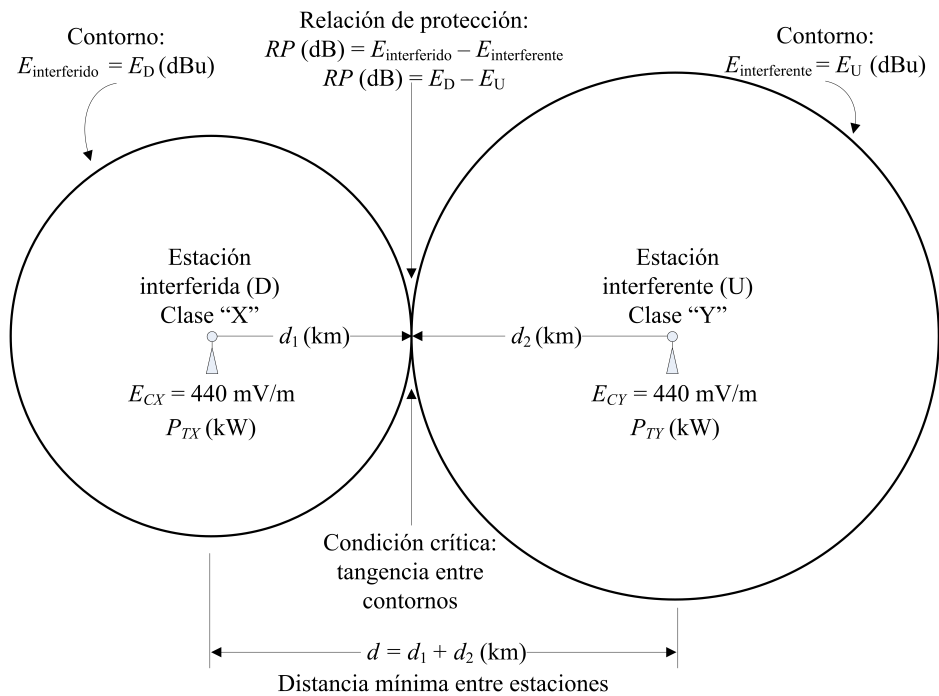


Figura 4: Gráfico ilustrativo de la metodología diseñada para estimación de la distancia mínima entre estaciones AM.

la Figura 4, a la izquierda está el contorno de servicio circular de la estación interferida "X", el cual se tiene para la distancia d_1 con respecto a esa estación, y a la derecha el contorno de servicio del campo de la estación interferente "Y", que se presenta a la distancia d_2 de esa estación.

La ubicación de los dos contornos se calcula para la potencia máxima de operación de las estaciones según su clase, y con el campo característico máximo de 440 mV/m que corresponde a un mástil de $\lambda 5/8$ con 120 radiales de $\lambda/4$ para el plano de tierra, considerando las frecuencias y la conductividad del terreno, supuesto homogéneo. La condición límite de interferencia admisible se impone mediante la tangencia de los dos contornos, resultando en la suma $d = d_1 + d_2$ para la separación mínima entre estaciones. Esta es la distancia mínima requerida de separación.

El procedimiento y sus cálculos descritos se repiten posteriormente para todas y cada una de las combinaciones administrativas posibles de estaciones AM según sus diversos tipos de clases, hasta obtener los valores para todas las celdas de la nueva matriz de distancias mínimas

requeridas objeto de la investigación, válida para los tipos de terreno seleccionados y las subbandas de frecuencia en consideración, situados convenientemente en los límites de la banda AM. (partes baja y alta de la banda).

4. Análisis y discusión de resultados

Una vez diseñada la metodología descrita en la sección 3, empleando una hoja de cálculo Excel se realizaron los cálculos que permitieron determinar todas las distancias mínimas d entre dos estaciones AM de clases arbitrarias, definidas según la ecuación (10), cuyos resultados se presentan en la Tabla 5. Allí se emplean los acrónimos de las clases de las estaciones señalados en la Tabla 1. La Tabla 5 suministra las distancias mínimas requeridas para las frecuencias seleccionadas en los extremos aproximados de la banda AM de 500 y 1500 kHz, con conductividades estimadas de 3 y 30 mS/m, correspondientes ambas a tierra con dos grados diferentes de humedad, selección adecuada para caracterizar a las temporadas nacionales seca y lluviosa, y separación de frecuencias Δf (kHz) dada entre las

Tabla 5: Matriz de distancias mínimas de separación entre estaciones AM propuesta para Venezuela (km), calculadas para la onda superficial en modo diurno, obtenidas a partir de la Rec.UIT-R P.368-9, determinadas a frecuencias de 500 kHz y 1500 kHz, en cocanal y canales adyacentes, sobre tierra con conductividades de 3 y 30 mS/m.

Clase		EDCD _D (Interferida)															
<i>f_{req}</i> (kHz)		500				1500				1500							
<i>σ</i> (mS/m)		3		30		3		30		3		30					
$ \Delta f $ (kHz)		0	10	20	30	0	10	20	30	0	10	20	30	0	10	20	30
<i>RP</i> (dB)		26	0	-30	-39	26	0	-30	-39	26	0	-30	-39	26	0	-30	-39
EDCD _U		730	420	265	238	1850	1300	790	705	323	166	100	93	690	460	285	262
ER _U		690	415	255	233	1790	1225	743	690	298	156	98	92	670	435	276	256
EL _U		610	355	237	224	1610	1070	698	671	253	131	93	89	590	380	260	245
ELR _U		610	355	237	224	1610	1070	698	671	253	131	93	89	590	380	260	245

Clase		ER _D (Interferida)															
<i>f_{req}</i> (kHz)		500				1500				1500							
<i>σ</i> (mS/m)		3		30		3		30		3		30					
$ \Delta f $ (kHz)		0	10	20	30	0	10	20	30	0	10	20	30	0	10	20	30
<i>RP</i> (dB)		26	0	-30	-39	26	0	-30	-39	26	0	-30	-39	26	0	-30	-39
EDCD _U		635	345	209	186	1580	1020	563	512	266	121	70	64	590	360	212	192
ER _U		595	330	199	182	1520	960	555	506	246	112	68	63	555	340	208	189
EL _U		505	290	184	173	1360	830	508	492	196	96	63	60	490	295	190	180
ELR _U		505	290	184	173	1360	830	508	492	196	96	63	60	490	295	190	180

Clase		EL _D (Interferida)															
<i>f_{req}</i> (kHz)		500				1500				1500							
<i>σ</i> (mS/m)		3		30		3		30		3		30					
$ \Delta f $ (kHz)		0	10	20	30	0	10	20	30	0	10	20	30	0	10	20	30
<i>RP</i> (dB)		26	0	-30	-39	26	0	-30	-39	26	0	-30	-39	26	0	-30	-39
EDCD _U		595	305	169	146	1450	890	433	382	250	105	54	48	545	315	167	147
ER _U		555	290	159	142	1390	830	425	379	230	96	52	47	510	295	163	144
EL _U		465	250	144	133	1230	700	378	362	180	80	47	44	445	250	145	135
ELR _U		465	250	144	133	1230	700	378	362	180	80	47	44	445	250	145	135

Clase		ELR _D (Interferida)															
<i>f_{req}</i> (kHz)		500				1500				1500							
<i>σ</i> (mS/m)		3		30		3		30		3		30					
$ \Delta f $ (kHz)		0	10	20	30	0	10	20	30	0	10	20	30	0	10	20	30
<i>RP</i> (dB)		26	0	-30	-39	26	0	-30	-39	26	0	-30	-39	26	0	-30	-39
EDCD _U		595	305	169	146	1450	890	433	382	250	105	54	48	545	315	167	147
ER _U		555	290	159	142	1390	830	425	376	230	96	52	47	510	295	163	144
EL _U		465	250	144	133	1230	700	378	362	180	80	47	44	445	250	145	135
ELR _U		465	250	144	133	1230	700	378	362	180	80	47	44	445	250	145	135

EDCD: Estación de canal despejado.

EL: Estación local.

U: Subíndice (Interferente).

D: Subíndice (Interferida).

ER: Estación regional.

ELR: Estación local restringida.

f_{req}: frecuencia.

estaciones interferida e interferente, transmitiendo éstas ya sea en condición cocanal ($\Delta f = 0$ kHz) o en canales adyacentes (primero, segundo o tercero, con valores de Δf de ± 10 kHz, ± 20 kHz y ± 30 kHz, respectivamente), y sus correspondientes relaciones de protección RP (dB) reglamentarias, definidas de acuerdo a la Tabla 4.

Al analizar la matriz de la Tabla 5 se observa que la distancia entre estaciones aumenta a medida

que se incrementa la conductividad del suelo, y también que disminuye en el caso en que se incremente la frecuencia de las estaciones (porción de la banda donde operan), resultados de acuerdo con el modelo de la onda superficial. Además, la distancia mínima *d* aumenta conforme disminuye la separación de frecuencia Δf de las portadoras, siendo máxima en la operación cocanal (la condición más perjudicial).

El rango de valores calculados de las distancias mínimas de la matriz de la Tabla 5 se encuentra entre un mínimo los 44 km para un escenario de baja conductividad, alta frecuencia en la banda AM, considerando ambas estaciones de la clase Local Restringida ELR, operando con una separación de tercer canal adyacente; y un máximo de 1850 km para un escenario de alta conductividad, baja frecuencia en la banda AM, considerando ambas estaciones en la clase de Canal Despejado EDCD, operando en frecuencia cocanal (en el caso hipotético en que tal explotación fuera permitida administrativamente).

Este intervalo de distancias mínimas comprendido entre 44 y 1850 km posee casi dos órdenes de magnitud de separación. Se puede comparar este rango de distancias con el establecido en la normativa del MINTIC de Colombia [4] (señalada en la sección 1) situado entre un mínimo de 54 km y un máximo de 670 km para estaciones AM en la banda entre 500 kHz y 1500 kHz, si bien se desconoce cuál fue la conductividad asumida del terreno en ese estudio, y las relaciones de protección empleadas por esa nación, de ahí la diferencia de resultados con la propuesta, justificada además por los diferentes valores de potencias de operación con respecto a las de Venezuela, dado que las clases administrativas son diferentes entre ambos países.

Se advirtió que algunos de los valores de distancia mínima de la Tabla 5 son lo suficientemente altos para impedir la asignación de ciertas combinaciones de estaciones AM dentro del territorio de Venezuela, debido a las dimensiones físicas del país, con 916445 km² de superficie, lo que corresponde a un diámetro equivalente de 1080 km, aproximadamente. Esto se encuentra de acuerdo con la denominación de ciertas estaciones como de “Canal Despejado” en la normativa, situación interpretada como libre de interferencias en cocanal al ser reservada la frecuencia para su uso exclusivo por parte de una estación de esta clase, a nivel nacional, cuando el ente regulador lo considera pertinente.

Se observó que la matriz de la Tabla 5 no es simétrica, por ejemplo si se tiene una estación de clase ER (regional) y otra de clase EL (local),

operando con $\Delta f = 20$ kHz en frecuencias cercanas a la parte baja de la banda baja (500 kHz) y terreno de alta conductividad (30 mS/m), y si se considera a la ER como interferida y a la EL como interferente, la distancia mínima requerida entre las dos estaciones será de 508 km, pero si se invierten las condiciones, tratándose a la estación EL como la interferida y a la estación ER como interferente, la distancia mínima se reduce a 425 km (un 16 % de disminución, aproximadamente). Esta asimetría se debe principalmente a la no linealidad de las curvas de propagación de la onda superficial.

Dadas las coordenadas geográficas de ubicación de las dos estaciones AM, la distancia entre ellas, estimada por ejemplo sobre tierra esférica, puede calcularse mediante el algoritmo de círculo máximo o bien, para distancias cortas, por el método de tierra plana establecido por la FCC. Ambos métodos están referidos en el manual de la National Association of Broadcasters (NAB) [21], siendo válido según esa referencia el método de tierra plana siempre que la distancia entre estaciones no exceda los 475 km, cuestión ratificada además por la sección 73.208 de las Rules and Regulations de la FCC [3]. La distancia obtenida entre las dos estaciones se compara entonces con la que ofrece la matriz propuesta de la Tabla 5 a fines de planificación o de validación técnica, resultando la información sobre si la coexistencia sería bajo interferencia admisible o perjudicial. En caso de que el sector de la frecuencia de operación de las estaciones y la conductividad no sean exactamente las de la Tabla 5, se puede aplicar un mecanismo de interpolación, ya sea lineal o con “splines” del grado polinómico adecuado, dependiendo de la precisión requerida.

Como ejemplo ilustrativo para Venezuela, considérese una hipotética estación “X” interferida, clase ER (Estación regional, potencia de operación máxima diurna de 50 kW), transmitiendo a 820 kHz, con antena omnidireccional ubicada en el estado Aragua, en las coordenadas geográficas N 10° 13' 14”, O 67° 17' 22” cerca de la ciudad de La Victoria, y una estación “Y” interferente, clase EL (Estación Local, potencia de operación máxima diurna de 10 kW), transmitiendo a 850 kHz, con antena omnidireccional ubicada en el

estado Carabobo, en las coordenadas geográficas N 10° 01' 47", O 68° 08' 07", cercana a la localidad conocida como Campo de Carabobo. La distancia entre estas dos estaciones es de 95 km según el algoritmo de círculo máximo. Para los estados Aragua y Carabobo, de la Tabla 3 resulta una conductividad $\sigma = 4$ mS/m (muy cercana al valor de 3 mS/m incluido en la Tabla 5), y la separación de frecuencias entre estaciones es $\Delta f = 30$ kHz.

Con estos datos, al entrar en la Tabla 5 resultaría una distancia mínima requerida d de 173 km si se selecciona la parte baja de la banda (500 kHz) y de 60 km si se selecciona la parte alta de la banda (1500 KHz). Dado que la frecuencia promedio de las estaciones en estudio es de 835 kHz, la interpolación lineal en la Tabla 5 implicaría una distancia mínima requerida de aproximadamente 135 km, la cual excede en 40 km a la distancia entre estaciones de 95 km, lo cual empeoraría durante la estación lluviosa al aumentar la conductividad, por lo que se concluye que en esas condiciones la coexistencia de esas dos estaciones no sería factible y habría interferencia perjudicial. Esta herramienta de detección temprana del problema de interferencias antes de la permisología e implementación de una nueva emisora se estima de utilidad para el ente regulador que gestiona las habilitaciones administrativas de radiodifusión.

Una solución al problema del ejemplo podría ser el aumentar la separación de frecuencia entre estaciones, emplear un arreglo direccional de antena, o disminuir la potencia de operación de la estación interferente, de manera que la interferencia pase de ser perjudicial a admisible según la relación de protección que se requiere.

5. Conclusiones

El análisis de los resultados de la sección 4 permite concluir que la matriz propuesta de distancias mínimas de la Tabla 5 proporciona una guía de referencia para la planificación y actualización de la red (grilla) de las estaciones de radiodifusión AM, adaptada específicamente a las clases de estaciones y a las relaciones de protección establecidas por la normativa vigente en Venezuela.

Se trata de una matriz diseñada en base a la radiopropagación de la onda superficial en modo diurno de las emisiones de los mástiles de las antenas (supuestas omnidireccionales) de las estaciones interferida e interferente y está disponible para dos conductividades del terreno dentro de las cuales se incluyen grandes y pobladas áreas de territorio nacional (por ejemplo en la región capital y central), resultando la matriz calculada en los sectores inferior y superior de la banda AM reglamentaria en ondas hectométricas, siendo viable la interpolación para otras conductividades o rango de frecuencias.

Ante la ausencia actual en la normativa venezolana de un instrumento similar matricial (u otro equivalente) que especifique distancias mínimas que deben cumplir las estaciones en AM, adecuado a las clases de las estaciones del país y acorde con las particulares relaciones de protección establecidas, la matriz de la Tabla 5 podría ser empleada como elemento de planificación de red por el ente regulador (previa auditoría técnica y pruebas contra la base de datos de estaciones AM) y por los operadores de las estaciones e ingenieros de proyecto que acometen el diseño de nuevas estaciones AM, que deben ser compatibles con la presencia del conjunto de estaciones previamente habilitadas y en operación, y en donde se debe demostrar la factibilidad de coexistencia con interferencia admisible de las nuevas plantas transmisoras con las estaciones previamente habilitadas.

El escenario adquiere importancia considerando que las habilitaciones de radiodifusión sonora otorgadas tienen un tiempo de vencimiento medido en pocos años (por ejemplo de 2, 5 o 10 años), lo que propicia la renovación gradual del uso del espectro radioeléctrico a medida que vencen y se reasignan las concesiones del espectro y las habilitaciones administrativas con sus atributos en AM, implicando la necesidad del mantenimiento continuo de la grilla de asignaciones de la red, validando que se garanticen las distancias admisibles para propiciar el crecimiento racional del servicio.

Dada la iniciativa observada en otras naciones de proponer matrices comparables de distancias

mínimas entre estaciones AM (como la referida en la sección 1 del MINTIC en Colombia), es pertinente este tipo de análisis a nivel nacional bajo un esquema de modelado físico con base empírica soportada en recomendaciones y datos reconocidos internacionales (ante la ausencia actual de modelos locales o regionales), tales como los establecidos por la ITU, tanto para las curvas de propagación como para la conductividad eléctrica del terreno, y donde realizar mediciones a nivel nacional por medios geofísicos de este parámetro de los suelos sería útil a los fines de lograr una mayor precisión. Estas mediciones permitirían su reutilización para el diseño de sistemas de puesta a tierra de los mástiles AM (radiales).

La matriz de la Tabla 5 podría mejorarse añadiendo otros valores de conductividad (o tipos de terreno), implementarse computacionalmente con una mayor cantidad de datos, o bien por el contrario podría simplificarse tomando en cuenta el caso de las mayores distancias posibles, que corresponderían a las más altas conductividades (en período de lluvias, con significancia estadística) y las frecuencias más bajas de la banda AM, de manera que el exceso de distancia actuaría como factor de seguridad o banda de guarda espacial adicional para especificar las distancias mínimas, en cuyo caso podría establecerse la versión simétrica de la matriz con el objeto de reducir el tamaño de la Tabla 5, con miras a su incorporación en una futura normativa. En este sentido tómesese en consideración también que los cálculos realizados para obtener la matriz se efectuaron para la longitud de mástil que produce la mayor eficiencia de radiación ($\lambda/8$), también con la intención de disponer de un factor de seguridad adicional en las distancias mínimas.

Considerando que Venezuela posee una superficie de 916445 km² (sin incluir los 159542 km² en disputa territorial con Guyana) se tendría un radio equivalente bajo una aproximación circular de aproximadamente 540 km, y dado que el rango de distancias obtenido en la Tabla 5 se encuentra entre 44 km y 1850 km, este resultado justifica que para determinadas clases y frecuencias en efecto no se deban reasignar dentro del territorio a estaciones en cocanal y aun en cercanos canales adyacentes, a los

fines de evitar la interferencia perjudicial, siendo además necesario analizar lo relativo a la posible mitigación de emisiones cuando las estaciones sean fronterizas, en procesos coordinados de gestión de interferencia con los países vecinos.

El hecho de que la Tabla 5 no incluya la componente de campo debido a la onda ionosférica no tiene efecto perjudicial, debido a que la normativa actual mitiga el efecto nocturno de esta onda al ajustar en el Reglamento los valores de los contornos de servicio de las estaciones. Se presume que ese ajuste se efectúa sobre la base de la equivalencia en AM entre el campo de la onda superficial (diurna) y la suma del campo de la onda ionosférica más la onda superficial (nocturna), cuestión que podría analizarse detalladamente en una futura investigación para calibrar adecuadamente la atenuación nocturna de potencia requerida, dado que la fenomenología de la onda celeste o ionosférica es muy diferente a la de la onda de superficie al tratarse de un medio ionizado con grandes fluctuaciones.

Finalmente, se estima conveniente revisar los valores reglamentarios de las relaciones de protección en Venezuela (dB), comparándolos con los estándares actuales señalados, recomendados por la UIT, dadas las mejoras recientes en la selectividad de los receptores y en lo relativo a la compresión de audio.

6. Referencias

- [1] República de Venezuela. Decreto N° 2.771. Reglamento sobre la operación de las estaciones de radiodifusión sonora. *Gaceta Oficial de la República de Venezuela*, 1(4.530 Extraordinario):1–35, 1993.
- [2] República de Venezuela. Reglamento de radiocomunicaciones. *Gaceta Oficial de la República de Venezuela*, (3.336 Extraordinario), 1984.
- [3] PART 73-Radio broadcast services, subpart A-AM broadcast stations, 2012. Federal Communications Commission, U.S. Government Publishing Office.
- [4] MTIC. Plan técnico nacional de radiodifusión sonora en amplitud modulada, Julio 2013. Ministerio de Tecnologías de la Información y las Comunicaciones, República de Colombia.
- [5] José María Hernando Rabanos, J. M. Riera, and L. M. Tomás. *Transmisión por radio*. Editorial Universitaria Ramón Areces, Madrid, 7^{ma} edición, 2013.

- [6] Z. Barboza de Vielma. *Antenas y propagación*. Universidad de Los Andes, Merida, Venezuela, 1991.
- [7] UIT-R. Recomendación UIT-R P.368-9. curvas de propagación por onda de superficie para frecuencias comprendidas entre 10 kHz y 30 MHz, 2010.
- [8] Fabián Robledo Upegui and Idelmaro Castaneda Brito. Tech note; Proposal for a matrix of minimum distances between FM broadcasting stations based on the FCC and ITU-RF (50, 50)-F (50, 10) charts. *Revista Ingenieria UC*, 22(1):110–119, 2015.
- [9] Anabel Carolina Torres Andrade and Jhoana Paola Oleas García. Estudio técnico y diseño para la implementación de una estación radial AM para brindar el servicio radial con cobertura para la zona centro del Ecuador con las estaciones base en el cantón Guano. Trabajo Especial de Grado, Escuela Superior Politécnica de Chimborazo, Riobamba, Ecuador, 2014.
- [10] Marcelo Javier López Sanmartín, Villarruel Amendaño, and Carlos Eduardo. Diagnóstico de la situación actual de los servicios de radio y televisión en el sur del país mediante el análisis de información del sistema automático de control del espectro radioeléctrico (SACER) de la superintendencia de telecomunicaciones (SUPERTEL) y planteamiento de soluciones técnicas para las irregularidades de mayor incidencia. Trabajo Especial de Grado, Universidad de Cuenca, Facultad de Ingeniería, Cuenca, Ecuador, 2013.
- [11] Yasuhiro Nishioka, Yoshio Inasawa, and Yoshihiko Konishi. Coparison of measured and theoretically predicted results of ground-wave propagation characteristic at mf-band. In *Electromagnetic Theory (EMTS), Proceedings of 2013 URSI International Symposium on*, pages 302–305. IEEE, 2013.
- [12] Gokhan Apaydin and Levent Sevgi. Groundwave propagation at short ranges and accurate source modeling [testing ourselves]. *IEEE Antennas and Propagation Magazine*, 55(3):244–262, 2013.
- [13] Gökhan Apaydin, Ozlem Ozgun, Mustafa Kuzuoglu, and Levent Sevgi. A novel two-way finite-element parabolic equation groundwave propagation tool: Tests with canonical structures and calibration. *IEEE Transactions on Geoscience and Remote Sensing*, 49(8):2887–2899, 2011.
- [14] Javier Héctor Erazo Chulde. Estudio y análisis de la tecnología de redes de frecuencia única (isofrecuencia), y su aplicación a la radiodifusión en las bandas de am y fm para la optimización del espectro electromagnético en la ciudad de quito. Trabajo Especial de Grado, Escuela Politécnica Nacional, Quito, Ecuador, 2009.
- [15] Jefferson Angelo Bravo Gómez and Carlos Alfredo Cely León. Medición, caracterización y modelamiento del rango de frecuencias asignado a radiodifusión AM (525-1705 kHz) de la banda MF del espectro electromagnético en la FIEC, Campus Prosperina. Trabajo Especial de Grado, Escuela Superior Politécnica del Litoral, Guayaquil, Ecuador, 2015.
- [16] UIT-R. Recomendación UIT-R SM.337-8 . separaciones en frecuencia y en distancia, 2008.
- [17] Secretaria de Comunicaciones y Transportes. Modificación a la norma oficial mexicana NOM-03-SCT1-93, especificaciones y requerimientos para la instalación y operación de estaciones de radiodifusión de televisión monocroma y a color (bandas VHF y UHF). *Diario Oficial*, Primera Sección, Mayo 2004.
- [18] Ministerio de Transportes y Comunicaciones. Resolución Ministerial N° 358-2003-MTC-03. Normas técnicas del servicio de radiodifusión. *El Peruano*, page 244172, 2003.
- [19] UIT-R. Recomendación UIT-R P.832-3. Atlas mundial de la conductividad del suelo, 2012.
- [20] UIT-R. Recomendación UIT-R BS.560-5. Relaciones de protección en radiofrecuencia para la radiodifusión en ondas kilométricas, hectométricas y decamétricas, 1997.
- [21] Graham A. Jones, David H. Layer, and Thomas G. Osenkowsky. *National Association of Broadcasters Engineering Handbook: NAB Engineering Handbook*. Taylor & Francis, 2013.

Physical Cell ID for LTE Network: recommendations for planification

Romer Valor ^a, Yofrank Torres ^a y Ahmad Osman ^{*,b}

^aEscuela de Ingeniería de Telecomunicaciones, Facultad de Ingeniería, Universidad de Carabobo, Valencia, Venezuela.

^bCentro de Análisis y Tratamiento de Señales (CATS), Facultad de Ingeniería, Universidad de Carabobo, Venezuela.

Abstract.- Planning the Physical Cell ID (PCI) parameter is one of the most important steps in the deployment of the entire LTE network. However, for national companies providing service related to mobile communications, it is difficult to access said detailed information due to certain incompleteness in the technology transfer at the time of the network deployment. In this article, we describe a PCI allocation methodology based on assisted computing and the construction of a new concept materialized through a risk factor matrix, which seeks to avoid the erroneous detection of said parameter by the user's terminal device, which causes problems in the identification of the cell; and thus be able to provide a better quality of service. This concept of risk factor determines the relationship between each pair of PCI for different propagation conditions, encompassing the information obtained about them, and representing it in three states of possible erroneous detection, low, medium and high risk; thus simplifying decision making.

Keywords: long term evolution (LTE); physical cell ID (PCI); user equipment (UE), risk factor.

Identificador físico de celda para redes LTE: recomendaciones para la planificación y asignación

Resumen.- La planificación del parámetro Physical Cell ID (PCI) es uno de los pasos más importantes en el despliegue de toda la red LTE. Sin embargo, para las empresas nacionales proveedoras de servicio relacionado a las comunicaciones móviles es difícil acceder a dicha información detallada a raíz de ciertas incompletitudes en la transferencia tecnológica al momento del despliegue de la red. En este artículo, se describe una metodología de asignación de PCI basada en cómputo asistido y en la construcción de un nuevo concepto materializado a través de una matriz factor de riesgo, que busca evitar la detección errónea de dicho parámetro por parte del dispositivo terminal del usuario, lo cual ocasiona problemas en la identificación de la celda; y así poder brindar una mejor calidad de servicio. Este concepto de factor de riesgo determina la relación entre cada par de PCI para distintas condiciones de propagación, englobando la información obtenida acerca de ellos, y representándola en tres estados de posible detección errónea, bajo, medio y alto riesgo; simplificando así la toma de decisiones.

Palabras claves: evolución a largo plazo; identificador físico de celda; terminal de usuario; factor de riesgo.

Recibido: septiembre 2017

Aceptado: junio 2018

1. Introducción.

Las demandas generadas en el mercado de telefonías móviles y redes de comunicación, han impulsado el desarrollo masivo de una tecnología móvil de alta capacidad conocida como LTE, exigiendo la actualización y desarrollo constante en la red telefónica para mejorar la calidad de servicio prestada. Entre las principales causas que impactan

este factor, está el aspecto de la movilidad, proceso presente cuando el usuario inicia cambios en su localización física y lógica, implicando no perder la conexión constante con la red. Cuando dicho proceso no es soportado adecuadamente, genera insatisfacción en los usuarios, trayendo como consecuencias quejas por la calidad de servicio en las llamadas realizadas debido a que se manifiestan fenómenos como ecos, interferencias, o simplemente porque en algunos lugares se interrumpe la cobertura en su móvil [1].

Es por ello que la planificación de celdas es de vital importancia para el óptimo comportamiento de la red LTE, tomando en cuenta, entre otras cosas, las señales que serán usadas en la capa

* Autor para correspondencia:

Correo-e: ahmadosmanc@gmail.com (Ahmad Osman)

física del sistema asociadas al proceso de movilidad e identificación de las celdas que se encuentran dentro del área de localización del usuario, así como también, las necesarias para obtener la estimación del canal de comunicaciones [2].

1.1. Sincronización en LTE

A la hora de tratar de sincronizarse a una celda LTE, el dispositivo móvil busca las bandas de frecuencia soportadas para tratar de recoger una señal de sincronización primaria (P-SCH) que se emite cada 5 ms, y con la cual se determina el parámetro $N_{ID}^{(2)}$. Una vez determinado este parámetro, el dispositivo se encuentra sincronizado a nivel de símbolo y permanece en el canal hasta localizar la señal de sincronización secundaria (S-SCH), que también se emite una vez cada 5 ms, con la que se hallará el parámetro $N_{ID}^{(1)}$. Es decir, con la P-SCH, se sincroniza a nivel de símbolo y después, una vez conocida la P-SCH, puede detectar la S-SCH y así determinar el PCI de la celda descrito por la expresión 1

$$N_{CELL}^{ID} = 3N_{ID}^{(1)} + N_{ID}^{(2)} \quad (1)$$

Donde $N_{ID}^{(2)}$ será un entero entre 0-2 representando alguna de las 3 P-SCH y $N_{ID}^{(1)}$ será un entero entre 0-167 representando alguna de las 168 S-SCH. Esto crea un conjunto de 504 PCIs únicos. Luego de esto, el UE tendrá la información suficiente sobre la localización de las señales de referencia (RS) y el resto de los parámetros de la red [2, 3].

Cada celda del sistema de comunicaciones está identificada por un valor de PCI (Physical Cell ID), el cual, es generado por las señales de sincronización. El valor de PCI que va de 0 a 503 es utilizado por el móvil para identificar la celda y discriminar, a la larga, unas celdas de otras.

Con una cantidad limitada de valores de PCI distintos, se deben evitar fenómenos de colisión y confusión; esto es, cuando dos celdas vecinas tienen el mismo PCI, y cuando una celda tiene dos celdas vecinas con el PCI igual, respectivamente. Véase Figura 1 [4, 5].

Siendo la sincronización y cálculo del PCI los procesos primordiales que el UE realiza para conectarse a la red, es de vital importancia la

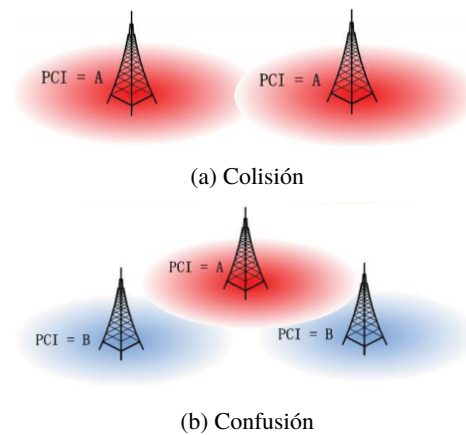


Figura 1: Problemas generadores de interferencia.

planificación de la asignación del parámetro PCI. Diversos estudios, con diversos enfoques han encarado el desafío de seleccionar de manera óptima el parámetro PCI de un conjunto de celdas, enfatizando que la asignación razonable de PCI es capaz de reducir de forma considerable la interferencia en el sistema LTE, para mejorar la cobertura de cada celda y los valores de calidad de servicio de la red [5, 6, 7, 8].

En este contexto se plantea el objetivo de analizar el comportamiento de dichas señales y en última instancia del mismo PCI en la interfaz aire, y así obtener resultados que puedan ser usados para generar recomendaciones concretas en función de minimizar problemas en esta etapa de identificación de celda.

2. Metodología.

Para cumplir con el objetivo propuesto, se planteó un procedimiento que fue dividido en tres niveles jerárquicos o fases. Dicho procedimiento se muestra en la Figura 2 y se detalla a continuación.

2.1. Fase 1: Generación de secuencias

Primeramente, se recopiló todo el material referente a las especificaciones de la red LTE y a las secuencias de interés para tener una idea exacta de sus formas, dependencias, recorridos y funciones dentro del sistema y de esta manera poder caracterizarlas.

Fueron simuladas, según el estándar [2], las P-SCH, S-SCH y RS para todos los posibles valores

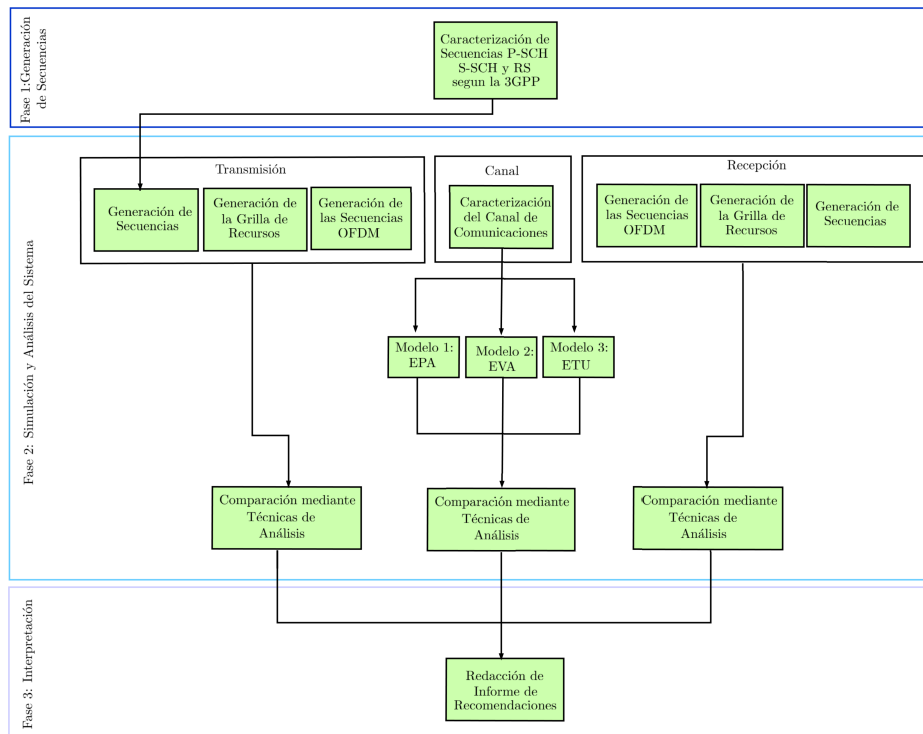


Figura 2: Metodología técnica de análisis de PCI.

de PCI asignables. Estos valores son conocidos como *identificador físico de celda* de un eNB o estación base.

2.2. Fase 2: Simulación y análisis del sistema

Una vez generadas las las secuencias P-SCH, S-SCH y RS, fueron mapeadas, según el estandar LTE, sobre los elementos de recursos (ER) dispuestos en forma de grillas. Las casillas vacías se rellenaron con símbolos que simulan la data con modulación QPSK.

La configuración básica para el sistema LTE estudiado fue: canal en descenso, sistema FDD, ancho de banda igual a 1,4 MHz, cantidad de antenas transmisoras igual a 1, prefijo cíclico normal y 14 símbolos por subtrama.

Posteriormente, se obtuvieron grillas de ER para todos los PCIs evaluados, las cuales fueron convertidas en señales OFDM mediante la IFFT para ser transmitidas por el canal de comunicaciones.

En la etapa de canal, se realizó la simulación de los efectos del canal radio cuando la señal OFDM se propaga a través de él. Los modelos de canal utilizados para LTE están definidos en el 3GPP TS

36.104, donde se describen las distintas variaciones del canal de comunicaciones LTE típico, que incluyen, multipath, fading, rango de frecuencias doppler y velocidad de movimiento del terminal. Además se añadió el ruido gaussiano modelado como un canal AWGN [9].

Una vez que la señal fue pasada por los canales de comunicaciones establecidos, véase Tabla 1, la información llega al receptor donde la señal fue finalmente demodulada.

Canal	Freq Doppler (Hz)	SNR (dB)
EPA	5	1, 5, 10 y 15
EVA	5 y 70	1, 5, 10 y 15
ETU	70 y 300	1, 5, 10 y 15

Tabla 1: Condiciones de propagación simuladas.

Los elementos fueron colocados y ordenados dentro de la grilla de recursos. Luego, a partir de la P-SCH, se pudo detectar la posición temporal de la señal, y por consiguiente, el valor $N_{ID}^{(2)}$ e inmediatamente después $N_{ID}^{(1)}$ mediante la S-SCH; luego, fue calculado el PCI. Este proceso se ilustra la Figura 3.

de las P-SCH, véase Figura 4, donde se puede apreciar que la correlación cruzada tiene valores máximos cercanos a 0,2; esto es, que solo bajo condiciones muy críticas o desfavorables podrían llegar a confundirse.

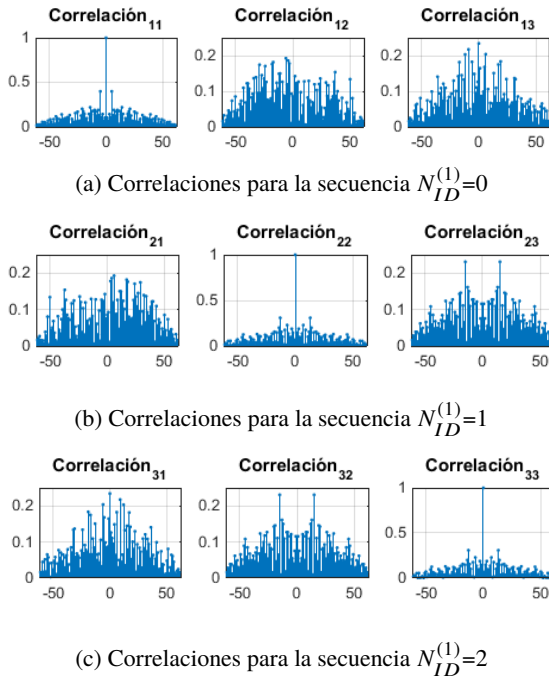


Figura 4: Problemas generadores de interferencia

Por otro lado fueron estudiados los valores correlativos que existían entre unos PCI y otros, realizando un barrido de 504 por 504 PCI, en función de las S-SCH. Esto se observa mediante gráficas como la descrita en la Figura 5. Aquí se observa como el PCI=6 presenta altos valores correlativos (mayores a 0.5) con el PCI=10 y PCI=15 tanto en la subtrama 0 como en la subtrama 5 de las señales de sincronización secundarias.

En cuanto a las señales de referencia RS, véase Figura 6, se pudo observar el impacto que el PCI tiene en la ubicación frecuencial de las mismas en diferentes elementos de recurso, las cuales se repiten cada 6 PCI. De esto se infiere que para evitar interferencia de las señales RS entre dos celdas, estas no deben estar ubicadas en los mismos elementos de recurso, luego, se debe evitar que celdas vecinas tengan valores de PCI cuyo calculo de $PCI \bmod 6$ sea igual, como por ejemplo: 0,6,12,...,498.

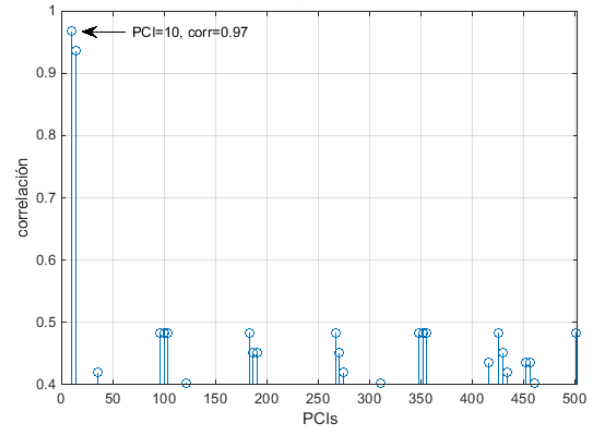
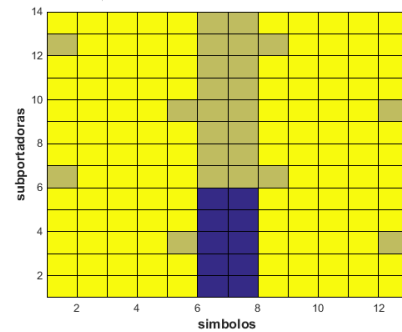
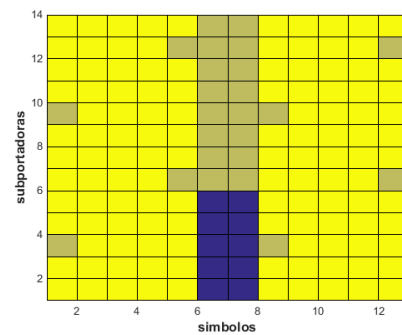


Figura 5: Correlación cruzada de la secuencia S-SCH del PCI=6 en la subtrama 0 Vs. el resto de los PCI.



(a) extracto de grilla de elementos de recursos para PCI=0



(b) extracto de grilla de elementos de recursos para PCI=3

Figura 6: Corrimientos en la grilla de recursos debido al cambio de PCI

3.2. Análisis del comportamiento de las señales de sincronización y referencias a través de modelos de canales típicos en LTE

Se comparó la efectividad de diversos métodos de detección de PCI para varios tipos de canales de

comunicaciones LTE típicos, donde:

- B = Detección coherente de S-SCH en frecuencia.
- C = Detección no coherente de S-SCH en frecuencia.
- Detección coherente de S-SCH utilizando Secuencias M.
- D1 = Estimado por medio de las secuencias Zo y Z1.
- D2 = Estimado por medio de las secuencias So y S1.
- Detección no coherente de S-SCH Utilizando Secuencias M
- E1 = Estimado por medio de las secuencias Zo y Z1.
- E2 = Estimado por medio de las secuencias So y S1.
- Global = promedio de todos los métodos.

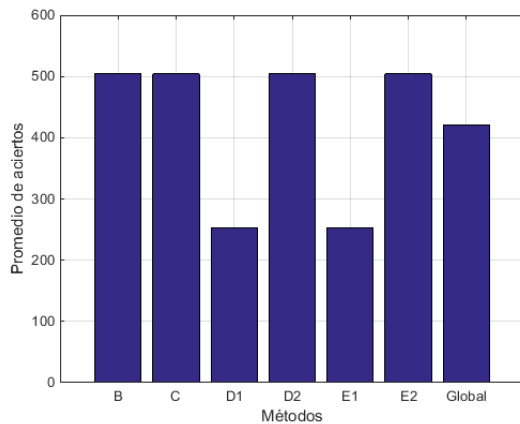


Figura 7: Promedio de eficiencia de aciertos para el caso sin perturbaciones.

Se pudo notar buen desempeño, en cuanto a la detección por parte del receptor, para todos los casos exceptuando D1 y E1, véase Figura 7. Sin embargo, esto cambia cuando el canal estudiado es uno con perturbaciones, como los de la Tabla 1. Observando la Figura 8 se nota el descenso en

el caso de los métodos C y E2 los cuales son detecciones no coherentes, la eficiencia de los métodos D1 y E1 se mantienen mientras que los métodos B y D2, los cuales son casos coherentes, serian las mejores opciones de detección.

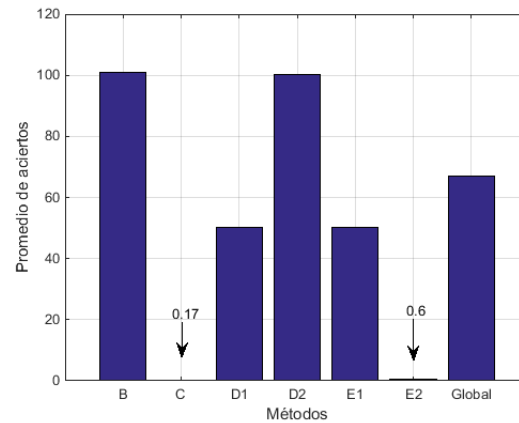


Figura 8: Promedio de eficiencia de aciertos para el caso con perturbaciones.

3.3. Generación del concepto de Factor de Riesgo (FR)

Se propone un nuevo termino global, denotado como Factor de Riesgo (FR), este factor dependerá tanto de la probabilidad de detección del PCI correcto o erróneo en función del método de detección de PCI, como tambien de las de correlaciones cruzadas de las señales llegadas a la etapa receptora.

El FR propone tres niveles de riesgo en la asignación del parámetro PCI, siendo esto una ventaja debido a la simplificación o compactación de toda la información analizada previamente acerca del vinculo entre los PCI (véase Figura 9). Esto ofrece una representación efectiva y clara del riesgo de detección de PCI erróneo entre celdas aledañas.

Se define, el *factor de riesgo* (FR), a través de la expresión 2:

$$FR(PCI_a, PCI_b) \tag{2}$$

El primer término, representa una celda ya establecida anteriormente con un PCI asignado, y el segundo, una celda nueva esperando a la asignación

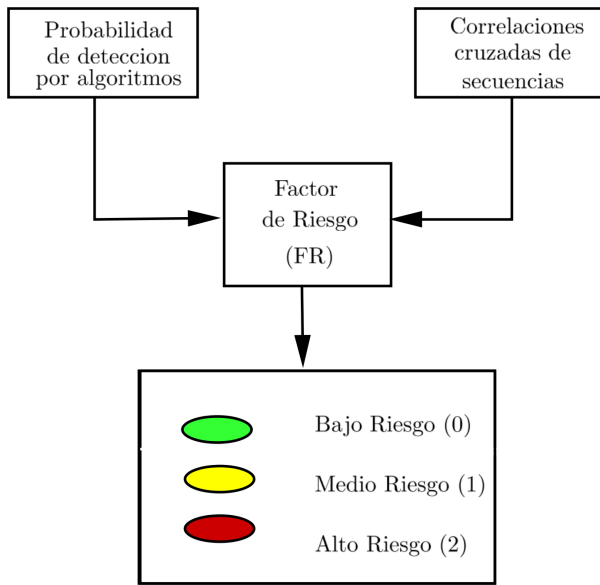


Figura 9: Relaciones del Factor de Riesgo (FR).

de PCI. Los valores posibles de la expresión 2 son: bajo riesgo (representado por 0 o verde), riesgo medio (representado por 1 o amarillo) o alto riesgo (representado por 2 o rojo). Es decir, si se tiene que $FR(PCI_a, PCI_b) = 0$, por ejemplo, implica que existe un bajo riesgo para el UE de detectar un PCI_b erróneamente cuando se recibe un PCI_a .

Para lograr definir el *factor de riesgo*, fue necesario hacer referencia a dos conceptos:

1. Luego de haber estudiado de métodos de detección de PCI, fue estimada la probabilidad de que cuando la celda irradie su señal conteniendo un PCI_a , el UE efectivamente detecte el PCI_a , a esto le llamaremos de ahora en adelante autoprobabilidad, denotado como $prob(PCI_a, PCI_a)$ o $autoprob(PCI_a)$ o simplemente $ap(PCI_a)$, como se observa en la expresión 3. También se calculó la probabilidad para cuando un PCI_a transmitido por una celda, el UE ubicado en el área de cobertura de dicha celda no detecte el PCI_a , sino que detecte un PCI_b transmitido por otra celda cercana, siendo PCI_b cualquier PCI distinto de PCI_a ; a esto se le denotará como $prob(PCI_a, PCI_b)$ o simplemente $p(PCI_a, PCI_b)$. Se obtuvo una función p para cada variación de las condiciones de propagación consideradas.

2. Fueron generadas también funciones *corr* o simplemente c y *autocorr* o simplemente ac , donde estas son producto del análisis puramente correlativo sobre las señales de sincronización secundaria para las correlaciones de PCI en función de los modelos de canal y del SNR estudiados; esto es, a la medición de la correlación percibida entre un PCI_a distorsionado recibido y un PCI_b sin perturbaciones, siendo PCI_b cualquier PCI distinto de PCI_a , se denotará como $corr(PCI_a, PCI_b)$ o simplemente $c(PCI_a, PCI_b)$.

Se disponen de las funciones p y c para ser transformadas en P y C , respectivamente, mediante los criterios mostrados en las ecuaciones 3 y 4.

$$P(PCI_a, PCI_b) = \begin{cases} 0 & \text{Caso A} \\ 1 & \text{Caso B} \\ 2 & \text{Caso C} \end{cases} \quad (3)$$

$$C(PCI_a, PCI_b) = \begin{cases} 0 & \text{Caso D} \\ 1 & \text{Caso E} \\ 2 & \text{Caso F} \end{cases} \quad (4)$$

$$FR(PCI_a, PCI_b) = \begin{cases} 0 & \text{Caso G} \\ 1 & \text{Caso H} \\ 1 & \text{Caso I} \\ 2 & \text{Caso J} \\ 2 & \text{Caso K} \end{cases} \quad (5)$$

Los casos del A al K se describen a mediante las expresiones:

Caso A :

$$p(PCI_a, PCI_b) < 0,9ap(PCI_a)$$

Caso B :

$$ap(PCI_a) > p(PCI_a, PCI_b) \geq 0,9ap(PCI_a)$$

Caso C :

$$p(PCI_a, PCI_b) \geq 0,9ap(PCI_a)$$

Caso D :

$$c(PCI_a, PCI_b) < 0,9ac(PCI_a)$$

Caso E :

$$ac(PCI_a) > c(PCI_a, PCI_b) \geq 0,9ac(PCI_a)$$

Caso F :

$$p(PCI_a, PCI_b) \geq 0,9ac(PCI_a)$$

Caso G :

$$P(PCI_a, PCI_b) = 0 \wedge C(PCI_a, PCI_b) = 0 \text{ o } 1$$

Caso H :

$$P(PCI_a, PCI_b) = 1 \wedge C(PCI_a, PCI_b) = 1 \text{ o } 2$$

Caso I :

$$P(PCI_a, PCI_b) = 1 \wedge C(PCI_a, PCI_b) = 1 \text{ o } 2$$

Caso J :

$$P(PCI_a, PCI_b) = 0 \wedge C(PCI_a, PCI_b) = 2$$

Caso K :

$$P(PCI_a, PCI_b) = 2$$

Caso L :

$$P(PCI_a, PCI_b) = 1 \wedge C(PCI_a, PCI_b) = 2$$

Finalmente con las dos funciones parametrizadas de probabilidades y correlaciones se elaboró la función de FR, como muestra al ecuación 5, en la cual, se asignó un mayor peso o influencia a la función *prob* debido a que ésta representa un indicador más riguroso acerca de la dinámica existente entre dos PCI.

3.4. Generación de base de datos del Factor de Riesgo

La base de datos generada, consiste en 20 matrices de FR de 504x504 que contienen todas relaciones posibles entre los PCI (véase Figura 10), clasificados en tres niveles, esto es, una matriz de FR por cada una de las condiciones de propagación simuladas, ver Tabla 1. Además se generaron 10 matrices de FR promedio entre las 20 anteriores.

Estas matrices de FR están diseñadas para ser usadas conjuntamente con su propia metodología, que a grandes rasgos se muestra en la véase Figura 11. Consiste básicamente en:

1. Se elige una de la matriz de FR según la información sobre las condiciones de propagación de la celda a la que se desea asignar el PCI, para esta versión se tienen 20 matrices de FR, esto es lo que llamamos el *enfoque detallado*. Si no se tiene información suficiente sobre las características del canal, se optara por el *enfoque general* y se puede escoger algunas de las 10 matrices de FR promedio.
2. Se busca un PCI que tenga bajo o a lo sumo medio riesgo con los PCI ya asignados previamente, es decir un factor de riesgo igual a 1 o 2 con los PCI que han sido establecidos anteriormente, véase Figura 12.

Para un conjunto de celdas, esta comprobación debe realizarse de manera que, para la primera celda, no necesita comprobaciones de FR. Para dos celdas se hacen 2 comprobaciones, $FR(PCI_a, PCI_b) < 2$ y $FR(PCI_b, PCI_a) < 2$, de cumplir con la condición, el PCI = B se considera válido para la asignación a la celda 2. Lo Expuesto se muestra en la Figura 13. Si se agrega una nueva celda al conjunto, se debe realizar 2 comprobaciones nuevas, que sumadas a las 2 anteriores resultan 4 comprobaciones para un conjunto de 3 celdas. Ver Figura 14. Por lo tanto, para la asignación de N se requieren tantas comprobaciones como indica la ecuación 6.

$$CFR = \sum_{i=1}^n 2(i - 1) \quad (6)$$

3. El nuevo PCI escogido se guarda en un lista de PCIs asignados.
4. Por último, se repite, para todas las celdas, el proceso de comprobación de FR.

4. Conclusiones.

La alta demanda de los usuarios y sus expectativas de no tener interferencia en las comunicaciones, hacen que la etapa inicial de sincronización y cálculo de la identidad de celda mediante el parámetro PCI, sea el procedimiento

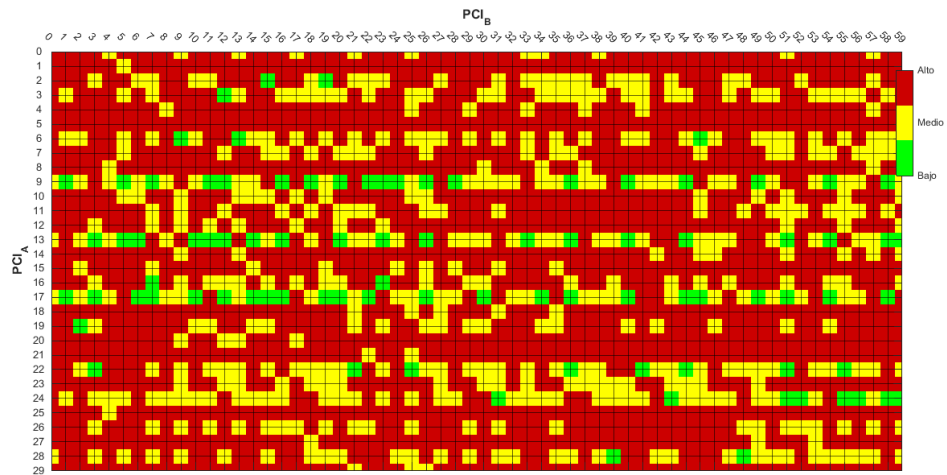


Figura 10: Extracto de 30x60 de la matriz de FR para un modelo de canal EPA de 5Hz y un SNR=1.

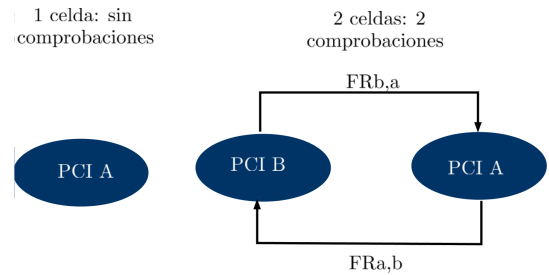
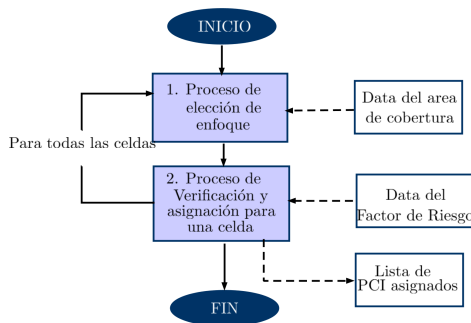


Figura 13: Comprobaciones FR para 1 y 2 celdas.

Figura 11: Diagrama de flujo para escoger un PCI con el FR.

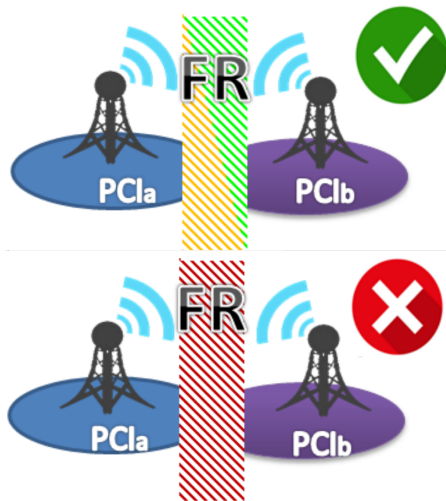


Figura 12: Criterio de asignación de nuevo PCI.

pilar para el acceso a la red LTE, por ende, es necesario la implementación de recomendaciones,

basadas en los posibles escenarios de conflicto de asignación, que complementen la planificación de las redes LTE y eleven la calidad de estas.

Con esta investigación se generó un documento de recomendaciones técnicas que consiste en una metodología de selección del parámetro PCI de múltiples celdas basada en un nuevo término *factor de riesgo*, el cual es producto de los análisis probabilísticos y correlativos sobre las señales generadoras del PCI. La asignación de PCIs, por este método, se realizara una celda a la vez, verificando en todo momento que el PCI de esta nueva celda cumpla con un FR bajo o medio con las celdas aledañas previamente asignadas.

El Factor de Riesgo (FR) que da noción de la relación entre cada par de PCI para distintas condiciones de propagación, englobando la información obtenida acerca de los dos y representándola en tres estados de posible detección errónea entre pares de PCI, bajo, medio y alto riesgo, simplificando así la toma de decisiones.

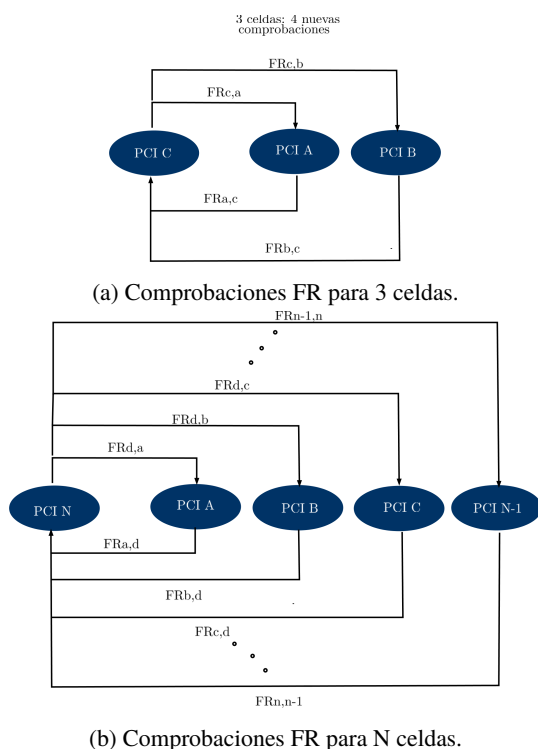


Figura 14: Asignaciones de PCI según número de celdas

El FR también es acompañado por una metodología de uso, lo cual, en conjunto abordan casos de posible conflicto entre PCIs que la estandarización no abarca.

El concepto de Factor de Riesgo no estará supeditado a las simulaciones realizadas en este trabajo, el mismo puede ser nutrido por data proveniente de análisis más sofisticados, complejos o reales de empresas de telecomunicaciones, con el objetivo de mejorar su precisión y refinarlo. Se estima, que implementando simulaciones con métodos de detección de PCI más detallados, semejantes a los que establecen los fabricantes de celulares, la calidad, en las lecturas del parámetro FR se elevaría en mayor medida.

Las estrategias provistas para la asignación del parámetro PCI, además de servir para la planificación inicial de un conjunto de radio bases, también pueden ser útiles en la solución de problemas con el parámetro PCI en tiempo real de una red ya preestablecida, esto se lograría codificando las recomendaciones presentes para luego agregarlas como parte del sistema SON (Self

Organising Network), incluido en todas las redes LTE.

5. Recomendaciones de la investigación.

Debido a que el FR depende de los métodos de detección de PCI simulados, se propone realizar un estudio con métodos de detección más robustos o avanzados que sirvan de comparación para mejoras de lo establecido. Por otro lado, una de las virtudes de este proyecto es la data final generada, puede ser usada como base de datos para el desarrollo de algún software de planificación en diversas plataformas privadas o de código libre.

6. Referencias

- [1] Mehdi Alasti, Behnam Neekzad, Jie Hui, and Rath Vannithamby. Quality of service in wimax and lte networks [topics in wireless communications]. *IEEE Communications Magazine*, 48(5), 2010.
- [2] ETSI. LTE; Evolved universal terrestrial radio access (E-UTRA); physical channels and modulation (3GPP TS 36.211 version 10.0.0 release 10), 2011. European Telecommunications Standards Institute.
- [3] R. Agusti, F. Bernardo, F. Casadevall, R. Ferrus, J.Perez-Romero, and O. Sallent. *LTE: Nuevas tendencias en comunicaciones móviles*. Fundación Vodafone España, 2nd edition, 2010.
- [4] R Acedo-Hernández, Matias Toril, Salvador Luna-Ramírez, and Carlos Ubeda. A pci planning algorithm for jointly reducing reference signal collisions in lte uplink and downlink. *Computer Networks*, 119:112–123, 06 2017.
- [5] Ali MurtadhaPahwa KuldipSinha H. P. Mobile cell selection in 4g long term evolution-advanced (lte-a) networks. *American Journal of Engineering Research (AJER) e-ISSN*, 3:139–150, 2014.
- [6] R Acedo-Hernández, Matias Toril, Salvador Luna-Ramírez, Isabel de la Bandera Cascales, and Faour. Analysis of the impact of pci planning on downlink throughput performance in lte. *Computer Networks*, 76, 01 2015.
- [7] K Manolakis, D.M.G. Estevez, and Volker Jungnickel. A closed concept for synchronization and cell search in 3gpp lte systems. *2009 IEEE Wireless Communications and Networking Conference*, pages 1–6, April 2009.
- [8] Muhammad Basi Shahab. Neural networks based physical cell identity assignment for self organized 3gpp long term evolution. *2012 35th International Conference on Telecommunications and Signal Processing, TSP 2012 - Proceedings*, pages 173–177, 07 2012.
- [9] ETSI. LTE; Evolved universal terrestrial radio access (E-UTRA); base station (BS) radio transmission and

reception (3GPP TS 36.104 version 9.4.0 release 9), 2010. European Telecommunications Standards Institute.

- [10] S. Sesia, I. Toufik, and M. Baker. *LTE The UMTS Long Term Evolution From Theory to Practice*. John Wiley and Sons, Ltd. UK, 2nd edition, 2011.
- [11] G.David Forney Jr. Maximum-likelihood sequence estimation of digital sequences in the presence of intersymbol interference. *Information Theory, IEEE Transactions on Information Theory*, 18:363 – 378, 06 1972.
- [12] Shun-Fang LiuPei-Yun Tsai. A non-coherent neighbor cell search scheme for lte/lte-a systems. *2013 IEEE Wireless Communications and Networking Conference (WCNC)*, pages 3300–3305, April 2013.

Hydrolytic degradation and biodegradation of binary mixes of polylactic acid (PLA) with plastic residues

Jhonny Medina^{*,a}, Yenifer Roche^a, Omar Maldonado^a, Juan Carlos Hernández^a y Carlos Zapata^b

^aLaboratorio de Polímeros, Centro de Investigaciones Químicas, Facultad de Ingeniería, Universidad de Carabobo, Valencia, Venezuela.

^bLaboratorio de Polímeros, Departamento de Polímeros, Instituto Universitario de Tecnología de Valencia, Valencia, Venezuela.

Abstract.- The objective of this investigation was to evaluate the process of hydrolytic degradation and biodegradation, of binary mixtures of Polylactic Acid (PLA) with plastic waste. For this, different mixtures of PLA were prepared with Polyethylene Terephthalate (PET) and PLA with Polypropylene (PP), with PLA proportions of 5, 10, 15 and 20 % by mass, to select by means of the flow index the mixtures to be used in the degradation processes indicated. The monitoring of the processes was carried out by means of macroscopic observation, percentage of mass loss, variation of the pH of the buffer solution and infrared spectroscopy by Fourier transform (FTIR). The increase in the percentage of PLA makes the degradation of the material susceptible. The loss of mass caused in the hydrolytic degradation of the PLA was 21.20 % and of 3.68 % in the biodegradation. Whereas, the PP and PET degrade in a lower proportion than the PLA. In the hydrolytic degradation the mixture of PP / 20 % PLA lost 11,07 % of mass and the mixture of PET / 20 % PLA 6,05 %. Infrared spectroscopy allows to corroborate the structural changes suffered by the materials during the process of degradation.

Keywords: polylactic acid; plastic residues; hydrolytic degradation; biodegradation.

Degradación hidrolítica y biodegradación de mezclas binarias de ácido poliláctico (PLA) con residuos plásticos

Resumen.- El objetivo de esta investigación fue evaluar el proceso de degradación hidrolítica y de biodegradación, de mezclas binarias de Ácido Poliláctico (PLA) con residuos plásticos. Para esto, se preparó diferentes mezclas de PLA con Tereftalato de Polietileno (PET), y de PLA con Polipropileno (PP), con proporciones de PLA de 5, 10, 15 y 20 % en masa, para seleccionar mediante el índice de fluidez las mezclas a emplear en los procesos de degradación señalados. El seguimiento de los procesos, se realizó mediante la observación macroscópica, porcentaje de pérdida de masa, variación del pH de la solución amortiguadora y espectroscopia infrarroja por transformada de Fourier (FTIR). El aumento del porcentaje de PLA hace susceptibles la degradación del material. La pérdida de masa ocasionada en la degradación hidrolítica del PLA fue de 21,20 % y de 3,68 % en la biodegradación. En tanto, que el PP y PET se degradan en una menor proporción que el PLA. En la degradación hidrolítica la mezcla de PP/20 %PLA perdió el 11,07 % de masa y la mezcla de PET/20 %PLA 6,05 %.La espectroscopia infrarrojo permite corroborar los cambios estructurales que sufren los materiales durante el proceso de degradación.

Palabras claves: acido poliláctico; residuos plásticos; degradación hidrolítica; biodegradación

Recibido: enero 2018

Aceptado: junio 2018

1. Introducción

El incremento de los residuos sólidos, específicamente los plásticos, han contribuido con la contaminación ambiental debido a que estos

materiales son elaborados a partir de matrices poliméricas no degradables. Es de resaltar, que un polímero está constituido por macromoléculas formadas por la unión de moléculas pequeñas llamadas monómeros, mientras que el vocablo "plástico", deriva del griego plastikos, que se traduce como moldeable. El plástico es una mezcla o aleación de un polímero con aditivos que es usado en el sector de la construcción, en la fabricación de envases, en la medicina, en la industria automotriz,

* Autor para correspondencia:

Correo-e: jhonnymedina@yahoo.com (Jhonny Medina)

en la de electrodomésticos, entre otros [1].

Los plásticos se clasifican en tres grupos; y según la disposición de las macromoléculas que los constituyen, éstos son: los termoplásticos, cuyas macromoléculas están dispuestas libremente sin entrelazarse; y gracias a ésta disposición, se reblandecen con el calor, adquiriendo la forma deseada, que se conserva al enfriarse. Luego se encuentran los termoestables, aquellos cuyas moléculas se entrecruzan formando una red de malla cerrada, que debido a su disposición, no permiten nuevos cambios de forma mediante calor o presión, es decir, solo se pueden deformar una vez; y por último, están los elastómeros, que contienen moléculas ordenadas en forma de red de malla con pocos enlaces, esto permite obtener plásticos de gran elasticidad que recuperan su forma y dimensiones, cuando se deja actuar una fuerza sobre ellos [2].

Ahora bien, entre los tipos de plásticos que se encuentran en la basura, los más comunes son los termoplásticos, debido a que son materiales de uso común en la cotidianidad. Entre ellos, se mencionan: el Tereftalato de Polietileno (PET), el Polietileno de Alta Densidad (PEAD) ó (HDPE), Policloruro de Vinilo (PVC), Polietileno de Baja Densidad (PEBD) ó (LDPE), Polipropileno (PP) y el Poliestireno (PS). Una vez, que termina el tiempo de vida útil de estos materiales, pasan entonces a ser residuos; los cuales se diferencian de los desechos, ya que pueden ser aprovechables a través de tecnologías o procesos [3].

De acuerdo, a las estimaciones anuales realizadas por PlasticsEurope en el año 2016, la producción de plástico a nivel mundial alcanzó los 322 millones de toneladas en el año 2015 [4]. Por su parte, el Instituto Nacional de Estadística (INE), señaló que en el año 2012 en Venezuela se recolectaron 26.792.036 kg/día de residuos y desechos sólidos (RDS), siendo el plástico uno de los principales componentes de éstos residuos sólidos, lo que representa 0.902 kg/habxdía. El estado Carabobo, es uno de los estados altamente contribuyente a esta cifra, cuyo manejo y disposición final de los RDS, constituyen un problema ambiental, debido a que se genera 2.203.203 kg/día, lo que representa una tasa de

generación de 0,918 kg/habxdía [3].

Es de resaltar, que los residuos plásticos están elaborados por polímeros sintéticos, basados en fuentes de petróleo no renovable; y que además, son poco degradables. Tal como, lo señalan las investigaciones realizadas por el grupo de polímero de la Universidad Simón Bolívar (USB), el lapso de degradación, una vez desechados, oscila entre los cien y mil años. Muestra de estos, son las botellas de plásticos confeccionadas con PET y los vasos desechables fabricados con PP, lo cuales son difíciles de degradar por microorganismo. Por lo que, estarán en el planeta por muchos años [5].

En este sentido, en los últimos años se ha planteado el desarrollo de materiales degradables, como alternativa para contribuir a solventar la problemática ambiental señalada anteriormente. Es por esto, que se ha incrementado el uso de los polímeros biodegradables. Entre ellos, el Ácido Poliláctico (PLA), el cual es un biopolímero termoplástico cuya molécula precursora es el ácido láctico. Debido a su biodegradabilidad, y biocompatibilidad con otros polímeros, ha encontrado numerosas aplicaciones; como la producción de hilo para sutura, implantes, cápsulas para la liberación lenta de fármacos, prótesis, producción de envases y empaques para alimentos, entre otros [6].

Debido a las propiedades del PLA, éste se ha utilizado para disminuir el tiempo de degradabilidad de los plásticos. Para comprobar lo antes mencionado, existen diversas rutas para la degradación de estos biopolímeros, entre ellas se encuentran; la degradación hidrolítica, que se produce como consecuencia del contacto del material con un medio acuoso; y la biodegradación, siendo ésta la transformación y deterioro que se produce en el polímero debido a la acción de enzimas y/o microorganismos como bacterias, hongos y algas [6].

En virtud a lo anterior, y en correspondencia a las áreas de interés del Laboratorio de Polímeros del Centro de Investigaciones Químicas de la Facultad de Ingeniería de la Universidad de Carabobo, relacionados con la preparación de mezclas poliméricas biodegradables, utilizando como materia prima el PLA, se planteó como

objetivo de esta investigación preparar mezclas de PLA/PET y de PLA/PP, para evaluar su comportamiento durante el proceso de degradación hidrolítica y de biodegradación, a fin de contribuir con el saneamiento del ambiente mediante la disminución de los residuos plásticos [7].

2. Metodología

Para la preparación de las mezclas binarias en diferentes rangos de proporción con PLA y residuos plásticos. Se recolectó, aplicando un muestreo de tipo aleatorio simple al azar [8], residuos de PET y de PP en la Facultad de Ingeniería de la Universidad de Carabobo. Las Muestras fueron trasladadas en bolsas plásticas al Laboratorio de Polímeros del Centro de Investigaciones Químicas de la Facultad de Ingeniería de la Universidad de Carabobo, en donde fueron acondicionadas para su caracterización. Por su parte, el PLA 4043 en forma de pellets esféricos de aproximadamente 1 cm de diámetro fue adquirido en la empresa NatureWords y trasladado al país por un proveedor desde Louisiana en los Estados Unidos de Norteamérica.

Los residuos de PP, se lavaron con detergente líquido, se enjuagaron con agua y se secaron a temperatura ambiente. Luego, se cortaron en cuadros y se molieron en un molino Marca Condux-Werk modelo LV 15/M. El producto obtenido, se tamizó en un tamiz ASTM-N° 10 con una abertura de 0,0787 pulgadas. Posteriormente, se lavó con agua destilada y se secó en una estufa a 110°C durante 1 hora [9].

En cuanto, a las botellas de PET recolectadas se les quitó la etiqueta, se lavaron con detergente líquido en abundante agua y se secaron a temperatura ambiente. Luego, se cortaron con una tijera descartando la boquilla y la parte inferior de la botella. La parte central se cortó en cuadros, y se molió, tal como se realizó la molienda del PP. El PLA, se molió empleando el mismo procedimiento [7].

Para la selección de las mezclas que se emplearon en el proceso de degradación hidrolítica y biodegradación, se preparó mezclas de PET/PLA y de PP/PLA con proporciones de PLA de 5, 10, 15

y 20 % en masa. Empleando para esto, el método de mezclado directo en físico, en un vaso precipitado, y con agitación manual durante 5 minutos. Luego, fueron caracterizadas mediante el índice de fluidez (MFI).

El índice de Fluidez se midió en un equipo Melt Flow Junior P/N 6943, empleando el procedimiento A establecido en la Norma ASTM D1238-13 [10], el cual consiste en un método manual de medición de masa, en el que el material es cortado en un lapso de tiempo establecido y es pesado en una balanza analítica. Las condiciones de carga, temperatura y tiempo utilizadas para cada material, se muestran en las Tablas 1, 2 y 3 (ver [7]). Esta prueba, se realizó por triplicado para cada mezcla y los resultados fueron procesados mediante la técnica estadística 2.5D, y por el método del análisis de la varianza (ANOVA) de un factor.

Tabla 1: Condiciones de trabajo de los materiales puros.

Material	Masa (g \pm 0,0001)	T_p (°C \pm 5)	T_{pre} (°C \pm 5)	t_c (s \pm 1)
PP	5,0000	170	100	60
PET	6,0000	250	50	20
PLA	6,0000	200	100	10

T_p : Temperatura de prueba.

T_{pre} : Temperatura de pre-calentamiento.

t_c : Tiempo de corte.

Para llevar a cabo, los procesos de degradación en estudios, se preparó láminas de los materiales puros (PP, PET Y PLA) y de las mezclas seleccionadas. Para esto, se utilizó un equipo Carver constituido de una prensa de calentamiento modelo 6051000 serial 17807, en donde se colocó la muestra solida entre placa metálica de 4 mm de espesor que actúan como molde. Luego, se aplicó presión y se aumentó la temperatura hasta fundir el material. Las condiciones establecidas para la preparación de las láminas de las diferentes mezclas se muestran en la Tabla 4.

Las láminas obtenidas fueron cortadas en rectángulos de 2 cm, para ser utilizadas en las pruebas de degradación que se describen a continuación.

Tabla 2: Condiciones de trabajo de las mezclas.

%PLA	Material PP			
	Masa (g ± 0,0001)	T_p (°C ± 5)	T_{pre} (°C ± 5)	t_c (s ± 1)
5 %	5,0000	180	100	60
10 %	5,0000	180	100	60
15 %	5,0000	190	100	60
20 %	5,0000	190	100	60

%PLA	Material PET			
	Masa (g ± 0,0001)	T_p (°C ± 5)	T_{pre} (°C ± 5)	t_c (s ± 1)
5 %	6,0000	250	50	20
10 %	6,0000	250	50	20
15 %	6,0000	250	50	20
20 %	6,0000	250	50	15

T_p : Temperatura de prueba.

T_{pre} : Temperatura de pre-calentamiento.

t_c : Tiempo de corte.

Tabla 3: Condiciones sugeridas del equipo según el MFI teórico.

MFI (g/(10 min))	$M \pm 0,1$ g	$t_c \pm 1$ s
0,4 a 0,1	2,0 a 3,0	600
>0,1 a 1,0	2,5 a 3,5	360
>1,0 a 3,5	3,0 a 6,0	180
>3,5 a 10	4,0 a 8,0	60
>10 a 25	4,0 a 8,0	30
>25 a 50	4,0 a 8,0	15

M : Masa de la muestra.

t_c : Tiempo de corte.

La degradación hidrolítica, se llevó a cabo empleando el siguiente procedimiento: Se colocó en el fondo de un frasco de vidrio, que contenía 10 mL de solución amortiguadora de pH 10,50, tres muestras del material a degradar. Luego, se tapó el frascos y se almacenó a temperatura ambiente para su análisis a los días 7, 14, 20, 28, 35 y 68 días [9].

Por su parte, la biodegradación de piezas rectangulares de 2 cm de los materiales en estudios se llevó a cabo en tierra abonada, la cual fue colocada en botella de plástico para formar una columna de 22 cm de altura. El cuerpo de la botella fue agujereado uniformemente para asegurar una adecuada oxigenación del sistema y se determinó el pH y la humedad inicial

de la tierra, ya que estos parámetros son de importancia para los microorganismos presentes. Para determinar la humedad de la tierra, se pesó en una capsulas de porcelana 20 g de la tierra abonada. Luego, se colocó la capsula en una estufa, a 110 °C, durante 1 hora. Posteriormente, se pesó la cápsula nuevamente en una balanza analítica, hasta alcanzar peso constante. En tanto, que para medir el pH se utilizó un pHmetro marca Orion modelo 410A. Para esto, se pesó 10 g de suelo, se le añadió 100 mL de agua destilada y se agito vigorosamente durante 5 min. Las columnas se colocaron a temperatura ambiente para su análisis a los días 7, 14, 20, 28, 35 y 68 días [9, 11, 12, 13].

Para el seguimiento de los procesos de degradación señalados, las muestras fueron analizadas mediante los siguientes ensayos: observación macroscópica, porcentaje de pérdida de masa, variación del pH de la solución amortiguadora y espectroscopia infrarroja por transformada de Fourier (FTIR).

Para la determinación del porcentaje de masa retenida, se extrajo las muestras colocadas en los frascos de vidrio y en la columna de tierra. Luego, se colocó sobre papel absorbente y se lavó con agua destilada. Posteriormente, se colocó en una estufa a 80°C durante 30 min y se pesó. Este procedimiento se repitió hasta obtener peso constante. Para el cálculo del porcentaje de pérdida de masa, se consideró el peso inicial de la muestra antes y después del proceso de degradación. En tanto, que el pH de la solución amortiguadora se midió en un pHmetro marca Orion modelo 410A; mientras que, para los espectros infrarrojo, se utilizó un Espectrofotómetro Infrarrojo por Transformada de Fourier FTIR marca Perkin Elmer, modelo Spectrum 400 [1].

3. Resultados y discusión

En la Tabla 5 se muestran los valores obtenidos en el ensayo de MFI realizado al PET, PP y PLA puro y a las mezclas preparadas, con distintas proporciones de PLA. En ella se observa que, el PLA presenta un MFI de 13, que representa una diferencia que supera los nueve puntos en comparación al MFI del PET (de 4) y del PP

Tabla 4: Condiciones empleadas en el proceso de elaboración de láminas de los distintos materiales.

Material	Masa ± 0,0001 g	T ± 5 °C	t _i ± 0,01 s	\bar{t} ± 0,01 s	t _f ± 0,01 s	P _i ± 250 psi	\bar{P} ± 250 psi	P _f ± 250 psi
PP	47	210	425,00	14,00	40,00	0	2500	3000
PLA	45	170	180,00	300,00	180,00	0	3000	4000
PET	65	250	300,00	-	900,00	0	-	1500
PP/PLA	47	210	425,00	300,00	180,00	0	3000	4000
PET/PLA	65	250	300,00	-	600,00	0	-	1000

T: Temperatura.

t_i: Tiempo Inicial.

\bar{t} : Tiempo Promedio.

t_f: Tiempo final.

P_i: Presión inicial.

\bar{P} : Presión promedio.

P_f: Presión final.

Tabla 5: Valores de Índice de Fluidez obtenido para los materiales puros utilizados y de las mezclas preparadas a diferentes proporciones de PLA.

Material	Material puro g/(10 min)	Porcentaje de PLA añadido, %.			
		5,00	10,00	15,00	20,00
PP	0,85 ±	1,21	1,4 ±	1,9 ±	2,8
	0,03	± 0,01	0,2	0,2	± 0,2
PET	4 ± 1	18 ±	12 ±	13 ±	21 ±
		10	3	6	10

El PLA al 100 % obtuvo: (13 ± 2) g/(10 min).

(de 0,85). Es de resaltar, que algunos autores señalan que el MFI está relacionado de manera inversa con el peso molecular del polímero, por lo que estos resultados indican que el PLA posee un peso molecular bajo en comparación con el PET y PP. Esto puede estar relacionado a la naturaleza del PLA, el cual es un polímero biodegradable de fuentes naturales, mientras que el PET y PP, son polímeros derivados del petróleo y sus cadenas moleculares son de gran tamaño [14]. En tanto, que otros autores indican, que es una ventaja que un polímero posea un peso molecular bajo, ya que esto favorece el proceso de degradación que puede transformar a estos materiales en otros componentes de bajo peso molecular, tales como: dióxido de carbono, humus, derivados de los ácidos carboxílicos, entre otros [6].

Ahora bien, se puede observar que la incorporación del PLA al PP genera valores de MFI superiores que al del polímero sintético. Esta circunstancia se encuentra asociada a que

las propiedades resultantes en las muestras son productos de ambos componentes en las mezclas, por lo tanto al aumentar el porcentaje de PLA, el índice de fluidez se incrementa. Esta misma analogía puede aplicarse para el peso molecular en las mezclas, en donde la presencia del PLA reduce aparentemente esta propiedad, ocasionando que sea susceptible a procesos de degradación que provocan el acortamiento en las cadenas poliméricas resultantes [15].

En tanto, que al incorporar PLA al PET se observa similar comportamiento que en las mezclas PP/PLA, con excepción a las muestras con un 5 % de PLA, donde existe una discrepancia con lo antes mencionado, ya que se observa que el MFI es mayor en esta proporción en comparación a los otros porcentajes de PLA agregados, salvo al correspondiente con el 20 % de PLA. La causa de esto, pudo ser ocasionada a la distribución de las partículas del PLA; y al someterla a altas temperaturas, se alcanzó la fundición de las zonas en la que se agrupó el PLA, con baja cantidad de PET, por lo que se obtuvo un mayor índice de fluidez [16]. Los resultados obtenidos indican que existen diferencias significativas en los valores del índice de fluidez en las mezclas de PP/PLA y PET/PLA preparadas. Por lo, que se consideró las mezclas con 20 % de PLA para llevar a cabo los procesos de degradación [7].

Durante el desarrollo de los procesos de degradación aplicados se observó que el PLA se fue opacando al paso de los días. Perdiendo su apariencia transparente inicial hasta alcanzar un

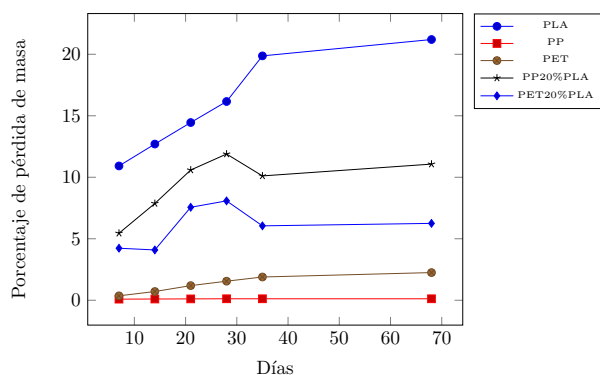


Figura 1: Evolución del porcentaje de pérdida de masa de los materiales durante el proceso de degradación hidrolítica.

aspecto blanquecino al final de ambos procesos. La opacidad del PLA puede ser por la formación de agujeros en la muestra durante la degradación o por la evolución en la cristalinidad de la matriz polimérica [9]. Sin embargo, la apariencia física es similar en ambos procesos. Por lo que, a simple vista no se puede inferir que medio está degradando con mayor intensidad al PLA. En cuanto al PP y PET se observó que el aspecto físico de las muestras no varió durante ambos procesos. Por lo que, es anticipado señalar que las muestras no fueron degradadas. En relación a las mezclas de PP/20 %PLA se observó en ambos procesos una menor opacidad que la observado en el PLA puro. En tanto que, para la mezcla PET/20 %PLA no se observó ningún cambio en su aspecto físico. En virtud de lo anterior, se establece que mediante observaciones macroscópicas no se puede evidenciar si los muestras son degradadas por los procesos en estudios.

En la Tabla 6 se muestran los resultados obtenidos en el porcentaje de pérdida de masa ($\%P_m$) durante los procesos de degradación. En ella, se evidencia una disminución de masa de las muestras analizadas a los largo del periodo de estudio. En la Figura 1 y en la Figura 2 se muestran las tendencias obtenidas en el proceso de degradación hidrolítica y de biodegradación respectivamente.

En la Figura 1 se observa que la pérdida de masa en el PP fue constante y poco significativa, con apenas 0,12 % de pérdida durante el tiempo de

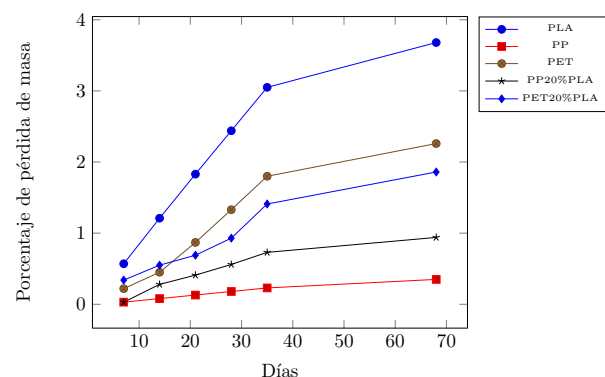


Figura 2: Evolución del porcentaje de pérdida de masa de los materiales durante el proceso de biodegradación.

degradación. En tanto que, en el PET se obtuvo que la pérdida de masa se incrementó levemente de 0,36 % desde el día 7, hasta 2,25 % al final del proceso. El PLA puro fue el material que presentó una mayor pérdida de masa con 21,20 %. Estos resultados, indican que el PP y PET tienen buena resistencia química y son capaces de soportar las condiciones de hidrolisis por ser materiales termoplásticos, mientras que el PLA por tener enlaces del tipo éster, hidrolíticamente inestables, reúne las características adecuadas degradarse mediante el proceso de hidrólisis [6, 9]. Es de resaltar, que el PET posee grupo éster tal como el PLA. Sin embargo, su bajo índice de fluidez (asociado a un alto peso molecular) evita que se degrade como lo hace el PLA, el cual posee un alto índice de fluidez que facilita su degradación. Ahora bien, en la mezcla de PP/20 %PLA se obtuvo una pérdida de masa de 11,07 % al final del proceso, mientras que en la muestra de PET/20 %PLA de 6,06 %. Estos valores pueden estar asociado a las interacciones que ocurren entre los polímeros. Es de suponer, que la poca afinidad que debe existir entre el PP y el PLA ocasione una mayor pérdida de masa que en la mezcla de PET y PLA donde las interacciones entre los polímeros es mayor debido a los presencia del grupo éster en ambos compuestos.

En la Figura 2 se observa que el porcentaje de pérdida de masa de las muestras sometidas al proceso de biodegradación no supera el 4 %. El PLA con 3,68 % fue el material con la mayor pérdida de masa durante el periodo

Tabla 6: Porcentaje de pérdida de masa ($\%P_m$) durante los procesos de degradación.

Material	Día del proceso de Degradación Hidrolítica						Día del proceso de Biodegradación					
	7	14	21	28	35	68	7	14	21	28	35	68
PLA	10,92	12,70	14,45	16,16	19,87	21,20	0,57	1,21	1,83	2,44	3,05	3,68
PP	0,09	0,10	0,11	0,12	0,12	0,12	0,03	0,08	0,13	0,18	0,23	0,35
PET	0,36	0,71	1,19	1,55	1,89	2,25	0,22	0,45	0,87	1,33	1,80	2,26
PP /20 %PLA	5,45	7,87	10,59	11,89	10,11	11,07	0,03	0,28	0,41	0,56	0,73	0,94
PET/20 %PLA	4,23	4,09	7,56	8,08	6,05	6,25	0,34	0,55	0,69	0,93	1,41	1,86

$\%P_m \pm 0,01$

de biodegradación, mientras que en el PET se obtuvo 2,26% y en el PP 0,38%. Esto puede atribuirse a que los microorganismos colonizan la superficie del PLA y son capaces de segregar enzimas que rompen en pequeños fragmentos el polímero. En tanto que, en el PET y PP, por ser polímeros sintéticos son resistentes a la degradación biológica, puesto que los microorganismos no son capaces de romper los enlaces C–C; y el carácter hidrofóbico, inhibe la actividad enzimática [7, 8, 20]. Ahora bien, en la mezcla de PP/20%PLA se obtuvo una pérdida de masa de 0,94% al final del proceso, lo que indica que la inclusión de PLA al PP, no acelera significativamente el proceso de biodegradación. En tanto que, en la muestra de PET/20%PLA la pérdida de masa fue 1,86%, lo que representa que la incorporación de PLA al PET, disminuye la pérdida de masa durante el proceso de biodegradación, debido a las interacciones existentes entre los polímeros que inhiben la actividad enzimática.

En la Figura 3 se presenta la variación del pH de la solución amortiguadora en el proceso de degradación hidrolítica. En ella, se observa que el pH de las soluciones al final del proceso es menor que el pH inicial, el cual fue de 10,54. Esto se debe, a que en la degradación hidrolítica se liberan especies de bajo peso molecular de naturaleza ácida [9, 17]. Ahora bien, el pH de la solución con las muestras de PET disminuyó a 10,25 esto pone en evidencia la resistencia química del polímero debido a los grupos funcionales que se encuentra en su cadena carbonada [6]. Por su parte, en la solución con PP se obtuvo un pH de 10,20. Esta disminución es consecuencia del carácter no higroscópico del PP, que hace que la

solución alcalina solo esté en contacto superficial con el PP. Además, de la estructura química del PP con enlaces de carbono (-C-C-) que evitan que la degradación hidrolítica se lleve a cabo. En tanto, que en la solución con PLA se obtuvo la mayor disminución de pH con 8,89 lo que indica que las cadenas de PLA fueron atacadas hidrolíticamente facilitando la ruptura de las cadenas y aumentando la posibilidad de liberar mayor cantidad de grupos ácidos al medio [17]. En cuanto, a las soluciones con las muestras PP/20%PLA y PET/20%PLA el pH fue de 9,48 y 9,55 respectivamente. Esto se encuentra en correspondencia a lo señalado anteriormente referente a las interacciones que se generan entre el PLA con el PP y el PET en cada mezcla, que hacen que el ataque hidrolítico sea mayor en el PP que en el PET.

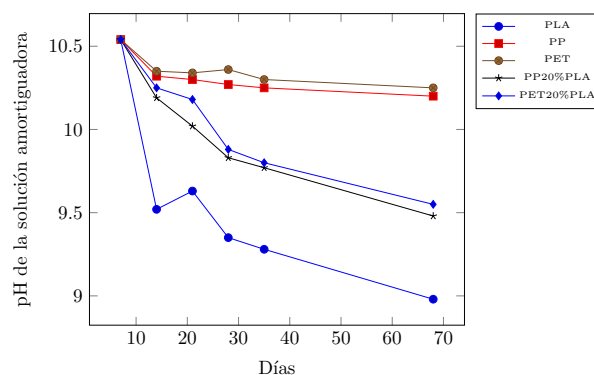


Figura 3: Variación del pH de la solución amortiguadora durante el proceso de degradación hidrolítica.

En la Figura 4, se muestra los espectros infrarrojos de la solución amortiguadora utilizada en la degradación hidrolítica del PET, PP, PLA, PP/20%PLA y PET/20%PLA, tanto al inicio del

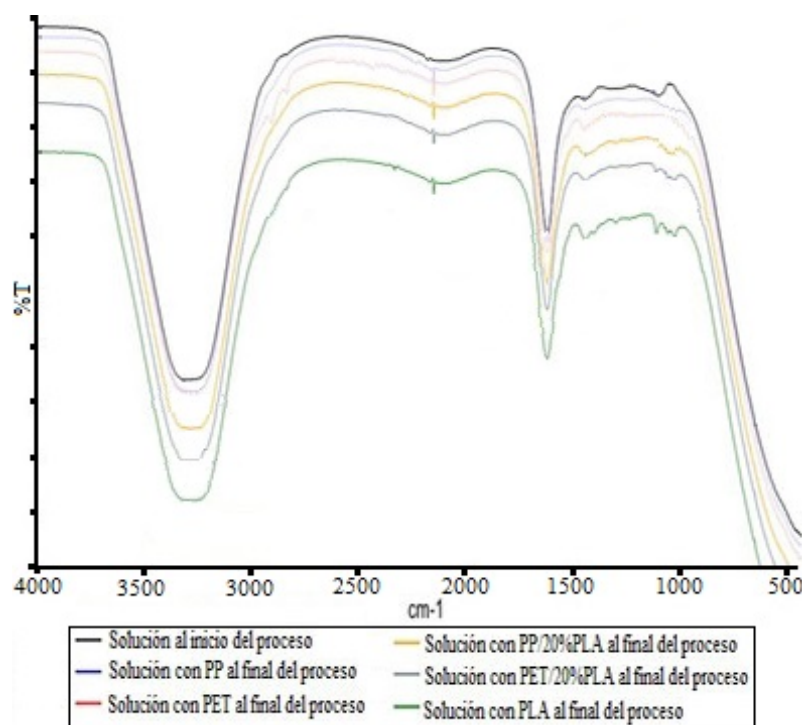


Figura 4: Espectro Infrarrojo de la solución amortiguadora utilizada en el proceso de degradación hidrolítica.

proceso como al final del mismo. En ella, se puede observar la banda característica del grupo oxidrilo (-OH) en 3294 cm^{-1} , cuyo pico es mayor al resto, debido a los puentes de hidrógenos que están presentes. Seguidamente en la banda 2930 cm^{-1} , correspondiente a las soluciones amortiguadoras del PET y PLA, se mostró la presencia de los enlaces C-H de hibridación sp^3 , ya que absorben frecuencia justo por debajo de 3000 cm^{-1} .

En este sentido, se observa en 1637 cm^{-1} un pico en común para todas las soluciones. Esto es característico de la solución de amoníaco que posee adicionalmente un pico en las bandas 3444 cm^{-1} y 3337 cm^{-1} , los cuales se aprecian en el espectro debido al solapamiento de bandas que puede ocurrir entre 3600 cm^{-1} y 3000 cm^{-1} , por motivo de las interacciones de puentes de hidrógenos que se encuentra en la solución. Además, se obtuvo un pico entre 1453 cm^{-1} - 1461 cm^{-1} producto de los iones amonio (NH_4^+) del cloruro de amonio presente en la solución; Para valores altos de pH, este grupo funcional se aprecia en este rango. Posteriormente en 1129 cm^{-1} se aprecia la formación de un pico a medida que la sustancia

es más susceptible a degradarse hidrológicamente, atenuándose en la solución amortiguadora que estuvo en contacto con el PLA. Esta banda es debido a la tensión en el enlace C-O. Por último, se evidencia que en 1038 cm^{-1} aparece la banda característica de las trazas del grupo carboxilo (-COOH) [18].

En la Figura 5 se presenta el espectro infrarrojo realizado al PP, PET y PLA al inicio del proceso (día 0) y al final de los procesos de degradación utilizados (día 68). En ella, se observa que los tres espectros del PP (a, b y c) poseen las bandas características del PP; 4 picos entre 2950 cm^{-1} y 2838 cm^{-1} debido a vibraciones de tensión (estiramiento) y las bandas por flexión (doblamiento) a 1455 cm^{-1} , generadas por la cadena carbonada. Esto demuestra que el PP no sufrió ningún cambio significativo en su estructura durante el desarrollo de los procesos de degradación [19].

Por su parte, en el espectro b del PET correspondiente al proceso de biodegradación, se observa la pérdida de los grupos oxidrilos (-OH) aportados por el etilenglicol presente en los

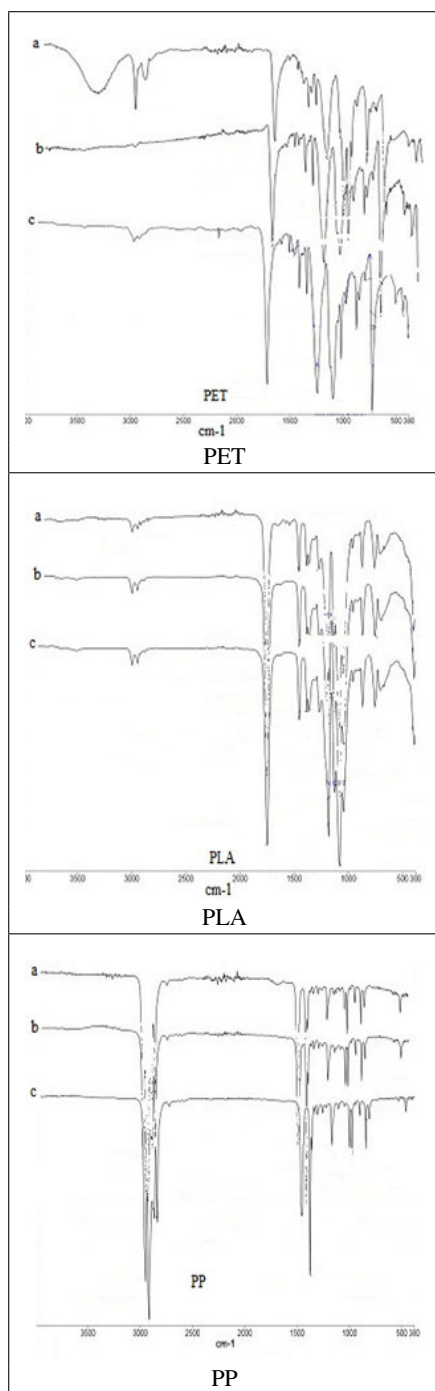


Figura 5: Espectro infrarrojo del PP, PET y PLA. (a) Al inicio del proceso, día 0. (b) Al final del proceso de biodegradación, día 68. (c) Al final del proceso de degradación hidrolítica, día 68.

extremos de la cadena. Esto puede atribuirse al ataque de los microorganismos, que genera como producto dióxido de carbono (CO₂), lo que explica la desaparición del pico presente en la banda 1046 cm⁻¹, correspondiente al C-O. Además, se aprecia

un pico en 2974 cm⁻¹ asociado al enlace -CH proveniente del grupo aromático presente en las cadenas del PET, lo cual es lógico en los procesos de degradación biológica que transforman estos en producto en compuestos de bajo peso molecular [20]. Otro cambio notable es el aumento del pico en la región 1713 cm⁻¹ propio al estiramiento del enlace C=O del grupo éster. Esto es debido a las rupturas de la cadena que pueden formar grupos finales tipo aldehído y también por los largos segmentos de cadena del PET que pueden unirse al anillo aromático proveniente de dicha escisión, lo que confirma el hecho de que se observen bandas alrededor de 1665 cm⁻¹ correspondiente a enlaces de tipo Ar-CO-Ar [20]. Todo esto, corrobora lo antes señalado sobre la biodegradación que experimenta el PET. En cuanto, al espectro c de la Figura 5, referente a la degradación hidrolítica del PET se observan algunos cambios en la estructura del material que demuestran que el PET también es degradado durante este proceso.

Tabla 7: Análisis cuantitativo de los cambios presentados en las bandas características en el estudio de la degradación del PLA.

Proceso (*)	Transmitancia (%T)		
	CH/2946	C=O/1747	CO/1180
Sin degradar	-	66,45	64,19
Biodegradación	94,17	22,78	26,51
Degradación hidrolítica	94,05	21,16	24,44

(*): Grupo funcional / Longitud de onda (cm⁻¹)

En relación al PLA, se observa en los espectros b y c de la Figura 5 la aparición de una nueva banda en 2946 cm⁻¹ debido a un alargamiento de los grupos C-H [19]. En la Tabla 7, se muestra que para las bandas de los grupos funcionales C=O y CO, el porcentaje de transmitancia en ambos procesos disminuye (mayor absorbancia) en comparación al espectro obtenido al inicio del proceso, como se observa para la banda más importante (1747 cm⁻¹) correspondiente al grupo carbonilo. El PLA presentó al inicio una transmitancia de 66,45 %T, y al final del proceso de biodegradación obtuvo una transmitancia de 22,78 %T y en la degradación hidrolítica de 21,16 %T. Esto se debe

a que en la degradación se producen nuevas especies, como ácidos carboxílicos, que ocasionan un aumento de la absorbancia en la banda. Por lo antes mencionado, se corrobora que el PLA fue degradado en ambos procesos, y que la degradación hidrolítica actuó con mayor intensidad sobre el PLA [19].

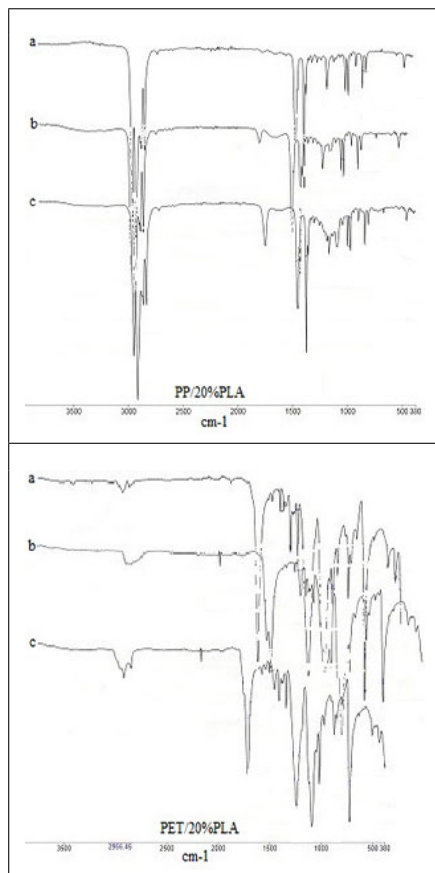


Figura 6: Espectro infrarrojo de las mezclas binarias PP/20 %PLA y PET/20 %PLA. (a) Al inicio del proceso, día 0. (b) Al final del proceso de *biodegradación*, día 68. (c) Al final del proceso de degradación *hidrolítica*, día 68.

En la Figura 6 se presenta el espectro infrarrojo realizado de las mezclas binarias PP/20 %PLA y PET/20 %PLA al inicio del proceso (día 0) y al final de los procesos de degradación utilizados (día 68). En relación a los espectros de la mezcla de PP/20 %PLA se observa que luego de la degradación aparece una banda. En la biodegradación (espectro b de la Figura 6) banda se encuentra en 1756 cm^{-1} ; 95,89 %T, mientras que para la degradación hidrolítica (espectro c),

se observa en 1750 cm^{-1} ; 89,30 %T. Esta banda es característica de los grupos ésteres alifáticos del PLA [19]. En virtud, de estos resultados y en correspondencia con las observaciones obtenidas con los valores de porcentaje de masa retenida se corrobora que la mezcla fue degradada en un margen mayor en el proceso hidrolítico que en la biodegradación.

En cuanto, a los espectro b y c de la Figura 6 de la muestra de PET/20 %PLA se observa un ligero desplazamiento del grupo carbonilo debido a la presencia de interacciones del tipo puentes de hidrogeno que influyen en su desplazamiento. Esta banda del grupo carbonilo (C=O) se mantiene en $1712\text{-}1713\text{ cm}^{-1}$ por lo que se puede inferir que la energía de activación de la reacción del grupo carbonilo terminal en la cadena del PLA es mucho más baja que en la cadena del PET, debido a la baja concentración del grupo carbonilo perteneciente a la cadena de PLA. En la mezcla se generó entre los polímeros una baja interacción molecular; que ocasiona una mínima degradación en ambos procesos [6].

4. Conclusiones

El aumento del porcentaje de PLA incrementa el índice de fluidez, lo que reduce el peso molecular del material y lo hace susceptibles a la degradación. La pérdida de masa ocasionada en la degradación hidrolítica del PLA fue de 21,20 % y de 3,68 % en la biodegradación. En tanto, que el PP y PET se degradan en una menor proporción que el PLA. En la degradación hidrolítica la mezcla de PP/20 %PLA perdió el 11,07 % de masa y la mezcla de PET/20 %PLA 6,05 %. La espectroscopia infrarrojo por Transformada de Fourier FTIR permite corroborar los cambios estructurales que sufren los materiales durante el proceso de degradación.

Agradecimientos

Al FONACIT por el financiamiento recibido a través del proyecto N° 2011001269, el cual permitió sufragar parte de los costos involucrados para la realización de este trabajo. Al personal

docente y técnico que labora en el Laboratorio de Polímeros del Centro de Investigaciones Químicas, en el Laboratorio de Ingeniería Química (LIQ) de la Facultad de Ingeniería de la Universidad de Carabobo y los que laboran en el Laboratorio de Polímeros del Instituto Universitario de Tecnología de Valencia (IUTVAL) por su apoyo en el desarrollo de esta investigación.

5. Referencias

- [1] M. del P. Cabildo Miranda, P. Cornago Ramirez, C. Escolastico Leon, S. Esteban Santos, C. Lopez Garcia, and D. Sanz del Castillo. *Bases químicas del medio ambiente*. UNED, 2013.
- [2] V. Guanipa. Selección de materiales de ingeniería. Venezuela, 2011.
- [3] Lenin Casanova, Maibeth Jiménez, Víctor Zamora, and Jhonny Medina. Fabricación de bloques huecos de concretos con mezclas poliméricas a base de policloruro de vinilo (PVC) y poliestireno (PS) reciclado. *Ingeniería y Sociedad UC*, 12(1):23–30, 2017.
- [4] PlasticsEurope. Plásticos - situación en 2017. Un análisis de los datos sobre producción, demanda y residuos de plásticos en Europa. Informe Técnico, PlasticsEurope, 2018.
- [5] Magda Elva Perales Castro. Modificación estructural del polietiléntereftalato con ácido poliláctico. Síntesis de polímeros biodegradables. Tesis de Maestría, Instituto Politécnico Nacional, México, 2012.
- [6] Liliana Serna, Aída Rodríguez de S., and Fred Albán. Ácido poliláctico (PLA): Propiedades y aplicaciones. *Ingeniería y competitividad*, 5(1):16–26, 2011.
- [7] Omar Maldonado and Yenifer Roche. Evaluación de la degradación hidrolítica y la biodegradación de mezclas binarias con ácido poliláctico (pla) y diferentes tipos de residuos plásticos. Trabajo Especial de Grado, Escuela de Ingeniería Química, Facultad de Ingeniería, Universidad de Carabobo, Venezuela, 2017.
- [8] COVENIN 1769-81, Frutas tomas de muestras. COVENIN, 1981.
- [9] Edgardo Figueira Maldonado. Degradación hidrolítica a diferentes pH de un material compuesto poli(ácido láctico)/quitosano. Trabajo Especial de Grado, Universidad Simón Bolívar, Venezuela, 2008.
- [10] ASTM D 1238 - 13(2013), Standard test method for melt flow rates of thermoplastics by extrusion plastometer, 2013.
- [11] V. T. Santana, S. P. C. Goncalves, J. A. M. Agnelli, and S. M. Martins-Franchetti. Biodegradation of a polylactic acid/polyvinyl chloride blend in soil. *Journal of Applied Polymer Science*, 125(1):536–540, 2012.
- [12] Elena Ramos Vásquez and Doris Zúñiga Dávila. Efecto de la humedad, temperatura y pH del suelo en la actividad microbiana a nivel de laboratorio. *Ecología aplicada*, 7(1-2):123–130, 2008.
- [13] Wilmar Andrés Botía Diaz. Manual de procedimientos de ensayos de suelos y memoria de cálculo. Trabajo Especial de Grado, Universidad Militar Nueva Granada, Bogotá, Colombia, 2015.
- [14] Sasha Solórzano O. Estudio de las propiedades mecánicas y reológicas de nanocompuestos de polipropileno y sus mezclas. Trabajo Especial de Grado, Universidad Simón Bolívar, Venezuela, 2007.
- [15] Ricardo Mendoza Quiroga and Jorge A. Medina Perilla. Propiedades adhesivas de mezclas de almidón de yuca termoplastificado y ácido poliláctico (tps/pla). *INGE CUC*, 7(1):217–228, 2011.
- [16] Gustavo Luengo Rico. *Mezclas de polímeros. Estudio de su compatibilidad*. Tesis Doctoral, Universidad Complutense de Madrid, España, 1993.
- [17] Marco A. Sabino, Dayanara Morales, Gladys Ronca, and José Luis Feijoo. Estudio de la degradación hidrolítica de un copolímero biodegradable. *Acta Científica Venezolana*, 54:18–27, 2003.
- [18] J. E. Rodríguez-Páez, C. Villaquirán, and J. Cobo. Estudio de la formación de los complejos intermedios durante la síntesis de alumina. *Materials Research*, 4(4):255–264, 2001.
- [19] Ana Karina Rodríguez Atencio. Estudio de la degradación de compuestos de poli(ácido láctico) con sulfato de calcio y quitosano. Trabajo Especial de Grado, Universidad Simón Bolívar, Venezuela, 2009.
- [20] Nohemí Magda Araque Pacheco. Estudio y caracterización de la degradación hidrolítica y en compostaje de PET virgen y reciclado. Trabajo Especial de Grado, Universidad Simón Bolívar, Venezuela, 2008.

Catalysts sulphide Fe-Mo supported in Zn-hydroxyapatites and its application in thiophene hydrodesulfurization reaction

Carlos Felipe Linares^a, Edith Figueredo^{*,a,b} y Freddy Ocanto^a

^aUnidad de Síntesis de Materiales y Metales de Transición (SIMMET), Departamento de Química, Facultad Experimental de Ciencias y Tecnología, Universidad de Carabobo, Valencia, Venezuela.

^bLaboratorio de Calidad Ambiental, Departamento de Ingeniería Ambiental, Facultad de Ingeniería, Universidad de Carabobo, Valencia, Venezuela.

Abstract.- Hydroxyapatites with variable Ca-Zn amounts were synthesized as a new support of hydrotreating catalysts. Then, these supports were impregnated with Mo, as active phase, and Fe as promoter. After that, solids were calcined at 400 °C. These catalytic precursors were characterized by different physicochemical techniques such as: X-ray diffraction (XRD), temperature programmed reduction (TPR), Fourier transformed infrared spectroscopy (FTIR) and specific area measurements by BET method. Finally, these catalysts were employed in the reaction of hydrodesulfurization of thiophene. Results showed low catalytic activity values possibly due to the low presence of the octahedral molybdate or these solids. Identified phases by XRD were: ferrimolybdate ($\text{Fe}_2\text{Mo}_3.9\text{O}_{14.7}10.5\text{H}_2\text{O}$), ferric molybdate ($\text{Fe}_2(\text{MoO}_4)_3$), calcium zinc phosphate ($\text{Ca}_{19}\text{Zn}_2(\text{PO}_4)_{14}$) and calcium molybdate or scheelite (CaMoO_4).

Keywords: hydrotreating; hydroxyapatites; thiophene.

Catalizadores sulfurados Fe-Mo soportados en Zn-hidroxiapatitas y su aplicación en la reacción de hidrodesulfuración de tiofeno

Resumen.- Se sintetizaron hidroxiapatitas con contenido Ca-Zn variable, como un nuevo soporte de catalizadores de hidrotratamiento. Estos soportes, luego fueron impregnados con Mo, como fase activa, y Fe, como promotor. Posteriormente los sólidos fueron calcinados a 400 °C. Estos precursores catalíticos fueron caracterizados por técnicas fisicoquímicas tales como: difracción de rayos X (DRX), reducción a temperatura programada (TPR), espectroscopía de infrarrojo con transformada de Fourier (FTIR) y medidas de área específica por el método BET. Finalmente, estos catalizadores fueron empleados en la reacción de hidrodesulfuración de tiofeno, obteniéndose valores bajos de actividad catalítica, posiblemente debido a la poca presencia de molibdeno octaédrico en dichos sólidos. Las fases identificadas por DRX fueron: ferrimolibdito ($\text{Fe}_2\text{Mo}_3.9\text{O}_{14.7}10.5\text{H}_2\text{O}$), molibdato férrico ($\text{Fe}_2(\text{MoO}_4)_3$), fosfato de calcio y cinc ($\text{Ca}_{19}\text{Zn}_2(\text{PO}_4)_{14}$) y Molibdato de calcio o scheelita (CaMoO_4).

Palabras claves: hidrotratamiento; hidroxiapatita; tiofeno.

Recibido: febrero 2018

Aceptado: junio 2018

1. Introducción

Las reacciones de hidrotratamiento suelen llevarse a cabo, generalmente, en presencia de catalizadores Co-Mo o Ni-Mo soportados en alúmina para la remoción de heteroátomos provenientes de compuestos orgánicos presentes en el crudo. Con la finalidad de proteger el ambiente,

muchos países han adoptado normas y leyes que regulan la cantidad de heteroelementos permitidos en las fracciones del petróleo así como sus consecuentes emisiones a partir de la combustión [1]. Actualmente, los trabajos en hidrotratamiento están orientados a modificar el soporte utilizado tradicionalmente (Al_2O_3) o sustituirlo por otros [2], debido a que son poco efectivos para las cargas de petróleo procesadas. Así, nuevos materiales mesoporosos [3], carbones, hidrotalcitas [4] e hidroxiapatitas son prometedores de resultados interesantes.

* Autor para correspondencia:

Correo-e: emfigueredo@gmail.com (Edith Figueredo)

En este sentido, una alternativa la

constituye el uso de hidroxiapatita fosfofáltica ($\text{Ca}_{10}(\text{PO}_4)_6(\text{OH})_2$), perteneciente a la familia cristalográfica de las apatitas, compuestas por isomorfos que poseen una misma estructura hexagonal. Esta investigación plantea el uso de hidroxiapatita como soporte catalítico, promovidas con Fe y Mo como fases activas; anteriormente se pensaba que el hierro mostraba poca participación como promotor; sin embargo, estudios realizados determinaron que los sulfuros de hierro son fases activas en procesos de hidrodeshidrogenación de crudos pesados [5]. Por otra parte un efecto sinérgico fue observado en reacciones de HDT; cuando el sulfuro de niobio era promovido con hierro [6].

En estudios previos la hidroxiapatita fue estudiada como soporte catalítico en catalizadores sulfurados CoMo, y NiMo para la reacción de HDS de tiofeno, los resultados arrojaron que el catalizador CoMo/Hap (0% Zn) resultó ser más activo en comparación con el catalizador comercial CoMo/ γ -alúmina [7]; mientras que en catalizadores sulfurados NiMo, se encontró que presentaron mayor actividad los que contenían cantidad variable en cinc que el catalizador comercial [8].

El propósito de esta investigación fue sintetizar hidroxiapatitas de contenido Ca-Zn variable como un nuevo soporte de catalizadores de reacciones de hidrodeshidrogenación, con el fin de mejorar el uso de los catalizadores convencionales soportados en γ -alúmina.

2. Materiales y métodos

Síntesis del soporte utilizando el método de coprecipitación

Los soportes de hidroxiapatita sustituida por cinc fueron sintetizados por el método propuesto por Miyaji [9]. Se preparó una disolución acuosa de fósforo [P] 0,06 M, a partir del fosfato ácido de amonio ($(\text{NH}_4)_2\text{HPO}_4$) (disolución A). Después, una disolución acuosa $[\text{Ca} + \text{Zn}] = 0,1$ M (disolución B) fue preparada disolviendo acetato de calcio dihidratado ($\text{Ca}(\text{CH}_3\text{COO})_2\cdot 2\text{H}_2\text{O}$) y acetato de cinc dihidratado ($\text{Zn}(\text{CH}_3\text{COO})_2\cdot 2\text{H}_2\text{O}$) en agua destilada, para las siguientes composiciones

porcentuales molares en Zn: 0, 3, 6, 9, 12 y 15. Luego 100 mL de la disolución B fueron añadidos a 100 mL de la disolución A con agitación vigorosa. El pH de la disolución fue ajustado a 8 con hidróxido de amonio (NH_4OH) 1 M y la disolución fue mantenida con agitación constante a una temperatura de 90 °C por 5 h. Por último, se filtró al vacío y el producto se secó en una estufa a 100 °C por 10 h. Los soportes sintetizados fueron impregnados con las sales de hierro [sulfato ferroso de amonio hexahidratado ($(\text{NH}_4)_2\text{SO}_4\text{FeSO}_4\cdot 6\text{H}_2\text{O}$), Fisher Scientific, 99 %] y heptamolibdato de amonio [$(\text{NH}_4)_6\text{Mo}_7\text{O}_{24}\cdot 4\text{H}_2\text{O}$, Riedel de Haën, 99 %] por el método de humedad incipiente con una relación atómica Fe: Mo (1: 3), y una concentración de trióxido de molibdeno (MoO_3) del 15 %. Los sólidos secos se calcinaron en una atmósfera de aire a 400 °C por 4 h.

Caracterización de los sólidos

Los sólidos sintetizados, y los precursores catalíticos fueron caracterizados mediante las técnicas de: difracción de rayos X de polvo (Siemens CuK (α): 1,54060 Å), espectroscopía de infrarrojo con transformada de Fourier (FTIR) utilizando KBr como agente dispersante, los espectros fueron registrados en un espectrómetro Shimadzu 8400 S, en el intervalo de 4000-500 cm^{-1} , superficie específica (Quantachrome) usando N_2 como gas adsorbente y reducción a temperatura programada (TPD/TPR Chemisorb Analyzer 2900) bajo una corriente gaseosa de H_2/He al 10 % en H_2 , usando un flujo de 50 cm^3/min .

Pruebas de actividad catalítica

Los precursores catalíticos fueron sometidos a la reacción de hidrodeshidrogenación de tiofeno. Previo a la reacción, 200 mg del sólido fueron colocados en un reactor de vidrio y sulfurados por 2 h utilizando CS_2 /heptano (10 mL/h) como agente sulfurante al 10 % v/v junto con una corriente de H_2 (100 mL/min) a 400 °C. Luego de sulfurados los sólidos, la temperatura de reacción fue ajustada a 280 °C. Se fijó un flujo de H_2 en 0,25 mL/s y se pasó por el reactor una carga de tiofeno/heptano al 10 % m/m en tiofeno a una velocidad de 1

mL/h. Los productos de reacción se inyectaron en forma gaseosa en un cromatógrafo de gases Varian 3800 (AutoSystem XL) equipado con detector FID usando una columna capilar (5 % bifenilo y 95 % de dimetilsilano) de 30 m de longitud y un diámetro interno de 0,25 mm.

3. Resultados y discusión

3.1. Caracterización de los soportes sintetizados y de los precursores catalíticos

Difracción de rayos X (DRX). La Figura 1 señala los difractogramas de las muestras de las Zn-hidroxiapatitas sintetizadas. Estos difractogramas muestran picos intensos correspondiente a los planos: (211), (002), (132), (300), (222) y (213) los cuales son representativos de las estructuras hidroxiapatitas (JCDPS 09-0432) [9]. No se identificaron otras fases adicionales. Adicionalmente y en forma general, a medida que el contenido de Zn aumenta, la intensidad de los picos disminuye y comienza a hacerse más anchos. Una excepción, lo constituye el difractograma con un 15 % Zn, el cual resultó ligeramente mayor que el difractograma con 12 % Zn, lo cual pudiese deberse a errores experimentales.

Por otro lado, la Figura 2 muestra los difractogramas correspondiente a las muestras seleccionadas de los precursores catalíticos: FeMo/Hap(0 %Zn), FeMo/Hap(6 %Zn) y FeMo/Hap(15 %Zn) calcinadas a 400 °C. Para la muestra FeMo/Hap (0 %Zn), se identificaron las siguientes fases: hidroxiapatita, scheelita CaMoO_4 (JPDCS 77-2238), ferrimolibdito $\text{Fe}_2\text{Mo}_3,9\text{O}_{14,7}\cdot 10,5\text{H}_2\text{O}$ (JPDCS 15-0289) y óxido de hierro y molibdeno $\text{Fe}_2(\text{MoO}_4)_3$ (JPDCS 20-0526). La scheelita se forma por la reacción a alta temperatura entre el Ca, que migra fuera de la estructura de la hidroxiapatita, y el heptamolibdato de amonio impregnado.

La fase ferrimolibdito, así como la fase óxido de hierro y molibdeno, posiblemente se formaron por la reacción a altas temperaturas entre el heptamolibdato de amonio y la sal de Mohr utilizadas en el proceso de impregnación de los sólidos. Para las muestras con contenido de cinc se identificó, adicionalmente, la fase fosfato de calcio y cinc $\text{Ca}_{19}\text{Zn}_2(\text{PO}_4)_{14}$ (JPDCS 48-1196) [8].

La fase ferrimolibdito, así como la fase óxido de hierro y molibdeno, posiblemente se formaron por la reacción a altas temperaturas entre el heptamolibdato de amonio y la sal de Mohr utilizadas en el proceso de impregnación de los sólidos. Para las muestras con contenido de cinc se identificó, adicionalmente, la fase fosfato de calcio y cinc $\text{Ca}_{19}\text{Zn}_2(\text{PO}_4)_{14}$ (JPDCS 48-1196) [8].

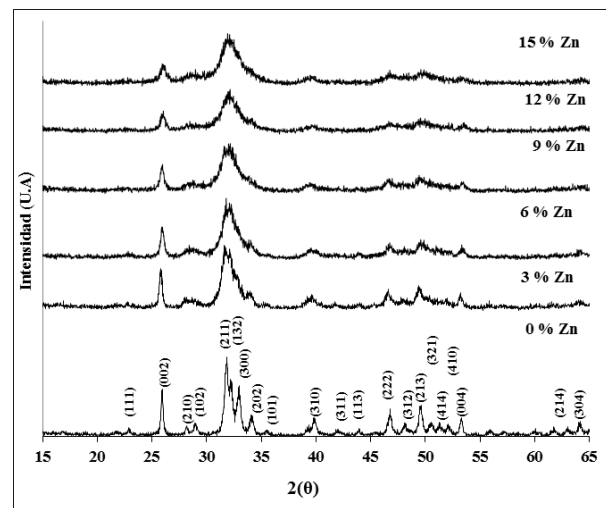
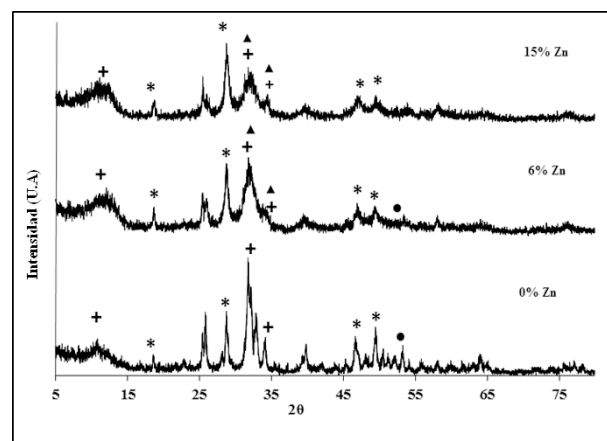


Figura 1: Difractogramas de las muestras sintetizadas para diferentes composiciones molares de Zn.



- *: Fase scheelita CaMoO_4 .
- +: Fase ferrimolibdite $\text{Fe}_2\text{Mo}_3,9\text{O}_{14,7}\cdot 10,5\text{H}_2\text{O}$.
- : Fase óxido de hierro y molibdeno $\text{Fe}_2(\text{MoO}_4)_3$.
- ▲: Fase fosfato de calcio y cinc $\text{Ca}_{19}\text{Zn}_2(\text{PO}_4)_{14}$

Figura 2: Difractogramas de las muestras FeMo/Zn-hidroxiapatitas calcinadas a 400 °C.

La fase ferrimolibdito, así como la fase óxido de hierro y molibdeno, posiblemente se formaron

por la reacción a altas temperaturas entre el heptamolibdato de amonio y la sal de Mohr utilizadas en el proceso de impregnación de los sólidos. Para las muestras con contenido de cinc se identificó, adicionalmente, la fase fosfato de calcio y cinc $\text{Ca}_{19}\text{Zn}_2(\text{PO}_4)_{14}$ (JPDCS 48-1196) [8].

En cuanto al tamaño del cristal, en la Tabla 1 se observa, que el soporte tipo Hap 0% Zn, presentó el mayor tamaño granulométrico de cristal en comparación con los demás soportes. A medida que aumenta el contenido de cinc en el sólido, se observa una disminución del tamaño granulométrico de cristal, para los soportes 6, 9 y 12% Zn. Este resultado es concordante con lo observado en los difractogramas de estas muestras, en donde se aprecia que la intensidad de los picos disminuye y comienzan a hacerse más anchos, cuando las muestras contienen cinc. Según Miyaji [9], el tamaño granulométrico de los cristallitos es más pequeño a medida que el contenido de Zn incrementa.

En el caso, de la hidroxiapatita con un 15% Zn, el tamaño granulométrico fue superior, inclusive a la hidroxiapatita con 6% Zn, siendo concordante con lo observado en los patrones de DRX. No tenemos una explicación clara para este resultado, pero errores experimentales pudiese estar involucrados.

Tabla 1: Tamaño de los cristales de los soportes sintetizados y de los precursores calcinados a 400 °C usando la ecuación de Scherrer.

Hap	Tamaño de los cristales ($\pm 0,1$) (nm)	
	Hidroxiapatita (Hap) sintetizada	FeMo/Hap calcinadas a 400 °C
0% Zn	19,4	12,0
6% Zn	9,2	7,8
9% Zn	9,0	5,3
12% Zn	8,4	4,9
15% Zn	10,2	5,0

Para las muestras calcinadas, se puede observar la disminución del tamaño de los cristales a medida que aumenta el contenido de cinc en el sólido. Este resultado es concordante con lo observado en los difractogramas de rayos X del soporte de estas muestras, en donde se aprecia que las señales se

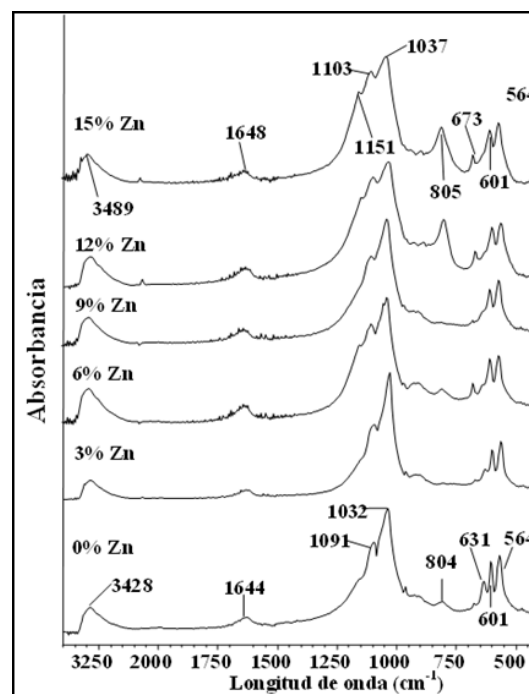


Figura 3: Espectros FTIR de las muestras FeMo/Zn-hidroxiapatitas calcinadas.

hacen más anchas al incrementarse el contenido de cinc en las mismas.

Espectroscopia de infrarrojo (IR-FT). En la Figura 3 se muestran las bandas de PO_4^{3-} alrededor de 1101, 1032, y 564 cm^{-1} . Estas bandas corresponden a los modos de vibración μ_3 y μ_4 de este anión [10]. Además, se observa la banda a 805 cm^{-1} asociada a la fase scheelita [11]. Esta fase fue también determinada mediante DRX. La intensidad de esta banda se incrementa ligeramente a medida que incrementa el contenido de Zn. Esta fase de CaMoO_4 pudiese disminuir el contenido de especies de Mo octaédrico útiles para la reacción de HDS debido a su difícil reducción. También se observan bandas alrededor de 632, 3420 y 1600 cm^{-1} para todas las muestras sintetizadas y calcinadas a 400 °C, las cuales se corresponden con las moléculas de agua adsorbida o los grupos OH^- de la hidroxiapatita.

La banda a 1091 cm^{-1} puede ser adjudicada a los aniones HPO_4^{2-} , los cuales, generalmente pueden generar una banda menos intensa a 875 cm^{-1} que pudiese estar solapada con la banda a 916 cm^{-1} adjudicada a los aniones fosfatos [11, 12].

Superficie específica. En la Tabla 2, se reportan los datos de la superficie específica, en general estos resultados arrojaron un aumento de la superficie específica a medida que la fracción de Zn se incrementa en la estructura de la hidroxiapatita, hasta alcanzar un máximo en la superficie específica para un contenido de Zn de 6 % molar; por consiguiente debería tener una mayor actividad en las reacciones de HDS.

Luego la superficie específica tiende a estabilizarse a mayores contenidos de Zn. Estos resultados parecieran indicar que el tamaño de los cristales se hace más pequeño a medida que se incrementa el contenido de Zn hasta un cierto contenido en Zn, tal como se confirmó mediante los resultados obtenidos por DRX e FT-IR.

Tabla 2: Área específica por el método BET, obtenida para las muestras FeMo/Zn-hidroxiapatitas calcinadas a 400 °C.

Sólidos	Área específica por el método BET ($\pm 1 \text{ m}^2/\text{g}$)
FeMo/Hap(0 % Zn)	75
FeMo/Hap (3 % Zn)	74
FeMo/Hap(6 % Zn)	106
FeMo/Hap (9 % Zn)	95
FeMo/Hap (12 % Zn)	85
FeMo/Hap (15 % Zn)	99

Perfiles de reducción a temperatura programada (TPR). En la Figura 4, se presenta el resultado de los análisis de reducción a temperatura programada de los precursores catalíticos FeMo/Zn-hidroxiapatitas calcinados a 400 °C. En todos los perfiles fue posible observar dos señales perfectamente distinguibles: una señal “A” que aparece entre 500 y 700 °C, y otra señal “B” que aparece entre 700 y 1100 °C.

Estas señales están relacionadas con las especies de molibdeno reducibles. Según Lee, [13] el primer pico puede ser asignado a las especies octaédricas de Mo reducible, y el segundo pico, puede ser adjudicado a especies tetraédricas de Mo más difíciles de reducir. No se descarta, que este último pico esté acompañado por especies de fosfato las cuales pueden ser también reducibles

a fosfito [14]. Para el precursor FeMo/alúmina, se destacan estos picos bien pronunciados: uno bien definido y con un alto consumo de H₂ a 500 °C y uno ancho a 733 °C. Se observa que el pico correspondiente a las especies octaédricas presentó mayor consumo de hidrógeno que aquel señalado para las especies tetraédricas. La señal “A” identificada para el precursor soportado en alúmina comercial se redujo a temperaturas menores que aquellos mostrados en la señal “B”, el cual se redujo a temperaturas muy similares a los observados en FeMo/alúmina. La razón de que estas señales aparezcan a temperaturas menores en la alúmina, es debido a las interacciones metal-soporte más débiles que aquellas observadas en la hidroxiapatita. Para los precursores FeMo/Zn-hidroxiapatitas, la señal “A” se observó entre 570 y 700 °C y la señal “B” entre 750 y 1100 °C. A medida que aumenta el contenido de cinc, la temperatura de reducción de la señal “A”, correspondiente al molibdeno octaédrico, responsable de la actividad catalítica en los catalizadores de HDS, es desplazada a temperaturas mayores haciéndolo más difícil de reducir.

Pruebas catalíticas. En la Figura 5 se muestra la actividad específica (mol de tiofeno convertido/h*g) obtenida una vez alcanzado el estado estacionario del sistema en estudio. Se observa que el catalizador de 0 % Zn posee la más alta actividad, por otro lado a medida que aumenta el contenido de cinc en la estructura de la hidroxiapatita, la tendencia general es la disminución de la actividad catalítica, a excepción del catalizador de 6 % Zn.

Los resultados reflejan el compromiso entre la superficie específica y la relación entre los sitios de Mo tetraédricos y los octaédricos; así el catalizador con 0 % en cinc, aunque tiene una relación A/B menor, en comparación con el catalizador a 3 %, presenta una mayor actividad.

Hecho que se resalta con el catalizador al 6 %, el cual, aunque presenta una relación A/B cercana a 1, al tener la mayor superficie específica, se refleja en una mayor actividad. Es posible que para este catalizador en particular presente una composición óptima de los componentes

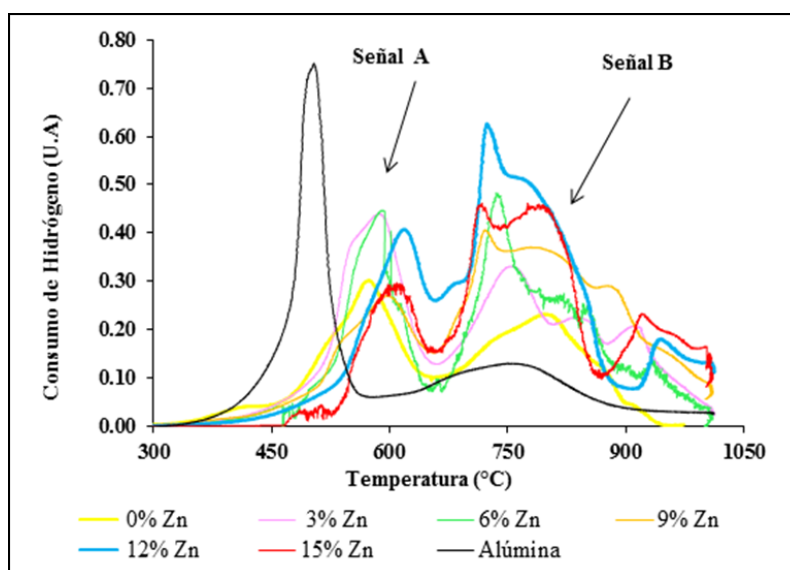


Figura 4: Perfiles de TPR de las muestras FeMo/Zn-hidroxiapatitas calcinadas.

de la mezcla [15]. Luego, y a medida que se incrementó el contenido de Zn, se observa una disminución progresiva de la actividad catalítica debido al aumento de las especies octaédricas del molibdeno. Este comportamiento podría estar relacionado con una mayor proporción de las fases ferrimolibdito $\text{Fe}_2\text{Mo}_{3.9}\text{O}_{14.7}10.5\text{H}_2\text{O}$, óxido de hierro y molibdeno $\text{Fe}_2(\text{MoO}_4)_3$, las cuales disminuyen la concentración de la fase activa, afectando la actividad catalítica en la reacción de HDS de tiofeno.

4. Conclusiones

Los soportes de hidroxiapatita sustituida con cinc desde 0 hasta 15 por ciento molar, fueron posible sintetizarlos con la metodología empleada. Los precursores catalíticos impregnados con la sal de Mo y la sal de Fe, después de la calcinación a 400 °C, mostraron la presencia de las siguientes fases: $\text{Fe}_2\text{Mo}_{3.9}\text{O}_{14.7}10.5\text{H}_2\text{O}$, $\text{Fe}_2(\text{MoO}_4)_3$, $\text{Ca}_{19}\text{Zn}_2(\text{PO}_4)_{14}$ y CaMoO_4 . A medida que se incrementó el contenido de Zn en el soporte, se observó una disminución progresiva de la actividad catalítica. Estos sólidos, resultaron pocos activos a la reacción de HDS de tiofeno estudiada.

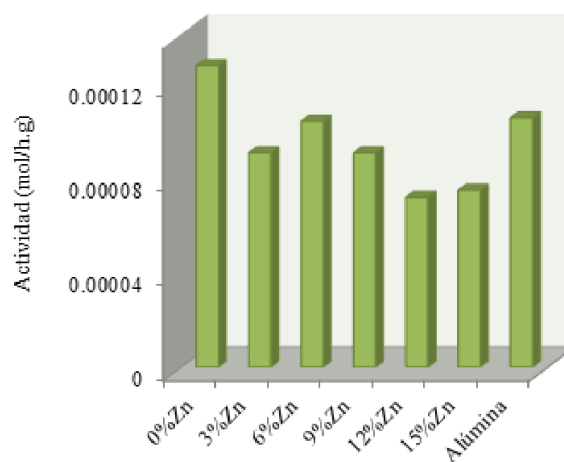


Figura 5: Actividad de los catalizadores FeMo/Zn-hidroxiapatitas en la reacción HDS de tiofeno calcinados a 400°C en función del contenido de Zn.

Agradecimientos

Los autores agradecen al Fonacit PAE N° 2011000797, por el apoyo financiero.

5. Referencias

- [1] Christian Marcilly. Evolution of refining and petrochemicals: what is the place of zeolites. *Oil & gas science and technology*, 56(5):499–514, 2001.
- [2] G. Alvez, R. García, R. Arriagada, and R. Cid. Arcillas pilareadas II. Hidrodesulfuración de tiofeno

- sobre catalizadores Ni, W soportados sobre arcillas pilareadas. *Boletín de la Sociedad Chilena de Química*, 44(3):337–344, 1999.
- [3] Brenda Ledesma and Andrea Beltramone. *Catalizadores de Ir soportados en materiales mesoporosos. Para reacciones de HDT*. Editorial Académica Española, 2017.
- [4] V. C. Mujica and C. F. Linares. Effect of the synthesis method of Ni-Al hydrotalcites as support of CoMo catalysts in hydrotreatment reactions. *Rev. Téc. Ing. Univ. Zulia*, 41(1):41–49, 2018.
- [5] F. Gonzalez-Jimenez, H. Constant, R. Iraldi, E. Jaimes, and M. Rosa-Brussin. Mössbauer study of hydrodemetallization clay catalysts of heavy oils: Role of pyrrhotites. *Hyperfine Interactions*, 28(1-4):927–930, 1986.
- [6] Luis Lippolis and Miguel Ángel Luis. Reacciones de HYD del 2MN, HDS de DBT y competitiva en condiciones de baja severidad empleando sulfuros máxicos mixtos de Fe-Nb no frescos. *Revista Ingeniería UC*, 17(1):61–72, 2010.
- [7] B. García, G. González, F. Ocanto, and C. F. Linares. CoMo/Zn-hydroxyapatites as catalysts for the hydrodesulfurization reaction of thiophene. *Indian Journal of Chemical Technology*, 19(6):403–408, 2012.
- [8] Carlos F. Linares, Edith Figueredo, Domingo Peraza, Gema González, and Freddy Ocanto. Efecto de la temperatura de calcinación en catalizadores NiMo/Zn-hidroxiapatitas en la reacción de hidrodesulfurización de tiofeno. *Revista Latinoamericana de Metalurgia y Materiales*, 34(1):66–75, 2014.
- [9] Fumiaki Miyaji, Yoshiteru Kono, and Yoko Suyama. Formation and structure of zinc-substituted calcium hydroxyapatite. *Materials Research Bulletin*, 40(2):209–220, 2005.
- [10] Ursula Spadavecchia and Gema González. Obtención de hidroxiapatita nanométrica para aplicaciones médicas. *Revista de la Facultad de Ingeniería Universidad Central de Venezuela*, 22(4):37–44, 2007.
- [11] Y. Saih, M. Ait Chaoui, A. Ezzamarty, and M. Lakhdar. Based CoMo sulphided catalysts supported on hydroxyapatite: Dimethyldisulphide (DMDS) hydrogenolysis. *Catalysis Communications*, 2(2):81–87, 2001.
- [12] Ilaria Cacciotti, Alessandra Bianco, Mariangela Lombardi, and Laura Montanaro. Mg-substituted hydroxyapatite nanopowders: synthesis, thermal stability and sintering behaviour. *Journal of the European Ceramic Society*, 29(14):2969–2978, 2009.
- [13] Jung Joon Lee, Heeyeon Kim, and Sang Heup Moon. Preparation of highly loaded, dispersed MoS_2/Al_2O_3 catalysts for the deep hydrodesulfurization of dibenzothiophenes. *Applied Catalysis B: Environmental*, 41(1-2):171–180, 2003.
- [14] J. Guerra, J. Brito, G. González, R. Villalba, M. Pagano, and J. Sánchez. Uso catalítico de hidroxiapatitas sustituidas con vanadato y molibdato en hds de tiofeno. In *XXI Simposium Iberoamericano de Catálisis*, Málaga, España, 2008.
- [15] Edith María Figueredo Ruiz. *Hidroxiapatitas Ca-Zn: un nuevo soporte en la reacción de hidrodesulfuración de tiofeno*. Tesis Doctoral, Facultad de Ingeniería, Universidad de Carabobo, Venezuela, 2016.

Development of virtual instrumentation applied to telecommunications laboratories using the Red Pitaya board

Giusseppe Perretti, Robert Fernández, Carlos Mejías y Carlos Aponte*

Escuela de Ingeniería de Telecomunicaciones, Facultad de Ingeniería, Universidad de Carabobo, Valencia, Venezuela.

Abstract.- A teaching telecommunication lab requires equipment endowment such as spectrum analyzers, impedance analyzers, oscilloscopes, signal generators, function generators, and time-domain reflectometers, which means expensive funding for the universities to invest in these types of equipment. However, thanks to the built-in data-acquisition-and-signal-generation platform called Red Pitayas, it is possible to develop a low-cost workbench, which represents an opportunity for universities that cannot afford large fundings for equipment endowment. The teaching laboratories of the Telecommunication school at the University of Carabobo require workbenches through virtual instrumentation to help the students during the equipment training, achieving an effective way to the issues relate to resource generations, researching, and teaching.

Keywords: instrumentation; virtual; Red Pitaya.

Desarrollo de instrumentación virtual aplicada a laboratorios de telecomunicaciones usando la tarjeta Red Pitaya

Resumen.- Un laboratorio de telecomunicaciones requiere una dotación de equipos de medición tales como el analizador de espectro, analizador de impedancia, osciloscopio, generador de señales, generador de funciones y reflectometría temporal. Para adquirir estos equipos las universidades deben invertir miles de dólares en equipamiento especializado. Gracias a la tarjeta comercial Red Pitaya es posible desarrollar un banco de trabajo con un coste de cientos de dolares lo que representa una oportunidad de ahorrar en la dotación de laboratorios. En el caso de los laboratorios de la Escuela de Telecomunicaciones de la Universidad de Carabobo, se requiere que los bancos de trabajo desarrollados con instrumentación virtual faciliten el entrenamiento en equipos de medición y que se alcancen de manera eficaz los propósitos relacionados con la generación de recursos, investigación y docencia.

Palabras claves: instrumentación; virtual; Red Pitaya.

Recibido: abril 2018

Aceptado: mayo 2018

1. Introducción

El desarrollo de una variedad de herramientas virtuales que pretenden ser instrumentos flexibles para adaptarse a las necesidades de aprendizaje del estudiante ha beneficiado a carreras como la ingeniería [1]. Entre estas herramientas virtuales que se han creado para facilitar la comprensión

de los fenómenos estudiados en los laboratorios de las distintas ramas de la ingeniería se encuentran: laboratorios remotos, laboratorios virtuales, instrumentación virtual, entre otros [2], donde la instrumentación virtual es la que más se asemeja a los laboratorios tradicionales, ya que está constituida por un software y un hardware, que permiten emular equipos físicos, y además son una solución económica frente a los altos precios de los equipos de medición utilizados en los laboratorios [2]. En este sentido, en el 2001 *National Instrument* define la instrumentación virtual como un sistema de adquisición, procesamiento y presentación de señales físicas desde una computadora a través de

* Autor para correspondencia:

Correo-e: caponte@uc.edu.ve (Carlos Aponte Dezzeo)

instrumentos virtuales o interfaces dedicadas.

A medida que evolucionan las tecnologías de información y comunicación (TIC), se presentan mayores posibilidades de que las Universidades puedan crear nuevos contenidos educativos, con el propósito de generar mejores experiencias en las aulas de clases y laboratorios que faciliten los procesos aprendizaje [3]. Sin embargo, ha quedado demostrado que un programa de aprendizaje apoyado en las TIC, debe estar fundamentado con un plan de estrategias pedagógicas que apunten a satisfacer necesidades específicas de aprendizaje en el alumno con el fin de aprovechar al máximo este tipo de herramientas [4, 1].

En la Universidad de Carabobo, específicamente en la escuela de Ingeniería de Telecomunicaciones, se realizaron trabajos para potenciar los módulos básicos de la Red Pitaya y el uso de instrumentación virtual[5, 6], pero no se utilizaban debido a que se requería el desarrollo de equipos adicionales para completar los bancos de trabajo. Adicionalmente no existía un plan definido que incluyera la IV en las diferentes prácticas de laboratorio. Así nace la necesidad de desarrollar nuevo equipamiento en la Red Pitaya y elaborar un material didáctico que sea efectivo para el aprendizaje, lo cual representa un ahorro de miles de dólares en equipamiento y establece las bases para implementar centros de entrenamientos bajo esta metodología en cualquier institución, pública o privada.

2. Metodología

2.1. Elaboración de Instrumentos Virtuales

La Red Pitaya es una tarjeta de instrumentación de bajo costo, diseñada para utilizarse como instrumento de medida y de control. Cuenta con un textSystem On Chip (SOC) Xilinx Zynq 7010, este contiene un procesador de doble núcleo ARM9 que permite ejecutar el sistema operativo Linux, además, el chip contiene una FPGA disponible para realizar el procesamiento digital de señales. Para la adquisición y generación de señales esta incluye ADCs y DACs de 125Mpsps, permitiendo procesar señales hasta los 50 MHz con una resolución de 14-bit. La interfaz física de la tarjeta cuenta con 2 puertos de entradas y 2 puertos de salidas, todos con

conectores estándar tipo SMA-F, así como también un puerto Ethernet por el cual se puede conectar a una red y acceder al a través de un navegador e interactuar con la tarjeta mediante una interfaz gráfica, así como la mostrada en la Figura 1. En dicha interfaz se puede acceder a las aplicaciones ya precargadas o bien se pueden desarrollar nuevas aplicaciones, como las implementadas en este trabajo, ya que es un sistema de código abierto [7].



Figura 1: Menú principal de aplicaciones de la Red Pitaya. Fuente: <https://www.redpitaya.com/>

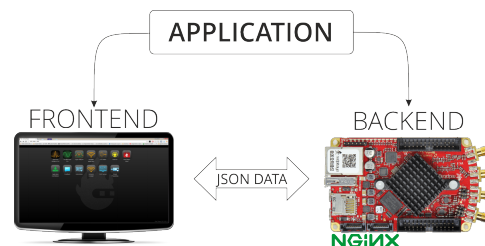


Figura 2: Etapas de una aplicación desarrollada en la plataforma Red Pitaya. Fuente: <https://www.redpitaya.com/>.

Las aplicaciones de Red Pitaya están compuestas por 2 etapas, el *Frontend* y el *Backend*, así como se plantea en la Figura 2. Dichas etapas deben ser completadas correctamente para poder ejecutar las aplicaciones desde el navegador. El *Frontend* de la aplicación es todo aquello que el usuario visualiza, en otras palabras, es la interfaz ejecutada desde

el navegador. En ella se muestra la data recibida de la tarjeta, así como también los parámetros que pueden ser manipulados por el usuario, los cuales son necesarios para la configuración del procesamiento y control de datos por parte de la Red Pitaya.

Para el diseño de la interfaz se cuenta con las herramientas de programación que prestan los lenguajes de programación HTML5, CSS y JavaScript, donde HTML5 adecua la disposición de los elementos mostrados en pantalla, CSS agrega el estilo visual de los elementos y JavaScript facilita la creación de aplicaciones rápidas y confiables. Se tomo en cuenta la opinión de los encuestados y la interfaz es lo mas parecida posible al equipo fisico.

Por otro lado el *Backend*, a diferencia del *Frontend*, el usuario no tiene acceso a este código directamente, sin embargo, conforma el núcleo de la de la aplicación. En el ocurre todo el procesamiento que la tarjeta realiza para llevar a cabo las operaciones solicitadas por la aplicación. El código que conforma esta etapa es incluido en un controlador. Dicho controlador es un archivo de extensión .so o una librería compartida de Linux. El controlador opera con dos objetos importantes, que son: las señales y los parámetros, donde las señales son los contenedores de toda la data almacenada en el *buffer* de la FPGA, mientras que los parámetros contienen las variables que operan sobre las diferentes funciones de la tarjeta o APIs (Application programming interface).

Las APIs de Redpitaya son una librería de funciones que sirven como enlace entre el controlador y la FPGA, ver Figura 3. Estas permiten que el controlador modifique los registros de la FPGA, y este a su vez, controla todo el hardware de la tarjeta, bien sea el ADC, DAC, pines GIOP, y leds.

En la Figura 4 se muestra un esquema del proceso que ocurre al iniciar una aplicación desde la interfaz web. En la primera fase, el servidor Nginx se encarga de cargar la imagen de FPGA requerida y el controlador necesario para operar la aplicación iniciada. A Partir de aquí el servidor establece la comunicación entre interfaz web y controlador a través de un archivo de texto con formato JSON. Este archivo JSON contiene los dos objetos antes

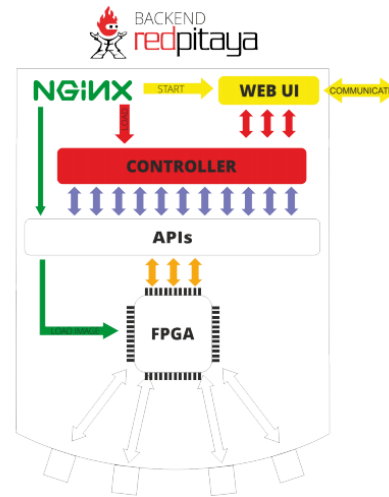


Figura 3: Esquema de funcionamiento de la Red Pitaya. Fuente: <https://www.redpitaya.com/>.

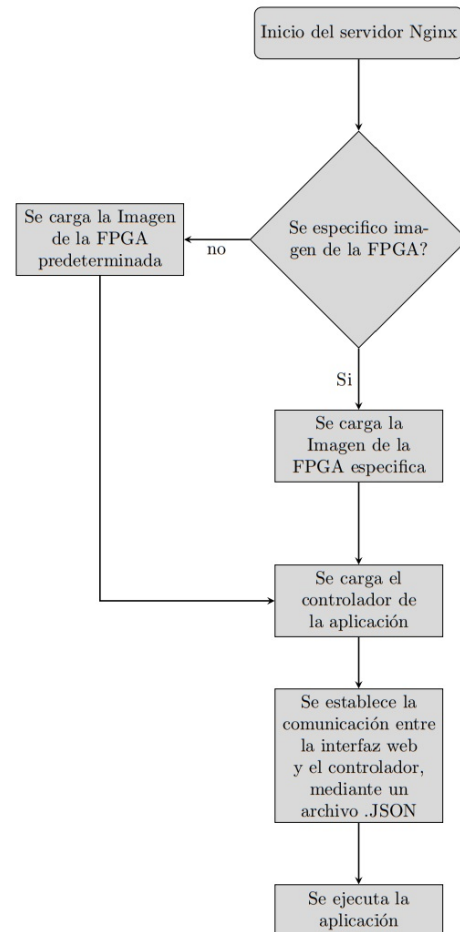


Figura 4: Diagrama de inicio de una aplicación.

mencionados, que son las señales y los parámetros. Por último, la aplicación es iniciada y el usuario empezara a recibir la información requerida.

El laboratorio de Instrumentación Electrónica (LIE) consta de 3 prácticas que abarcan el uso de 5 equipos: osciloscopio, analizador de espectro, analizador de impedancia, generador de funciones y generador de señales. Mientras que el Laboratorio de Sistemas de Ondas Guiadas (LSOG) consta de 5 prácticas en las cuales se requieren de los siguientes equipos: analizador de impedancia, analizador de espectro, reflectómetro de dominio de tiempo (TDR), generador de señales y generador de funciones.

Haciendo la comparación con las aplicaciones elaboradas empleando Red Pitaya en el trabajo de grado [5], se decidió desarrollar las aplicaciones correspondientes a: generador de señales y TDR. Convirtiendo a la tarjeta Red Pitaya en un banco de trabajo donde están operativos todos los equipos necesarios para alcanzar los objetivos de cada práctica de laboratorio, tomando en cuenta las limitaciones físicas de la tarjeta.

El generador de señales es utilizado en las prácticas de LIE, cuyos objetivos son la caracterización de señales moduladas AM y FM en los dominios del tiempo y de la frecuencia. Dichos objetivos pueden ser realizados con la aplicación desarrollada del generador de señales. En el caso del LSOG, el TDR se emplea para determinar las fallas a lo largo de un cable en estudio, así como también la caracterización de una línea de transmisión conectando cargas conocidas en el extremo de la línea. Todo esto a través de diferentes métodos de medición que pueden ser implementados mediante la aplicación desarrollada en la tarjeta Red Pitaya de la misma forma que se realizan en el equipo físico. Para evaluar el nivel de conocimiento teórico y práctico en el manejo de los equipos utilizados en los laboratorio, se realizó una encuesta diagnóstica a los estudiantes de la Escuela de Telecomunicaciones de la UC. Esto con el fin de sustentar la elaboración de los distintos materiales didácticos e interfaces que componen las aplicaciones de Red Pitaya. Durante todas las fases del proyecto se realizaron encuestas

para medir la efectividad de la metodología implementada.

Para aplicar el material didáctico a los grupos de estudiantes en los que se divide una sección de Laboratorio se coordinó con los profesores asignados a las secciones del laboratorio de Instrumentación Electrónica y del laboratorio de Sistemas de Ondas Guiadas. Cada grupo inicia la práctica en la primera semana con el instrumento virtual, en la semana siguiente continua los objetivos de la práctica con el instrumento tradicional. Se indicó en cada práctica cuales objetivos son realizables empleando la instrumentación virtual de acuerdo con las limitaciones que posee la Red Pitaya y se facilitó el material didáctico desarrollado. Se seleccionó una única sección que sólo trabajó con el instrumento tradicional la cual fue tomada como grupo de control.

2.2. *Evaluación de la eficacia de la Instrumentación Virtual*

Para comprobar la eficacia de la implementación de instrumentos virtuales en el desarrollo de prácticas de laboratorio se emplearon encuestas con la finalidad de recolectar la información referente al conocimiento, usabilidad, utilidad, expectativas, metodología y herramientas empleadas en el desarrollo de la práctica empleando instrumentación virtual [8].

Consta de una fase previa, o Pre-Encuesta, que será tomada antes de iniciar la práctica del laboratorio; del mismo modo existe una fase posterior a la culminación de los objetivos de la práctica asignada donde se realiza una Post-Encuesta para contrastar la expectativa del estudiante con base en los criterios mencionados además de las perspectivas visuales de la interfaz desarrollada en el instrumento virtual [8, 9]. El tipo de encuesta desarrollada fue de respuesta cerrada de elección única y dicotómica.

Para que una herramienta de recolección de datos sea fiable con la respuesta que se obtenga es necesario realizar el proceso de confiabilidad del instrumento. Para este caso, debido a que se trabajó con una encuesta del tipo dicotómica, se usó el modelo de Kuder-Richardson empleado a

ítems dicotómicos sobre 10 estudiantes ajenos a los cursos de IE y SOG ver Tabla 1.

Tabla 1: Confiabilidad de la encuesta.

Encuesta	V_t	$\sum pq$	n	r_n
Pre	4,62	1,88	10	0,66
Post	11,12	3,35	19	0,74

r_n : es el coeficiente de confiabilidad.

V_t : es la varianza total de la encuesta.

n: es el número de encuestados.

$\sum pq$: es la sumatoria de la varianza individual de los ítems.

Para considerar una encuesta confiable se debe cumplir que el coeficiente $K - R_{20} > 0,6$. En el caso de las encuestas empleadas, éstas cumplen los criterios necesarios para considerar la herramienta de recolección de datos como válida.

3. Análisis y discusión de resultados

3.1. Comprobación de mediciones de las aplicaciones desarrolladas

3.1.1. TDR

Se realizaron mediciones con los equipos tradicionales y se compararon los resultados con los módulos del TDR y del generador de señales desarrollados para la Red Pitaya en este trabajo.

La evaluación del módulo de TDR desarrollado para la Red Pitaya se realizó mediante la medición de la longitud de las líneas de transmisión coaxiales disponibles en el LSOG, utilizando las cargas en cortocircuito y en circuito abierto para visualizar el comportamiento temporal del extremo de la línea de transmisión. El mismo procedimiento se aplicó con la función de VSWR del Site Master S331C de Anritsu para determinar la longitud del cable. Al comparar ambos resultados, se observó que el resultado de la medición de la longitud de la línea de transmisión coaxial fue de 11,4 m ver Figuras 5 y 6. Así mismo, se realizó una segunda medición, donde se utilizó una línea de transmisión con diferente longitud y se obtuvo una longitud de 45,6 m para ambas mediciones (instrumento de medición y Red Pitaya).

3.1.2. Generador de Señales

El módulo de generador de señales cuenta con 3 tipos de modulación: AM, FM, y PM. Para el

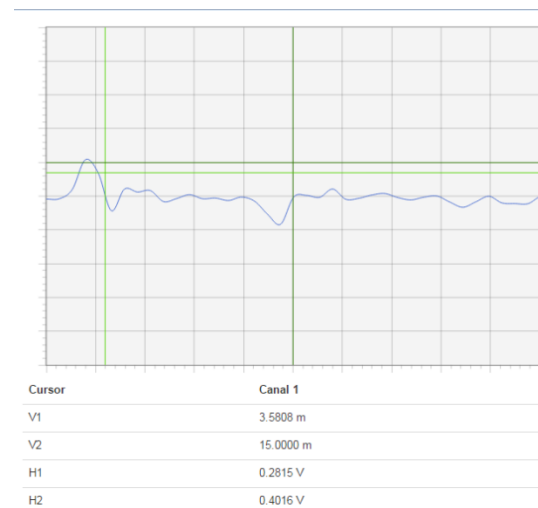


Figura 5: Medición de reflexiones en un cable RG-58 de 11m de longitud, con terminación en corto circuito, utilizando la aplicación TDR-UC.

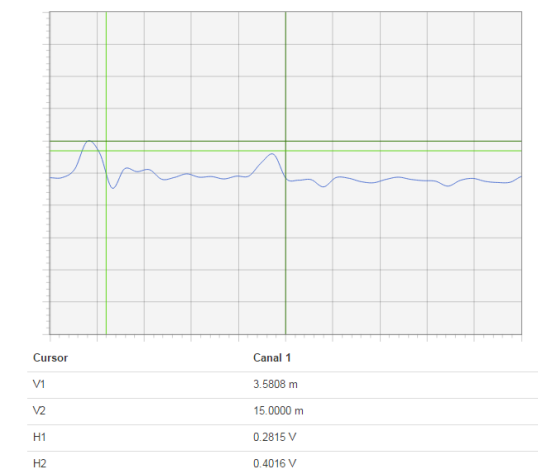


Figura 6: Medición de reflexiones en un cable RG-58 de 11m de longitud, con terminación en circuito abierto, utilizando la aplicación TDR-UC.

caso de la Señal AM se evalúa la precisión de la señal en el tiempo y la frecuencia en cuanto a amplitudes de señal moduladora, portadora e índice de modulación. En cambio, para las señales angulares FM y PM se analiza solo el en el dominio de la frecuencia ya que de esta manera se puede obtener información de cómo están dispuestas las líneas espectrales que componen la señal así como su frecuencia y ancho de banda, mientras que en el

dominio del tiempo es limitada la información que se puede obtener en este tipo de señales.

Generador de Señal AM. Empleando el instrumento virtual osciloscopio Red Pitaya UC se generó una señal AM con cuatro índices de modulación, m , para evaluar el comportamiento temporal de la señal ($m = 30\%$, $m = 50\%$, $m = 80\%$ y $m = 100\%$), ver ejemplo en Figura 7. En este sentido, se plantearon seis escenarios de medición con la finalidad de determinar el margen de error porcentual por cada índice de modulación. En la Tabla 2 se presentan los errores medidos, observando que el generador de señales AM tiene una alta precisión.

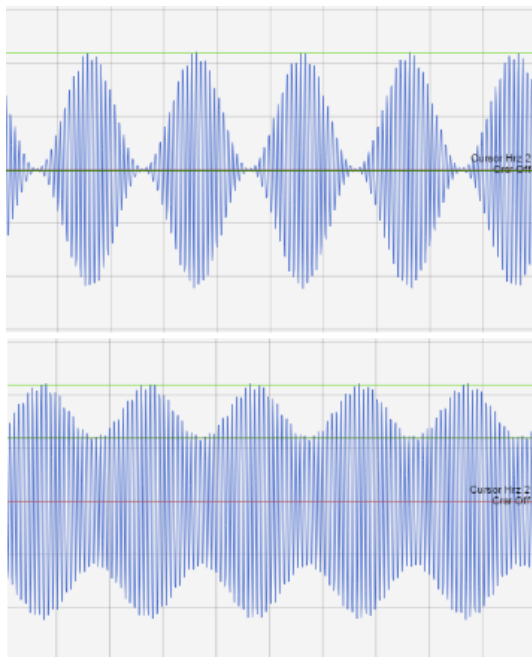


Figura 7: Forma de onda temporal para señal AM con distintos índices de modulación para $f_C = 1MHz$, $f_M = 1KHz$.

Tabla 2: Errores de los índices de modulación AM empleados en los experimentos.

m	Media de valores medidos	Error porcentual
30	29,105	2,98 %
50	50,441	0,88 %
80	81,48	1,85 %
100	99,02	0,98 %

Generador de Señal FM. La caracterización de señales FM se realizó en el dominio de la frecuencia mediante el analizador de espectros HP 4396B debido a que este instrumento ofrece ancho de banda con suficiente resolución para comparar los armónicos provenientes del Generador de Señales HP 8647A. Cabe señalar que la frecuencia de portadora más baja que se puede generar con el equipo es de 250 kHz, mientras que la máxima frecuencia de moduladora es de 1kHz, por lo que para estas frecuencias la Red Pitaya no es capaz de detectar armónicos debido a las limitaciones de la resolución de ancho de banda.

Recordando que la señal FM forma parte de las señales moduladas por ángulo, estas manifiestan su comportamiento en según la función de Bessel, por lo que se tomaron los valores de β que anula los armónicos de la señal.

Para este experimento se empleó el Generador de Señales diseñado para la Red Pitaya y el Generador de Señales HP 8647A para luego realizar la comparación de las señales generadas. En este sentido, con la aplicación Red Pitaya se ajustó la frecuencia de la señal portadora en 25 KHz y una señal moduladora de 1Khz, mientras que para el equipo tradicional la frecuencia de la señal portadora fue de 800 KHz y se moduló con la señal interna de 1Khz. Aunque ambas señales tienen diferente frecuencia de portadora, solamente se varió la de desviación máxima de frecuencia ΔF

Al comparar ambas señales se observa que tienen un comportamiento frecuencial similar con la cantidad de armónicos respectivas en cada frecuencia; aunque en el generador de Red Pitaya se observan mayores líneas espectrales, estas componentes contienen un nivel de potencia inferior al armónico considerado como nulo para ese valor de índice de modulación, por lo que también son consideradas nulas. Asimismo, los nulos de las componentes espectrales coinciden teóricamente en ambos generadores.

Para valores de $\Delta F > 7600Hz$ la señal no corresponde a una FM. De igual manera sucede al aumentar la frecuencia de la moduladora f_M a valores mayor a 3Khz, lo que limita la operación del instrumento. No obstante, el generador diseñado para la Red Pitaya puede realizar modulación

Tabla 3: Comparativas de medidas de ancho de banda FM.

Parámetros de la señal			Anchos de Banda Teóricos			Anchos de Bandas Medidos		
m	f_m (Hz)	Δf (Hz)	BW Carson (Hz)	n	BW Bessel (Hz)	BW HP 8647A (Hz)	BW Red Pitaya (Hz)	BW Red Pitaya (> -60 dbm) (Hz)
2,4	1000	2400	6800	5	10000	10000	10000	10000
3,83	1000	3830	9660	6	12000	14000	16000	14000
5,14	1000	5140	12280	8	16000	18000	20000	16000
6,38	1000	6380	14760	9	18000	20000	22000	20000
7,59	1000	7580	17160	10	20000	22000	24000	22000

Tabla 4: Margen de error en el ancho de banda FM.

m	Error porcentual RP			Error porcentual RP > -60 dbm		
	Carson	Bessel	HP8647A	Carson	Bessel	HP8647A
2,4	47,05 %	0 %	0 %	47,05 %	0 %	0 %
3,83	65,63 %	33,33 %	16,66 %	44,92 %	16,66 %	0 %
5,14	62,86 %	25 %	12,5 %	30,29 %	0 %	11,11 %
6,38	49,05 %	22,22 %	11,11 %	35,55 %	11,11 %	0 %
7,59	39,86 %	20 %	10 %	28,20 %	10 %	0 %

interna hasta 3KHz; a diferencia del Generador de Señales HP 8647A que solamente puede modular con señales interna de 1KHz y 400 Hz.

La Tabla 3 muestra los anchos de bandas teóricos y los medidos para las diferentes variaciones realizadas. Cabe señalar que al aplicar la regla de Carson se obtienen las aproximaciones del ancho de banda menores que al emplear la ecuación de los coeficientes de Bessel [10].

En la medición del ancho de banda real se obtuvo una variación alrededor del 4 kHz con respecto al teórico de los coeficientes de Bessel y unos 2 kHz con respecto a el generador HP8647A, mientras que con la aproximación por regla de Carson, la diferencia mínima fue de 3,2 kHz y la máxima de 6,84 kHz.

Sin embargo, si se consideran despreciables los armónicos que tengan una potencia menor a -60 dBm el error en el cálculo del ancho de banda disminuye notablemente, coincidiendo en gran parte con el ancho de banda esperado véase en la Tabla 4.

3.1.3. Generador de Señal PM

Al igual que en FM, se empleó la misma configuración tanto para el Generador de Señales Red Pitaya, como para el Generador de Señales HP 8647A para realizar la comparación de las señales. No obstante, la variable en este caso fue

la de desviación fase $\Delta\theta$. Recordando que la señal PM es una modulación angular, el comportamiento espectral es aproximadamente igual a una señal FM, como la analizada en la sección anterior. Para medir la precisión del generador se realizaron varios montajes donde se evidenció como el nulo ocurre en el armónico principal en ambas señales. De la misma manera que en FM, las líneas espectrales que tienen un nivel de amplitud por debajo del nulo se consideran nulas.

3.1.4. Generador de Funciones

Las funciones Diente de Sierra y Señal modulada por ancho de pulso (PWM) fueron anexadas al generador de funciones y se validó el resultado al comparar con los valores teóricos.

Función PWM. El generador de funciones PWM para la Red Pitaya se utilizó para crear una señal de prueba de amplitud $1V_{p-p}$ y una frecuencia $f = 1$ KHz con tres ciclos útiles distintos, $D = 10\%$, $D = 40\%$ y $D = 80\%$. La caracterización temporal de las señales se realizó mediante la herramienta de los cursores del osciloscopio Red Pitaya para los tres ciclos útiles. El margen de error en el ciclo útil fue mínimo, obteniendo una señal precisa respecto a lo esperado. Véase la Tabla 5. Para el rango de los MHz, la señal empieza a presentar los característicos rizados de Gibbs debido distorsión.

Tabla 5: Medición de ciclo útil correspondiente con tres ciclos útiles distintos, $D = 10\%$, $D = 40\%$ y $D = 80\%$.

Ciclo útil teórico	t_1	t_2	Δt	Ciclo útil medido	Error porcentual
10 %	1257,57 μs	1359,31 μs	101,74 μs	10,17 %	1,70 %
40 %	507,57 μs	908,73 μs	401,16 μs	40,12 %	0,30 %
80 %	806,99 μs	1612,22 μs	805,23 μs	80,52 %	0,65 %

Sin embargo, mediante una adaptación de 50Ω es posible reducir este fenómeno.

Función Diente de Sierra. Se generó la señal Diente de Sierra y se probó la herramienta de tiempo de subida con la herramienta del osciloscopio de la Red Pitaya, obteniendo resultados satisfactorios. Para frecuencias mayores a 1 MHz, la señal comienza a presentar distorsión en los picos de cambio brusco. Se logró alcanzar frecuencias de trabajo de 10 Mhz al adaptar el puerto de entrada del osciloscopio con una carga de 50Ω .

4. Evaluación de la efectividad de la metodología desarrollada

Se realizó el análisis de las encuestas aplicadas en la dinámica de los laboratorios LIE y LSOG. Primero se determinó el porcentaje de conocimiento previo del equipo, luego se realizó la comparación de la apreciación del estudiante antes y después del desarrollo de la práctica; finalmente se diagnosticó la proporción de estudiantes motivados a continuar con este sistema.

4.1. Conocimiento Previo

El 54 % de los estudiantes manifestaron tener conocimiento previo sobre los equipos y el 67 % indicó que había interactuado con algún equipo de los empleados en las prácticas de laboratorio LIE y LSOG. Estos resultados van enfocados al osciloscopio y Generador de Funciones que usan en laboratorios como Mediciones Eléctricas y Electrónica (II y III).

4.2. Comparativa de encuestas

En las pre-encuestas y post-encuestas se realizaron consultas con el fin de evaluar el nivel de influencia de la instrumentación en el desempeño de las prácticas del laboratorio.

4.2.1. Confianza

El nivel de confianza de los participantes al momento de manipular los equipos del laboratorio aumentó de un 33 % a un 79 %. Además, las expectativas con respecto al fortalecimiento del nivel de confianza esperado por los estudiantes se cumplieron; reafirmando la influencia de la instrumentación virtual en la manipulación de los equipos de laboratorio.

4.2.2. Expectativa

En esta categoría se presentan dos preguntas relativas a las expectativas del aprendizaje empleando instrumentación virtual. La expectativa de que se pueden alcanzar los objetivos de una práctica se mantuvo en 83 %. Con respecto a la expectativa de que la interfaz virtual no debería ser semejante al instrumento tradicional Inicialmente solo un 8 % de los estudiantes consideraba que no debería ser semejante al instrumento tradicional. Luego del desarrollo de la práctica se alcanzó una unanimidad de la expectativa y se considera que deben ser semejantes.

4.2.3. Herramientas

Con respecto al uso de las múltiples plataformas, como lo son dispositivos móviles o computadoras, los estudiantes mantuvieron la opinión, en un 92 %, de que ayudan a aprender de una manera más didáctica la operación y funcionamiento de los equipos del laboratorio.

4.2.4. Utilidad

El 100 % de los estudiantes consideraron que el uso de instrumentación virtual en el desarrollo de las prácticas contribuyen al crecimiento de las competencias que debe poseer un ingeniero de telecomunicaciones para desenvolverse en el campo laboral.

4.2.5. Metodología

En la pre-encuesta un 75 % de los estudiantes opinaban que se podía afianzar el conocimiento adquirido en la parte teórica de la materia realizando las prácticas empleando instrumentos virtuales. Luego de interactuar con la Red Pitaya y el 92 % considera que es posible relacionar la teoría con la práctica usando instrumentación virtual.

4.3. Usabilidad del Instrumento

En el ámbito de la usabilidad de los equipos los estudiantes consideran que los instrumentos realizados son fáciles de usar para realizar las mediciones correspondientes a las prácticas y cumplir con cada uno de los objetivos. Es importante destacar que el 79 % de los estudiantes consideran que el material didáctico contribuyó en gran medida al aprendizaje de los equipos y su desenvolvimiento en el laboratorio. Un 75 % de los estudiantes valoraron que es posible realizar las mismas mediciones u operaciones en el instrumento virtual y en el instrumento tradicional, teniendo conocimiento de las limitaciones que posee la tarjeta al momento de trabajar. Por otro lado, el 79 % de los alumnos tizaron como precisas las medidas de las aplicaciones desarrolladas, es decir 19 estudiantes de los 24 que se tomaron para el estudio.

Al observar los resultados obtenidos en la encuesta se aprecia que un 71 % de los estudiantes valoran como correcto la emulación de los instrumentos virtuales de la Red Pitaya. Bajo este sistema un 96 % los estudiantes se sintieron motivados al realizar la práctica y consideraron que se debería continuar implementado las prácticas mediante instrumentos virtuales apoyado con materiales didácticos para su mejor comprensión, comparado con un 88 % obtenido en la encuesta previa.

4.4. Evaluación de Grupo de Control

El grupo de control contaba para su preparación con el material de las clases de teoría y manuales técnicos de los equipos tradicionales dispuestos en la escuela de telecomunicaciones, la puntuación obtenida en la evaluación al inicio de la práctica fue de 5,22 pts. La nota obtenida

en la evaluación final fue 10,33 pts. Los grupos que trabajaron con la Red Pitaya y el material didáctico basado en simulaciones, obtuvieron una calificación promedio de 14,17 pts en la evaluación final, comparado con la nota inicial de 5,42 pts se logró una mejora del 262 %.

5. Conclusiones

Con el uso de simulaciones como herramientas didácticas para el aprendizaje del manejo de los instrumentos de laboratorio, se obtuvieron calificaciones mayores en comparación a las demás estrategias desarrolladas, una mejora de 262 %. Ésta fue la más aceptada por parte de los estudiantes al realizar la práctica. Los estudiantes aumentaron el nivel de confianza que demostraban previo a realizar la práctica. Sin embargo, el margen de calificaciones obtenidas entre cada una de ellas no fue tan amplio; los tutoriales un 243 % y el manuales 147 % y la de control 197 % relativo a la nota inicial de cada caso. Cabe destacar que se obtuvieron calificaciones mayores a los del grupo de control.

Las herramientas tutoriales otorgan mayor detección en los errores cometidos durante un ensayo previo, facilitando las decisiones a efectuar al momento de realizar la práctica disminuyendo el margen de error en el uso de las funciones del instrumento.

Las aplicaciones desarrolladas con la tarjeta de adquisición Red Pitaya tienen una alta aceptación por los estudiantes de los laboratorios de Instrumentación Electrónica y Sistemas de Ondas Guiadas. Fueron valoradas como fáciles de usar, además de que permiten realizar las mismas mediciones que se podrían realizar con el equipo físico. También cuentan con un margen de error aceptable en las mediciones realizadas, lo cual es indispensable para que se valide su uso en laboratorios universitarios, centros de investigación y laboratorios de medición privados.

Los estudiantes consideran que las interfaces deben ser similares visualmente al instrumento tradicional, mas no consideran necesario el uso de perillas para el manejo de los cursores del instrumento. Por otro lado, aprueban el uso de

botones para activar funciones como también el uso de cajas de textos para introducir valores.

De acuerdo con los resultados obtenidos en la evaluación realizada, la instrumentación virtual es una metodología apropiada para el aprendizaje en laboratorios de ingeniería. Aumentan la confianza del estudiante al operar un instrumento, tenga conocimiento previo o no, lo cual conlleva a una mayor motivación en el aprendizaje, facilitan el logro de los objetivos pautados para las prácticas y refuerzan el conocimiento adquirido en el curso teórico. Los estudiantes consideran que la instrumentación virtual va acorde a las competencias que debe poseer un ingeniero. Por las razones expuestas anteriormente, se está de acuerdo con la implementación de la instrumentación virtual como complemento en las prácticas de laboratorios.

Se comprobó la efectividad de los módulos de instrumentación virtual en los alumnos de instrumentación electrónica y sistemas de ondas guiadas; por lo tanto, es factible la implementación de esta herramienta durante las sesiones de laboratorio.

Los materiales didácticos desarrollados y empleados en el laboratorio ofrecen una mejora en el aprendizaje de un equipo de laboratorio empleando la instrumentación virtual sobre la metodología de aprendizaje de un instrumento tradicional; dicho de otra forma, tienen mayor efectividad en el conocimiento adquirido por el estudiante. Esto representa una gran oportunidad para reducir los costes del equipamiento de Laboratorios en los centros de enseñanza.

Reconocimiento

Este artículo fue seleccionado por la Escuela de Ingeniería de Telecomunicaciones de la Facultad de Ingeniería de la Universidad de Carabobo, como uno de los mejores Trabajos Especiales de Grado del año 2018.

6. Referencias

[1] Jesús Salinas. Innovación docente y uso de las TIC en la enseñanza universitaria. *Revista de Universidad y Sociedad del Conocimiento (RUSC)*, 1, 2004.

- [2] J. M. Andújar Márquez and T. J. Mateo Sanguino. Diseño de laboratorios virtuales y/o remotos. Un caso práctico. *Revista Iberoamericana de Automática e Informática Industrial*, 7(1):64–72, 2010.
- [3] Tareq Alkhaldi, Ilung Pranata, and Rukshan I. Athauda. A review of contemporary virtual and remote laboratory implementations: observations and findings. *Journal of Computers in Education*, 3(3):329–351, 2016.
- [4] James M. Marshall. Learning with technology: Evidence that technology can, and does, support learning. Report, Cable in the Classroom Foundation (CIC), San Diego, 2002.
- [5] E. Marmol and J. Viera. Desarrollo de instrumentación electrónica de bajo costo mediante SDR empleando la tarjeta redpitaya. Trabajo Especial de Grado, Escuela de Ingeniería de Telecomunicaciones, Facultad de Ingeniería, Universidad de Carabobo, Carabobo, Venezuela, 2015.
- [6] Jorge De Castro and Kevin Henriquez. Desarrollo de un generador vectorial de onda arbitraria basado en radio definida por software y software libre. Trabajo Especial de Grado, Escuela de Ingeniería de Telecomunicaciones, Facultad de Ingeniería, Universidad de Carabobo, Carabobo, Venezuela, 2015.
- [7] C. J. García-Orellana, M. Macías-Macías, H. González-Velasco, A. García-Manso, and R. Gallardo-Caballero. Remote laboratory experiments of analog electronics based on RedPitaya. In *2016 Technologies Applied to Electronics Teaching (TAE)*, pages 1–7, June 2016.
- [8] M. J. Albert Gómez, M. García Pérez Calabuig, and Gabriel Diaz. La evaluación como instrumento de formación para el aprendizaje a través de los laboratorios remotos. *REDU. Revista de Docencia Universitaria*, 14(1):377–403, 2016.
- [9] Vanesa Gámiz Sánchez and María Jesús Gallego Arrufat. Modelo de análisis de metodologías didácticas semipresenciales en educación superior. *Educación XXI: revista de la Facultad de Educación*, 19(1):39–61, 2016.
- [10] Wayne Tomasi. *Sistemas de Comunicaciones Electronicas*. Prentice Hall, Phoenix, Arizona, 2003.

Nevus classification by calculating the fractal dimension and the harmonic analysis of the contour extracted from multispectral images

Alvaro Ascencio^a, José Zapata^a y Ahmad Osman^{*a,b}

^aEscuela de Ingeniería de Telecomunicaciones, Facultad de Ingeniería, Universidad de Carabobo, Valencia, Venezuela

^bCentro de Análisis y Tratamiento de Señales (CATS), Facultad de Ingeniería, Universidad de Carabobo, Venezuela.

Abstract.- The implementation of algorithms that allow classifying images from digital dermatoscopes with the purpose of improving the early detection of melanomas, is a key aspect in the solution of the problems that exist in many hospital centers inside and outside the country. In this sense, a prototype tool was developed that allows the classification of multispectral images of nevi, taking as a previous reference the value of the fractal dimension and later making use of the Fourier coefficients; both calculations were applied to the contour extracted from said images. The validation of the calculations that allowed the distinction was made through an analysis of variance for the case of fractal dimension, which allowed to show the statistical difference of the values of the dimension associated with the nevi. On the other hand, the analysis of the linear discriminant was applied to the Fourier coefficients of the contour and thus achieve a premature classification using machine learning. This study succeeds in revealing an evident potentiality regarding fractal dimension parameters and Fourier coefficients as significant elements that could be incorporated into the future development of nevus classifiers, with the purpose of facilitating the diagnosis of melanocytic lesions of the skin and the definition of malignancy.

Keywords: nevus; multispectral images; fractal dimension; Fourier coefficients.

Clasificación de nevus mediante el cálculo de la dimensión fractal y el análisis armónico del contorno extraído de imágenes multiespectrales

Resumen.- La implementación de algoritmos que permiten clasificar imágenes provenientes de dermatoscopios digitales con el propósito de mejorar los procesos de detección temprana de melanomas, es un aspecto clave en la solución de la problemática existente en muchos centros hospitalarios dentro y fuera del país. En este sentido, se desarrolló una herramienta prototipo que permite la clasificación de imágenes multiespectrales de nevus, tomando como referencia previa el valor de la dimensión fractal y posteriormente haciendo uso de los coeficientes de Fourier; ambos cálculos fueron aplicados al contorno extraído de dichas imágenes. La validación de los cálculos que permitieron la distinción se hizo mediante un análisis de varianza para el caso de dimensión fractal, lo que permitió mostrar la diferencia estadística de los valores de la dimensión asociados a los nevus. Por otro lado, se aplicó el análisis del discriminante lineal a los coeficientes del Fourier del contorno y así lograr una clasificación prematura haciendo uso del aprendizaje de máquina. Este estudio, logra develar una evidente potencialidad en lo concerniente a los parámetros dimensión fractal y coeficientes de Fourier como elementos significativos que pudieran incorporarse al desarrollo futuro de clasificadores de nevus, con el propósito de facilitar el diagnóstico de las lesiones melanocíticas de la piel y la definición de malignidad.

Palabras claves: nevus; imágenes multiespectrales; dimensión fractal; coeficientes de Fourier.

Recibido: abril 2018

Aceptado: mayo 2018

1. Introducción

La clasificación de nevus en el contexto de los diagnósticos realizados en el ejercicio dermatológico-

co, acelera el proceso de detección temprana de los melanomas. Los múltiples estudios realizados en este ámbito se basan generalmente en análisis bajo concepciones geométricas *euclidianas* y de acceso eventual al dominio transformado de la totalidad de la imagen, generando dilatación de temporal en el procesamiento de la información. Sin embargo, la geometría fractal y el análisis armónico del contorno vislumbran un estudio perspaz

* Autor para correspondencia:

Correo-e: ahmadosmanc@gmail.com (Ahmad Osman)

que evita considerar al nevus como cualquier forma geométrica regular y además permite una indagación más profunda sobre el compartamiento irregular y fragmentado que poseen sus bordes. [1, 2, 3, 4, 5].

Es por ello, que el propósito de este trabajo consiste en la implementar la clasificación de lunares aplicando el cálculo de la dimensión fractal como distinción previa y además un análisis armónico del contorno extraído de imágenes multiespectrales, usando el cómputo asistido; garantizando los criterios de código abierto, escalabilidad, adaptabilidad y su posibilidad de ejecución multiplataforma [6].

2. Desarrollo de la investigación

El desarrollo de la clasificación consistió en tres fases principales, las cuales se describen a continuación:

2.1. Determinación de la dimensión fractal y coeficientes de Fourier del contorno de la imágenes multiespectrales.

Primeramente nos hicimos de un conjunto imágenes multiespectrales de distintos tipos de nevus previamente clasificados, las cuales fueron proporcionadas por el Centro de Investigaciones Médicas y Biotecnológicas de la Universidad de Carabobo de la Universidad de Carabobo. Dichas imágenes fueron organizadas según la Tabla 1 con el objeto de tener una data más estructurada.

Compuesto	Displásico	Intradérmico	Unión
41	17	51	18

Tabla 1: Tipos de imágenes de nevus

Es bueno acotar que estas imágenes fueron obtenidas a través de un dermatoscopio multiespectral, desarrollado por el Centro de Investigaciones Médicas y Biotecnológicas Universidad de Carabobo, constituido por ocho LEDs tricromáticos de 3 mm cada uno que emiten una iluminación en los rangos de azul (470 nm), verde (580 nm), rojo (660 nm) y su combinación para blanco, cyan (510nm),

magenta (405nm) y amarillo (578nm), con una lente de 25 mm y aumento variable de 20X a 200X [7].

Una vez organizada la data, se inicia el proceso de extracción del borde de las imágenes multiespectrales de los nevus. Esta etapa consiste en pasar cada imagen por varios procesos de rutina como: transformación a escala de grises, aplicación de filtros gausseanos para suavizado de texturas y eliminación de elementos perturbadores, binarización de la imagen mediante *OTSU*, aplicación de las técnicas de *erosión* y *dilatación*, así como también un análisis de la imagen binaria y de los gradientes en los píxeles para obtener los puntos donde existe cambio, y por consiguiente donde esta el borde [8].

Una vez extraído el borde, se realizó el cálculo de los valores de dimensión fractal Mediante el la implementación del método de *Box-counting* y luego se calcularon los coeficientes de Fourier del borde a partir de los datos del valor del radio r generados al realizar el cálculo del contorno del nevus normalizado [7, 9, 1].

2.2. Aplicación de los fundamentos estadísticos para la validación de los resultados de dimensión fractal y coeficientes de Fourier.

Los valores obtenidos de dimensión fractal y coeficientes de Fourier calculados para cada imagen fueron sometidos diversos análisis los cuales establecen si es posible realizar una caracterización de los nevus según su tipo.

- El primero fue el análisis de varianza o ANOVA (analysis of variance) el cual se aplicó solo para el cálculo de la dimensión fractal del borde. El factor resultante nos sirve para comparar varios grupos en una variable cuantitativa, se aplica para contrastar la igualdad de medias de tres o más poblaciones independientes y con distribución normal [10, 11].

La variable explicativa (predictor) es *tipo de nevus* y la variable de estudio *dimensión fractal*. Para ejecutarlo se cumplen los siguientes pasos:

1. Discriminación de datos: se descartan para este test las imágenes cuyo borde no fue capturado de forma correcta. La cantidad de imágenes a procesar según la frecuencia de estudio se muestra en la Tabla 2.

Espectro	Compuesto	Displásico	Intradérmico	Unión
RGB	26	10	25	10
Cyan	34	7	27	10
Azul	19	5	25	10
Amarillo	13	5	17	5
Verde	10	5	21	5
Magenta	23	10	24	10
Rojo	10	5	17	1

Tabla 2: Numero de imágenes seleccionadas

2. Estructuración de datos: ellos están ordenados y agrupados según el tipo de nevus al que pertenezca cada valor de dimensión fractal de estudio. Estos fueron organizados en una base de datos.
 3. Cálculo del *value p*: el cual nos indica en qué frecuencias es posible caracterizar a los nevus según el valor de dimensión fractal. Se establece el nivel de significación $\alpha = 0,5$, y se verifican las siguientes hipótesis:

Hipótesis nula. Las medias de los grupos son iguales, mediante el cumplimiento de la siguiente condición $value p > \alpha$.

Hipótesis alternativa. Las medias de los grupos se diferencian, mediante el cumplimiento de la siguiente condición $value p \leq \alpha$.
 4. Representación de los resultados: el resultado del ANOVA determina si se encontró o no diferencias significativas que permitan la clasificación. Ellos se representarán de forma gráfica, ilustrando los valores de las medias grupales y desviación estándar.
- Análisis lineal discriminante (LDA sus siglas en inglés), es un algoritmo de aprendizaje supervisado que usa las etiquetas de los datos de entrada para aplicar la clasificación

correspondiente. Fue aplicado únicamente para el análisis armónico y nos permite obtener la descomposición de la función que representa el contorno obtenido del nevus en tonos puros que llamaremos *armónicos* [9, 11, 12].

El conjunto de armónicos o vector *FFT* constituyen los valores de entrada que permitan realizar un reconocimiento de patrones y aprendizaje de máquina para encontrar una combinación lineal de rasgos que caracterizan a los cuatro tipos de nevus estudiados, de esta forma poder separarlos en grupos y realizar una clasificación. En este proceso se cumplen los siguientes pasos:

1. En primer lugar se tomaron: 5, 10 y 15 coeficientes para realizar la representación del contorno, y determinar con cual de estos valores resulta mas efectiva la clasificación mediante LDA.
2. Estructuración de los datos de entrada, los cuales están agrupados según el tipo de nevus, cada grupo esta identificado por un numero (1: Compuesto, 2: Displásico, 3: Intradérmico, 4: Unión) seguidamente de los 15 coeficientes de Fourier que representan la función del contorno de cada nevus, plasmados en una base de datos.
3. Representación gráfica de los resultados, en la cual se reflejan las 4 zonas que describen los tipos de nevus, y los valores contenidos en cada una de ellas.

2.3. Desarrollo de una interfaz de usuario mediante wx Python

Ya establecidos los métodos de clasificación para los nevus, se desarrolló una interfaz gráfica que permita manejarlos en un mismo entorno de forma sencilla y efectiva. La biblioteca *wxPython* facilita el desarrollo de interfaces gráficas portables (funcionales en Windows y Linux) con licencia: LGPL.

2.3.1. Creación del archivo ejecutable .exe

La creación del *.exe* se implemento con el módulo *cx Freeze*, el cual nos permite congelar

los scripts de *Python* en un archivo ejecutable, disponibles en *WINDOWS* y *LINUX*, siguiendo los siguientes pasos:

- Descarga e instalación de *Python v2.7* y las librerías correspondientes: *cxfreeze*, *opencv2*, *matpaloatlib*, *numpy*, *pandas*, *sklearn*, *wxPython*, *Pycrypto*, *PyHooks*.
- Creación de un script llamado: *setup.py*, en el cual se ejecuta la acción de conversión.
- Ubicar el archivo *setup.py* y *main.py* (este script es el que contiene el código que se congelará en un ejecutable), dentro de la carpeta de instalación de *Python 2.7*.
- Vía *cmd* nos ubicamos dentro de la carpeta donde se encuentran los archivos de trabajo y se ejecuta el comando *python setup.py build*, este genera una carpeta llamada *build* y dentro de la misma se encuentra el archivo ejecutable.

2.3.2. Creación de manual de usuario

Se creó un manual de usuario lo cual permite facilitar el acceso a la experimentación científica futura y mitigar el tiempo de aprendizaje para el manejo de la herramienta de clasificación. En el mismo se especifica los pasos a seguir para cargar y analizar las imágenes de los nevus.

3. Análisis y discusión de resultados

3.1. Extracción del borde

3.1.1. Datos de Estudio

Una muestra del formato entregado de las imágenes se ilustra en la Figura 1.

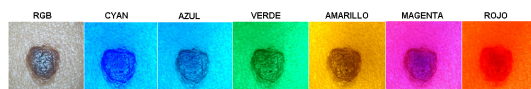


Figura 1: Nevus captado en los 7 espectros de estudio.

Basados en los datos proporcionados y siguiendo los lineamientos expuestos anteriormente, se obtuvo como resultado lo expuesto a continuación:

3.1.2. Cambio a escala de grises.

Una vez capturada la imagen del nevus a estudiar se procede a realizar el cambio a escala de grises, en la Figura 2 se muestra un ejemplo de esta transformación en un lunar tipo compuesto.



Imagen RGB.

Imagen en escala de grises.

Figura 2: Cambio a escala de grises de un nevus compuesto. Fuente: Propia.

3.1.3. Aplicación de filtro

Se observó el histograma de los distintos filtros que están inmersos en la librería de OpenCV. Obteniendo como resultado que el más adecuado es el Gaussiano, dado a que este hace un mejor suavizado.

En las Figuras 7, 8, 9 y 10 se muestra el resultado obtenido luego de aplicar el filtro, es apreciable el suavizado de textura, estabilización de magnitud y la difuminación de vellos.

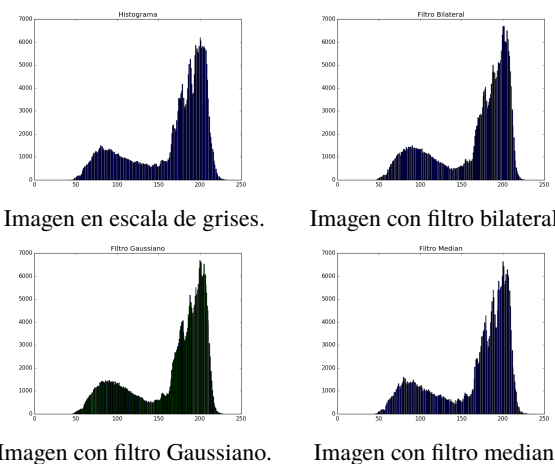


Imagen en escala de grises.

Imagen con filtro bilateral.

Imagen con filtro Gaussiano.

Imagen con filtro median.

Figura 3: Histograma de un nevus compuesto. Fuente: Propia.

3.1.4. Binarización de imagen

Para la binarización, se emplea el método OTSU, se considera este el mejor método que aporta

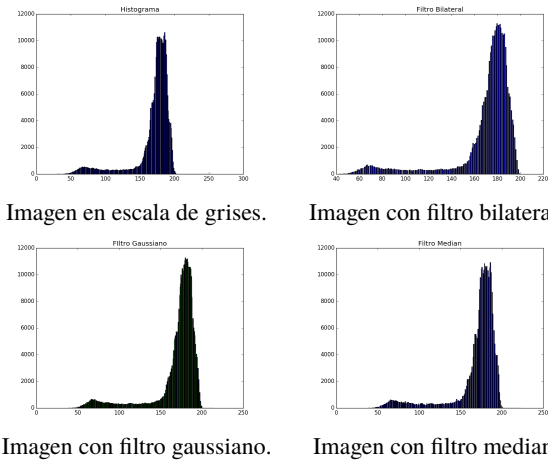


Figura 4: Histograma de un nevus displásico. Fuente: Propia.

OpenCV, debido a que se adapta a la imagen de entrada. Ubicando el punto de inflexión (también conocido como valor umbral), procede a establecer en uno (1) todos los valores mayores al punto de inflexión, y cero (0) a los valores menores a este. El resultado obtenido se observa en la Figura 11.

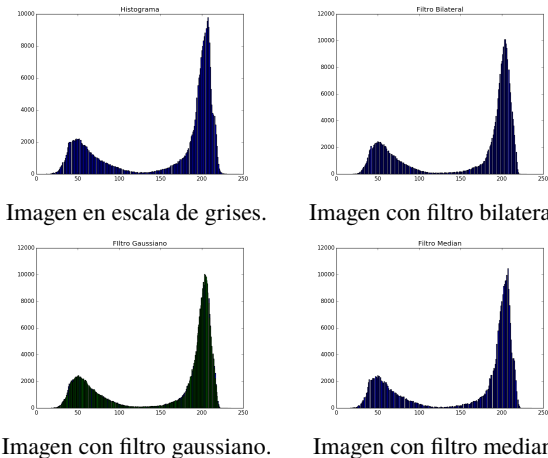


Figura 5: Histograma de un nevus intradérmico. Fuente: Propia.

Es apreciable que, aunque el método es adaptativo, en algunos casos se presencia dentro de la imagen, zonas negras con manchas blancas o zonas blancas con manchas negras. Para solventar esta situación, se procede a aplicar técnica de erosión y dilatación, las mismas son descritas a continuación.

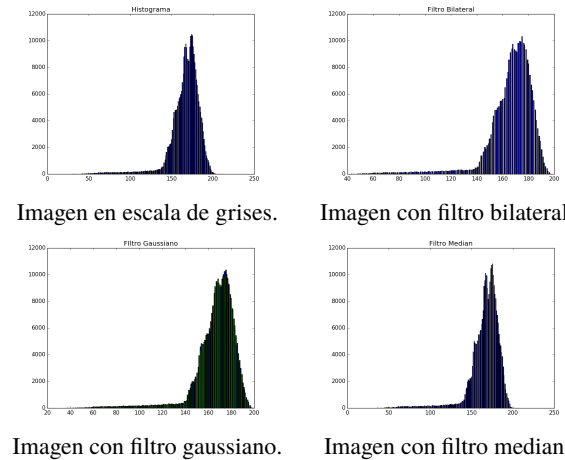


Figura 6: Histograma de un nevus unión. Fuente: Propia.

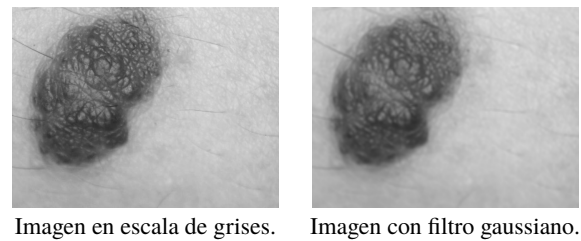


Figura 7: Aplicación de filtro gaussiano a nevus compuesto. Fuente: Propia.

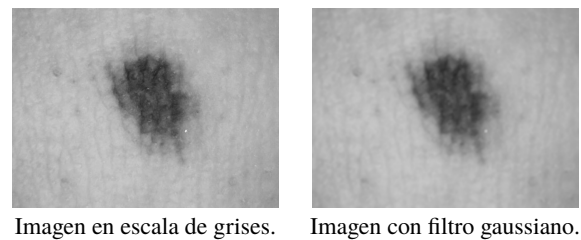


Figura 8: Aplicación de filtro gaussiano a nevus displásico. Fuente: Propia.

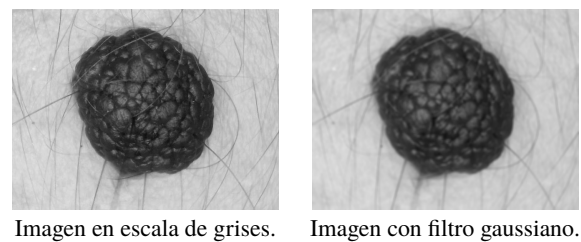


Figura 9: Aplicación de filtro gaussiano a nevus intradérmico. Fuente: Propia.

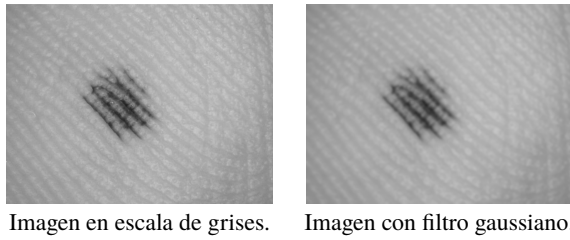


Imagen en escala de grises. Imagen con filtro gaussiano.

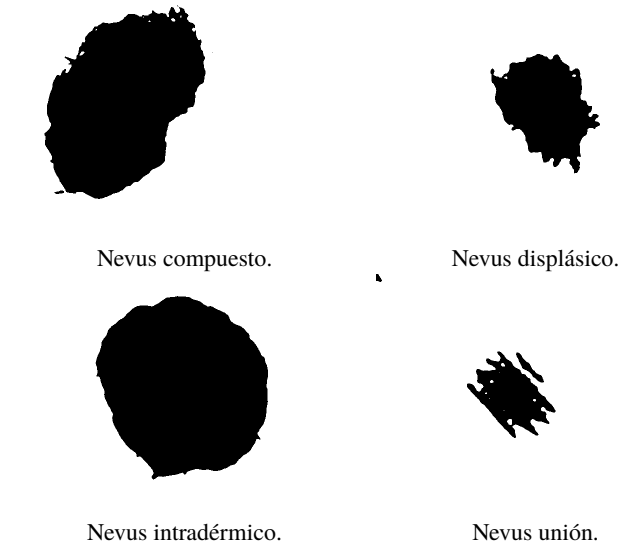


Figura 11: Resultados obtenidos de binarización con OTSU. Fuente: Propia.

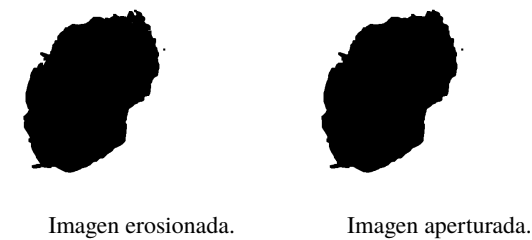


Figura 12: Aplicación de erosión y apertura sobre nevus compuesto. Fuente: Propia.

3.1.5. *Erosión y dilatación de imágenes binarias.*
 Dada la particularidad de algunas imágenes, luego de la binarización, quedan con manchas indeseadas. Entonces se procede a aplicar primeramente erosión y luego una apertura (erosión y luego dilatación). En la imagen del nevus de tipo *unión* es donde se puede apreciar de forma clara este efecto para definir el contorno, ver Figuras 12, 13, 14 y 15.

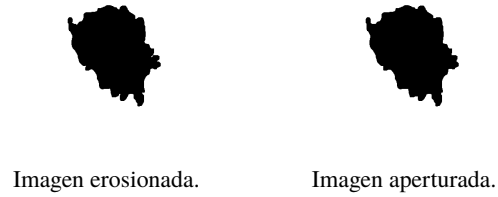


Figura 13: Aplicación de erosión y apertura sobre nevus displásico. Fuente: Propia.

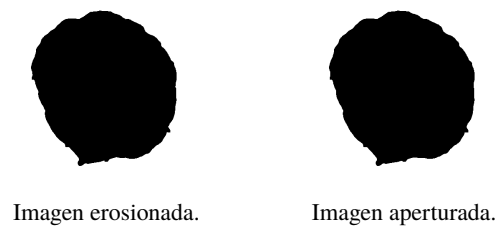


Figura 14: Aplicación de erosión y apertura sobre nevus intradérmico. Fuente: Propia.

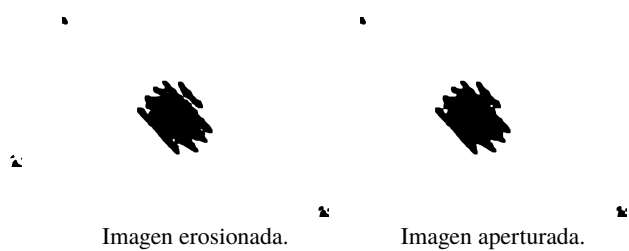


Figura 15: Aplicación de erosión y apertura sobre nevus unión. Fuente: Propia.

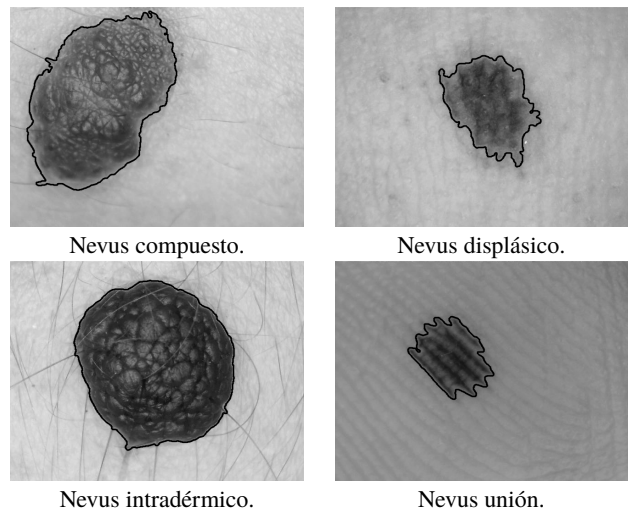


Figura 16: Muestra del contorno capturado. Fuente: Propia.

3.2. Cálculo de dimensión fractal.

Luego de obtenido todos los valores de $N(r)$ y r que aporó el método de *Box-Counting*, se procedió a realizar la regresión lineal de dichos valores, obteniendo así la dimensión fractal. En la Figura 17 se muestran los resultados.

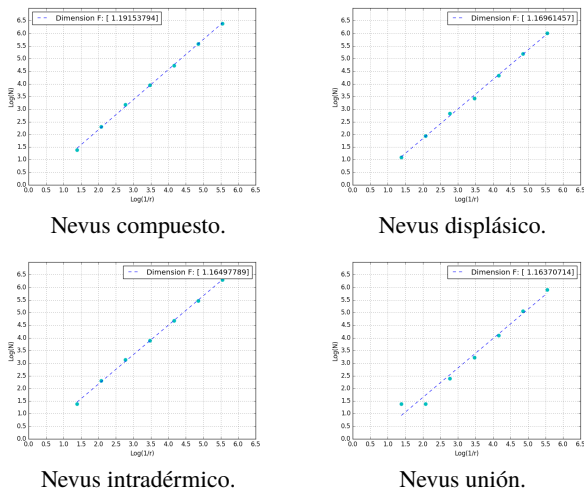


Figura 17: Regresión lineal para el cálculo de dimensión fractal. Fuente: Propia.

3.3. Cálculo de la magnitud de los coeficientes de Fourier

Para la determinación de los coeficientes de Fourier se empleo la FFT, el cual esta disponible en la biblioteca *NumPy* de *Python*. En la Figura 18 se muestra los resultados obtenidos, en los cuales se pudo observar que en todos los tipos de nevus el mayor contenido espectral esta en el primer y tercer armónico. A partir del tercer armónico la potencia disminuye de forma considerable. A pesar que la distribución espectral que representa la función del borde en todos los tipos de nevus sigue un mismo patrón, estos pueden ser caracterizados ya que la magnitud de potencia que contiene cada armónico es particular, por ende, en algunos casos se requiere de solo 5 armónicos para representar al nevus mientras que en otros se requieren 12 armónicos, al aplicar el test de validación se podrán identificar estas características con mayor precisión.

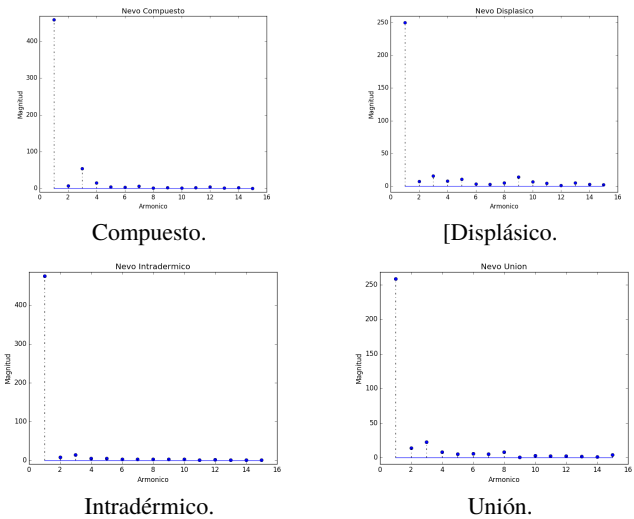


Figura 18: Gráfica de los coeficientes de Fourier. Fuente: Propia.

3.4. Validación de resultados

3.4.1. Análisis de la varianza

Un requisito para que el test se ejecute es que requiere de un mismo numero de datos de entrada para cada nevus, es decir, se necesitan la misma cantidad de valores de dimensión fractal por cada tipo de lunar a evaluar, para que se pueda realizar el cálculo y comparación entre varianzas.

En nuestro caso, seleccionamos 10 valores de dimensión fractal para ser estudiados, ya que es el mínimo valor en común con el cual se puede manejar, en el caso de los nevus que tienen 5 datos, se procede a repetir esos valores por segunda vez para llegar a la cantidad mínima requerida, de esta forma el valor de media (μ) no se ve afectada.

Este análisis se llevo a cabo con los valores de dimensión fractal de cada nevus en las diferentes bandas espectrales de estudio. Para estudiar estos resultados en una primera fase se muestra el valor promedio correspondiente a cada grupo en las diferentes frecuencias, de esta forma conocer el comportamiento fractal de cada nevus para su posterior clasificación. En en la Tabla 3 se reflejan los datos.

Basados en estos datos se aplica ANOVA con un nivel de significación $\alpha = 0,05$ el cual indica si los grupos son estadísticamente diferenciables, de esta forma concluir mediante la hipótesis nula y si esta se puede o no descartar.

Tipo de Nevus	Compuesto	Displásico	Intradérmico	Unión
RGB	1,1475939	1,2204466	1,1327832	1,2027709
Cyan	1,1495025	1,1838031	1,114196	1,1425386
Azul	1,161574	1,248642	1,1588039	1,1697369
Verde	1,1981606	1,238553	1,1601967	1,228025
Amarillo	1,1489223	1,168415	1,1544117	1,2199337
Magenta	1,142142	1,1856182	1,1137979	1,1680158
Rojo	1,1521432	1,2482395	1,1451053	

Tabla 3: Promedio de la dimensión fractal por banda espectral según cada tipo de nevus clasificado. Fuente: Propia

Tipo de Nevus	F_{value}	p_{value}	Decisión de la prueba
RGB	5.760916	0.00252068	Rechazar H_0
Cyan	4.251086	0.0113891	Rechazar H_0
Azul	4.192179	0.01210631	Rechazar H_0
Verde	6.190772	0.00167327	Rechazar H_0
Amarillo	2.910015	0.04765335	Rechazar H_0
Magenta	3.674496	0.02085629	Rechazar H_0
Rojo	10.852684	0.00034764	Rechazar H_0

Tabla 4: Valores de ANOVA, sobre las bandas espectrales de estudio. Fuente: Propia

Los resultados del ANOVA mostrados en la Tabla 4, nos muestran que existe una diferencia estadísticamente significativa entre los cuatro tipos de nevus para las bandas espectrales de estudio. Analizando el p_{value} , notamos que el mismo es menor al nivel "alpha" ($\alpha < 0,05$), descartando así la hipótesis nula en todos los casos.

La representación de la distribución de valores de dimensión fractal para cada tipo de nevus en las bandas espectrales estudiadas se refleja en la Figura 19. Se observa que en ninguna de las bandas espectrales se cumple uno de los requisitos de estudio para ANOVA, el cual es la distribución normal, sin embargo este análisis tolera las violaciones a su supuesto de normalidad, siempre que no sea demasiada. Por ende, es permisible dicho análisis, en el cual se realizaron las siguientes observaciones:

En la banda RGB el nevus compuesto es quien más se aproxima a una distribución gaussiana, mientras que el intradérmico tiene una varianza bastante limitada demostrando así un comportamiento estable en cuanto al valor de dimensión fractal. Los nevus tipo unión e

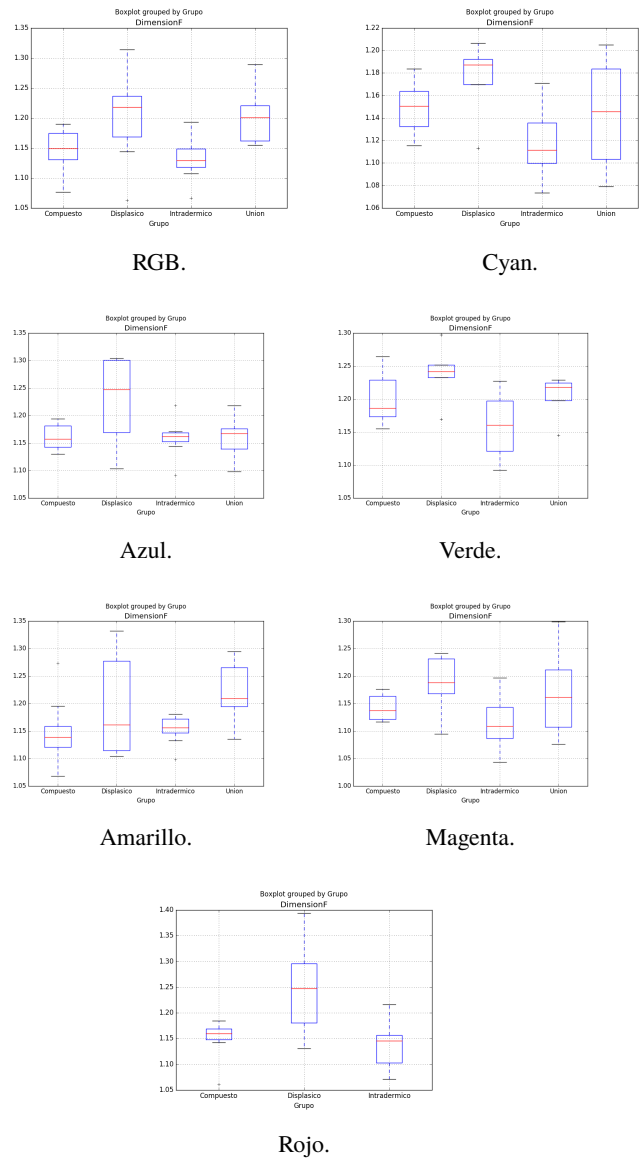


Figura 19: Distribución de la dimensión fractal en cada banda espectral. Fuente: Propia

intradérmico poseen una distribución aproximada a la normal en la frecuencia cyan.

Las bandas verde y azul son útiles para caracterizar los nevus tipo displásico e intradérmico ya que en dichos espectros los valores de dimensión fractal tienen una aproximación cercana a la normal. En el espectro magenta destaca el nevus tipo unión, ya que sus valores de sigue el mismo patrón que el caso anterior. El nevus tipo compuesto vuelve a tener un comportamiento similar en las frecuencias de estudio amarillo y rojo, en este ultimo espectro notamos que no se puede realizar una caracterización del lunar tipo unión, generando

así un carácter limitante en la clasificación de lunares en dicha frecuencia, ya que los mismos deben ser excluidos en el color rojo.

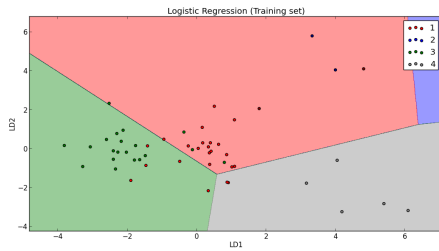


Figura 20: Gráfica LDA en la frecuencia: RGB. Fuente: Propia

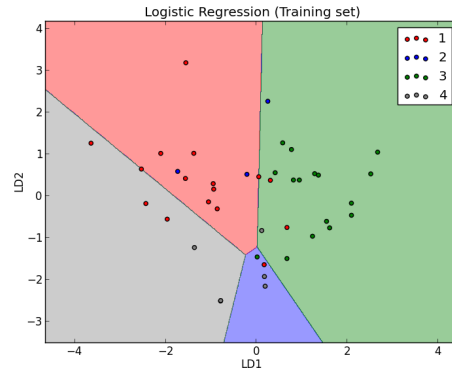


Figura 22: Gráfica LDA en la frecuencia azul. Fuente: Propia

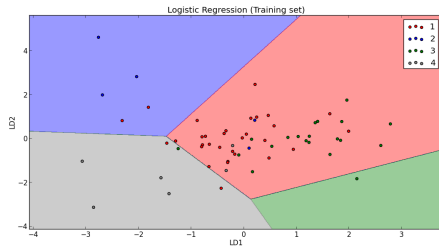


Figura 21: Gráfica LDA en la frecuencia cyan. Fuente: Propia

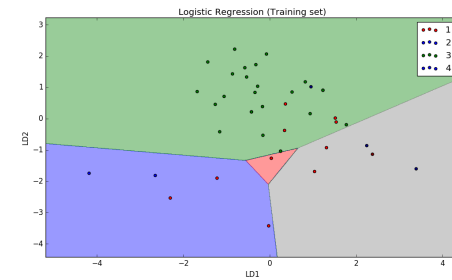


Figura 23: Grafica LDA en la frecuencia verde. Fuente: Propia

3.5. Análisis discriminante Lineal

Dicho análisis realiza un cambio de dimensión de los coeficientes de Fourier, los cuales son plasmados y agrupados en *regiones* que permiten la caracterización de los nevus según su tipo. Los resultados de este análisis se observan en las Figuras 20, 21, 22, 23, 24, 25 y 26.

En las gráficas mostradas se evidencia como a través del aprendizaje de máquina, el algoritmo desarrollado es capaz de reconocer los cuatro tipos de nevus estudiados mediante el análisis armónico de su contorno. En general, este análisis realiza la división en el plano en cuatro zonas definidas por los valores de los coeficientes de Fourier, cada punto en la gráfica representa un *conjunto* de los 15 armónicos estudiados en cada lunar. En cada banda espectral pueden realizar las siguientes observaciones:

- RGB: Los nevus tipo compuesto e intradérmico poseen mas datos de estudio y tienen

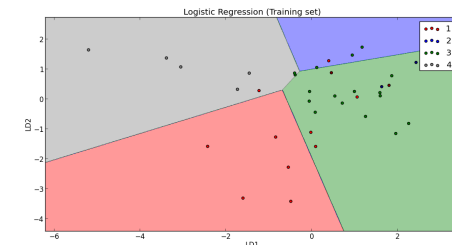


Figura 24: Grafica LDA en las frecuencia amarillo. Fuente: Propia

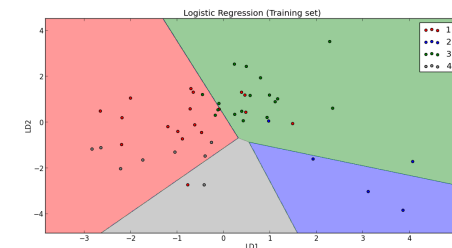


Figura 25: Grafica LDA en las frecuencia magenta. Fuente: Propia

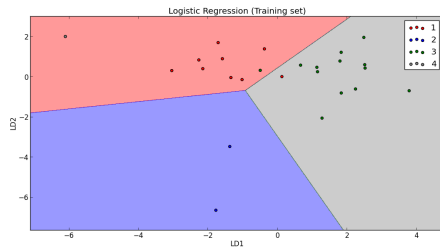


Figura 26: Gráfica LDA en la frecuencia rojo.
Fuente: Propia

una mejor definición ya que abarcan la mayor cantidad de valores correspondientes, sin embargo, debido a su proximidad los mismos se solapan, generando así que exista una tasa de error con estos lunares. El nevus tipo unión posee pocos valores, sin embargo, los mismos se encuentran en una zona específica en el que no interviene con ninguna otra zona, en el caso de los displásicos son los que peor se definen en esta banda ya que poseen pocos datos de entrada y los mismos están dispersos y solapados con otras áreas.

- **Cyan:** El lunar tipo compuesto es quien mas datos de entrada posee en esta banda, su zona abarca casi la totalidad dichos valores, los nevus tipo displásico e intradérmico se solapan en gran parte con los de tipo compuesto, y las zonas definidas no son muy precisos para estas dos muestras. Los nevus de tipo unión poseen un comportamiento similar al que tienen en la banda RGB.
- **Azul:** En esta banda el nevus tipo displásico presenta un comportamiento que le vale poca fiabilidad en la caracterización, esto va ligado a la poca entrada de datos para su clasificación mediante el aprendizaje de máquina. Los tres tipos de lunares restantes si tienen una zona definida aceptable, en la cual contienen a la mayoría de los valores de entrada respectivamente.
- **Verde:** En este caso el nevus tipo intradérmico es quien mejor se define ya que sus valores se encuentran contenidos casi en su totalidad en la zona de clasificación (2 = verde). Los

displásicos e intradérmicos a pesar de tener pocos valores de entrada, se definen de forma aceptable por la relación datos de entrada - zona. Por último los nevus tipo compuesto son los que peor se definen en este caso.

- **Amarillo:** Los nevus tipo compuesto, intradérmico y unión se precisan de forma aceptable ya que la relación entre los valores de los coeficientes y zona de clasificación son correspondientes y los mismos están contenidos casi en un 100 % en una misma zona respectivamente. Displásico tiene definida una zona de clasificación los valores entrada no están contenidos en su totalidad en la misma.
- **Magenta:** Los nevus tipo intradérmico son los que mejor pueden ser caracterizados en esta banda espectral, en contraste a los de tipo unión en el cual la relación valores de entrada-zona de clasificación no se cumple a cabalidad. Los dos modelos restantes de lunares presentan una zona de caracterización definida en la cual se agrupan la mayoría de los datos de entrada.
- **Rojo:** Para esta banda espectral solo se plasman 3 zonas de clasificación, esto debido a que para los nevus tipo unión no se logra obtener una captura fiable de su contorno, y por ende, los coeficientes de Fourier quienes representan los datos de entrada para este estudio. Por otro lado, el resto de los tipos de nevus si se definen de forma aceptable, como se puede observar en su gráfico.

En determinadas bandas espectrales resulta mas efectiva la clasificación de ciertos tipos de nevus, así como también se resulta poco fiable la clasificación de algunos modelos de nevus en otras frecuencias de estudio, además se puede observar que en todas las bandas existe una tasa de error presente ya que los datos de entrada (coeficientes de Fourier) para ejecutar LDA se solapan en las zonas adyacentes. Sin embargo, se logra apreciar como el algoritmo logra demarcar a los cuatro tipos de nevus analizados en distintos sitios del

plano de conversión, posibilitando de esta forma la clasificación mediante el análisis armónico del contorno.

3.6. Desarrollo de una interfaz de usuario mediante wxPython

Tal como se muestra en el apartado 2.3, todas las herramientas desarrolladas para la caracterización del nevus, desde la extracción del borde, aplicación de filtros, hasta la aplicación de ANOVA y LDA para clasificarlos, deben estar integrados en un solo elemento para que el usuario pueda manejar la herramienta de forma sencilla.

3.6.1. Creación del archivo ejecutable

Siguiendo los pasos detallados anteriormente, se obtiene el archivo en formato .exe, en cual esta contenido en la carpeta llamada: build, y dentro de esta se guardan todos los elementos que se usan para la ejecución del programa, tal como se muestra en la Figura 27.

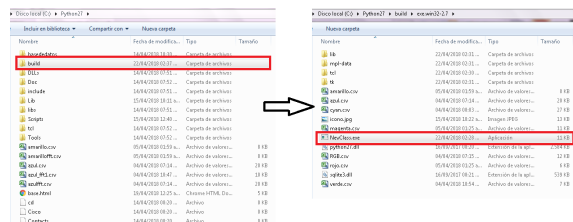


Figura 27: Ubicación del archivo .exe

Al ejecutar el archivo NevClass.exe se despliega una ventana principal la cual nos da la bienvenida a la herramienta, explica el funcionamiento básico de la misma y hace una recomendación, en la Figura 28 se muestra dicha ventana.

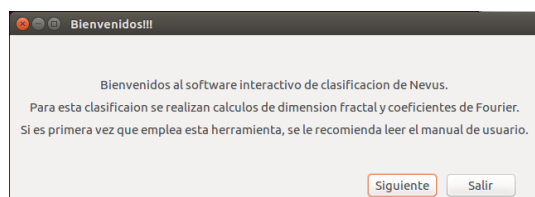


Figura 28: Ventana de bienvenida. Fuente: Propia

Al presionar la tecla Siguiente se despliega una segunda ventana en la cual se muestran 7 campos correspondientes a las frecuencias de

estudio de las imágenes de los nevus captadas por el dermatoscopio multiespectral. Al seleccionar cualquiera de los checkbox ubicados a la izquierda, se habilitara el botón Examinar correspondiente, con el cual se puede buscar y cargar la imagen en la banda espectral a estudiar, al seleccionar el archivo gráfico del lunar, la ruta se cargará en el campo de la frecuencia seleccionada, tal como se muestra en las Figuras 29 y 30.

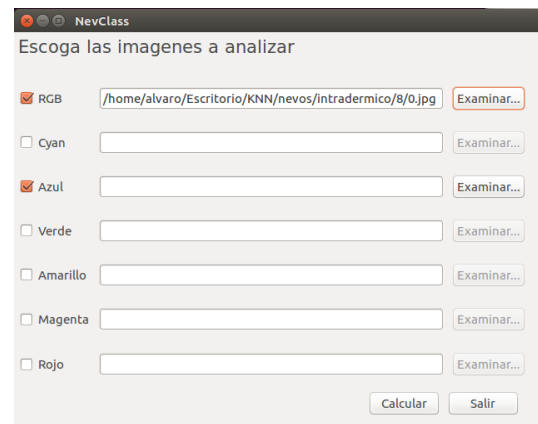


Figura 29: Ventana de selección de imágenes. Fuente: Propia

Por ultimo, la ventana de resultados en la cual se muestran los valores de clasificación del Nevus, se observa un cuadro principal en el cual esta contenida la imagen estudiada con el borde capturado. En la parte inferior izquierda se muestra el resultado de LDA el cual nos indica el tipo de nevus al cual pertenecen la imagen estudiada, y en la parte derecha se refleja el valor de dimensión

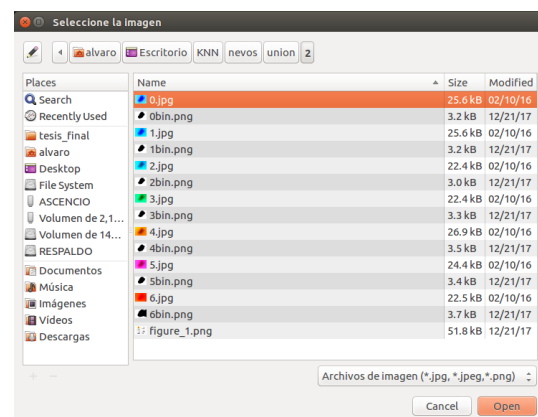


Figura 30: Ventana de dialogo para búsqueda de imagen. Fuente: Propia

fractal, el cual sirve como referencia , ya que dichos datos están comprendidos en un rango determinado.

Adicionalmente, en la parte derecha se encuentran 7 botones, cada uno correspondientes a las bandas espectrales de estudio, al presionar cada uno de ellos, si en la ventana de datos fue cargada una imagen, se mostraran los resultados correspondientes. En la Figura 31, se muestra lo descrito anteriormente.



Figura 31: Ventana de resultados

3.7. Medición de tiempo de ejecución.

Se midió el tiempo de ejecución de la herramienta en 20 nevus (5 compuestos, 5 displásicos, 5 intradérmicos y 5 unión) en distintos espectros. Los resultados obtenidos se muestran en la Tabla 5.

Como es apreciable, el tiempo promedio es de una décima de segundo (datos obtenidos en un equipo con un procesador Intel Celeron de 1.1 GHz y 2 Gb de memoria RAM).

3.8. Porcentaje de acierto en la predicción

Para obtener una medida de referencia que refleje de forma cuantitativa la efectividad del caracterizador, mediante el porcentaje de aciertos que el mismo tiene al estudiar imágenes de nevus nuevas (no contenidas en la base de datos), se procedió a realizar la siguiente prueba:

- Reducir la base de datos: Se suprimieron valores de los coeficientes de Fourier que representan la función del borde para cada tipo

Tipo de Nevus	Tiempo obtenido[s]
Compuesto	0.0897688865662
Compuesto	0.116816043854
Compuesto	0.146898984909
Compuesto	0.108335018158
Compuesto	0.0960428714752
Displásico	0.122251987457
Displásico	0.122135162354
Displásico	0.111006975174
Displásico	0.112498044968
Displásico	0.0986249446869
Intradérmico	0.115082979202
Intradérmico	0.100229024887
Intradérmico	0.114835977554
Intradérmico	0.14009809494
Intradérmico	0.113065004349
Unión	0.139758825302
Unión	0.130352973938
Unión	0.106132984161
Unión	0.113340139389
Unión	0.0991129875183

Tabla 5: Tiempo de ejecución obtenido en diferentes nevus. Fuente: Propia

de nevus. En este caso se eliminó a la mitad de los valores por grupo, en las frecuencias *rgb* y *cyan*, quedando de la siguiente forma:

	Compuesto	Displásico	Intradérmico	Unión
RGB	12	5	12	5
cyan	11	5	12	5

Tabla 6: Base de datos de prueba

- Analizar los nevus en el espectro *rgb* y *cyan* que no estén contenidos dentro de la base de datos de prueba, reflejados en la Tabla 1, cabe destacar que ciertos datos contenidos en dicha tabla no son aptos para caracterizar, el motivo principal de esto es la captura de contorno de forma errónea (bordes fuera de la imagen). Seguidamente se documenta la cantidad de aciertos que refleja el caracterizador, ver Tablas 7 y 8.

	Compuesto	Displásico	Intradérmico	Unión
Aciertos	13	4	17	6
Fallido	12	0	8	0
Total	25	4	25	6

Tabla 7: Nevus analizados en la frecuencia RGB

	Compuesto	Displásico	Intradérmico	Unión
Aciertos	16	1	24	3
Fallido	10	3	8	3
Total	26	4	32	6

Tabla 8: Nevus analizados en la frecuencia cyan

- Determinar el porcentaje de acierto que obtuvo el clasificador al analizar las imágenes nuevas (no contenidas en la base de datos).

	Compuesto	Displásico	Intradérmico	Unión
Aciertos	52 %	100 %	68 %	100 %
Fallido	48 %	0 %	32 %	0 %

Tabla 9: Porcentaje de predicción de nevus en la frecuencia RGB

	Compuesto	Displásico	Intradérmico	Unión
Aciertos	61.53 %	25 %	75 %	50 %
Fallido	38.47 %	75 %	25 %	50 %

Tabla 10: Porcentaje de predicción de nevus en la frecuencia cyan

Observando los valores reflejados en las Tablas 9 y 10, tenemos que para la banda espectral *rgb* de 60 nevus analizados se obtuvo una predicción correcta de 40 nevus eso es aproximadamente 66.666 % de acierto, mientras que en la banda *cyan* de 68 nevus analizados el clasificador pudo predecir 44 nevus de forma correcta, esto representa el 64.7 % contra un 35.3 % de lecturas resultados fallidos. El análisis en estas bandas espectrales representa de forma general la capacidad de predicción del clasificador de nevus, cabe destacar que en determinadas frecuencias el porcentaje de predicción de forma correcta sera mayor que en otras, el motivo de este comportamiento se debe a la captura del contorno ya que en algunas frecuencias este proceso no es efectivo como en otras.

3.9. Selección de los coeficientes de Fourier

Para establecer la representación espectral del contorno de cada nevus, se requiere trabajar con una cantidad determinada de coeficientes de

Fourier, en este caso se realizaron pruebas con: 5, 10 y 15 armónicos en la frecuencia *rgb* y se procedió a caracterizar los nevus, tomando en cuenta el porcentaje de acierto durante este proceso, tal como se muestra en las Tablas 11 y 12.

	Compuesto	Displásico	Intradérmico	Unión
Aciertos	11	1	18	2
Fallido	14	3	10	4
Total	25	4	28	6

Tabla 11: Nevus caracterizados con 5 armónicos en la frecuencia *rgb*

	Compuesto	Displásico	Intradérmico	Unión
Aciertos	13	1	18	5
Fallido	12	3	10	1
Total	25	4	28	6

Tabla 12: Nevus caracterizados con 10 armónicos en la frecuencia *rgb*

Los resultados mostrados en la Tabla 11 se muestran de forma porcentual de la siguiente forma:

- Compuesto: 44 %
- Displásico: 25 %
- Intradérmico: 64 %
- Unión: 33 %

Mientras que en la Tabla 12 se representan de la siguiente forma:

- Compuesto: 52 %
- Displásico: 25 %
- Intradérmico: 64.28 %
- Unión: 83.33 %

Tal como se evidencia, al realizar la representación del contorno del nevus con 5 y 10 armónicos el porcentaje de severidad en la predicción

del caracterizador disminuye considerablemente en la mayoría de los tipos de nevus, ya que como se mencionó anteriormente el conjunto de los contornos estudiados requieren más de 10 armónicos para que sean simbolizados de forma precisa. Sin embargo, se observa una precisión alta para los nevus de tipo: Intradermico y Unión esto se debe a que tienen un alto nivel de regularidad en su contorno, por ende, la mayor parte de potencia espectral está contenida en los primeros armónicos y se puede obtener una representación fiable de estos nevus bajo estas condiciones. En nuestro caso se seleccionaron 15 armónicos los cuales permiten una representación bastante precisa de todos los tipos de lunares, sin aumentar la carga computacional.

3.10. Manual de Usuario

El desarrollo de un manual de usuario facilita el manejo de esta herramienta, además de fijar los pasos a seguir para evitar cometer errores al analizar las imágenes. En el mismo también se especifican ciertas sugerencias que minimizaran errores en el procesamiento y análisis de las imágenes de nevus.

4. Conclusiones

La clasificación realizada luego del proceso de análisis de las imágenes obtenidas del dermatoscopio multiespectral advierten un estrategia para reducir el tiempo de cómputo y esfuerzo asociado a esta tarea de la realización del diagnóstico dermatológico. En este sentido, se materializa una clasificación eficiente a través del análisis del contorno de los nevus considerando los valores de dimensión fractal y coeficientes de Fourier.

El valor de dimensión fractal que caracteriza el contorno de cada nevus estudiado se encuentra en un rango determinado para cada grupo, esta característica hizo posible la clasificación de los lunares usando este parámetro.

Otra característica destacada de los coeficientes de Fourier, es que los mismos revelan información en cuanto al grado de regularidad del contorno. Por último, si los armónicos no siguen un patrón en la distribución espectral de la potencia tal como

se describió, es muy posible que existan errores en la captura del borde de los nevus, ya que en determinadas frecuencias de estudio se presentan *sombras*, que distorsionan la forma del contorno.

El análisis de varianza permite la caracterización de los nevus mediante la comparación entre medias de los valores de dimensión fractal, este estudio solo nos demuestra la posibilidad de poder realizar una caracterización basados en este parámetro. Otro aspecto destacado es que este análisis resulta más eficiente en determinadas frecuencias mientras que en otras no es aplicable en su totalidad. Tal es el caso de la banda espectral *rojo*, en el que los nevus de tipo unión no pueden ser clasificados debido a que en esta frecuencia la penetración en la piel de la imagen captada es mayor. Caso contrario se presenta en las bandas *azul*, *cyan* y *magenta*, en el que la caracterización de todos los tipos de nevus es posible y se obtiene una mejor calidad de los datos a clasificar.

El uso de la librería *sklearn* (aprendizaje de máquina), permitió entrenar el algoritmo con los valores de coeficientes de Fourier previamente obtenidos, permitiendo la puesta en marcha del análisis discriminante lineal, el cual basado en los datos de aprendizaje realiza una comparación del análisis armónico del nevus estudiado con su base de datos, para la clasificación del mismo.

Al aplicar la caracterización de nevus mediante LDA se puede resaltar las bandas espectrales donde la cantidad de datos de entrenamiento es mayor, las zonas de clasificación son más distinguibles, ya que contienen casi en su totalidad los valores representativos de cada grupo, permitiendo esto que la caracterización sea más precisa.

Cabe destacar que el haber obtenido un tiempo de análisis de aproximadamente una décima de segundo, permite acelerar y dar mejor uso al tiempo invertido en realizar un diagnóstico. Se puede incluso considerar que este nuevo método de análisis es la antesala al diagnóstico en tiempo real.

El porcentaje de acierto en la predicción del clasificador en la frecuencia *rgb* será mayor al 66.666 %, ya que este valor se obtuvo con tan solo la mitad de los valores de la base de datos, y como se ha mencionado anteriormente al aumentar

la base de datos la eficiencia del clasificador al predecir los tipos de nevus aumentará. En la banda espectral *cyan* el porcentaje de predicción será mayor al 64.7 %. Estas cifras reflejan la efectividad del algoritmo al procesar nuevas imágenes multiespectrales de nevus, se realizó el estudio en la banda *rgb* ya que en todos los centros no se cuenta con el dermatoscopio multiespectral, y de ser así el análisis solo se puede ejecutar en dicha frecuencia, mientras que en la frecuencia *cyan* se encuentra contenida el comportamiento del resto de la banda de estudio.

Reconocimiento

Este artículo fue seleccionado por la Escuela de Ingeniería de Telecomunicaciones de la Facultad de Ingeniería de la Universidad de Carabobo, como uno de los mejores Trabajos Especiales de Grado del año 2018.

5. Referencias

- [1] Benoît Mandelbrot. *La Geometría Fractal de la Naturaleza*. Tusquets Editores, 1997.
- [2] Dimitrios Kapsokalyvas, Nicola Brusino, Domenico Alfieri, Vincenzo de Giorgi, Giovanni Cannarozzo, Riccardo Cicchi, Daniela Massi, Nicola Pimpinelli, and Francesco S Pavone. Spectral morphological analysis of skin lesions with a polarization multispectral dermoscope. *Optics express*, 21(4):4826–4840, 2013.
- [3] Cristian Felipe Ocampo Blandón. Herramienta soporte al diagnóstico del melanoma usando imágenes dermatoscópicas. Tesis de Maestría, Universidad Nacional de Colombia, Manizales, Colombia, 2011.
- [4] Mani Abedini, Adrian Bowling, Rajib Chakravorty, Sergey Demyanov, and Rahil Garnavi. Detection of outlier lesions based on extracted features from skin images, 2018. US Patent US 2018/0122065 A1.
- [5] Hsiang-Chen Wang, Shin-Hua Chen, Shih-Wei Huang, Lai Chiu-Jung, and Chu-Chi Ting. Cancerous lesion identifying method via hyper-spectral imaging technique, February 20 2016. US Patent 9,895,112.
- [6] G. Bradski and A. Kaehler. *Learning OpenCV: Computer Vision with the OpenCV Library*. O'Reilly Media, 2008.
- [7] Irene Paredes. Determinación de la organización de los melanocitos en nevus melanocíticos adquiridos mediante el análisis fractal en imágenes multiespectrales. Trabajo Especial de Grado, Programa de Especialización en Dermatología, Dirección de Postgrado, Facultad de Ciencias de la Salud, Universidad de Carabobo, Venezuela, 2017.
- [8] Ravishankar Chityala and Sridevi Pudipeddi. *Image processing and acquisition using Python*. CRC Press, 2014.
- [9] Alan V. Oppenheim; Roland W. Schaffer. *Tratamiento de señales en tiempo discreto*. Pearson, 2 edition, 1998.
- [10] Humberto Gutierrez Pulido; Roman de la Vara Salazar. *Análisis y diseño de experimentos*. Mc Graw Hill, segunda edition, 2008.
- [11] Roberto Hernandez Sampieri. *Metodología de la investigación*. Mc Graw Hill, sexta edition, 2014.
- [12] Yunfeng Liang, Lei Sun, Wee Ser, Feng Lin, Steven Tien Guan Thng, Qiping Chen, and Zhiping Lin. Classification of non-tumorous skin pigmentation disorders using voting based probabilistic linear discriminant analysis. *Computers in Biology and Medicine*, 2018.

A liposoluble colorant from Annatto seeds (*Bixa Orellana* L.) as an input for food industry

José Camacaro^a, José Gómez^a, Milagros Jiménez^b, Cristóbal Vega^c y Lisbeth Manganiello^{*b}

^aEscuela de Ingeniería Química, Facultad de Ingeniería, Universidad de Carabobo, Valencia, Venezuela.

^bCentro de Investigaciones Químicas, Facultad de Ingeniería, Universidad de Carabobo, Valencia, Venezuela.

^cInstituto de Matemática y Cálculo Aplicado, Facultad de Ingeniería, Universidad de Carabobo, Valencia, Venezuela.

Abstract.- In the present work, it was proposed to obtain a liposoluble dye for the food industry from the *Bixa Orellana* L. or commonly known as annatto through an extraction with the use of a solvent. The soil characteristics of the onoto plants of the community El Pernal, Tinaquillo, Cojedes state, selected for the present investigation, were studied. Solvents such as ethanol, n-hexane, ethyl acetate and potassium hydroxide were evaluated as leaching agents of bixin, with the help of a standard sample facilitated by the food industry, and with the use of UV-visible equipment it was found that 2 % KOH was the best extractive solvent due to its low cost, low levels of toxicity and high yield. Extraction tests were performed on onoto seeds at a laboratory scale where variables such as solute and solvent quantity ratio, soaking time, agitation and in turn subsequent steps as bixin neutralization and precipitation, vacuum filtering, drying were studied. to the oven and storage, where the extraction performance was determined.

Keywords: *Bixa Orellana* L.; onoto; bixina; natural dyes; leaching; food.

Un colorante liposoluble de semillas de Onoto (*Bixa Orellana* L.) como insumo para la industria alimentaria

Resumen.- En el presente trabajo se planteó la obtención de un colorante liposoluble para la industria de alimentos a partir de la *Bixa Orellana* L. o conocido comúnmente como onoto a través de una extracción con el uso de un solvente. Se estudiaron las características del suelo de las plantas de onoto de la comunidad El Pernal, Tinaquillo, estado Cojedes, seleccionada para la presente investigación. Se evaluaron solventes como el etanol, n-hexano, acetato de etilo e hidróxido de potasio como agentes lixivadores de la bixina, con la ayuda de una muestra patrón facilitado por la industria alimenticia, y con el empleo del equipo UV-visible se comprobó que el KOH al 2 % resultó mejor solvente extractor por su bajo costo, bajos niveles de toxicidad y alto rendimiento. Se realizaron ensayos de extracción a las semillas de onoto a escala de laboratorio donde se estudiaron variables como relación de cantidad de soluto y solvente, tiempo de remojo, agitación y a su vez pasos posteriores como neutralización y precipitación de la bixina, filtrado al vacío, secado al horno a y almacenamiento, donde se determinó el rendimiento en la extracción.

Palabras claves: *Bixa Orellana* L.; onoto; bixina; colorantes naturales; lixiviación; alimentos.

Recibido: marzo 2018

Aceptado: mayo 2018

1. Introducción

La naturaleza está caracterizada en gran medida debido a la rica diversidad que poseen, distintas especies de animales y plantas. El ser humano se ha provisto de esa diversidad con el fin de mejorar

la calidad de vida y con el pasar de la historia el desarrollo de la humanidad ha ido de la mano con el aprovechamiento de recursos naturales y su transformación. Los alimentos son un punto sensible para la sociedad, tanto en tiempos antiguos como en la actualidad, y es un área importante para la investigación y elaboración de proyectos que satisfagan demandas y necesidades.

Actualmente existe una tendencia mundial a la utilización de alimentos sin el uso de herbicidas, pesticidas y fertilizantes artificiales, conocidos como alimentos orgánicos o naturales. Debido a

*Autor para correspondencia: Lisbeth Manganiello
lmanganiello@uc.edu.ve

este requerimiento, la industria intenta incorporar estas exigencias a sus productos, generando como resultado alimentos saludables, atractivos y de mejor calidad.

Uno de estos insumos importantes para la industria alimenticia es la incorporación de colorantes, estos juegan un papel importante debido a que representan a través del contacto visual, el primer acercamiento entre el consumidor y el producto, lo que puede hacer que este último sea más atractivo entre una gran cantidad de productos existentes en el mercado nacional, donde compiten alimentos nacionales e importados. Los pigmentos naturales son aquellos obtenidos de fuentes presentes en la naturaleza, usados para impartir color a algunos productos. Son sujetos a las mismas pruebas de calidad y seguridad toxicológica que los sintéticos, pero la Administración de Alimentos y Fármacos de Estados Unidos (F. D. A.) por sus siglas en inglés y otras agencias gubernamentales, no requieren que se certifique su pureza química y por tanto se refiere a ellos como aditivos de color no certificados; sin embargo, algunos de estos pigmentos sí están sujetos a restricciones en su uso, como el nivel máximo permitido o el uso en animales y/o humanos (ver [1]).

El onoto se ha utilizado desde tiempos pre-coloniales en Venezuela con diferentes usos: medicinal, colorante corporal y como condimento en alimentos, por tanto, el onoto es conocido como fuente natural histórica proveedora de color, es una planta arbustiva que científicamente lleva el nombre de *Bixa Orellana L.* Este arbusto puede medir entre 3 y 10 metros de altura, sus hojas son simples, grandes, de forma acorazonada y dispuesta de manera alterna, de bordes lisos y con largos pecíolos. Las flores son hermafroditas y están dispuestas en ramilletes terminales, de colores blanco a rosado, según las variedades. El fruto es una cápsula ovoide u ovoide - globosa, pardo - rojiza, que mide de 2 a 5 centímetros de diámetro, puede tener espínulas sedosas (escasas o abundantes) o carecer de ellas. Puede ser de color naranja, verde, amarillo, rojo o poseer diferentes tonalidades entre éstos. En su interior se encuentran de 10 a 50 semillas rojas, casi triangulares y

pequeñas, rodeadas con una sustancia viscosa de color rojo vivo que contiene la bixina. El onoto, conocido de esta forma coloquialmente a la *Bixa Orellana L.*, prospera en zonas tropicales y se adapta a distintos tipos de clima y suelos. Crece en altitudes desde 100 hasta 1 000 m.s.n.m., aunque prospera mejor en zonas relativamente bajas (100 a 500 m) y planas. Soporta temperaturas desde 24 hasta 35° C, y precipitaciones anuales de 1.000 a 1.200 mm. Es posible reproducirla por semillas, estacas o injertos. Los arbustos de onoto comienzan su producción comercial entre los 3 y 4 años de edad. En promedio, una plantación resulta redituable por un periodo de 12 años, aunque varía de acuerdo con las condiciones del suelo, el clima y el manejo (ver [2]).

El método que se utilice para extraer el colorante de las semillas redundará en la calidad del producto final. Existe una forma tradicional y antigua para la extracción del colorante, practicado en miles de hogares, el cual consiste en colocar las semillas de onoto en aceite caliente, agitando constantemente y así se obtiene un aceite, que se usa para darle color a las comidas. Esta técnica muy empleada en casas presenta bajos rendimientos, con pérdidas elevadas en el contenido de bixina. Otro procedimiento para la extracción de bixina es el método industrial, este consiste en la utilización de solventes orgánicos y se evita el uso de altas temperaturas. Con este método se obtienen altos rendimientos, ya que la molécula de bixina es afín a estos solventes y permite obtener extractos puros del pigmento (ver [2]). El método industrial resulta mucho más costoso debido a la cantidad disolvente y equipo necesarios para el proceso de extracción. La bixina tiene varias formas de presentación comercial, cada una con diferentes concentraciones como colorante soluble en aceite, colorante en solución acuosa o colorante en pasta.

La meta de este trabajo es desarrollar un colorante natural liposoluble a partir de la semilla de onoto (*Bixa Orellana L.*) utilizable en la industria de alimentos con carácter de exportación.

Los aditivos alimentarios forman parte principal en muchos de los productos alimenticios de consumo humano, debido a que ayudan a la conservación de alimentos, benefician en el

procesamiento de los mismos e inclusive pueden modificar sus características sensoriales como lo son el olor, sabor y el color; este último de gran importancia debido a que forma parte de la apariencia del producto y puede representar “el primer acercamiento del consumidor al alimento” (ver [1]). Los colorantes como aditivos alimentarios pueden ser clasificados en sintéticos y naturales, sin embargo el uso de colorantes naturales es más cotizado debido a que su presencia en alimentos no representa peligro para la vida humana, no tiene restricciones en su uso y esto influye directamente en la calidad del producto. La bixina compuesta liposoluble proveniente de la especie *Bixa Orellana* L., es usada ampliamente en la industria de alimentos y cosméticos. Adicionalmente en su composición química, la bixina tiene presencia de vitamina A y minerales que aportan al alimento adicionado, nutrientes. Además de sus propiedades pigmentantes tiene propiedades farmacológicas, entre las más importantes se pueden mencionar: antiinflamatoria, antioxidante, cicatrizante y se ha indicado incluso en el tratamiento de heridas y quemaduras por su acción antibacteriana. La extracción de un colorante liposoluble por lixiviación de la semilla, conduce a la generación de un producto de elaboración a nivel industrial que permita disminuir considerablemente los costos por sustitución de importación, seleccionando un solvente económico, que permita obtener alto rendimiento de extracción en bixina y que su toxicidad no represente un problema para la salud del consumidor, que satisfaga parte de la demanda de la industria de alimentos a nivel nacional.

2. Aspectos Teóricos

A continuación serán presentados algunos antecedentes de colorantes naturales.

Narváez [3] describe un método de extracción del colorante natural del fruto de *Evilán* (*Monnina* spp) para su uso como colorante en yogurt; para lo cual, toma como solvente una solución (etanol 90 % y ácido cítrico al 0,03 %). La materia prima fue sometida al proceso de liofilización, en forma de pulpa, optimizando de esta manera tiempo y cantidad de fruta a procesar.

Obtenido el colorante se realizaron pruebas, entre ellas diferentes concentraciones de colorante en yogurt de mora, análisis sensoriales, análisis de degustación. Se pudo establecer una efectividad de tinción utilizando una dosis de 4 % de colorante de *Evilán*, el cual se le comparó con una muestra de yogurt comercial tomada esta como patrón de análisis. Se realizaron análisis bromatológico y microbiológico a las muestras almacenadas. Se obtuvieron resultados como por ejemplo un rendimiento de: 149,2 g de colorante, a partir de 980 g de fruta, es decir un 15,22 % de rendimiento, se obtuvo una tonalidad de color en el yogurt de mora apta para la comercialización y teniendo una vida útil del producto de 4 semanas para su consumo. Dentro de las principales diferencias de esta investigación con la que se plantea realizar esta en la materia prima o fruto a utilizar para la obtención del colorante, en este caso parte del *Evilán*, que además lo emplean en forma de pulpa para la extracción, caso contrario a la *Bixa Orellana* L. la cual se hará de manera entera por contener gran cantidad de bixina en la corteza de la semilla y se perdería parte de esa bixina en un proceso de trituración.

El trabajo de Beltrán [4] está dirigido al diseño de un sistema de costos para una empresa agroindustrial dedicada a la producción de colorantes naturales, utilizando como fuente natural la semilla de onoto, *Bixa Orellana* L., utilizando como metodología el estudio de la estructura de costos de una empresa productora de colorantes en Perú. Persigue establecer el diseño de sistema de costos tomando en cuenta variables de estudio como estacionalidad de la materia prima, capacidad instalada en la planta, exigencia de los clientes de llevar la trazabilidad del producto. Se reflejan estadísticas mundiales en la producción de la materia de *Bixa Orellana* L., situando como principal productor a Brasil con 33 % del aporte mundial y Venezuela con 2 % ubicándose entre el sexto y séptimo lugar. Se describe brevemente la técnica industrial de extracción de bixina usando metanol como solvente. Concluye estableciendo que la producción de la planta cumple con criterios de trazabilidad del producto y que el costo por órdenes de producción en las

empresas tiene incidencia sobre la determinación del costo de producción. Este trabajo anterior se analiza el sistema de costos en una empresa de colorantes naturales, además como sus unidades de proceso y métodos de extracción usando metanol como solvente, referencias importantes para esta investigación, pero que no aborda el estudio de otros solventes para la extracción de la bixina así como el análisis con materia prima de Perú y no de Venezuela la cual será objeto de estudio.

La investigación de Rey [5] está dirigida a la extracción de tocotrienoles a partir de la semilla de la *Bixa Orellana L.* como antioxidante natural usando CO₂ súper crítico como solvente de extracción. El CO₂ supercrítico es el fluido adecuado para la extracción de tocotrienoles provenientes del achiote, ya que gracias a su punto crítico (34°C y 78.2 atm) permite trabajar en condiciones de operación fáciles de alcanzar, evitando así la degradación de compuestos que son sensibles a las altas temperaturas, además el CO₂ es un solvente inodoro, no tóxico y no inflamable. Los objetivos fueron establecer las condiciones adecuadas de presión y temperatura en el proceso de extracción, caracterizar las fracciones obtenidas, encontrar los rendimientos que presenta el proceso de extracción de tocotrienoles contenidos en la semilla del achiote. Se pudo confirmar la presencia de tocotrienoles y tocoferoles en la *Bixa Orellana L.*, Se demostró que los extractos obtenidos en el proceso presentan una capacidad antioxidante relevante, el extracto soluble que se puede obtener es de 8.34 % del peso de las semillas del onoto. Se utiliza un método de extracción de componentes presentes en la especie *Bixa Orellana L.* como lo son los tocotricerolos como elementos antioxidantes, básicamente dirigidos a la salud, aunque usan la misma materia prima de estudio, difieren en solvente utilizado, y componente principal a extraer, sirve de utilidad a esta investigación debido a el aprovechamiento de subproductos que pueda tener la *Bixa Orellana L.* despues de retirar la bixina.

2.1. Onoto

El onoto es un colorante natural extraído del pericarpio de las semillas de *Bixa Orellana L.*; la

Bixa Orellana L. es una valiosa planta medicinal conocida popularmente como “sinduri” o “árbol de lápiz labial”. La cubierta de la semilla de onoto produce comercialmente tinte, un pigmento naranja rojo conocido como *bixina*, así como la “norbixina” que se usa principalmente en la industria láctea, la industria de la medicina y la industria textil y para la alimentación animal. Esta especie se utiliza en la producción de fitoquímicos como flavonoides, esteroides, taninos, bisulfato y aceites esenciales. Se ha informado que el sinduri se usa para tratar problemas de la piel, enfermedades hepáticas, hepatitis, trastorno de la próstata, como diurético y como antioxidante. Das *et al* [6] en una revisión de la germinación de la *Bixa orellana L.* afirman que se propaga comúnmente a través de semillas para el cultivo a gran escala. Pero la cubierta de la semilla se caracteriza por una testa impermeable al agua. Por lo tanto, es muy difícil germinar y también contiene menos del 40 % de humedad, que es la causa principal de la germinación lenta. La germinación se puede aumentar mediante el uso de varios pretratamientos con agua, hormonas, reguladores de crecimiento, estiércol, ácidos, etc.

El onoto (*Bixa orellana*) es un colorante importante domesticado en el neotrópico, aunque no está claro dónde o de qué poblaciones silvestres. Ambrósio Moreira *et al* [7] revisaron la información biológica, arqueológica y etnográfica disponible sobre el onoto, y la integraron con recientes observaciones etnobotánicas de poblaciones cultivadas y no cultivadas para evaluar la hipótesis de que lo que se clasifica como *Bixa urucurana* es el ancestro silvestre del onoto cultivado. La mayoría de las poblaciones de *Bixa urucurana* de la Amazonía ocurrieron en bosques abiertos o paisajes antropogénicos, aunque nunca se cultivaron, y siempre se asociaron con ambientes ribereños. Mientras que el onoto cultivado siempre produce abundante pigmento, las poblaciones de *Bixa urucurana* contenían cantidades variables de pigmento, desde muy poco hasta casi la cantidad en onoto cultivado, lo que sugiere un flujo de genes desde cultivados hasta no cultivados. *Bixa urucurana* tiene frutos indehiscentes, que indican cambios en la dehiscencia durante la domesticación

del onoto, una característica notable que rara vez se encuentra en otras especies arbóreas.

Los residentes locales identificaron las poblaciones no cultivadas como onoto silvestre, y destacaron sus frutos más pequeños con menos pigmento, su regeneración espontánea, su no uso, y que se hibridizan con achiote cultivado. La etnografía identificó la importancia simbólica del onoto, pero una mención explícita del origen solo proviene del sur de la Amazonia. Aunque el registro arqueológico más antiguo del onoto provino del Caribe, la domesticación se produjo en el norte de América del Sur, ya que *Bixa urucurana* no ocurre en el Caribe. El conocimiento y la morfología ecológicos tradicionales identificaron la estrecha relación entre *Bixa urucurana* (nunca cultivada) y *Bixa orellana* (siempre cultivada). La evidencia reportada por Ambrósio Moreira *et al* [7] apoya fuertemente la sugerencia de que *Bixa urucurana* Willd es una variedad de *Bixa orellana* L. lo que identifica al ancestro silvestre del achiote cultivado.

El estudio de Gallardo–Cabrera y and Rojas–Barahona [8] evalúa el efecto de la luz y la temperatura sobre la estabilidad de una formulación acuosa de norbixina. Sus resultados de los estudios de fotoestabilidad forzada mostraron que las muestras con una concentración alta de norbixina (5,58 %) no sufrieron descomposición. La descomposición de la norbixina promovida por la temperatura se ajustó a un modelo lineal y se observó un cambio significativo de color a los 12 meses cuando la concentración de norbixina restante fue del 4,42 %. Los hallazgos mostraron que las altas concentraciones son un factor protector contra la fotodegradación y la vida útil de norbixina en formulación acuosa fue de 12 meses a 30°C.

Este arbusto tiene follaje en todas las épocas del año (arbusto perenne), posee una altura de 2 a 6 m; tiene una copa baja y extendida, el tallo es pardo y se caracteriza por ramificarse a poca altura del terreno en donde ha sido cultivado. Sus hojas son simples y grandes, alrededor de 6×4 cm, y base redondeada, verdosas claras, con márgenes lisas; sus flores poseen forma de ramillete con pelos glandulares [5]. Se trata de un árbol hermafrodita cuyo fruto es una cápsula roja, de 2 a 6 cm

de largo, con pelos gruesos espinosos, de color morado (varía la tonalidad según su variedad), que al madurar pasa a pardo rojizo oscuro. En cada valva o cápsula hay entre 10 y 50 semillas

Tabla 1: Composición química de la semilla de onoto

Compuesto	Concentración (% peso)
Carbohidratos Totales	47,90
Fibra Cruda	13,85
Almidón	13,17
Proteínas	12,82
Humedad	11,92
Pentosanos	11,35
Azúcares Totales	9,76
Extractos	5,22
Carotenoides totales	1,48
Pectina	0,35
Ceniza	6,92

Fuente: Rey [5]

La Tabla 1 muestra la composición de las semillas de onoto donde se destacan carotenoides (bixina y norbixina), además que contiene saponinas, compuestos fenólicos, aceites fijos terpenoides y tocotrienoles.

2.2. Colorantes

El color es un personaje sensorial a menudo pasado por alto que sin duda influye en la percepción del sabor. Los pigmentos que colorean los alimentos generalmente son inestables y se modifican durante el procesamiento. Para mantener o restablecer la uniformidad del color del producto, los colorantes, considerados en todo el mundo como aditivos alimentarios, se agregan intencionalmente a los productos alimenticios. El mercado de aditivos alimentarios naturales ha estado creciendo de manera extensa desde el siglo pasado debido a los peligros potenciales de los aditivos alimentarios artificiales y los beneficios potenciales de los compuestos biológicamente activos. El trabajo de Solymosi *et al* [9] proporciona una descripción de los colorantes más importantes de origen natural, así como información sobre las moléculas de coloración menos comunes y/o prometedoras.

El color es una propiedad del material relacionada directamente con el espectro de la luz y que, por lo tanto puede medirse físicamente en términos de energía radiante o intensidad, y por su longitud de onda. El color también puede definirse como “la parte de la energía radiante que el humano percibe mediante sensaciones visuales que se generan por la estimulación de la retina del ojo”. La calidad de un alimento, sin tomar en cuenta los aspectos sanitarios, toxicológicos y nutricionales, se basa en los siguientes parámetros: color, sabor, olor, y textura. Sin embargo, el primer acercamiento del consumidor es por su color, ya que relaciona lo adecuado con la aceptación o rechazo [1]. Los colores de los alimentos se deben a diferentes compuestos, principalmente orgánicos, algunos de los cuales se producen durante su manejo y procesamiento, sin embargo, la mayoría de los alimentos deben su color a las sustancias pigmentantes que contienen o se añaden. Muchos pigmentos también se extraen de su fuente natural y se emplean como colorantes en la elaboración de un gran número de alimentos.

Los pigmentos según la F.D.A. es cualquier material que imparte color a otra sustancia obtenida por síntesis o artefacto similar, extraída o derivada, con o sin intermediarios del cambio final de identidad, a partir de un vegetal, animal, mineral u otra fuente y que cuando es añadido o aplicado a alimentos, medicamentos o cosméticos, es capaz de impartir color por sí mismo. Los pigmentos se pueden dividir en sintéticos y naturales.

2.2.1. Colorantes sintéticos

Los pigmentos sintéticos requieren de una certificación; incluyen sustancias químicas sintetizadas con alto grado de pureza. Los principales son

- **Azoicos:** Su estructura es de mono, di o triazo. Producen casi todos los colores, se caracterizan por tener un grupo cromóforo ($-N=N-$);
- **Antraquinonas:** Su estructura tiene uno o más grupos carboxilo en un sistema de anillos conjugados, con al menos tres anillos condensados.

Debido a la preocupación por la seguridad en el uso de pigmentos sintéticos, estos se han estudiado exhaustivamente con respecto a su efecto sobre la salud. En general, en alimentos sólo se aceptan nueve pigmentos sintéticos, con severas restricciones de uso [1]. Estos son

- **Tartracina:** Autorizado para usarse en más de 70 países. Es ampliamente usado en repostería, productos cárnicos, sopas instantáneas de vegetales en conserva, helados, caramelos, bebidas no alcohólicas. Puede producir alergia en el 10 % de los consumidores;
- **Amarillo anaranjado S:** se utiliza para bebidas no alcohólicas, helados, caramelos y postres entre otros. No autorizado en Norteamérica pero si en Europa;
- **Azorrubina:** No autorizado en Norteamérica pero si en Europa, se emplea principalmente en caramelos;
- **Rojo Ponceau:** se emplea para producir el color fresa de caramelos y productos de repostería, así como en productos cárnicos en lugar del pimentón;
- **Negro brillante:** en Europa se emplea para productos de imitación en caviar, no se autoriza su uso en Estados Unidos, Canadá ni Japón;
- **Amarillo de quinoleína:** se autoriza su uso en Europa para aplicación en bebidas de naranja, bebidas alcohólicas, repostería, conservas vegetales, helados y productos cárnicos;
- **Eritrosina:** muy usado en productos lácteos con sabor a fresa, en mermeladas, caramelos y productos cárnicos. Debido a su alto contenido de yodo puede ser nocivo por su acción sobre la tiroides, por lo que en Europa no está autorizado en alimentos dirigidos a niños;
- **Indigotina:** autorizado a nivel mundial, se emplea en bebidas no alcohólicas, caramelos, confitería y helados;

- **Azul V:** se utiliza en conservas vegetales, mermeladas, repostería, caramelos y bebidas para lograr tonos verdes al combinar con colorantes amarillos (Badui, 2006).

2.2.2. Colorantes naturales

Son generados por microorganismos, vegetales, animales, o minerales. Representa 940 millones de dólares en ventas en el mercado mundial de colorantes al año, y debido a la precaución del consumidor por el consumo de productos que no alteren o ayuden a su salud, crece alrededor de 4 % al año. Los pigmentos naturales son aquellos obtenidos de fuentes presentes en La naturaleza, usados para impartir color en algunos productos. Son sujetos a las mismas pruebas de calidad y seguridad toxicológica que los sintéticos, pero la FDA y otras agencias gubernamentales no requieren que se certifique su pureza química, y por tanto se refiere a ellos como aditivos de color no certificados.

La demanda de onoto y otros colorantes naturales en Europa viene en notable crecimiento, esto debido a que el consumidor promedio europeo prefiere los productos naturales en oposición a los sintéticos o artificiales, esto motivado por la tendencia mundial respecto al medio ambiente, la pérdida de biodiversidad y problemas relacionados con la salud del consumidor [4].

Tabla 2: Producción mundial de semilla de onoto, año 2010

País	Toneladas métricas
Brasil	7.500
Perú	4.800
África Central	4.000
Kenya	3.500
Otros	1.200
República Dominicana	1.000
Guatemala	500
Venezuela	400
Total	22.900

Fuente: Beltrán [4]

La Tabla 2 muestra la producción mundial de este rubro, onoto (*Bixa Orellana* L.) siendo América y

África las principales fuentes generadoras de esta materia prima.

2.3. Bixinia

La Bixinia es un ácido carboxílico carotenoide y tiene sabor insípido, por lo que es adecuado para dar color a las comidas, arroz, margarinas, quesos y bebidas en general. Además se usa en productos cosméticos con el mismo fin, es de estructura amorfa y fácilmente soluble en alcohol caliente. La fórmula química de la bixina es $C_{25}H_{30}O_4$.

La bixina tiene una masa molar de 393,96 gramos por mol y su concentración se lee a una longitud de onda de 480 nm [10].

El pigmento está localizado en la superficie de la semilla. Como una cubierta resinosa y aceitosa, está formado fundamentalmente por bixina (cis y trans), con trazas de norbixina, éster de dimetil bixina y otros pigmentos carotenoides [4].

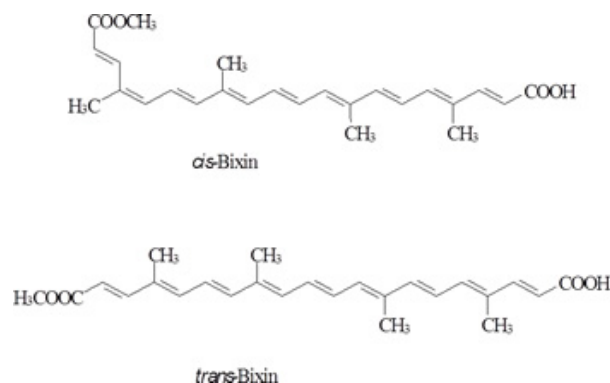


Figura 1: Estructura química de la bixina

La Figura 1 muestra la estructura química de la bixina en sus posiciones Cis y Trans, posee una cadena carbonada de 20 átomos de carbono y se aprecia que el grupo funcional principal es un ácido carboxílico, correspondiendo a su naturaleza de compuesto orgánico.

La bixina es un colorante natural que es usado actualmente como sustituto de algunos colorantes de origen sintético, como la eritrosina y la geranina, por lo que su uso en alimentos es permitido por su comprobada y total inocuidad [10]. Los usos más comunes son: En la industria alimentaria, para coloración de mantequillas y margarinas, en la coloración de quesos y derivados, coloración de

aceites, helados y harinas, coloración de galletas, tortas, y panetones; coloración de salchichas, sopas instantáneas, embutidos, bocaditos y chorizos. En la industria cosmética, para colorear esmaltes de uñas, lacas, bronceadores, lápices de labios, etc. En la industria textil, se emplea para teñir fibras naturales como el algodón, lana, seda, lográndose distintas tonalidades. Otras industrias: en coloración de cueros, betunes, cera para pisos, barnices para muebles, jabones, y como colorante para maderas.

2.3.1. Nor-Bixina

El extracto primario de la Bixa Orellana L. contiene a su vez la Nor-bixina, una sal sódica o dipotásica. Como sal disódica posee una masa molar de 423,94 gramos por mol y como sal dipotásica 456,2 gramos por mol [10].

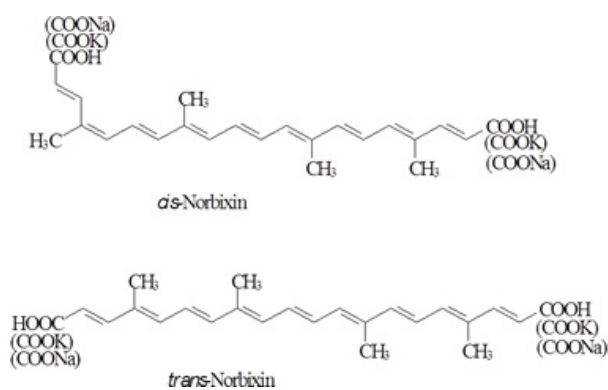


Figura 2: Estructura química de la Nor-bixina

La Figura 2 muestra la estructura química de la nor-bixina en sus posiciones Cis y Trans, donde presenta una cadena carbonada de 20 átomos de carbono y donde el principal grupo funcional es un ácido carboxílico, que también corresponde por su naturaleza a un compuesto orgánico.

2.3.2. Carotenoide

Son un grupo numeroso de pigmentos muy difundidos en los reinos vegetal y animal, producen colores que van desde el amarillo hasta el rojo intenso. Se han identificado en la naturaleza más de 600 de estos compuestos, y se estima que anualmente se sintetizan 100.000 toneladas de carotenoides de fuentes naturales [1]. Debido

a que los carotenoides son solubles en lípidos o en solventes como el hexano o el éter de petróleo se obtienen por métodos de extracción. Casi todos son estables a los álcalis, por tanto pueden purificarse por saponificación para liberar la fracción pigmentante de otras fracciones como proteínas y carbohidratos.

2.3.3. Extracción de bixinia

En la actualidad, una alta proporción de carotenoides se obtienen sintéticamente, ya que resulta más factible desde el punto de vista económico; sin embargo, debido a las restricciones legislativas, cada vez se emplean más los de origen vegetal [1].

Esta tendencia de uso de colorantes de origen natural, lleva a este trabajo de investigación a perfilar un método de extracción y proceso productivo en el cual permita enmarcar el colorante a obtener como un producto natural, tolerable con la F.D.A. y amigable con el medio ambiente. El onoto es una de las principales materias primas para la producción de colorantes naturales. Su industrialización requiere conocimiento tecnológico para permitir la obtención de colorantes a bajo costo, con los mayores rendimientos y con una calidad aceptable que permita competir en los mercados nacional e internacional. Se conocen diversas formas de extraer el colorante de las semillas de achiote, desde técnicas artesanales hasta técnicas industriales [4].

Los colorantes se encuentran entre los aditivos más comunes utilizados principalmente para intensificar, compensar o agregar color a los productos manufacturados. El principal color detectado en las semillas de onoto proviene de los carotenoides bixina y norbixina, según el método de extracción. el trabajo de Santos *et al* [11] presenta caracterizaciones espectroscópicas de absorción y fluorescencia de onoto extraídos en soluciones acuosas a partir de semillas del arbusto tropical Bixa orellana L. Santos *et al* [11] realizaron las extracciones utilizando una solución acuosa (a 98°C) con diferente potencial de valores de hidrógeno (pH 6.5–11.2), y compararon los resultados con los obtenidos con métodos de extracción química usando otros solventes;

determinaron los parámetros termoópticos, como el coeficiente de temperatura del índice de refracción (dn/dT), la difusividad térmica (D), la carga térmica de la fracción (ϕ) y el rendimiento cuántico (η) para las soluciones de onoto.

Giridhar *et al* [12] justifican los desarrollos en la extracción de tintura de onoto, los esfuerzos para mejorar el rendimiento del extracto, aspectos de estabilidad del color de onoto en los productos alimenticios, métodos potenciales viables para ser empleados con mejores perspectivas económicas, que serán útiles para los posibles emprendedores.

Se conocen diferentes métodos para la obtención de colorante bixina a partir del onoto, según Beltrán Ramírez establece los siguientes procesos a nivel industrial, los cuales resultan ser los más empleados por las ventajas que ofrece. “Los métodos de extracción utilizados para la producción de colorantes de achiote a partir de la semilla pueden envolver la producción de bixina, a través de la hidrólisis acuosa, la extracción simultánea de norbixina. En escala comercial, tres métodos básicos son usados para extraer el pigmento de las semillas: a) extracción alcalina, que resulta de la conversión del carotenoide encontrado en la semilla del achiote, en una forma de éstermonometílico liposoluble a hidrosoluble, o sea, sal de norbixina; b) extracción en óleo (aceite), que resulta en la remoción de la bixina de las semillas además de pequeñas cantidades de otros materiales coloridos; c) extracción con solvente, que resulta en la forma más pura del pigmento de bixina” [4].

Solventes en estudio. En el presente trabajo de investigación se empleará el tercer método mencionado anteriormente, una extracción de bixina a partir de la semilla de onoto empleando un solvente adecuado a los requerimientos de toxicidad, rendimiento, costo e impacto con el medio ambiente. Dentro de los solventes a estudiar para el proceso de extracción se tienen N-hexano, Hidróxido de potasio, Etanol y Acetato de etilo.

Extracción. Es una operación unitaria de transferencia de masa basada en la disolución, de uno o de varios de los componentes de una mezcla (líquida o que forme parte de un sólido) en un

disolvente selectivo. Se hace la distinción entre la extracción sólido-líquido y la extracción líquido-líquido según la materia a extraer este en un sólido o un líquido, respectivamente. En este caso, obviamente, el disolvente ha de ser inmisible con la fase líquida que contiene el soluto [13].

Lixiviación. Es un proceso de separación, esta técnica se utiliza para disolver materia soluble a partir de su mezcla con un sólido insoluble. El material soluble separado generalmente es mayor que el lavado por filtración. En el proceso de lixiviación las propiedades del sólido pueden variar, si se alimentan sólidos del tipo gruesos, duros o granulados, se desintegran para formar una pulpa cuando el contenido del material soluble es retirado. Con sólidos impermeables o materiales que se desintegran durante la lixiviación los sólidos se dispersan en el solvente y después se separan de éste [14]. Este proceso involucra una operación de transferencia de masa por lo que es indispensable que exista un contacto íntimo entre el solvente y el soluto contenido en el sólido. La lixiviación es empleada para las mezclas de sustancias biológicas, compuestos orgánicos y compuestos orgánicos en forma sólida, para extraer componentes o purificar, para realizar lavados en procesos con agua, entre otros. También es conocido con otras denominaciones como extracción o infusión. Es empleada en la industria de alimentos entre otras cosas, para la obtención de azúcar a partir de la remolacha empleando agua caliente como solvente extractor; en la extracción de aceites vegetales mediante el uso de hexano, acetona, éter; café instantáneo (15 a 30 %; 60 %; partículas de $300 \mu\text{m}$ y $0,2 \text{ kg/m}^3$); té instantáneo (de 5 a 20 %, 40 %).

La Figura 3 muestra un esquema básico de un proceso de lixiviación en la industria en donde se aprecia una entrada para la carga de sólidos, una entrada para el solvente extractor y un diseño cóncavo de tanque para la facilidad en la extracción.

3. Metodología

3.1. Reactivos, materiales y equipos utilizados

Reactivos:

N-Hexano (C_6H_{14}) al 96 % marca Merck;

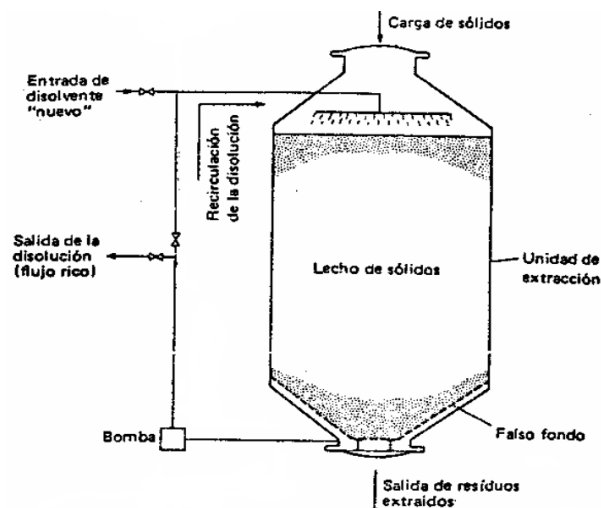


Figura 3: Esquema de un proceso de lixiviación por batch

Etanol (C_2H_6O) al 37 % marca Merck;
 Hidróxido de potasio (KOH) al 99 % marca Merck;
 Acetato de etilo ($C_4H_8O_2$);
 Agua destilada (H_2O);
 Ácido clorhídrico (HCl) al 37 % marca Merck.

Equipo:

Espectrofotómetro UV- Visible. Marca HP.
 Modelo 8452^a.

Muestra. La materia prima utilizada Bixa Orellana L. (Onoto), en cápsula o vaina, del tipo conocido como onoto criollo, es proveniente de la comunidad del Pernal, municipio Falcón, Tinaquillo, Estado Cojedes el cual posee una superficie geográfica de 15884,41 km², con coordenadas de latitud 9°41'08" y longitud 68°20'50"; limita al NORTE con la Quebrada La Guabina, al SUR con el río Tinapun, el ESTE con el sector la Guamita y al OESTE con el sector Sabaneta. El onoto fue previamente cosechado y expuesto al sol dentro de su cápsula.

3.2. Diseño de la investigación

A continuación se plantean las fases para llevar a cabo el desarrollo sistemático de la investigación.

Fase 1 Análisis de parámetros como pH y textura del suelo en estudio donde se encuentra

la planta de Bixa Orellana L. en el sector del Pernal, Tinaquillo, municipio Falcón del Estado Cojedes;

Fase 2 Selección del solvente a utilizar para la extracción de la bixina a partir de la semilla de onoto (Bixa Orellana L.) basado en criterios de solubilidad y toxicidad;

Fase 3 Caracterización del extracto de bixina obtenido mediante el (los) solvente(s) seleccionado(s);

Los análisis de pH han sido reportados en los apéndices del trabajo de Camacaro y Gómez [15]. Estos resultados serán comparados con las referencias bibliográficas recomendadas por el Instituto Nacional de Investigaciones Agrícolas, INIA, en Maracay, Estado Aragua, Venezuela (ver Manual [16]). Para la selección del solvente se usaron los resultados en [17].

4. Resultados

4.1. Análisis de parámetros de pH y textura del suelo

De las mediciones de pH realizadas en el laboratorio de cada una de las muestras de suelo, siguiendo el método Boyoucus, el rango obtenido fue de 5,36 a 6,143; con un valor promedio de $(5,653 \pm 0,010)$ adim. (Ver Apéndices A y B en [15]); manteniendo un pH ácido en todo momento.

Según los estudios realizados en el I.N.I.A. el resultado del análisis de pH a la muestra de suelo compuesta fue 5,7 (Adim.). De acuerdo a estos resultados de pH obtenidos, tanto en análisis propios de laboratorio como en análisis externos (I.N.I.A.) el suelo donde se cultivó la planta de Bixa Orellana L. se encuentra en un valor aceptable, esto de acuerdo a parámetros manejados por el manual técnico del achiote del CNTFA. Las mejores plantaciones de Bixa Orellana L. se encuentran normalmente en suelos con un pH comprendido entre 5 y 7,5; aunque esta planta es capaz de soportar suelos con pH entre 4,3 y 8,7.

4.2. Análisis y determinación del tipo de suelo

La tabla 3 presenta los porcentajes de granulometría obtenida en las muestras de suelo compuesto, donde crece la planta de Bixa Orellana L. en estudio, analizada en el I.N.I.A., Aragua.

Tabla 3: Análisis % de tipo de textura de suelo de la muestra compuesta realizado por el I.N.I.A.

Análisis mecánico	
Arena	60
Arcilla	14
Limo	26

En materia del tipo de suelo se puede afirmar que, de manera general la planta de onoto se adapta bien a las diferentes clases de suelos siempre que tengan buen drenaje, que sean profundos, franco arenosos y de textura liviana. La planta de Onoto como todo organismo vivo responde a las buenas condiciones donde se desarrolla. Si se cultiva en suelos profundos, fértiles y con buen drenaje interno y externo, sin compactación que afecte el crecimiento y desarrollo radicular, se tendrá buenos rendimientos; pero si se cultiva en terrenos pobres, erosionados, con poca fertilidad los rendimientos son menores.

4.3. Determinación de cantidad de semillas contenidas por cápsula de Bixa Orellana L.

Las plantas cosechadas y utilizadas para el procedimiento de extracción de la bixina arrojaron un promedio en masa de $M = (2,9922 \pm 0,0005)$ g,

Es importante la cantidad de masa contenida en las cápsulas pues arroja datos importantes sobre rendimiento del cultivo en el campo y de la cantidad estimada de colorante que se puede obtener a partir de una cosecha, a su vez permite el establecimiento de criterios o parámetros de control de calidad en la recepción de materia prima y de adquisición de la misma por parte del industrial hacia el productor agrícola.

Uno de los criterios que pudiese establecerse es el rendimiento de semillas por cápsula cosechada, y establecer parámetros de rechazo u aprobación de esa cápsula para ser adquirida por parte del

industrial que elabora el colorante. Con una muestra apreciable y compuesta de cápsulas de una cosecha a adquirir, la masa de semilla debería estar alrededor de $(2,9922 \pm 0,0005)$ g para poder así ser adquirida.

Es importante la adquisición de la materia prima en cápsula, pues es necesario garantizar el máximo aprovechamiento de bixina contenida en las semillas de Bixa Orellana L.; al estar la bixina en la superficie de la semilla, puede fácilmente perderse parte de la misma sino se le da un trato apropiado al momento de ser cosechada, por ende la vital importancia de controlar la masa encapsulada, y así darle un trato adecuado en el proceso de recolección y almacenamiento de la materia prima.

4.4. Selección de solventes

La selección del solvente a utilizar para la extracción de la bixina a partir de la semilla de onoto (Bixa Orellana L.) está basada en criterios de solubilidad y toxicidad. Al estudio realizado de las muestras patrón en remojo con cada uno de los solventes en estudio respectivamente (KOH al 2 %, n-hexano, acetato de etilo y etanol) se le hizo un primer descarte visual a aquellos viales donde no hubo mayor extracción durante el remojo de una hora, quedando para un segundo estudio de absorbancia vs longitud de onda mediante el equipo UV-visible, las muestras en presencia de n-hexano y KOH por tener una mayor extracción.

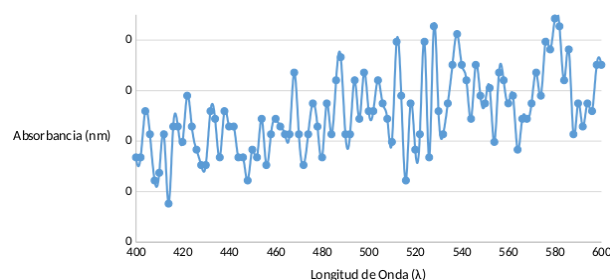


Figura 4: Absorbancia en función de la longitud de onda del N-Hexano al 96 % p/v

La Figura 4 presenta el comportamiento de la muestra n-hexano blanco, cuya composición es n-hexano al 96 % y es empleado como referencia para la futura lectura de la solución muestra patrón en n-hexano. Esta grafica guarda concordancia

con las señaladas de n-hexano en bibliografías y referencias, correspondiéndose exitosamente la obtenida experimentalmente con la teórica.

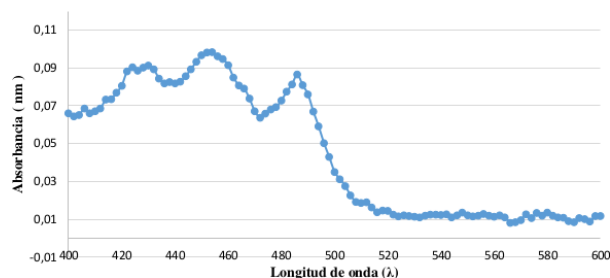


Figura 5: Absorbancia en función de la longitud de onda del N-Hexano al 0,1040 % p/v (N-Hexano muestra patrón)

La Figura 5 da el comportamiento de la muestra patrón en n-hexano, detallando su absorbancia en función de la longitud de onda. En dicho barrido se puede observar que para una longitud de onda de 454 λ , presenta una absorbancia de 0,0098 nm a una concentración de $(0,1040 \pm 0,0004) \% p/v$.

La bixina es un ácido carboxílico que, al agregarle un álcali acuoso, forma sales del álcali solubles en agua, lo cual hace posible extraer fácilmente el colorante, por ende el KOH (al 2 %) por ser un agente alcalino en medio acuoso presenta grandes potencialidades para esta extracción.

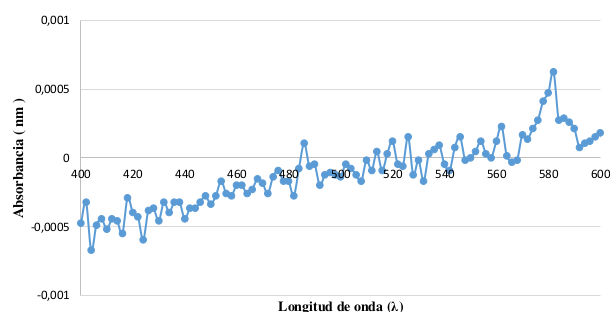


Figura 6: Absorbancia en función de la longitud de onda del Hidróxido de potasio al $(2,0000 \pm 0,0006) \% p/v$

La Figura 6 muestra la absorbancia en función de la longitud de la muestra patrón de KOH al 2 % utilizado como blanco referencial para la evaluación en el UV-visible antes de correr la

solución formada por la muestra patrón disuelta en KOH al 2 %.

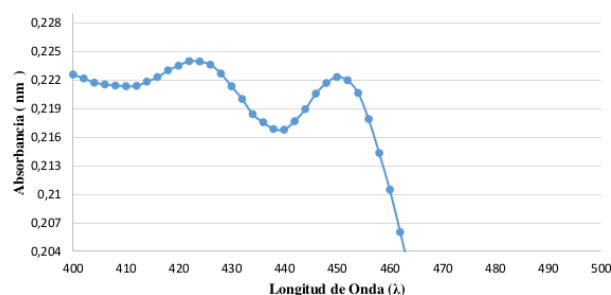


Figura 7: Absorbancia en función de la longitud de onda de la muestra patrón disuelta en hidróxido de potasio al $(0,0684 \pm 0,0002) \% p/v$.

En la Figura 7 se puede observar gráficamente como se manifiestan dos picos importantes de absorbancia, uno a 422 λ y el siguiente a los 450 λ , este último correspondiente al compuesto deseado (bixina) teniendo una mayor absorbancia según la referencia teórica en una longitud de onda entre 450 λ y 460 λ . Para una longitud de onda de 450 λ presentó una absorbancia de 0,2223 nm.

De esta manera claramente se puede tener mayor absorbancia en uso de KOH al $(2,0000 \pm 0,0006) \% p/v$ y con una concentración $(0,0684 \pm 0,0002) \% p/v$ que en empleo de N-hexano al 96 % y concentración $(0,1040 \pm 0,0004) \% p/v$.

Quedando definido el KOH al $(2,0000 \pm 0,0006) \% p/v$ como buen solvente extractor de bixina según el estudio realizado y sus incidencias toxicológicas mínimas, además de ser más económico que n-hexano y su empleo en menos cantidades que el acetato de etilo y etanol para una extracción adecuada.

4.5. Caracterización del extracto de bixina obtenido mediante el (los) solvente(s) seleccionado(s)

Una vez seleccionado el solvente más adecuado, hidróxido de potasio, por sus capacidades de extracción en ácidos carboxílicos, su baja toxicidad, su buen comportamiento con la bixina patrón (muestra) utilizada en la industria y su bajo costo en comparación con otros solventes y definida la metodología de procesamiento de la Bixa Orellana

L. (onoto) a través de un ensayo a escala de laboratorio para la obtención de la bixina, se caracteriza el mismo extracto.

4.6. Análisis de variables en proceso de extracción de la bixina a escala de laboratorio

Al analizar la incidencia del solvente durante el remojo de la semilla de onoto en el mismo, se pudo constatar que la extracción se realizaba de manera exitosa, sin embargo era necesario un segundo lavado con más solvente para el aprovechamiento máximo de la bixina presente, además de la ayuda de un agente mecánico (agitación) para facilitar la separación que se desarrolló.

Las extracciones se realizaron a diferentes relaciones de soluto solvente (1:1; 1:2; 1:3) respectivamente; a su vez se combinaron diferentes tiempos de remojo para analizar el tiempo de retención óptimo del proceso a escala de laboratorio.

La neutralización ocupa una etapa fundamental del proceso, gracias a ella se lleva a una condición de pH neutro el producto a obtener, y además se forma un precipitado que debería ser la bixina presente en la reacción. Al tener una solución alcalina (bixina disuelta en KOH al 2 %), que se hace reaccionar con un ácido fuerte (HCl al 5 %) se generan dos fases, una sólida la cual corresponde a la precipitación de la bixina y parte de la sal soluble de cloruro de potasio (KCl) que se forma y una fase acuosa donde debería estar presente la Nor-bixina (componente presente en la Bixa Orellana L. soluble en agua).

Este proceso de neutralización y generación de las fases sólida y acuosa se lleva a cabo exitosamente en cada una de las relaciones de extracción en estudio. En el proceso de separación de esta mezcla bifásica se utilizó un mecanismo de succión al vacío con filtrado microporoso, con la finalidad de atrapar la bixina y retirar la mayor humedad posible en esta etapa.

Es necesario resaltar que el producto sólido fue retenido por el material filtrante y la fase acuosa fue contenida en un quitasato, dicho lixiviado era de color naranja o rojizo, lo que nos indica presencia aun de agentes pigmentantes pero solubles en agua,

posiblemente corresponda a la nor-bixina obtenida como subproducto en el proceso de extracción.

Una vez obtenida la fase sólida del producto se dispuso en un horno a 50 °C durante 90 min con la finalidad de retirar la mayor cantidad de humedad restante en la muestra sólida obtenida, y alcanzar así un mayor grado de pureza de soluto extraído. La temperatura fue definida a 50 °C ya que con esa temperatura se garantizaba retiro del agua presente en la muestra y así no degradar las propiedades naturales y pigmentantes del producto.

Tabla 4: Masa final (M_f) del producto obtenido y rendimiento (R) de cada una de las relaciones de extracción en estudio

Muestra	M_f g	R (%)
A11	0,06670 ± 0,00004	4,4428 ± 0,0003
A21	0,06620 ± 0,00004	4,4036 ± 0,0003
A31	0,04070 ± 0,00003	2,7325 ± 0,0002
A12	0,09000 ± 0,00006	6,0092 ± 0,0005
A22	0,04940 ± 0,00004	3,2968 ± 0,0003
A32	0,01820 ± 0,00004	1,2054 ± 0,0003
A13	0,01920 ± 0,00001	1,2707 ± 0,0001
A23	0,06350 ± 0,00004	4,2210 ± 0,0003
A33	0,06320 ± 0,00004	4,2254 ± 0,0003
B11	0,04780 ± 0,00003	3,1769 ± 0,0002
B21	0,15800 ± 0,00009	10,4900 ± 0,0008
B31	0,16370 ± 0,00009	10,8497 ± 0,0008
B12	0,11340 ± 0,00008	7,5752 ± 0,0006
B22	0,11180 ± 0,00003	7,3873 ± 0,0005
B32	0,10460 ± 0,00007	6,9442 ± 0,0005
B13	0,09270 ± 0,00006	6,1542 ± 0,0005
B23	0,10370 ± 0,00006	6,8995 ± 0,0005
B33	0,1787 ± 0,00001	11,8415 ± 0,0009
C11	0,07730 ± 0,00005	5,1178 ± 0,0004
C21	0,11930 ± 0,00008	7,9486 ± 0,0006
C31	0,2459 ± 0,00001	16,3139 ± 0,0012
C12	0,13460 ± 0,00008	8,9110 ± 0,0007
C22	0,15460 ± 0,00009	10,2269 ± 0,0008
C32	0,11960 ± 0,00008	7,9813 ± 0,0006
C13	0,07390 ± 0,00005	4,9136 ± 0,0004
C23	0,08250 ± 0,00006	5,4941 ± 0,0004
C33	0,14880 ± 0,00009	9,9286 ± 0,0008

La Tabla 4 refleja el valor de rendimiento de colorante obtenido luego del secado para cada una de las relaciones de extracción en estudio. En el trabajo [15] se puede constatar los valores de las masas de la celulosa (material filtrante)

antes y después del filtrado, datos de partida para la determinación de la masa final de la muestra obtenida y rendimiento de la relación de extracción.

Una vez finalizado el proceso de extracción, filtrado, secado y obtención de rendimiento, se evalúa cual relación de variables es la más favorable para el proceso de producción de bixina a escala piloto.

Entre esas podemos observar que experimentalmente las extracciones que obtuvieron mayor rendimiento fueron B21, B31, B33, C31, C22.

Las muestras en estudio de la serie C utilizaron 25 % más solvente que la serie B, lo que se traduce en mayor gasto en consumo de solvente para la obtención del producto y con un rendimiento máximo de $(10,2269 \pm 0,0008) \%$; en el caso de la muestra C22 es menor a rendimientos de la serie B por lo que podemos descartar esta muestra C22. Por otra parte la muestra C31 da resultados fuera de los límites de confianza por lo cual este valor estadísticamente no es confiable y se descarta.

Quedando para seleccionar entre B21, B31, B33, se selecciona la relación de extracción B31 ya que tiene mayor rendimiento que la B21 y a su vez la muestra B31 se obtienen en un tiempo menor que el requerido para la relación B33.

La relación de extracción B31 se obtiene a través de una relación soluto, solvente de 1:2; por una determinada cantidad de soluto se emplea el doble de solvente, con 60 min de remojo más 90 min de remojo con agitación.

5. Estudio de la absorbancia del producto obtenido en el equipo UV-visible

La Figura 8 muestra las diferentes soluciones preparadas a partir del producto obtenido disuelto en KOH al $(2,0000 \pm 0,0006) \%$ y que a su vez son conocidas como solución 1, solución 2, solución 3 y solución 4, cuyas concentraciones están detalladas bajo los cálculos típicos correspondientes.

La Figura 9 muestra el comportamiento de la absorbancia en función de longitud de onda de la solución 1, concentración de $(0,0171 \pm 0,0004) \%$ p/v en empleo de KOH al $(2,0000 \pm 0,0006) \%$ donde se reflejan pronunciados picos debido a la alta concentración de soluto por solvente utilizado,



Figura 8: De derecha a izquierda solución madre, solución 1, solución 2, solución 3 y solución 4

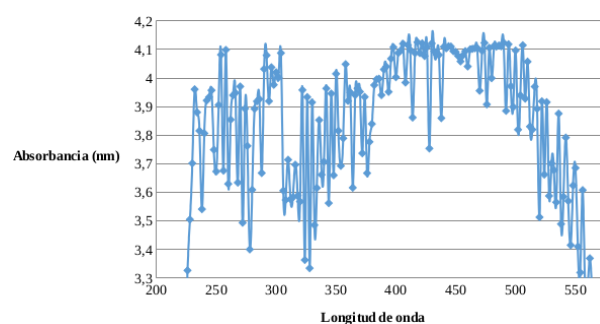


Figura 9: Absorbancia en función de longitud de onda de la solución 1, concentración de $(0,0171 \pm 0,0004) \%$ p/v

no se aprecia claramente la mayor absorbancia por longitud de onda (λ).

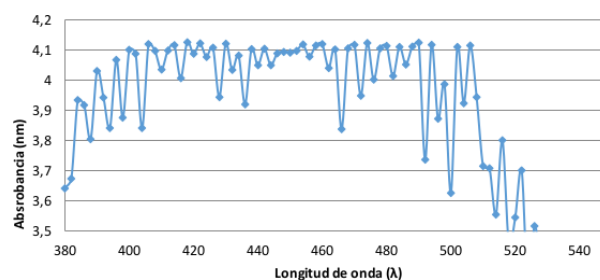


Figura 10: Absorbancia en función de longitud de onda de la solución 2, concentración de $(0,01129 \pm 0,0004) \%$ p/v

La Figura 10 refleja la absorbancia en función de longitud de onda de la solución 2, que tiene una concentración de $(0,01129 \pm 0,0004) \%$ p/v en empleo de KOH al $(2,0000 \pm 0,0006) \%$, se

puede apreciar menor cantidad de picos que en la Figura 9, debido a que se empleó una mayor dilución pero aun así resulta dificultoso apreciar la mayor absorbancia en función de la longitud de onda.

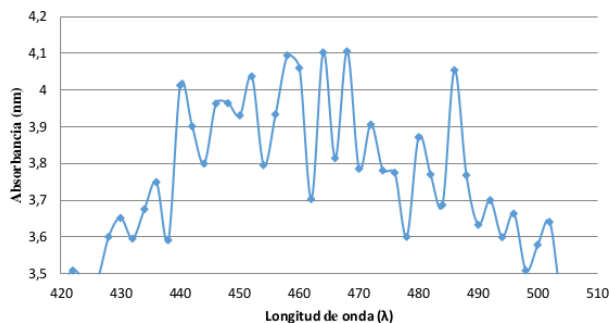


Figura 11: Absorbancia en función de longitud de onda de la solución 3, concentración de $(0,0099 \pm 0,0004) \% p/v$

La Figura 11 establece la absorbancia en función de longitud de onda de la solución 3, cuya concentración es de $(0,0099 \pm 0,0004) \% p/v$ en empleo de KOH al $(2,0000 \pm 0,0006) \%$, aunque se puede apreciar menos cantidad de picos debido al aumento de la dilución y curvas más suavizadas aun no refleja un valor claro de absorbancia por longitud de onda.

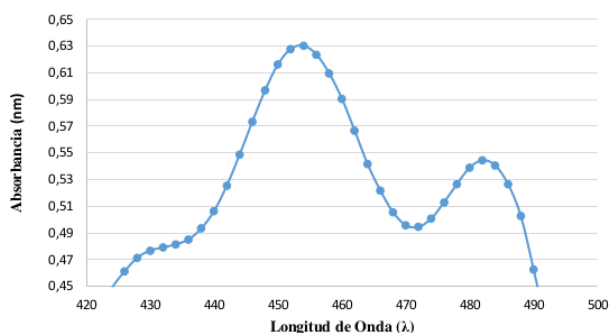


Figura 12: Absorbancia en función de longitud de onda de la solución 4, concentración de $(0,0086 \pm 0,0004) \% p/v$

La Figura 12 muestra una relación de Absorbancia en función de longitud de onda correspondiente a la solución 4, cuya concentración es de $(0,0086 \pm 0,0004) \% p/v$ en empleo de KOH al $(2,0000 \pm 0,0006) \%$.

A medida que se diluye el producto obtenido en mayor cantidad de KOH se puede observar una mejor representación gráfica, dejando en evidencia la alta pureza de lo obtenido.

En la Figura 12 se puede observar la mayor absorbancia en una longitud de onda de 454λ , ubicándose entre 450λ y 460λ , correspondiendo al valor teórico de longitud de onda de la bixina, pudiendo constar que el producto obtenido corresponde con el producto deseado además de tener un alto grado de pureza al presentar una absorbancia de $0,6302$ y con una concentración de producto en el solvente de $(0,0086 \pm 0,0004) \% p/v$.

6. Conclusiones

El tipo de suelo estudiado es franco arenoso y con un pH ligeramente ácido aproximado de $5,7$ ambas condiciones de suelo óptimas para el cultivo de la planta *Bixa Orellana L.* La cantidad de materia en semillas contenidas por cápsula de *Bixa Orellana L.* es de $(2,9922 \pm 0,0005) g$. El KOH al 2% es el solvente más adecuado para llevar a cabo la extracción de la Bixina a partir de la semilla de *Bixa Orellana L.* según criterios de afinidad química, rendimiento y toxicidad. Las mejores condiciones de operación para la extracción de la bixina son de 60 min de remojo y 90 min de agitación, además de una relación de $1:2$, soluto–solvente, obtiene así mayor rendimiento de extracción de $(10,8497 \pm 0,0008) \%$. El producto obtenido de la extracción a escala de laboratorio es bixina, debido a que a su mayor valor de absorbancia se presentó a una longitud de onda 454λ , correspondiéndose este valor con los referentes teóricos bibliográficos. La bixina es químicamente neutra, es decir con un pH de 7 ; es soluble en aceite y poco soluble en agua. La bixina aplicada en alimentos no desprende color adquirido una vez puesto el alimento en contacto con agua caliente; logra generar pigmentación en el alimento aplicado, generando así una variación de las características físicas del mismo. La ingesta de alimentos en cuya elaboración se utiliza el producto como colorante no genera efectos secundarios no deseados para la salud del consumidor. Con todo lo anterior, puede diseñarse una planta operativa, con

una meta de producción de 12000 kg de colorante al año.

Agradecimientos

Los autores agradecen a la empresa Cooperativa Arepas y Maíz 062, R.L y en particular al Gerente José Camacaro Rondon por su valiosa colaboración en el desarrollo de este importante proyecto de investigación que contribuye con el desarrollo de nuestro país.

7. Referencias

- [1] S. Baudi. *Química de los alimentos*. Editorial Pearson, México, 4 edition, 2006.
- [2] S. Pérez, M. Cuen y R. Becerra. El achiote. *Revista Biodiversitas*, 46:7–11, 2003.
- [3] L. Narváez. Obtención del pigmento natural del fruto de evilán (*Monnina spp*) para su uso como colorante en yogurt. Trabajo especial de grado, Universidad Politécnica Estatal del Carchi, Ecuador, 2015.
- [4] C. Beltrán. Diseño de un sistema de costos para una empresa agroindustrial de colorantes naturales – achiote. Trabajo de grado de maestría, Universidad Nacional Mayor de San Marcos, Perú, 2014.
- [5] W. Rey. Extracción de tocotrienoles a partir de la semilla del achiote (*bixa orellana*), usando CO₂ supercrítico como solvente. Trabajo especial de grado, Universidad del Valle, Colombia, 2012.
- [6] Alokesh Das, Subrata Mandal, and Sudipa Nag. Seed germination of annatto (*Bixa Orellana L.*)- A review. *International Journal of Recent Scientific Research*, 9(4(j)):26257–26260, 2018.
- [7] Priscila Ambrósio Moreira, Juliana Lins, Gabriel Dequigiovanni, Elizabeth Ann Vease, and Charles R. Clement. The domestication of annatto (*bixa orellana*) from *bixa urucurana* in amazonia. *Economic Botany*, 69(2):127–135, 2015.
- [8] C. Gallardo-Cabrera and A. Rojas-Barahona. Stability study of an aqueous formulation of the annatto dye. *International Food Research Journal*, 22(5):2149–2154, 2015.
- [9] K. Solymosi, N. Latruffe, A. Morant-Manceau, and B. Schoefs. Food colour additives of natural origin. In *Colour Additives for Foods and Beverages*, Food Science, Technology and Nutrition, chapter 1, pages 3–34. WoodHead Publishing, 2015.
- [10] R. Erazo y M. Caso. Diseño de una planta de producción carmín y annatto. *Revista Periódica Química, Ingeniería Química*, 3(1):48–56, 2001.
- [11] Letícia F. Santos, Vanessa M. Dias, Viviane Pilla, Acácio A. Andrade, Leandro P. Alves, Egberto Munin, Viviane S. Monteiro, and Sérgio C. Zilio. Spectroscopic and photothermal characterization of annatto: Applications in functional foods. *Dyes and Pigments*, 110:72–79, 2014.
- [12] P. Giridhar, Akshatha Venugopalan, and R. Parimalan. A review on annatto dye extraction, analysis and processing – a food technology perspective. *Journal of Scientific Research & Reports*, 3(2):327–348, 2014.
- [13] J. Costa, C. March, C. García, M. Teixido y A. Mata. *Introducción a los procesos, operaciones unitarias y los fenómenos de transporte*. Editorial Reverte, S.A., España, 2004.
- [14] W. McCabe, J. Smith y H. Peter. *Operaciones unitarias en Ingeniería Química*. Editorial McGraw Hill/Interamericana Editores S. A. de C.V., México, 7a edition, 2002.
- [15] José L. Camacaro F. y José G. Gómez C. Desarrollo de un colorante liposuble a partir de la semilla de onoto (*bixa orellana l.*) como insumo para la industria de alimentos. Trabajo especial de grado, Escuela de Ingeniería Química, Facultad de Ingeniería, Universidad de Carabobo, Valencia, Venezuela, 2018. Tutor: Lisbeth Manganiello.
- [16] Centro Nacional de Tecnología Agropecuaria y Forestal, El Salvador. *El Cultivo del Achiote, Bixa Orellana L.*, 2016. Manual Técnico.
- [17] J. Devia y L. Saldarriaga. Planta piloto para obtener colorante de la semilla del achiote (*bixa orellana*). *Revista Universidad EAFI*, 39(131):8–22, 2003.

Evaluation of water availability in the Cabanillas river basin of the Peruvian Altiplano under regionalized climatic scenarios

Isidro A. Pilares Hualpa^{*a,b,c}, Néstor Montalvo^c, Abel Mejía M^c, Edilberto Guevara-Pérez^d, G. Fano M.^c, R. Alfaro A^a

^aFacultad de Ingeniería Agrícola, Universidad Nacional del Altiplano Puno, Perú

^bUniversidad Andina Néstor Cáceres Velásquez, Juliaca, Perú

^cUniversidad Nacional Agraria La Molina, Lima, Perú

^dInstituto Hidrología Aplicada y Medio Ambiente (IHAMA), Lima, Perú

Abstract.- The objective of the research is to establish a model to evaluate the water availability of the hydrographic unit of the Cabanillas River (2,845 km²) belonging to Lake Titicaca in the Peruvian Altiplano for different scenarios of regionalized climate change. For the hydrological modeling of the regulated water availability of the Cabanillas river basin, the WEAP model was used to evaluate the behavior of the availability for the Lagunillas integral system considering the effects of climate change of the current and future scenario on the storage system and water demands. The regionalized climate scenarios of three (3) global models were used: CANESM2, CNRM-CM5 and MPI-ESM-MR; and two (2) emission scenarios: an intermediate scenario, RCP 4.5; and a pessimistic scenario, RCP 8.5. The model was constructed based on a future scenario projected for the year 2099. The results indicate that only 80 % of the demand of the studied hydrographic unit is satisfied; however, climate change has a positive effect on water inputs, which is manifested in an increase of 15 % to 20 % in water availability for the Integral System of Lagunillas in all scenarios, notably those of CANESM2-RCP4.5 and CANESM2-RCP8.5.

Keywords: water availability; climate change; WEAP; water demand.

Evaluación de la disponibilidad hídrica en la cuenca del río Cabanillas del Altiplano peruano bajo escenarios climáticos regionalizados

Resumen.- El objetivo de la investigación es el de establecer un modelo para evaluar la disponibilidad hídrica de la unidad hidrográfica del río Cabanillas (2,845 km²) perteneciente al Lago Titicaca en el Altiplano peruano para diferentes escenarios de cambio climático regionalizado. En la modelación hidrológica de la disponibilidad hídrica regulada de la cuenca del río Cabanillas utilizando el modelo WEAP para evaluar el comportamiento de la mencionada disponibilidad para el sistema integral de Lagunillas considerando los efectos del cambio climático del escenario actual y futuro sobre el sistema de almacenamiento y demandas de agua. Se usaron los escenarios climáticos regionalizados de tres (3) modelos globales: CANESM2, CNRM-CM5 y MPI-ESM-MR; y dos (2) escenarios de emisión: un escenario intermedio, RCP 4.5; y un escenario pesimista, RCP 8.5. El modelo se construyó en base a un escenario futuro proyectado para el año 2099. Los resultados indican que solo se satisface el 80 % de la demanda; sin embargo, el cambio climático ejerce un efecto positivo sobre los aportes hídricos, el cual se manifiesta en un incremento del 15 % a 20 % de la disponibilidad hídrica para el Sistema Integral de Lagunillas en todos los escenarios, destacándose los de CANESM2-RCP4.5 y CANESM2-RCP8.5.

Palabras claves: disponibilidad Hídrica; cambio climático; WEAP; demanda de agua.

Recibido: junio 2018

Aceptado: julio 2018

1. Introducción

El cambio climático y el uso de los recursos por las actividades humanas (irrigación, abaste-

cimiento de agua potable, industrias, minería), entre múltiples factores, son los más importantes que se deben considerar para la disponibilidad del recurso hídrico en una cuenca, debido a que el recurso hídrico en el Perú, como en muchas regiones del mundo es cada vez más escaso [1, 2]. El Perú es conocido como un país vulnerable a los efectos nocivos del cambio climático, posee

*Autor para correspondencia: Isidro A. Pilares Hualpa
isidro050854@hotmail.com

siete de las nueve características de vulnerabilidad definidos [3], lo cual refleja un alto grado de exposición a las amenazas dado, por ejemplo, en el desarrollo urbano y de la agricultura no se contemplan los riesgos climáticos a los cuales están expuestos. En cuanto al uso agrícola, el Proyecto Integral Lagunillas, cuya ubicación se muestra en la Figura 1, es uno de los proyectos hidráulicos más importantes del Sur del Perú, que posibilitará la incorporación al riego de 30,844 has distribuidos en diez (10) sectores de riego, con las aguas reguladas del río Ichocollo en el embalse Lagunillas y afluentes del río Cabanillas. El esquema hidráulico del Sistema Integral Lagunillas (SIL), ver Figura 2, el cual está conformado por una Presa de almacenamiento en la laguna de Lagunillas, ya construido y en operación, y diferentes sistemas de captación, conducción y distribución de agua en proceso de implementación, que permitan el riego de los distintos sectores [4].

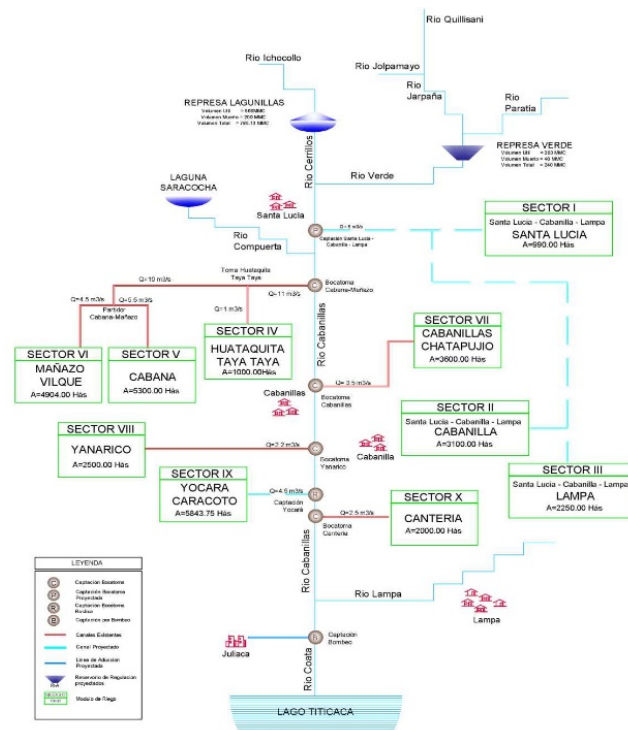


Figura 2: Esquema hidráulico del proyecto integral Lagunillas

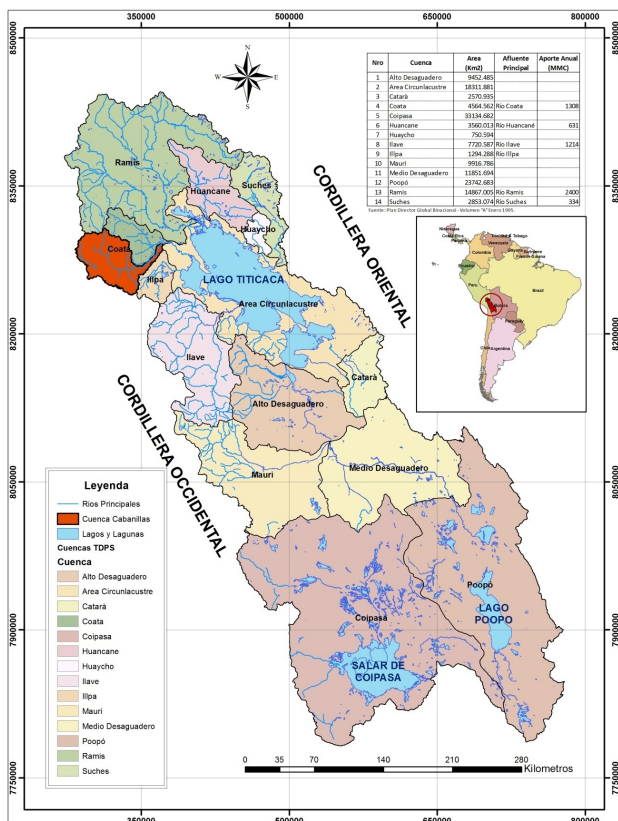


Figura 1: Ubicación geográfica de la Cuenca de Cabanillas

Una de las formas de demostrar los cambios climáticos en la disponibilidad del recurso hídrico es modelando las proyecciones climáticas bajo escenarios de emisiones de Modelos Climáticos Globales (MCG) [5] para acoplar a un modelamiento hidrológico con software para evaluación y planeación del uso del agua, por lo que en este trabajo se aplicó el modelo WEAP (Water Evaluation and Planning) [6], que es un modelo capaz de realizar escenarios futuros a partir de un escenario actual de disponibilidad, con el ingreso de datos climáticos, caracterización de la cuenca, cobertura vegetal y validación y calibración del modelo entre otros de interés, como lo analizaron en aspectos agrícolas [7], relacionando la incertidumbre socioeconómica [8], impacto de la operación de reservorios [9], y la aplicación del downscaling [10].

La presente investigación tiene por objetivo validar y calibrar los parámetros del modelo hidrológico WEAP, para determinar la disponibilidad hídrica en la cuenca del río Cabanillas; así como analizar el efecto de diferentes escenarios del

Cambio Climático sobre la disponibilidad hídrica para la producción agrícola y el abastecimiento de agua potable para la cuenca del río Cabanillas.

2. Antecedentes

En la región Rheraya, Marruecos, Rochdane, *et al.* [11] muestran un incremento en la temperatura de aproximadamente 2–3°C y una reducción en la precipitación del 40-60 % con respecto a la línea de base, concluye que existirá una mayor competencia por las aguas superficiales, y que las demandas domésticas, turísticas, ganaderas y agrícolas no se cumplirán para el año 2100, analizando estrategias de adaptabilidad. Asimismo, en el norte de China, se ha encontrado que la construcción de más embalses puede aliviar la escasez actual de agua y los problemas de agotamiento del agua subterránea [12]; sin embargo, esta opción no es necesariamente la medida más efectiva para resolver problemas de suministro de agua; en cambio, mejorar la eficiencia del riego y cambiar la estructura de cultivo puede ser más efectivo. Maliehe and Mulungu [13] evaluaron dos escenarios, primero para el escenario de referencia, las demandas industriales de Metolong de 1.46 Mm³ y las demandas ambientales de 2.29 Mm³ no se cumplieron; en segundo lugar, para el escenario de la expansión del riego, al aumentar la superficie de riego en 12.3 %, no se cumplieron las demandas de 4.44 Mm³ (irrigación representa el 65.65 % de la insatisfecha). Por lo tanto, el estudio recomienda un plan de riego para la cuenca.

López-García, *et al.* [14] realizaron una modelación con el programa WEAP para determinar el impacto de los escenarios de cambio climático RCP 4.5 y 8.5 en los recursos hídricos en el periodo 2015–2030 en el Valle de Galeana, Nuevo León, México, cuyos resultados muestran que la situación del acuífero con escenarios de cambio climático y con el uso actual del agua es crítica, pues en ambos escenarios analizados se tendrían afectaciones importantes en el acuífero a partir de 2015, ocurriendo un mínima recarga hacia el acuífero de 0.96 y 1.5 % con respecto a su capacidad total durante los meses de lluvia típicos (agosto y septiembre, respectivamente). Considerando el

escenario de adaptación de cambio en sistemas de riego, se espera una ligera recuperación a partir del año 2023, alcanzando un máximo de recarga de 3.11 Mm³ en temporada de lluvia.

Ahmadaali, *et al.* [7] mencionan que el lago Urmia como un lago hiper salino y muy poco profundo, ubicado en el noroeste de Irán, experimenta reducciones de nivel de agua de aproximadamente 40 cm cada año en las últimas dos décadas; los resultados muestran que los valores más altos de los índices de sostenibilidad ambiental y sostenibilidad agrícola están relacionados con el escenario de combinar el cambio del patrón de cultivo con la mejora de la eficiencia total de riego en el escenario de emisiones B1 (B1S4).

3. Materiales e información básica

Para simular la demanda de agua total futura con el modelo WEAP se utiliza la información cartográfica procesada por un Sistema de Información Geográfica (SIG), a fin de obtener las áreas de cuencas y otras características de las mismas. Se utiliza la información de siete (7) estaciones pluviométricas (Tabla 1) y la demanda Hídrica total proyectada del Sistema Integral Lagunillas, dada en la Tabla 2.

3.1. Ubicación

La cuenca del río Cabanillas, se ubica al sur del Perú, en el altiplano de la Región de Puno, ver Figura 1; y tiene una extensión de aproximadamente 2,845 km², unos 338 km de perímetro, y altitudes máxima y mínima de 4,750 y 3,950 msnm, respectivamente.

El río Cabanillas se forma por la unión de los ríos Verde y Cerrillos (Figura 3), este último de régimen regulado por la presa Lagunillas. El río Cerrillos es el efluente del embalse Lagunillas y el río Ichocollo el principal afluente, inicialmente este río toma los nombres de Orduña y Borracho. El río Verde se conforma por la confluencia de los ríos Paratía y Jarpaña, este último inicialmente toma el nombre de Quillisani, tal como se muestra en el esquema hidráulico de la Figura 2.

Tabla 1: Estaciones pluviométricas utilizadas

Estación	Cuenca	Tipo	Latitud	Longitud	Altitud (msnm)
Crucero Alto	Coata	PLU	15°46'01.0	70°55'01.0	4470
Hacienda Colini	Tambo	PLU	15°39'00.0	70°53'00.0	4380
Jarpaña	Coata	PLU	15°34'00.0	70°43'00.0	4250
Lagunillas	Coata	CO	15°46'02.1	70°39'32.4	3970
Pampahuta	Coata	CO	15°29'00.7	70°40'32.8	4400
Paratia	Coata	PLU	15°27'00.0	70°36'00.0	4300
Santa Lucia	Coata	PLU	15°42'00.0	70°36'00.0	4050

Tabla 2: Demanda Hídrica total proyectada del Sistema Integral Lagunillas. Unidades: Q = Caudal m³/s, V = Volumen Hm³

Demanda	Poblacional: Puno, Juliaca y Lampa		Agrícola		Ecológica		Industrial, Minero		Total	
	Q	V	Q	V	Q	V	Q	V	Q	V
Ene	1.500	4.018	14.012	47.022	2.263	6.060	0.395	1.058	18.170	58.158
Feb	1.500	3.629	7.896	23.934	2.505	6.060	0.395	0.956	12.296	34.578
Mar	1.500	4.018	7.959	26.709	2.263	6.060	0.395	1.058	12.117	37.845
Abr	1.500	3.888	12.634	41.030	2.338	6.060	0.395	1.024	16.867	52.001
May	1.500	4.018	11.764	39.478	2.263	6.060	0.395	1.058	15.922	50.613
Jun	1.500	3.888	11.310	36.729	2.338	6.060	0.395	1.024	15.543	47.701
Jul	1.500	4.018	10.717	35.965	2.263	6.060	0.395	1.058	14.875	47.101
Ago	1.500	4.018	8.918	29.927	2.263	6.060	0.395	1.058	13.076	41.063
Sep	1.500	3.888	11.123	36.122	2.338	6.060	0.395	1.024	15.356	47.094
Oct	1.500	4.018	17.110	57.422	2.263	6.060	0.395	1.058	21.268	68.557
Nov	1.500	3.888	20.889	67.838	2.338	6.060	0.395	1.024	25.122	78.810
Dic	1.500	4.018	20.567	69.018	2.263	6.060	0.395	1.058	24.725	80.154
Media Q	1.500		12.908		2.308		0.395		17.111	
Total	V	47.304		511.193		72.720		12.457		643.674
	%D	7.3		79.4		11.3		1.9		100.0



Figura 3: a) Origen del rio Cabanillas, b) Presa Lagunillas, salida Rio Cerrillos

La presa Lagunillas permite almacenar los recursos hídricos de un área aproximada de 650 km², volumen que se usa para atender las demandas hídricas de uso agrícola para los diez (10) sectores de riego existentes, así como las demandas de

uso poblacional, ecológica, industrial y minera. A todo el conjunto se denomina Sistema Integral de Lagunillas [4].

3.2. Estaciones pluviométricas

Las estaciones pluviométricas en la cuenca del Cabanillas, Tabla 1, se encuentran en zonas en las que se presentan precipitaciones entre las cotas del punto objetivo y las cotas más elevadas, [15].

3.3. Demanda hídrica

La demanda hídrica del Sistema Integral Lagunillas comprende: a) uso poblacional de las ciudades Puno, Juliaca y Lampa, b) ampliación de la frontera agrícola, c) desarrollo industrial - minero y d) demanda ecológica del Sistema Integral Lagunillas, el cual representa una demanda total de 643.674 hm³ año⁻¹, de los cuales el uso agrícola representa el 79.40 % de la demanda

hídrica total del sistema, información presentada en la Tabla 2 [4].

4. Metodología

Las técnicas y procedimientos de análisis en el estudio se pueden diferenciar tres grandes procesos realizados (Figura 4)

- a) Proceso de modelamiento hidrológico usando el modelo WEAP.
- b) Proceso de proyecciones climáticas.
- c) Proceso de generación de escenarios de cambio climático.

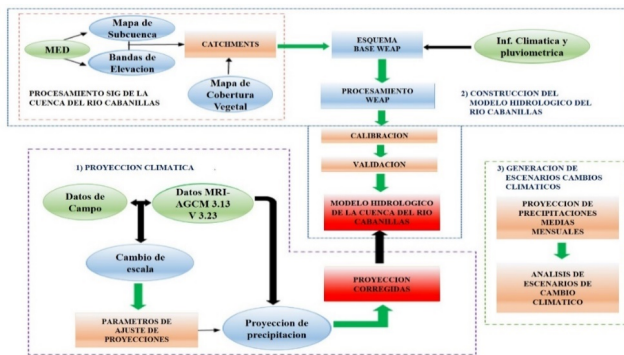


Figura 4: Esquema Metodológico usado en la Investigación

4.1. Modelamiento hidrológico WEAP

Se utilizó el sistema de modelamiento hidrológico Water Evaluation and Planning (WEAP), que posee una interfaz gráfica basada en SIG de la cuenca con el procesamiento:

Mapa de subcuencas. Los mapas de las subcuencas se obtuvieron a partir del Modelo de Elevación Digital (MED) ASTER GDEM 2 con resolución espacial de 30 m. Se agruparon en unidades más amplias, en torno a los principales ríos de la cuenca, a fin de simplificar su modelamiento hidrológico [16]. Se definieron 22 subcuencas, siendo la subcuenca del río Verde y la subcuenca del río Cerrillos las que constituyen el sistema Lagunillas.

Mapa de bandas de elevación. El mapa de bandas de elevación se obtuvo a partir del Modelo de Elevación Digital (MED) ASTER GDEM 2 con resolución espacial de 30 m. La cuenca fue dividida en bandas de elevación, reclasificando el MED de la cuenca.

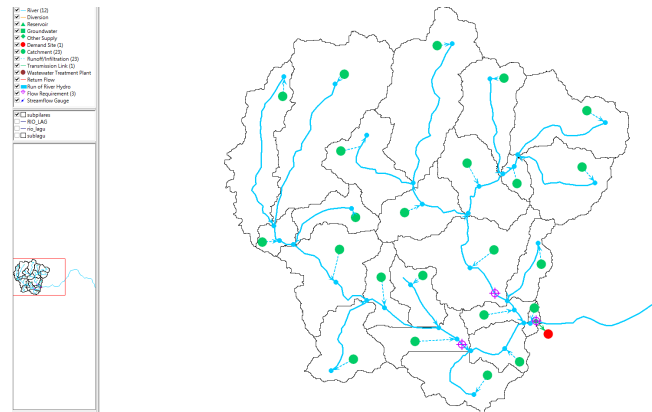


Figura 5: Las 22 subcuencas y red hídrica obtenida por WEAP

Mapa de vegetación y uso de la tierra. La información de la cobertura vegetal de la cuenca elaborada para el Proyecto Especial Lago Titicaca [17], fue agrupada de acuerdo con criterios de clasificación de tipos de cobertura más representativa, lo cual permitió simplificar el desarrollo del modelo [16]. Intersectando los mapas de subcuencas y de bandas de elevación, la cuenca quedó dividida en 22 áreas (porciones), como se aprecia en la Figura 5. Las áreas y perímetros de cada una de estas porciones están dadas en la Tabla 3.

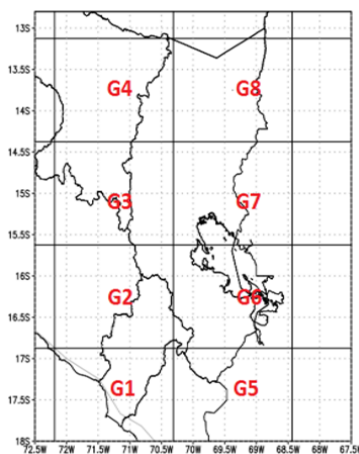
Luego se calcularon las áreas de cada porción y se creó el esquema base dentro de modelo WEAP.

4.2. Proyecciones climáticas

Se utilizó las proyecciones climáticas como punto de partida para definir escenarios climáticos. De la información sobre los modelos de escenarios obtenida para Puno [18], se utilizó el modelo de mejor comportamiento; es decir el HadGEM-ES de precipitación para la región Puno; obteniéndose de ese modo información con las coordenadas para cada una de las grillas para el periodo 2005–2099, como se muestra en la Figura 6 [15].

Tabla 3: Áreas y perímetros de subcuencas del modelo dadas en la Figura 5

Subcuenca	GridID	Área	Perímetro
SC0	1696	185.823	89.134
SC1	1710	233.195	112.854
SC2	1729	116.748	90.988
SC3	1731	123.418	69.306
SC4	1735	87.765	60.967
SC5	1754	17.299	23.349
SC6	1757	85.266	59.855
SC7	1763	86.803	58.558
SC8	1765	94.16	54.481
SC9	1776	70.929	51.516
SC10	1785	149.997	83.760
SC11	1793	45.75	50.219
SC12	1804	20.93	28.353
SC13	1821	115.975	71.345
SC14	1822	38.736	43.733
SC15	1824	43.097	54.481
SC16	1828	75.127	53.184
SC17	1829	26.416	36.877
SC18	1833	6.473	16.122
SC19	1837	41.569	38.359
SC20	1838	44.762	41.510
SC21	1841	52.163	50.590
SC22	1854	79.901	58.373
		1842.3	



- G1: lon.1 = -71; lat.1 = -17.5
- G2: lon.1 = -71; lat.1 = -16.5
- G3: lon.1 = -71; lat.1 = -15.0
- G4: lon.1 = -71; lat.1 = -13.5
- G5: lon.1 = -70; lat.1 = -17.5
- G6: lon.1 = -70; lat.1 = -16.5
- G7: lon.1 = -70; lat.1 = -15.0
- G8: lon.1 = -70; lat.1 = -13.5

Figura 6: Coordenadas para cada punto de grillas

Como se ha mencionado, los modelos utilizados para los escenarios son de Circulación General (MCG) regionalizados provenientes de tres (3)

modelos globales (CANESM2, CNRM-CM5 y MPI-ESM-MR) y 2 escenarios de emisión (un escenario intermedio: RCP 4.5; y un escenario pesimista: RCP 8.5), con un total de seis (6) escenarios posibles, basados en lo indicado en la referencia [19]. En la Tabla 4 se dan los escenarios climáticos para los periodos presente, histórico y futuro.

Tabla 4: Escenarios climáticos para los periodos presente, histórico y futuro

Escenarios Climáticos	Periodo	Codigo
Data presente (observada)	Histórico 1956 - 2016	DP
MPI-ESM-MR - RCP4.5	Futuro Cercano y Lejano 2011 - 2099	MPI 4.5
MPI-ESM-MR - RCP8.5		MPI 8.5
CANESM2 - RCP4.5		CAN 4.5
CANESM2 - RCP8.5		CAN 8.5
CN RM-CM5 - RCP4.5		CNR 4.5
CN RM-CM5 - RCP8.5		CNR 8.5

La evaluación del cambio climático en la hidrología de la cuenca del río Cerrillos y río Verde se realiza comparando los resultados calculados de los escenarios futuros con el escenario histórico por medio del modelo WEAP.

4.3. Proceso de generación de escenarios

Para el modelamiento del sistema se consideraron las siguientes variaciones

- Bajo condiciones reales con información histórica y
- Bajo influencia del cambio climático.

Se asumieron, además, tres (3) escenarios de operación del almacenamiento y demandas

- Funcionando solo con almacenamiento de la Presa Lagunillas;
- Funcionando con trasvasamiento de las aguas del río Verde a la Presa de Lagunillas; y

- Funcionando con almacenamiento de la Presa de Lagunillas; y almacenamiento en la Presa del rio Verde.

En la Figura 4 se presenta un resumen del esquema metodológico usado en la investigación, diferenciándose los tres grandes procesos realizados.

5. Resultados

Los resultados se centran en la evaluación de la información histórica y de los seis escenarios hidrológicos con efecto de Cambio Climático, proyectados en las estaciones pluviométricas para dos periodos de tiempo continuos: para información histórica desde enero de 1956 a diciembre de 2016; y futuro desde enero de 2005 a diciembre de 2099.

5.1. Calibración del modelo hidrológico

La calibración y validación del modelo hidrológico se llevó a cabo comparando los caudales simulados y/o generados por el modelo WEAP con la serie de caudales mensuales observados, correspondientes a un registro de 25 años entre 1969 y 1993. El ajuste entre datos simulados y observados es muy bueno, con una adecuada representación de la estacionalidad de los datos de precipitaciones de la Cuenca del río Cabanillas. Los resultados de los ajustes de la calibración se presentan en la Tabla 5.

Tabla 5: Valores de índices estadísticos de la calibración

Indice	Valor
Nash	0.998562
Pearson correlation coeff	0.8619
Kling-gupta Efficiency	0.466195
Bias Score	0.979
RRMSE	0.758395
Relative Volumen Bias	0.0123
Normalized Peak Error	0.145

La curva de los caudales generados se aproxima y tienden a presentar el mismo comportamiento de la curva de caudales observados, en lo cual se realiza la aceptación de esta evaluación grafico

visual. Utilizando el método de error cuadrático se tiene como resultado de 0.758395, en porcentaje 75.8 %, que lo ubica como insatisfactorio en el rango $0.70 > RSR$. El valor obtenido por el método de Nash es de 0.998562, por lo que es una calibración válida con un rendimiento de “Muy Bueno” porque este se encuentra entre los valores de $0.75 < E \leq 1$.

El valor obtenido por el método de Bias normalizado es de 0.979, indicando un resultado de sobrestimación. El valor obtenido en el coeficiente de Error en Volumen es de 0.012 es decir de 1.2 % que se ubica con un rendimiento de Muy Bueno de $< 10 \%$. Los resultados anteriores indican que el modelo WEAP podría modelar el flujo mensual razonablemente bien y podría usarse para propósitos de proyección futura [12].

5.2. Escenarios de modelamiento bajo condiciones reales con información histórica

Los resultados de los escenarios de modelamiento bajo condiciones reales con información histórica se detallan en la Tabla 5 y las Figuras 7 y 8 representan al primer escenario, las Figuras 9 y 10 al segundo escenario y las Figuras 11 y 12 al tercer escenario.

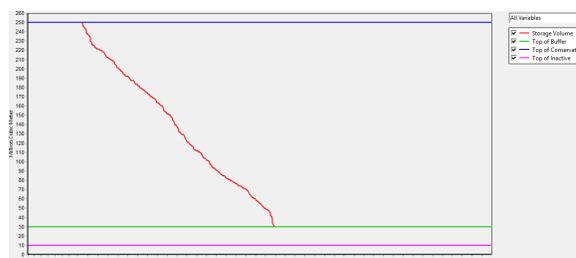


Figura 7: Volúmenes Almacenados operando solo Lagunillas

De la Tabla 6 se desprende en cuanto a los:

Volúmenes almacenados

En el primer escenario el embalse de Lagunillas presenta hasta un 11 % de tiempo de exceso o rebose en el almacenamiento, el almacenamiento entre los 30 y 250 Mm³ va variando linealmente de 13 a 53 % y de 53 % a 100 % el almacenamiento esta en 30 Mm³, ver Figura 7 y Tabla 6.

Tabla 6: Resumen de resultados bajo condiciones reales

Modelamiento del sistema	Bajo condiciones reales y con informacion historica (1956-2016)		
	1er Escenario	2do Escenario	3er Escenario
1. Solo con almacenamiento de embalse lagunillas	Demanda Satisfecha en un 30 %		
2. Con tranvasamiento de las aguas del rio verde al embalse presa lagunillas	Demanda Satisfecha en un 52 %		
3. Con almacenamiento de la presa lagunillas y almacenamiento de embalse rio verde	Demanda Satisfecha en un 60 %		
4. Volúmenes almacenados			
- Con exceso o rebose	11 %	13 %	15 %
- Volumen util	13 % - 53 %	13 % - 72 %	15 % - 78 %
- Almacenamiento minimo (30 Mm ³)	53 % - 100 %	72 % - 100 %	75 % - 100 %

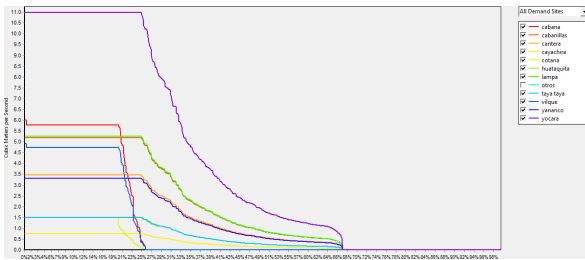


Figura 8: Demandas entregadas operando solo Lagunillas y demandas planteadas (100 %)

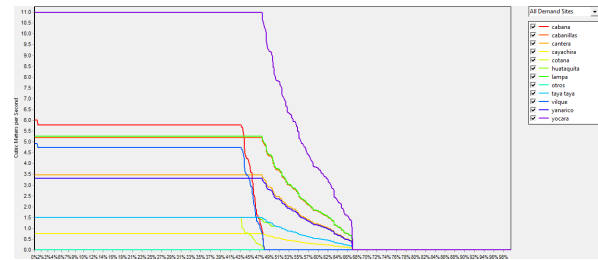


Figura 10: Demandas entregadas satisfechas Operando solo Lagunillas y trasvase de las aguas del rio Verde a Lagunillas y con las demandas planteadas (100 %)



Figura 9: Volúmenes Almacenados operando y trasvasando del rio Verde a Lagunillas y con las demandas planteadas (100 %)

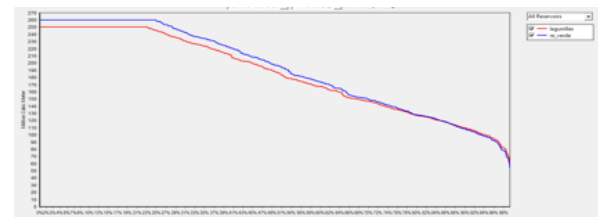


Figura 11: Volúmenes Almacenados en Lagunillas, Operando Lagunillas, y reservorio Verde y con las demandas planteadas (100 %)

En el segundo escenario el embalse de Lagunillas presenta hasta un 13 % del tiempo de exceso o rebose en el almacenamiento, el almacenamiento entre los 30 y 250 Mm³ va variando linealmente de 13 a 72 % y de 72 % a 100 %, el almacenamiento esta en 30 Mm³, ver Figura 9 y Tabla 6.

En el tercer escenario el embalse de Lagunillas

presenta hasta un 15 % del tiempo de exceso o rebose en el almacenamiento, el almacenamiento entre los 30 y 250 Mm³ va variando linealmente de 13 a 72 % y de 72 % a 100 % el almacenamiento esta en 30 Mm³, ver Figura 11 y Tabla 6.

Se concluye que el tiempo de rebose se incrementa a partir del primer escenario en un

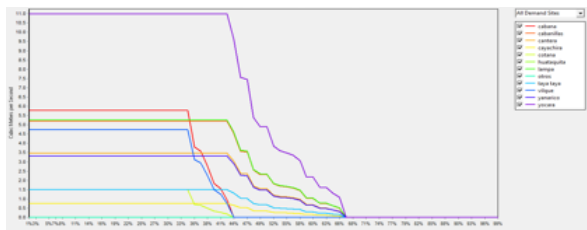


Figura 12: Demandas entregadas satisfechas Operando Lagunillas, y reservorio Verde y con las demandas planteadas (100 %)

2 % y el almacenamiento o volumen útil vario linealmente en el primer escenario hasta el 53 % y 72 % y el almacenamiento mínimo (30Mm³) alcanzan de manera progresiva al 100 % del 53 %, 72 % y 75 %

Escenarios de funcionamiento

La demanda hídrica proyectada del Sistema Integral de Lagunillas el cual representa una demanda total de 643.674 hm³, (ver 2), de acuerdo a los escenarios de funcionamiento se presenta de la siguiente manera.

En el primer escenario las demandas planteadas no son satisfechas completamente, se da solo en un 30 % mostrado en la Figura 8 y Tabla 6.

En el segundo escenario, las demandas planteadas son satisfechas en un 52 %, ver Figura 10 y Tabla 6.

En el tercer escenario, las demandas planteadas son satisfechas solo en un 60 %, ver Figura 12 y Tabla 6.

A manera de conclusión se puede decir que con solo funcionando la Presa de Lagunillas solo abastecería la tercera parte (30 %) de la demanda planteada y con el almacenamiento de la Presa de Lagunillas y la futura Presa del Rio Verde abastecería las dos terceras partes (60 %) de la demanda total del Sistema Integral de Lagunillas.

Primer escenario. sistema con regulación en Lagunillas y rio Verde no regulado con las demandas al 100 %. En este caso los resultados están en las Figuras 7 y 8.

Segundo escenario. trasvasamiento de aguas del rio Verde y almacenado en Lagunillas con

demandas al 100 %. En este caso los resultados están en las Figuras 9 y 10.

Tercer escenario. con regulación en Lagunillas y rio Verde almacenado en un nuevo reservorio con las demandas al 100 %. En este caso los resultados están en las Figuras 11 y 12.

5.3. Modelado del sistema para tres (3) escenarios de funcionamiento de almacenamiento y de demandas planteadas al 100 % con influencia del cambio climático: CANESM2-RCP4.5, CANESM2-RCP8.5, CNRM_CMI4.5, CNRM_CMI8.5.

El resumen de los resultados de la Tabla 7 y de las Figuras 13, 13, 15, 16, 17, 18 y 19 representan la influencia del Cambio Climático en la demanda hídrica total proyectada del Sistema Integral de Lagunillas.

A continuación de la Tabla 7 se desprende lo siguiente:

5.3.1. Volúmenes almacenados por escenario

. En el primer escenario con los escenarios con cambio climático con CANESM2-RCP 4.5 tiene un rebose del 8 % y una variación del volumen mayor variando linealmente a un 85 % llegando al 100 % con almacenamiento de 30MM³. Ver Figuras 13 y 14 y Tabla 7.

En el segundo escenario se observa que, en el escenario con efecto de Cambio Climático, la proyección CANESM2 - RCP4.5, se tiene un 15 % de rebose y de un almacenamiento o volumen útil de 30 a 540 Mm³ varia de 15 % a 92 % y de 92 a 100 % el almacenamiento mínimo queda en 30 Mm³. Ver Figuras 15 y 16 y Tabla 7.

En el tercer escenario el embalse de Lagunillas y el embalse de rio Verde presentan hasta un 15 % del tiempo rebose en el almacenamiento, el almacenamiento entre los 30 y 250 Mm³ va variando linealmente de 15 % a 75 % y de 75 % a 100 % el almacenamiento esta en 30 Mm³, de los escenarios con cambio climático y el más resaltante es el de CANES4.5 y CANES8.5, con un rebose de 13 % y el almacenamiento vario linealmente de 13 % a 98 % y con un almacenamiento al 100 % en 30Mm³. Figuras 17 y 18. Figuras 12-a, 12-b.

Tabla 7: Resumen de resultados bajo influencia del cambio climático

MODELAMIENTO DEL SISTEMA ESCENARIO DE FUNCIONAMIENTO	BAJO INFLUENCIA DEL CAMBIO CLIMATICO Y DEMANDAS HIDRICAS PLANTEADAS AL 100 %		
	1er ESCENARIO	2do ESCENARIO	3er ESCENARIO
1. SOLO CON ALMACENAMIENTO DE EMBALSE LAGUNILLAS	Satisfecha en Promedio 60 %, CANES M2-RCP4.5 en 75 %		
2. CON TRANVASAMIENTO DE LAS AGUAS DEL RIO VERDE AL EMBALSE PRESA LAGUNILLAS	Satisfechas en promedio un 75 %, CANES M2-RCP4.5 85 %		
3. CON ALMACENAMIENTO DE LA PRESA LAGUNILLAS Y ALMACENAMIENTO DE EMBALSE RIO VERDE	Satisfechas en promedio un 80 %, CANES M2-RCP4.5 y CANES M2-RCP8.5 95 %		
4. VOLUMENES ALMACENADOS			
- CON EXCESO O REBOSE	8 %	15 %	15 %
- VOLUMEN UTIL	8 % - 85 %	15 % - 92 %	15 % - 98 %
- ALMACENAMIENTO MÍNIMO (30 Mm3)	85 % - 100 %	92 % - 100 %	98 % - 100 %

A manera de conclusión se puede decir que el tiempo de rebose se incrementa a partir del primer escenario de 8 % a 15 % y el almacenamiento o volumen útil vario linealmente en el primer escenario hasta el 75 % y el almacenamiento mínimo (30MM3) alcanzan el 98 % para las proyecciones de CANESM2 - RCP4.5 y CANESM2- RCP8.5

5.3.2. Demanda hídrica según escenarios

La demanda hídrica proyectada del Sistema Integral de Lagunillas el cual representa una demanda total de 643.674 hm³, (ver Tabla 2), de acuerdo a los tres escenarios de funcionamiento.

Primer escenario. El sistema con regulación en Lagunillas y rio Verde no regulado con las demandas al 100 %.

En el primer escenario se observa además que, bajo escenarios de cambio climático, estas solo cubren en más del 60 % de las demandas planteadas, de los cuales resalta en mayor medida el escenario CANESM2-RCP4.5 con un 75 %. Ver Figuras 13 y 14.

Segundo escenario. Con trasvasamiento del rio Verde y almacenado en Lagunillas con las demandas al 100 %.

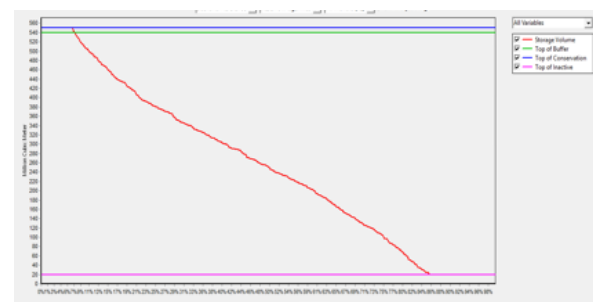


Figura 13: Volumen almacenado operando solo Lagunillas y con demandas planteadas al 100%. CANESM2-RCP 4.5

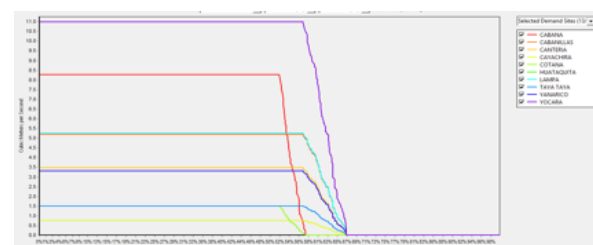


Figura 14: Demanda entregada operando solo Lagunillas y con las demandas planteadas (100%) CANESM2-RCP 4.5

En el segundo escenario, para demandas entregadas son satisfechas en promedio de todos los escenarios en un 75 %, resaltando siempre

el escenario con cambio climático CANESM2-RCP4.5 como un ligero aumento del 85%. Ver Figuras 15 y 18.

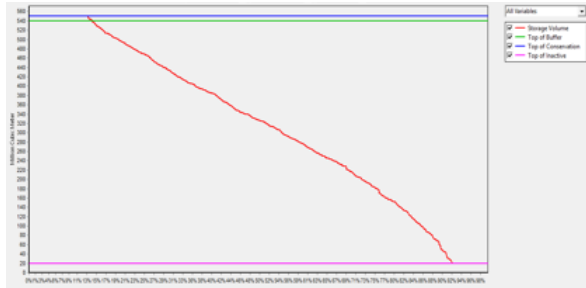


Figura 15: Volúmenes Almacenados operando solo Lagunillas y trasvase del río Verde a Lagunillas y con las demandas planteadas (100 %) CANESM2-RCP 4.5

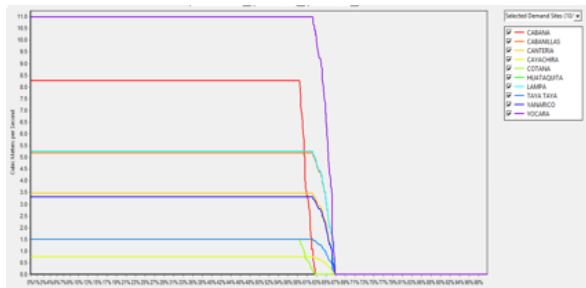


Figura 16: Demandas entregadas satisfechas operando solo Lagunillas y trasvase de las aguas del río Verde a Lagunillas y con las demandas planteadas al 100%. CANESM2-RCP4.5

Tercer escenario. Con regulación en Lagunillas y regulación de las aguas del río Verde con las demandas al 100%.

En el tercer escenario, para demandas entregadas, son satisfechas en todos los escenarios con cambio climático en un 80%, resaltando los escenarios con cambio climático CANESM2-RCP4.5 y CANESM2-RCP8.5, con un 95%, Ello es debido al represamiento de las aguas del río Verde y a la presa de Lagunillas. Ver Figuras 17, 18 y 19.

Como resultado principal de este estudio se puede decir que con solo funcionando la Presa de Lagunillas abastecería las dos terceras

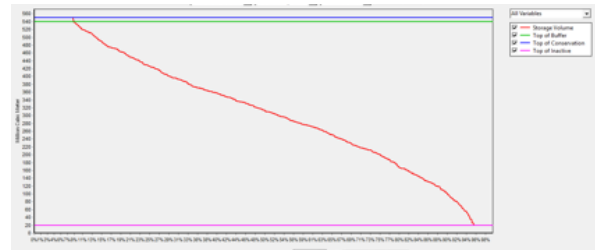


Figura 17: Volúmenes Almacenados en Lagunillas, Operando Lagunillas, y reservorio Verde y con las demandas planteadas (100 %), con CANESM2-RCP4.5 LAGUNILLAS



Figura 18: Volúmenes Almacenados en Lagunillas, Operando Lagunillas, y reservorio Verde y con las demandas planteadas (100 %), con CANESM2-RCP4.5 reservorio VERDE



Figura 19: Demandas entregadas satisfechas Operando Lagunillas, y reservorio Verde y con las demandas planteadas (100 %), con Cambio Climático CANESM2-RCP4.5

partes (60%) de la demanda planteada; con trasvasamiento de las aguas del río verde a la Presa de Lagunillas abastecería en promedio de las proyecciones un 75% y con el almacenamiento de la Presa de Lagunillas y la futura Presa del Río Verde abastecería el promedio de las proyecciones en un 80% destacando los escenarios

con cambio climático CANESM2-RCP4.5 y CANESM2-RCP8.5, con un 95 %, de la demanda total del Sistema Integral de Lagunillas.

6. Conclusiones

Con modelamiento bajo condiciones reales con información histórica para una demanda planteada al 100 %, se observa que el primer escenario de solo uso de la presa de Lagunillas se satisface el 30 % de la demanda hídrica; el segundo escenario de trasvasamiento de las aguas del río Verde a la presa de Lagunillas se satisface en un 52 % de la demanda hídrica; y el tercer escenario de (regulación de Lagunillas y del río Verde) se satisface en un 60 % del total de la demanda hídrica.

Considerando el modelado del sistema para 3 escenarios de funcionamiento de almacenamiento y de demandas planteadas al 100 % con influencia del cambio climático: CANESM2-RCP4.5, CANESM2-RCP8.5, CNRM_CMI4.5, CNRM_CMI8.5, se observa que en el primer escenario de funcionamiento, estas cubren en más del 60 %, de los cuales resalta en mayor medida el escenario CANES 4.5 satisface en un 75 % la demanda hídrica; Para el segundo escenario de funcionamiento las demandas son satisfechas en promedio de todos los escenarios en un 75 %, resaltando siempre el escenario con cambio climático CANES4.5 como un ligero aumento del 85 %; Para el tercer escenario de funcionamiento las demandas son satisfechas en todos los escenarios con cambio climático en un 80 %, resaltando los escenarios con cambio climático CANES4.5 y CANES8.5, con un 95 %. Por lo que, se puede concluir que el cambio climático tiene un efecto positivo sobre la demanda hídrica de un incremento del 15 a 20 % de aportación a la disponibilidad hídrica para el Sistema Integral de Lagunillas, en todos los escenarios, destacando el de CANESM24.5 y CANESM28.5.

Por lo tanto, la disponibilidad hídrica para las 30,000 Has de agua potable; para las ciudades de Juliaca, Lampa y Puno; y para el uso industrial minero y el caudal ecológico del sistema integral de

Lagunillas, se requiere el uso de presa de Lagunillas y el represamiento del río Verde.

La calibración y validación del modelo hidrológico requiere de comparaciones entre los caudales simulados y/o generados por la WEAP y la serie de caudales mensuales observados, correspondientes a un registro de 25 años entre 1969 y 1993, puede apreciarse que el ajuste entre datos simulados y observados es muy bueno, existiendo una representación adecuada de la estacionalidad de los datos de precipitaciones de la Cuenca del río Cabanillas.

Recomendaciones

De acuerdo con los posibles incrementos de la oferta hídrica que se puedan dar a futuro y considerando las características geográficas y fisiográficas de la cuenca del río Cabanillas, se deberá plantear una estrategia de adaptación al cambio climático coordinado entre los gobiernos regionales y locales.

Con el fin de mejorar el estudio, se recomienda la evaluación de la demanda futura en la cuenca del río Cabanillas para generar un contraste más claro referente a la disponibilidad hídrica de la cuenca a través de un proceso de comparación con la oferta proyectada.

7. Referencias

- [1] Yuliang Zhou, Chengguang Lai, Zhaoli Wang, Xiaohong Chen, Zhaoyang Zeng, Jiachao Chen, and Xiaoyan Bai. Quantitative evaluation of the impact of climate change and human activity on runoff change in the dongjiang river basin, china. *Water*, 19(2), 2018.
- [2] UNESCO–WWAP. Agua para todos agua para la vida: Informe de las naciones unidas sobre el desarrollo de los recursos hídricos en el mundo. Report, UNESCO, World Water Assessment Programme, 2003.
- [3] MINAM, Ministerio del Ambiente del Perú, Lima Perú. *Plan de acción de adaptación y mitigación frente al cambio climático*, 2010.
- [4] Puno: PLET Proyecto Especial Binacional Lago Titicaca, Lima Perú. *Plan de operación, mantenimiento y desarrollo de infraestructura hidraulica del sistema integral Lagunillas*, 2017.
- [5] Efraim Lujano Laura, Liz S. Hidalgo Sanchez, Bernardino Tapia Aguilar, and Apolinario Lujano Laura. Cambios proyectados de los recursos hídricos bajo escenarios de emisiones rcp4.5 y 8.5 de modelos

- climáticos globales del cmip5 en el altiplano peruano. *Revista Investigaciones Altoandinas*, 18(2):195–204, 2016.
- [6] Jack Sieber and David Purkey. Water evaluation and planning system. Technical report, Stockholm Environment Institute, 2015.
- [7] Jamal Ahmadaali, Gholam-Abbas Barani, Kourosh Qaderi, and Behzad Hessari. Analysis of the effects of water management strategies and climate change on the environmental and agricultural sustainability of urmia lake basin, iran. *Water*, 10(2), 2018.
- [8] Ajay Gajanan Bhawe, Declan Conway, Suraje Dessai, and David A. Stainforth. Water resource planning under future climate and socioeconomic uncertainty in the cauvery river basin in karnataka, india. *Water Resources Research*, pages 708–728, 2018.
- [9] Le An Ngo, Ilyas Masih, Ilyas Masih, Yong Jiang, Yong Jiang, and Wim Douven. Impact of reservoir operation and climate change on the hydrological regime of the sesan and srepek rivers in the lower mekong basin. *Climatic Change*, pages 1–13, 2016.
- [10] Taru Olsson, Matti Kämäräinen, Darwin Santos, Teija Seitola, Heikki Tuomenvirta, Riina Haavisto, and Waldo Lavado-Casimiro. Downscaling climate projections for the peruvian coastal chancay-huaral basin to support river discharge modeling with weap. *Journal of Hydrology: Regional Studies*, 13:26–42, 2017.
- [11] Saloua Rochdane, Barbara Reichert, Mohammed Messouli, Abdelaziz Babqiqi, and Mohammed Yacoubi Khebiza. Climate change impacts on water supply and demand in rheraya watershed (morocco), with potential adaptation strategies. *Water*, 4(1):28–44, 2012.
- [12] Lu Hao, Ge Sun, Yongqiang Liu, and Hong Qian. Integrated modeling of water supply and demand under management options and climate change scenarios in chifeng city, china. *JAWRA Journal of the American Water Resources Association*, 51(3):655–671, 2015.
- [13] Motlatsi Maliehe and Deogratias M.M. Mulungu. Assessment of water availability for competing uses using swat and weap in south phuthiatsana catchment, lesotho. *Physics and Chemistry of the Earth, Parts A/B/C*, 100:305–316, 2017.
- [14] Thania G. López-García, Mario G. Manzano y Aldo I. Ramírez. Disponibilidad hídrica bajo escenarios de cambio climático en el valle de galeana, nuevo león, méxico. *Tecnología y ciencias del agua*, 8(1):105–114, 2017.
- [15] SENAMHI, Servicio Nacional de Meteorología e Hidrología del Perú, Lima, Perú. *Datos Historicos de Clima del Perú, Lima: Senamhi*, 2018.
- [16] Centro de Cambio Global-Universidad Católica de Chile, Stockholm Environment Institute, Santiago, Chile. *Guía Metodológica – Modelación Hidrológica y de Recursos Hídricos con el Modelo WEAP*, 2009.
- [17] Gobierno Regional de Puno. *Zonificación Ecológica Económica (Meso ZEE) Región Puno*, 2015.
- [18] MINAM, Ministerio del Ambiente del Perú, Lima, Perú. *El Perú y el Cambio Climático: Tercera Comunicación Nacional del Perú a la Convención Marco de las Naciones Unidas sobre Cambio Climático*, 2016.
- [19] SENAMHI, Servicio Nacional de Meteorología e Hidrología del Perú, Lima, Perú. *Regionalización Estadística de Escenarios Climáticos en Perú*, 2014.

Erratum

Comité de Edición Técnica

Revista Ingeniería UC, Facultad de Ingeniería, Universidad de Carabobo, Valencia, Venezuela.

This erratum corrects an error in the paper *Revista Ingeniería UC*, 24(2), August 2017, 196–203

The title in English says

Tech note: Hydraulic evaluation of the bridges over La Guardia creek using a two–dimensional model with live–bed Carlos Freitez*, Fabiana Martínez, Jean Carlos Rincón

Should say

Hydraulic evaluation of the bridges over La Guardia creek using a two–dimensional model with live–bed Carlos Freitez*, Fabiana Martínez, Jean Carlos Rincón

The correction

The phrase “Tech Note:” should not appear in the title.

The title in spanish says

Nota técnica: Evaluación hidráulica de los puentes sobre la quebrada La Guardia aplicando un modelo bidimensional con fondo móvil

Should say

Evaluación hidráulica de los puentes sobre la quebrada La Guardia aplicando un modelo bidimensional con fondo móvil

The correction

The phrase “Nota técnica:” should not appear in the title.

Fe de errata

Comité de Edición Técnica

Revista Ingeniería UC, Facultad de Ingeniería, Universidad de Carabobo, Valencia, Venezuela.

Esta fe de errata corrige un error en el artículo Revista Ingeniería UC, 24(2), agosto 2017, 196–203

El título en inglés dice

Tech note: Hydraulic evaluation of the bridges over La Guardia creek using a two–dimensional model
with live–bed

Carlos Freitez*, Fabiana Martínez, Jean Carlos Rincón

Debe decir

Hydraulic evaluation of the bridges over La Guardia creek using a two–dimensional model with live–bed
Carlos Freitez*, Fabiana Martínez, Jean Carlos Rincón

La corrección

En el título no debe ir la frase “Tech note:”.

El título en castellano dice

Nota técnica: Evaluación hidráulica de los puentes sobre la quebrada La Guardia aplicando un modelo
bidimensional con fondo móvil

Debe decir

Evaluación hidráulica de los puentes sobre la quebrada La Guardia aplicando un modelo bidimensional
con fondo móvil

La corrección

En el título no debe ir la frase “Nota Técnica:”.

Índice de materias

A

absorbancia, 158
acero inoxidable dúplex, 194
ácido poliláctico, 184, 248
alimentos, 291
AM, 221
análisis espectral de torque electromagnético,
213
antenas de banda ultra ancha, 134
asfaltenos, 120

B

banda de microondas, 134
Bixa Orellana L., 291
bixina, 291

C

cambio climático, 307
caracterización de antenas, 134
ciclo rankine regenerativo, 204
coeficientes de Fourier, 276
colorantes naturales, 291
comportamiento mecánico, 184, 248

D

demanda de agua, 307
demulsificantes, 120
dimensión fractal, 276
discriminante canónico, 213
disminución de demanda de calor, 204
disponibilidad Hídrica, 307

E

evaporadores verticales, 149
excentricidad estática y dinámica, 213

F

factor de riesgo, 237

G

gestión del agua, 166
gestión del agua en Perú, 166

H

herramienta computacional, 149
herramientas de gestión del agua, 166
hidrotratamiento, 259
hidroxiapatita, 259

I

identificador físico de celda, 237
imágenes multiespectrales, 276
instrumentación, 266

L

lixiviación, 291
long term evolution (LTE), 237

M

manejo integrado de recursos hídricos, 166
mezclas de polímeros, 184, 248
modulación de amplitud, 221
Monte Carlo, 158

N

nevus, 276

O

onda de superficie, 221
onoto, 291
optimización, 204

P

paralelo, 158
películas de Langmuir, 120
petróleo, 120
picaduras, 194
poliestireno, 184, 248

R

radiodifusión sonora, 221
radiopropagación, 221
Red Pitaya, 266
reflexión difusa, 158
resistencia a la corrosión, 194

S

surfactantes, 120

T

terminal de usuario, 237

tiofeno, 259

transferencia de calor, 149

V

variables de operación, 149

virtual, 266

W

Weap, 307

Subjects index

A

absorbance, 158
AM, 221
antennas characterization, 134
asphaltenes, 120

B

Bixa Orellana L., 291
bixina, 291
broadcasting, 221

C

canonical discriminant, 213
climate change, 307
computational tool, 149
corrosion stress, 194

D

decrease in heat demand, 204
demulsifiers, 120
diffuse reflectance, 158
duplex stainless steel, 194

F

food, 291
Fourier coefficients, 276
fractal dimension, 276

G

ground-wave, 221

H

heat transfer, 149
hydrotreating, 259
hydroxyapatites, 259

I

instrumentation, 266
integrated management of water resources, 166
interference amplitude modulation, 221

L

Langmuir films, 120
leaching, 291

long term evolution (LTE), 237

M

mechanical behavior, 184, 248
microwave bands, 134
Monte Carlo, 158
multispectral images, 276

N

natural dyes, 291
nevus, 276

O

onoto, 291
operation variables, 149
optimization, 204

P

parallel, 158
petroleum, 120
physical cell ID (PCI), 237
pitting, 194
polylactic acid, 184, 248
polymer mixtures, 184, 248
polystyrene, 184, 248

R

radio, 221
Red Pitaya, 266
regenerative rankine cycle, 204
risk factor, 237

S

spectral analysis of electromagnetic torque, 213
static and dynamic eccentricity, 213
surfactants, 120

T

thiophene, 259

U

ultra wideband antennas, 134
user equipment (UE), 237

V

vertical evaporators, 149
virtual, 266

W

water availability, 307
water demand, 307
water management, 166
water management in Peru, 166
water management tools, 166
WEAP, 307

Índice de autores (*Author index*)

A

Almarza, Ángel D., 149, 204
Aponte, Carlos, 266
Ascencio, Alvaro, 276

B

Barboza, Francis, 213
Bolívar, Alejandro, 149, 204
Bullón, Johnny, 120

C

Camacaro, José, 291
Cedeño, Patricia, 184
Contreras, Andry, 134

D

Delgado-Linares, José G., 120

F

Fernández, Robert, 266
Figueredo, Edith, 259
Forgiarini, Ana M., 120

G

Gómez, José, 291
García, Jesús, 194
Guerra, Ledy, 213
Guzmán, Omar, 194

H

Heras, Ricardo, 184
Hernández, Juan Carlos, 184, 248
Hurtado, Vanessa, 149, 204

J

Jiménez, Milagros, 291

L

López, G., 158
Linares, Carlos Felipe, 259

M

Maldonado, Omar, 248
Manganiello, Lisbeth, 291
Medina, Jhonny, 184, 248

Mejías, Carlos, 266

Monagas, Eva, 213

Muñoz, A., 158

O

Ocanto, Freddy, 259
Osman, Ahmad, 237, 276

P

Perretti, Giuseppe, 266

R

Robledo, Fabián, 221
Roche, Yenifer, 248
Rodríguez, Irahis, 213

S

Sáenz, Laura, 194
Salazar – Rodríguez, Franklin, 120

T

Tatá, Yasmín, 120
Terán, Rubén, 213
Torres, Yofrank, 237

U

Urdaneta, Maryory, 134

V

Valor, Romer, 237
Vega, Cristóbal, 291

Y

Yaguaratty, Jesús, 149

Z

Zapata, Carlos, 184, 248
Zapata, José, 276

Apéndices

Línea editorial

Misión científica

Revista Ingeniería UC es el principal organismo de difusión científica y tecnológica de la Facultad de Ingeniería de la Universidad de Carabobo.

El objetivo de Revista Ingeniería UC es la difusión de trabajos científicos tecnológicos en todas las áreas de la ingeniería, así como también ciencias afines aplicadas a la ingeniería.

Revista Ingeniería UC está adscrita a la Dirección de Investigación de la Facultad de Ingeniería. Es considerada por todos sus profesores como uno de los patrimonios más importantes de la Facultad de Ingeniería. Su primer volumen aparece en diciembre de 1992. Fundada por Dr. Edilberto Guevara en 1992 (actualmente Editor Honorario).

nivel local, Universidad de Carabobo y sus estado de influencia; nivel nacional, toda Venezuela; así como nivel internacional.

Todos los artículos son revisados por el Comité Editorial y arbitrados, a doble ciego, por el Comité Técnico y por especialistas en la materia.

Revista Ingeniería UC es publicada cada cuatro meses bajo los auspicios del Consejo de Desarrollo Científico y Humanístico de la Universidad de Carabobo (CDCH-UC).

Cobertura temática

Revista Ingeniería UC considerará para su difusión trabajos *originales e inéditos* (Los autores deben enviar la cartar de compromiso), en español e inglés. Manuscritos en las áreas de la ingeniería de todas sus especialidades, pero en particular en las áreas de industrial, eléctrica, mecánica, civil, química y telecomunicaciones; así como de las ciencias básicas aplicadas a la ingeniería: matemáticas, física, química, computación, biología, ciencias ambientales, bioingeniería, biotecnología, estadística, etc.

Foro de Revista Ingeniería UC

La audiencia a la cual está dirigida consta de todos los investigadores en las áreas de ciencia, tecnología, ingeniería y matemáticas. En particular a los investigadores, profesores y estudiantes de Doctorado, Maestría y pregrado en las áreas de ingeniería y ciencias básicas afines. Esta audiencia es extendida a los gerentes de las áreas de innovación y desarrollo tecnológico del sector industrial. El foro tiene cubre las comunidades a

Editorial line

Scientific mission

Revista Ingeniería UC is the main body for scientific and technological diffusion at Facultad de Ingeniería of Universidad de Carabobo.

The Revista Ingeniería UC objective is the diffusion of scientific – technological works in all areas of engineering, as well as related sciences applied to engineering.

Revista Ingeniería UC is subscribed to Dirección de Investigación of Facultad de Ingeniería. It is considered by all its professors as one of the most important patrimonies of the Faculty of Engineering. Its first volume appears in December of 1992. Founded by Dr. Edilberto Guevara in 1992 (currently Honorary Editor).

Thematic coverage

Revista Ingeniería UC will consider for its diffusion original and unpublished works (The authors must send the commitment letter), in Spanish and English. Manuscripts in engineering areas of all its specialties, but particularly in the areas of industrial, electrical, mechanical, civil, chemical and telecommunications; as well as the basic sciences applied to engineering: mathematics, physics, chemistry, computation, biology, environmental sciences, bioengineering, biotechnology, statistics, etc.

Revista Ingeniería UC forum

The target audience is made up of all researchers in the areas of science, technology, engineering and mathematics. In particular the researchers, professors and students of Doctorate, Master's and undergraduate in the areas of engineering and related basic sciences. This audience is extended to innovation and technological development areas managers of the industrial sector. This forum has covers local communities, Universidad de

Carabobo and their state of influence; national level, all of Venezuela; as well as international level.

All articles are reviewed by Editorial Committee and refereed, double-blinded, by Technical Committee and by specialists in the field.

Revista Ingeniería UC is published every four months under the auspices of Consejo de Desarrollo Científico y Humanístico de la Universidad de Carabobo (CDCH-UC).

Normas para la presentación de artículos

Generales

Linea editorial

Revista Ingeniería UC, considerará para su difusión trabajos *originales e inéditos* en ingeniería, en particular las áreas de industrial, eléctrica, mecánica, civil, química y telecomunicaciones; así como de las ciencias aplicadas a la misma.

Tipos de trabajos

- a Artículos de investigación inéditos con un máximo de veinte (20) páginas.
- b Notas técnicas con un máximo de cinco (5) páginas.
- c Artículos de actualización científica que resuman el Estado del Arte de un área específica de la ingeniería con un máximo de doce (12) páginas.
- d Artículo invitados especiales con un máximo de veinte (20) páginas.
- e Cartas al editor.
- f Artículos de tendencia tecnológica, estudios de prospectiva de I+D+i a medio y largo plazo de alta utilidad en el campo industrial.

Al enviar un artículo a Revista Ingeniería UC, el autor del trabajo está comprometido en forma formal que el trabajo es original e inédito, manifiesta su conocimiento de las normas de la revista y que su trabajo será arbitrado.

Estilo

La redacción de los trabajos puede realizarse en idioma castellano o inglés. El trabajo original debe ser redactado en formato \LaTeX o en su defecto en Microsoft Word.

Los trabajos en Word deben emplear una fuente de la familia Times, estar almacenado en disco compacto y presentar tres copias en físico.

Los trabajos en \LaTeX deben incluir los archivos pdf, tex y una carpeta comprimida con las figuras en eps (o png)

Figuras

Las figuras deben ser en escalas de grises claros, no color, en formato vectorializado preferiblemente png o eps (también se admiten los formatos CompuServe gif o jpg, si estas son de alta calidad y trabajó en word) deben añadirse en archivos independientes y numeradas. Las leyendas o descripciones de la figuras no pueden estar embutidas en éstas, deben ser incluidas en el texto del trabajo y en un archivo aparte llamado Leyenda de Figuras.

Tablas:

Las tablas no pueden ser resaltadas por ningún tipo de color. Solamente los textos a resaltar mediante “negritas”. También deben incluirse las tablas en archivos aparte numerados y es necesario incluir un archivo con las leyendas de las tablas.

Toda tabla y/o figura deben ser numeradas en arábigos (1, 2, ...), citadas y suficientemente comentada en el texto del trabajo. La cita sería en la forma: “en la Figura 3”, “en la Tabla 2”, por ejemplo (sin abreviar). Toda tabla o figura debe tener un ancho máximo de 17,5cm.

No es estilo de la revista frases como; “en la Figura siguiente” o en la “Tabla anterior”

Los artículos provenientes del exterior del país serán aceptados a través de correo electrónico.

El orden a seguir para la redacción del trabajo es el siguiente:

1. Portada,
2. Introducción
3. Metodología o Desarrollo de la Investigación
4. Análisis y Discusión de Resultados
5. Conclusiones y

6. Referencias Bibliográficas.

La portada debe contener:

- Título del trabajo en castellano y en inglés, con un máximo de 20 palabras.
- Nombre(s) del autor(es) y su dirección(es) institucionales completa(s), dirección postal, correo electrónico del autor para correspondencia (sólo será publicado el correo electrónico del autor para correspondencia).
- Resumen del trabajo en castellano y en inglés (Abstract) con una extensión máxima de 200 palabras.
- Al final tanto del resumen como del abstract debe agregarse entre tres (3) a cinco (5) palabras clave.

Los encabezamientos de cada sección se escriben tipo título, mayúsculas sólo en la primera letra.

citas

Las citas de referencias en el texto, contendrán el nombre del autor principal seguido de corchetes con el número correspondiente a la referencia, por ejemplo: Beale [9], o simplemente el número de la referencia bibliográfica [9], sin citar al autor.

Referencias

Para los artículos en L^AT_EX se usará el estilo de bibliografía “unsrt”.

Las referencias bibliográficas se escribirán en orden de citación, deben ser completas y contener todos y cada uno de los datos para identificarla.

Se pueden citar:

- Artículos de revistas.
- Artículos de memorias de congresos.
- Artículos en colecciones.

- Capítulos en un libro.
- Memorias de congresos.
- Libros
- Tesis doctorales
- Trabajo de grado de materia
- Trabajos especiales de grado.
- Informes técnicos.
- Manuales técnicos.

No se permiten direcciones electrónicas ni páginas web.

En el caso de artículos de revista contendrán:

- Autor(es) (Apellidos nombres, tipo título).
- Título.
- *Nombre de la revista*,
- volumen,
- número,
- páginas y
- año de publicación

Por ejemplo:

[9] Beale G.O., Arteaga F.J. y Black W.M. Design and Evaluation of a Controller for the Process of Microwave Joining of Ceramics. *IEEE Transactions on Industrial Electronics*, 39(4), 301–312, 1998

En caso de libros ha de incluirse: Autor(es), *título*, editorial, lugar de publicación y año de publicación.

Por ejemplo:

[9] Hill J.M. and Dewynne J.N. *Heat Conduction*. Blackell set. Pub. , London, 1992

En caso de colección editada: Autor(es). Título, En: editor, año, *título*, volumen, editorial, lugar, número de páginas y año de publicación.

Por ejemplo:

[11] Kalla S. L. and Galué L. (1993): Generalized

fractional Calculus. Global Publishing Company, USA, 145-178.

Se recomienda a los autores tener en cuenta las normas internacionales de nomenclatura para la utilización de símbolos, unidades y abreviaturas.

Notas Finales

Los artículos serán sometidos a arbitraje previa a la publicación. Se podrán entregar separatas por tema a solicitud del autor, cuyo costo será a convenir

Authors Information

General

Editorial line

Revista INGENIERÍA UC will considerer for publication contributions original and unpublished in engineering, in particular the areas of industrial, electrical, mechanical, civil, chemical and telecommunications, and applied science.

Type of Manuscripts:

- a Unpublished research articles with a maximum length of twenty (20) pages.
- b Technical Notes, with a maximum of five (5) pages.
- c State of the Art Articles (Update Articles) of a specific engineering field (maximum of twenty (20) pages).
- d Articles sent by invited guests, maximum of twenty (20) pages.
- e Letter to Editor.
- f Technological trend articles, medium and long-term R & D + i prospective studies of high utility in the industrial field.

Submitting an article to Revista Ingeniería UC, the work author is committed to formal so that the paper is original and unpublished, he shows his knowledge of Revista Ingeniería UC standards and that his work will be refereed.

Article Style

Articles may be sent either in Spanish or English. The original work should be written using L^AT_EX or in Microsoft WORD.

The Word works must employ a fount of family Time, to be stored in compact disk and to present three copies in physical.

The labored in L^AT_EX must include the files pdf, tex and a folder with the figure in eps.

The figures must be in gray scale, no color, preferable in format png or eps (also admit the formats CompuServe gif or jpg if these are of high quality) must to be added in records separated and numbered. Figures caption or descriptions can not be into these, must be includes in the text of the work and in a file apart called Figure Caption.

The table can not be protruded by any type of color. Only the texts to be produced by means of “bold type”. Also must to be included in others files numerated and it is necessary to include a file with table caption.

All table and/or figure must be numbered in arabic (1, 2, 3, . . .) and cited in the text of the work. The quote would be in the manner: “In Figure 3”, “in Table 2”, for example (without abbreviating). All board or figure must have a wide maximum of 17,5cm.

The articles coming from other country are accepted through electronic mail (email). The writing sequence for the articles shall have these steps: Title Page, Introduction, Methodology or Research Development, Analysis and Discussion of Results and Conclusions, and References.

The Title page should contain:

- Title of the work in Spanish and English, maximum 20 words.
- Full name(s) of author(s) with Full Institutional Address(es) (Address, Telephone, Email).
- Summary of the work in Spanish and in English (Abstract) with a maximum of 200 words for Unpublished, State of the Art articles and Technical Notes.
- At the end of the Summary in Spanish and Abstract in English three to five (3 to 5) Key Words should be added.

Text references must contain the name of the main author followed by the corresponding number of reference; for example: Jhonson [9], or simply [9] with no author name.

For \LaTeX work will use bibliography style “unsrt”.

References will be written in order of citation, complete and should contain: author(s) (in caps and lower case), full title, journal, volume, number, pages and year of publication. For example:

Beale G. O. Arteaga F. J. and Black W.M., Design and Evaluation of a Controller for the Process of Microwave Joining of Ceramics. *IEEE Transactions of Industrial Electronics*. 39(4), 301-312, 1992.

In the case of Books: Author(s) (in caps and lower case), *title*, publisher, place and year of publication should be included. For example:

Hill J. M. and Dewynne J. N. *Heat Conduction*. Blackell Set. Pub., London, 1987.

Work in an edited collection: Author(s) (in caps and lower case), *title*. In: editor, *title*, volume, publisher, place and year. For example:

Kalla S. L. and Galué L. Generalized fractional, in *Calculus*. Global Publishing Company, USA, 145-178, 1997.

It is recommended to the authors to follow the International Nomenclature Norms (symbols, units and abbreviations).

Final Notes

Articles will be submitted for the reviewing process before they can be published. Offprints can be sent for article with a request from the Author(s). Any charge will be arranged by mutual agreement.

Carta de compromiso

Envíe junto con su trabajo la siguiente carta al Comité Editorial de Revista Ingeniería UC:

Ciudadanos
Director Editor en jefe y demás
Miembros del Comité Editorial
Revista INGENIERÍA UC
Presente.

Por medio de la presente envío a Ud.(s) el manuscrito del trabajo titulado:

para que sea sometido a evaluación para la publicación.

Manifiesto que:

Este trabajo es original e inédito: no ha sido publicado, no es duplicado, ni redundante; no está siendo sometido simultáneamente a arbitraje para su publicación por ningún medio de difusión, que los datos son originales y verídicos.

El autor y los coautores ceden los derechos de autor a la Revista INGENIERÍA UC, pero mantiene sus derechos como autor intelectual.

El trabajo, tanto en su texto como las tablas y figuras ha sido elaborado de acuerdo a las Instrucciones para los Autores publicadas por Revista INGENIERÍA UC, y que las referencias están directamente relacionadas con el trabajo.

Se designa como autor de correspondencia al autor o coautor que lo indique, con quien el Comité Editorial mantendrá comunicación a través del correo electrónico revistaing@uc.edu.ve, quien será responsable ante autores y coautores y dará respuesta rápida a los requerimientos del Comité Editorial.

No se conocen conflictos de intereses, y de haberlos los autores y coautores están obligados a indicarlo en el original, junto a la fuente de financiamiento.

Firma:

Nombre y apellido:

El autor para correspondencia:

Compromise letter

Send together with your paper the following letter to Editorial Committee:

Citizens
Director Chief Editor and other
Members of Editorial Committee
Revista INGENIERÍA UC
Present.

I hereby send you the manuscript of the work entitled:

to be submitted for evaluation to publication.

I declare that:

This work is original and unpublished: it has not been published, it is not duplicated, nor redundant; it is not being simultaneously submitted to arbitration for publication by any diffusion means, that the data are original and truthful.

The author and coauthors assign the copyright to Revista INGENIERÍA UC, but maintains their rights as an intellectual author.

The work, in its text as the tables and figures has been elaborated according to the Authors Instructions published by Revista INGENIERÍA UC, and that the references are directly related to the work.

The author or coauthor who indicates it is designated as correspondence author, with whom Editorial Committee will maintain communication via email revistaing@uc.edu.ve, who will be responsible for the authors and co-authors, and will respond quickly to the requirements of the Editorial Committee.

There are no known interest conflicts, and if there are the authors and coauthors are obliged to indicate in the original, next to funding source.

Signature:

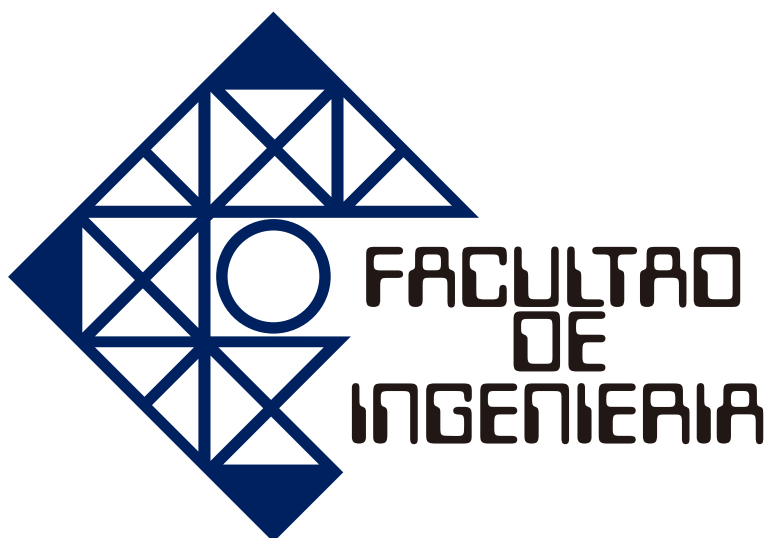
First name and surname:

Correspondence author:

Índices de Revista Ingeniería UC

Revista Ingeniería UC está indexada en:





Universidad de Carabobo

Autoridades

Jessy Divo de Romero

Rectora

Ulises Rojas

Vicerrector Académico

José Ángel Ferreira

Vicerrector Administrativo

Pablo Aure

Secretario

Autoridades de la Facultad de Ingeniería

Prof. José Luis Nazar

Decano

Prof. Enrique Pérez Pérez
Director Esc. Ing. Industrial

Prof.^a Olga Martínez
Asistente al Decano

Prof. Reny Marin
Director Consejo Facultad

Prof. César Rodolfo Ruiz
Director Esc. Ing. Eléctrica

Prof. Carlos Brito
Director de Asuntos Estudiantiles

Prof.^a Marianna Barrios León
Directora de Postgrado

Prof. Carlos R. Alfonso A.
Director Esc. Ing. Mecánica

Prof. Edson Martínez Oberto
Director Esc. Ing. Civil

Prof. Manuel Elías Jiménez Bahri
Director de Administración

Prof. Carlos Hernández
Director Esc. Ing. Química

Prof. Carlos Cochiarella
Director de Asuntos Profesorales

Prof. Pablo Baricelli
Director del Centro de Investigaciones
Químicas

Prof.^a Lisbeth Manganiello
Director de Investigación y Producción
Intelectual

Prof.^a María Teresa Cruz
Directora de Docencia y Desarrollo Curri-
cular

Prof. César O. Seijas Fossi
Director del Centro de Procesamiento de
Imágenes

Prof. César Cuperto Ruiz P.
Director Esc. Ing. de Telecomunicaciones

Prof.^a Lin Hurtado
Directora Estudios Básicos

Prof.^a Marlin Gómez
Directora de Extensión

Prof. Jesús J. Jiménez Grimán
Director del Instituto de Matemática y
Cálculo Aplicado

Prof. David E. Duarte G.
Dirección de Tecnologías de la Información
y Comunicación

REVISTA INGENIERÍA UC

La Revista Ingeniería UC es una publicación periódica de la Facultad de Ingeniería de la Universidad de Carabobo, adscrita a la Dirección de Investigación. Es arbitrada, indizada en REVENCYT (Venezuela) ; Actualidad Iberoamericana (CIT-Chile); IET/INSPEC (Unitec Kingdom UK); LATIDEX-Catálogo (México); REDALYC (México); Periódica (México) y está incluida en Ulrich's International Periodical Directory (USA), de Publicación Internacional; Emerging Sources Citation Index, Thomson Reuters.

Se publica cada cuatro meses bajo los auspicios del Consejo de Desarrollo Científico y Humanístico de la Universidad de Carabobo (CDCH-UC). Se aceptan trabajos en Castellano e Inglés. Todos los trabajos son revisados por el Comité Editorial, Arbitrados por el Comité Técnico y por especialistas en la materia.

Dirección postal: Facultad de Ingeniería, Universidad de Carabobo, Bárbula-Valencia, Código Postal 2008, estado Carabobo, Venezuela.

Correo-e: revistaing@uc.edu.ve

Página Web: <http://servicio.bc.uc.edu.ve/ingenieria/revista/>; <http://revista.ing.uc.edu.ve/>

Revista Ingeniería UC, ISSN 1316–6832
Enero – Diciembre 2018, Volumen 25
Número 2

Revista Ingeniería UC se encuentra indexada en:
Revencyt (Venezuela) – índice de revistas venezolanas de ciencia y tecnología;
Actualidad Iberoamericana (Chile) CIT;
IET/INSPEC (United Kingdom); Latindex (México); Redalyc (México);
Periódica (México);
Emerging Sources Citation Index, Thomson Reuters.

Contenido general: páginas V y XI.



Revista INGENIERÍA UC
Impreso en Publicaciones de la
Facultad de Ingeniería de la
Universidad de Carabobo,
Campus de Bárbula,
Venezuela